

А. И. ОТРЕШКО, А. М. ИВЯНСКИЙ, К. В. ШМУРНОВ

**ИНЖЕНЕРНЫЕ
КОНСТРУКЦИИ
В
ГИДРОМЕЛИОРАТИВНОМ
СТРОИТЕЛЬСТВЕ**



**С Е Л Ъ Х О З Г И З
1955**

А. И. ОТРЕШКО

Доктор технических наук, профессор

А. М. ИВЯНСКИЙ, К. В. ШМУРНОВ

Кандидаты технических наук, доценты

ИНЖЕНЕРНЫЕ
КОНСТРУКЦИИ
В ГИДРОМЕЛИОРАТИВНОМ
СТРОИТЕЛЬСТВЕ

Под общей редакцией

доктора технических наук, профессора

А. И. ОТРЕШКО

ГОСУДАРСТВЕННОЕ ИЗДАТЕЛЬСТВО
СЕЛЬСКОХОЗЯЙСТВЕННОЙ ЛИТЕРАТУРЫ

Москва—1955

Глава I

РЕЗЕРВУАРЫ

1. РАЗНОВИДНОСТИ РЕЗЕРВУАРОВ

Применяемые для производственных и хозяйственных потребностей резервуары могут иметь различное назначение, например:

1) хранение воды для хозяйственно-питьевых, производственных целей, или в виде неприкосновенного запаса на случай пожара;

2) содержание воды как резерва во время незначительного ее расходования из водопроводной сети (при равномерной работе насосов) и пополнение сети в часы наибольшего расхода, превышающего производительность насосов;

3) поддержание и выравнивание напора в водопроводной сети и устранение гидравлического удара в трубопроводах (контррезервуар, резервуар водонапорной башни, водонапорная колонна, напорный резервуар пневматической насосной станции);

4) содержание больших объемов воды в гигиенических целях (купальные бассейны и ванны);

5) транспортирование запасов воды и жидкостей (цистерны, переносные баки);

6) резервуары при канализационных станциях перекачки и т. п.

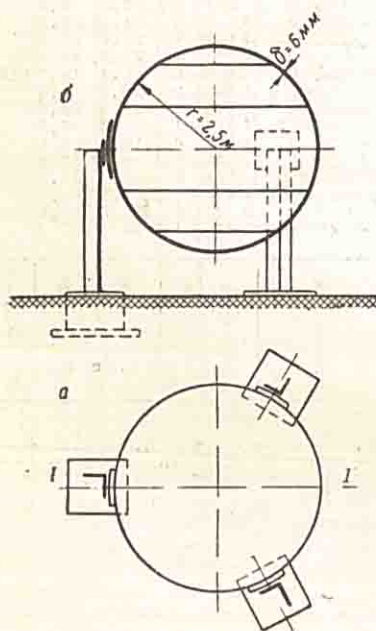
7) хранение продуктов промышленного или сельскохозяйственного производства (растительных и минеральных масел, нефтепродуктов, газов, силоса, солений, вин и т. п.).

Конструкция резервуара должна отвечать назначению сооружения, оболочка его должна быть прочной, долговечной, непроницаемой и коррозионно устойчивой по отношению к жидкости, хранимой в ней, и окружающей резервуар среде.

В зависимости от расположения резервуаров по отношению к поверхности земли различают:

Фиг. 192. Схема стального сферического резервуара:

а—план; б—разрез по I—I.



- а) подземные резервуары, располагаемые целиком под землей;
- б) наземные, опирающиеся непосредственно на грунт так, что стены и покрытие резервуара расположены выше поверхности земли;
- в) наземные, покоящиеся на опорах выше уровня земли.

При выборе конструкции резервуара очень важно выбрать форму оболочки, соответствующую условиям, в которых сооружению предстоит работать в процессе эксплуатации.

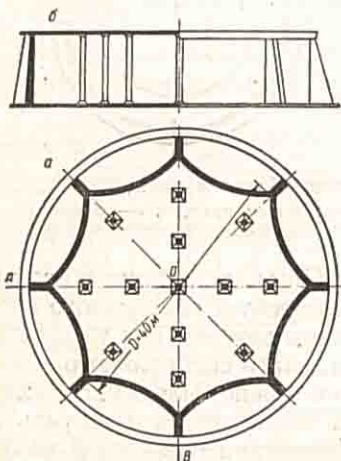
Форма оболочки резервуаров может быть весьма разнообразной. Ее следует выбирать так, чтобы усилия, возникающие в оболочке при загрузке внешними силами, распределялись невыгоднейшим образом.

Примером такого решения может служить стальной сферический резервуар, работающий под давлением газа (фиг. 192).

Влияние собственного веса в таком резервуаре незначительно, а внутреннее давление газа вызывает равномерное распределение усилий одного знака (растяжение).

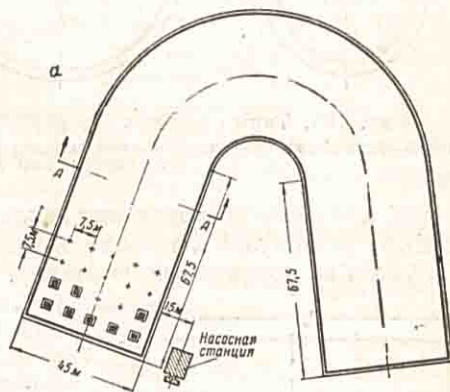
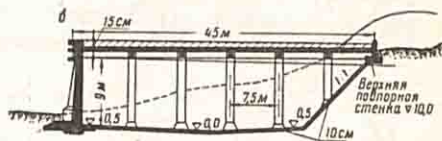
Толщина оболочки получается примерно в 1,5 раза меньше, чем у цилиндрического резервуара при той же емкости.

Далеко не всегда удастся форму резервуара выбрать так, чтобы усилия в оболочке всегда распределялись невыгоднейшим образом. Например, железобетонный резервуар, схематично изображенный на фигуре 193, хорошо работает под нагрузкой от дав-



Фиг. 193. Железобетонный резервуар большой емкости наземного типа:

а — план; б — разрез по АОВ.



Фиг. 194. Резервуар на косогоре:
а — план; б — разрез по А—А.

ления изнутри, будучи незасыпанным (наземным). Однако для подземного резервуара подобная схема не рациональна, так как при опорожнении резервуара в цилиндрических стенках оболочки от давления грунта будут возникать большие растягивающие усилия.

Форма резервуара, оказавшаяся удачной при одних условиях, может быть невыгодна при других.

Иногда форма диктуется рельефом местности, как это видно из фигуры 194, на которой изображена схема железобетонного резервуара емкостью 84 000 м³, построенного на склоне холма.

Принятая здесь форма резервуара позволяет свести к минимуму объем земляных работ.

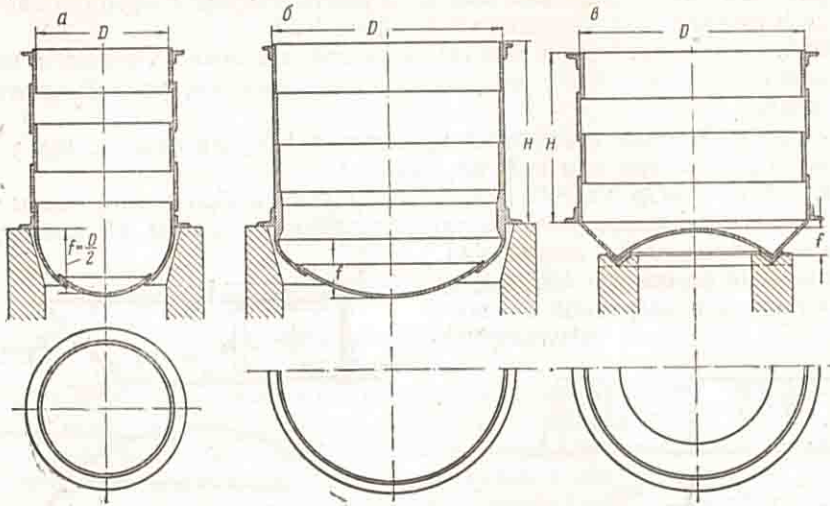
При выборе формы резервуара должны учитываться и свойства материала, из которого предполагается его выполнение.

Во всех случаях нужно стремиться делать конструкцию резервуара возможно более простой в отношении изготовления, монтажа и эксплуатации, а также наиболее экономичной по расходу строительных материалов.

По применяемым для строительства резервуаров материалам различают резервуары стальные [1], деревянные [2], железобетонные [3], каменные и комбинированной (комплексной) [4] конструкции.

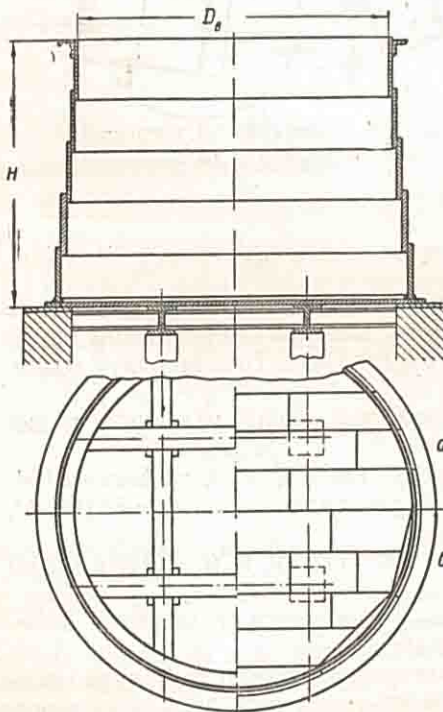
2. СТАЛЬНЫЕ РЕЗЕРВУАРЫ

Стальные резервуары изготовляют из листовой стали и фасонных профилей. Отдельные элементы резервуара между собой соединяют путем элек-



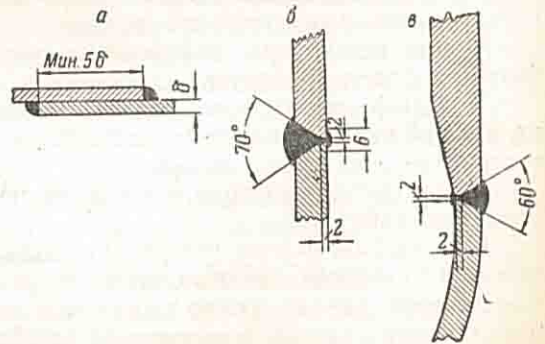
Фиг. 195. Типы стальных резервуаров в форме оболочек вращения: а—со сферическим (полусферическим) дном; б—с овоидальным дном; в—со сферическим дном.

тродуговой или газовой сварки или заклепками. Сталь применяют в наземных и надземных резервуарах, так как этот материал требует постоянного наблюдения и ухода во время эксплуатации. В подземных резервуарах уход затруднен, если не делать специального помеще-



Фиг. 196. Цилиндрический стальной резервуар с плоским дном: а—план дна с крайними листами, обрезанными по окружности; б—то же, с сегментами.

ния, в которое можно было бы проникнуть, чтобы иметь возможность осмотреть конструкции резервуара снаружи и возобновить их покраску. Оболочка стального резервуара имеет небольшую толщину, поэтому ей стараются придать такую форму, при которой, по возможности, не возникало бы изгиба. В резервуарах для газов (воздуха, промышленных, природных газов и т. п.), особенно при значительных давлениях, лучшей формой следует признать сферическую (фиг. 192).



Фиг. 197. Типы сварных швов в резервуарах: а—внахлестку угловыми швами; б—встык V-образным швом с подваркой с обратной стороны; в—то же, при разных толщинах соединяемых листов.

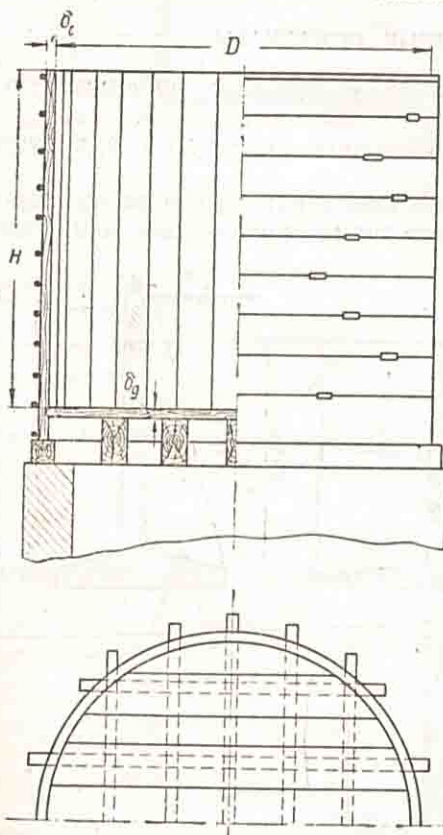
Для воды такая форма оказывается целесообразной при избыточных напорах более 4 атм.

В безнапорных (открытых) надземных стальных резервуарах водонапорных башен обычно применяют оболочки со стенками цилиндрической формы при сферических—выпуклостью вниз (фиг. 195, а), или оvoidальных (фиг. 195, б) днищах. Некоторый интерес представляет конструктивное решение бака (фиг. 195, в), дно которого состоит из сферической средней и конической наружной частей. Размеры последних выбирают так, чтобы нижняя опора не испытывала распора*. При наличии опоры в середине можно делать плоское днище (фиг. 196); однако в металлическом надземном резервуаре плоское днище оказывается неэкономичным и применяется редко (при малых размерах).

Расположение поясов в цилиндрической стенке резервуара при сварке швов внахлестку бывает параллельное (фиг. 195, а, в) или телескопическое (фиг. 196). При достаточной толщине стенок сварку швов оболочки производят встык (фиг. 195, б), обычно V-образным швом с подваркой с обратной стороны (фиг. 197, б и в).

Следует избегать так называемой «потолочной» сварки, т. е. сварки шва снизу.

Электросварка листовой стали в резервуарах должна производиться электродами с качественной толстой обмазкой (марки Э42 и выше) [5], дающими хорошее качество наплавленного металла. К сварке швов резервуаров допускаются только специально подготовленные проверенные сварщики не ниже седьмого разряда.

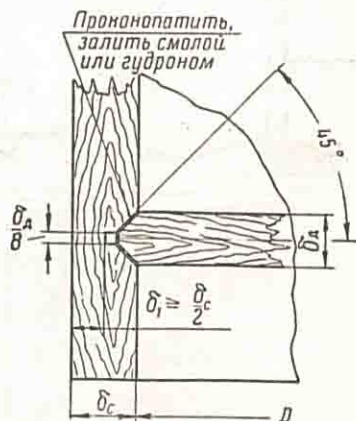


Фиг. 198. Деревянный резервуар из клепок.

Электросварка листовой стали в резервуарах должна производиться электродами с качественной толстой обмазкой (марки Э42 и выше) [5], дающими хорошее качество наплавленного металла. К сварке швов резервуаров допускаются только специально подготовленные проверенные сварщики не ниже седьмого разряда.

3. ДЕРЕВЯННЫЕ РЕЗЕРВУАРЫ

Деревянные резервуары, монтируемые из клепок, применяют главным образом в наземных и надземных конструкциях, но иногда их делают и подземными (например, чаны для солений). Днища



Фиг. 199. Угел деревянного резервуара из клепок.

деревянных резервуаров делают плоскими. При этом в надземных конструкциях требуется устройство специальной балочной клетки (фиг. 198).

* Данная конструкция наряду с экономическими достоинствами имеет эксплуатационные недостатки: интенсивное ржавление кольцевого «кармана», затруднительность чистки днища.

Наиболее сложным местом деревянных резервуаров из клепок является утор—место сопряжения днища со стенкой. Деталь утора дана на фигуре 199. Стяжные хомуты (фиг. 198) делают из круглой или полосовой стали.

Ниже в таблице 1 приведены данные по основным размерам типовых деревянных резервуаров для воды.

Таблица 1

Основные размеры типовых деревянных резервуаров для воды

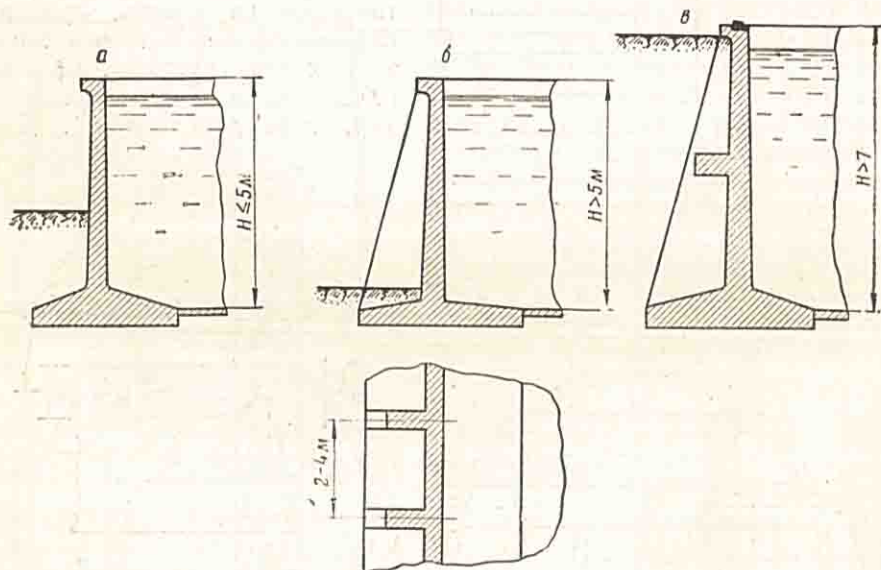
| Емкость резервуара (в м ³) | Внутренний диаметр D резервуара (в м) | Высота стенки H резервуара (в м) | Толщина стенки δ_c (в см) | Толщина днища δ_d (в см) | Количество и диаметр хомутов (шт/мм) |
|--|---|------------------------------------|----------------------------------|---------------------------------|--------------------------------------|
| 50 | 4,00 | 4,00 | 10 | 7 | 15/17 |
| 75 | 4,60 | 4,60 | 10 | 7 | 19/17 |
| 100 | 5,06 | 5,06 | 12 | 7 | 18/20 |
| 150 | 5,70 | 5,70 | 12 | 8 | 24/20 |
| 200 | 6,35 | 6,35 | 12 | 8 | 30/20 |
| 250 | 6,85 | 6,85 | 14 | 10 | 22/26 |

4. ЖЕЛЕЗОБЕТОННЫЕ РЕЗЕРВУАРЫ

Железобетонные резервуары делают подземными, наземными и надземными.

Наиболее употребительны железобетонные резервуары прямоугольной и круговой в плане форм.

Наземные резервуары, не имеющие покрытия, обычно располагают так, чтобы грунтовые воды были всегда ниже дна резервуара: дно таких резервуа-

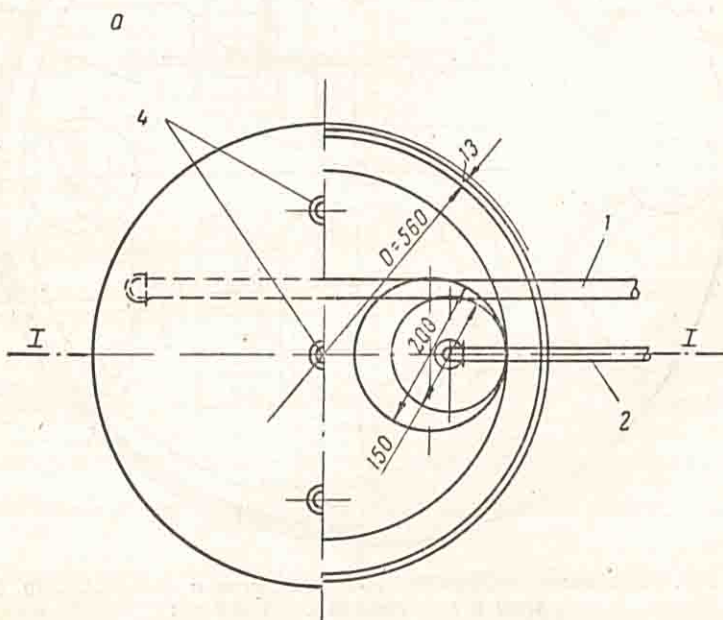
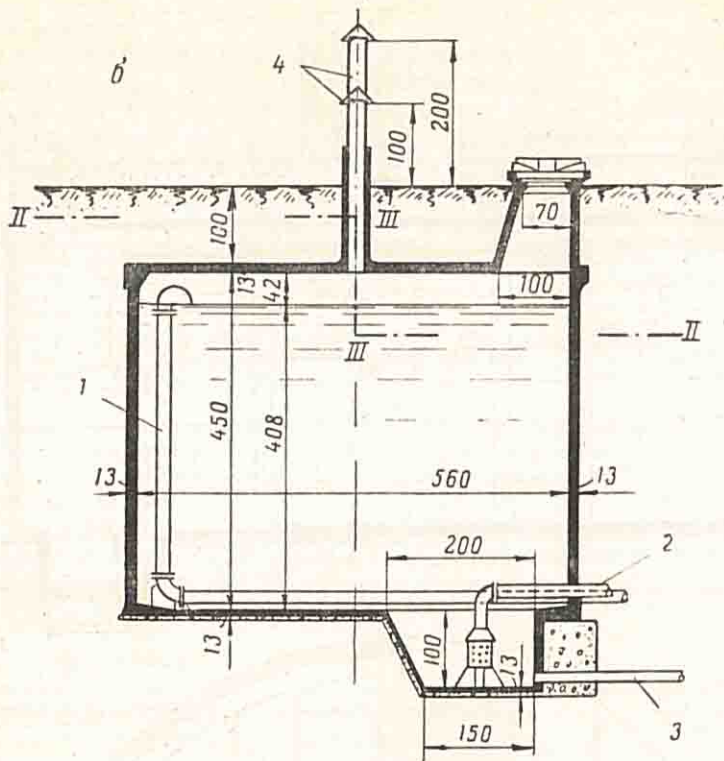


Фиг. 200. Типы стен железобетонных открытых резервуаров:

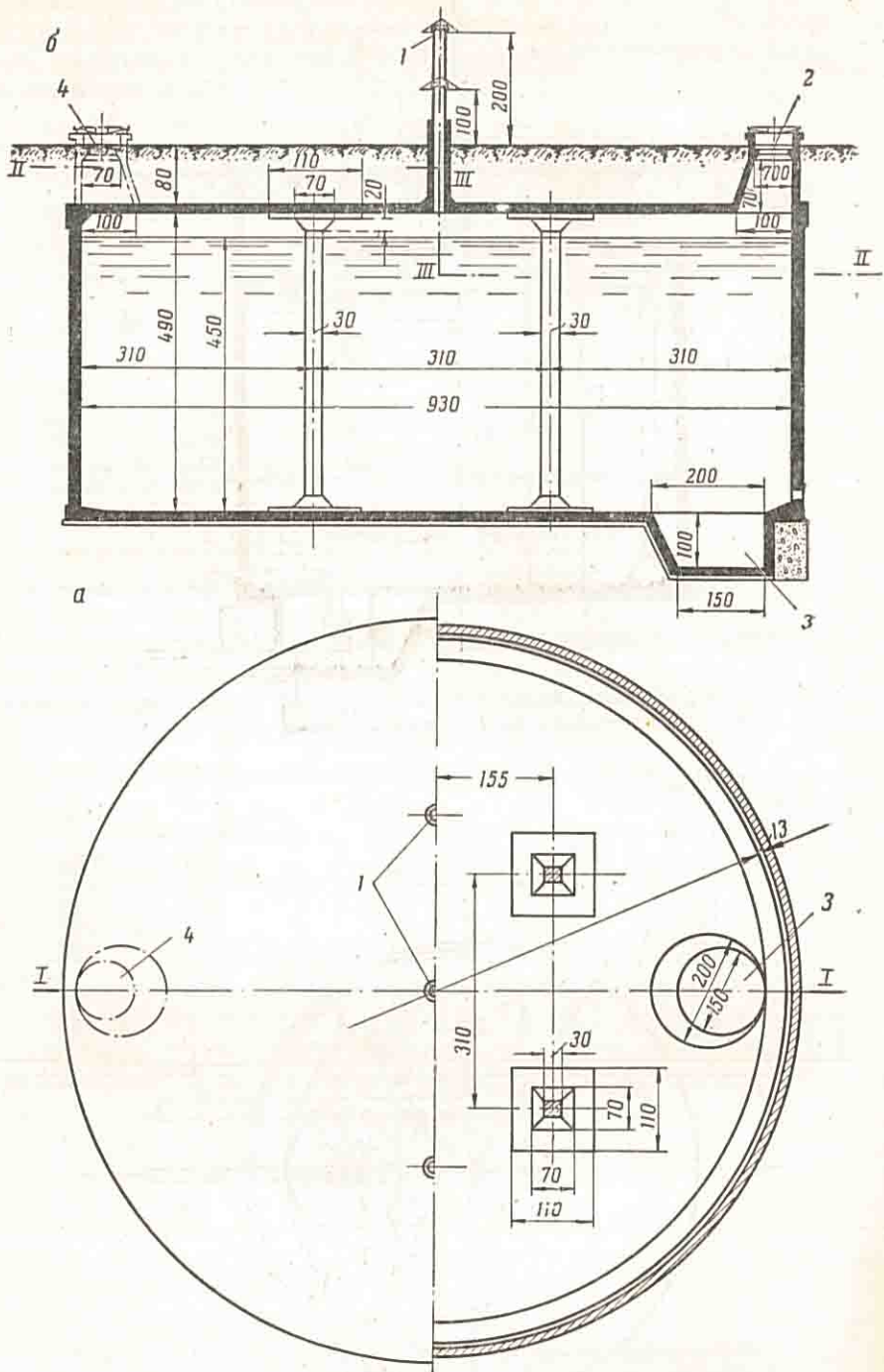
a—гладкая; *б*—с вертикальными ребрами; *в*—с ребрами в двух направлениях.

ров делают, по конструктивным соображениям, небольшой толщины (6÷10 см). Стены могут быть гладкими (фиг. 200, *a*) или ребристыми (фиг. 200, *б* и *в*).

Расчет таких стен прямоугольных в плане резервуаров производят, как расчет подпорных стенок (см. часть III настоящей книги), на два случая загрузки резервуара: 1) давление земли при пустом резервуаре, 2) давление воды в наполненном, незасыпанном резервуаре.



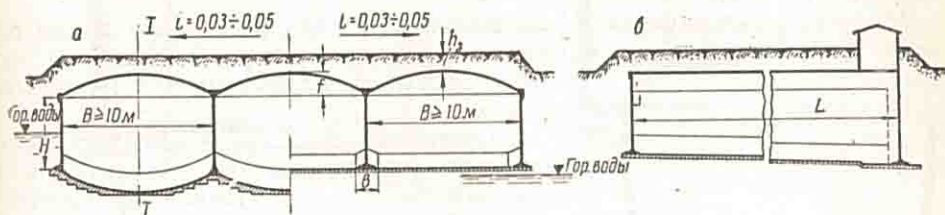
Фиг. 201. Подземный железобетонный цилиндрический резервуар с плоскими покрытием и дном емкостью 100 м³:
 а—план по II—III—III—II; б—разреза по I—I. 1—подающая труба; 2—всасывающая труба; 3—грязевая труба; 4—вентиляционные трубы.



Фиг. 202. Подземный железобетонный резервуар с безбалочными покрытиями и днищем емкостью 300 м³:
 а—план по II—III—III—I—I; б—разрез по I—I. 1—вентиляционные трубы; 2—люк;
 3—прямик; 4—запасный люк.

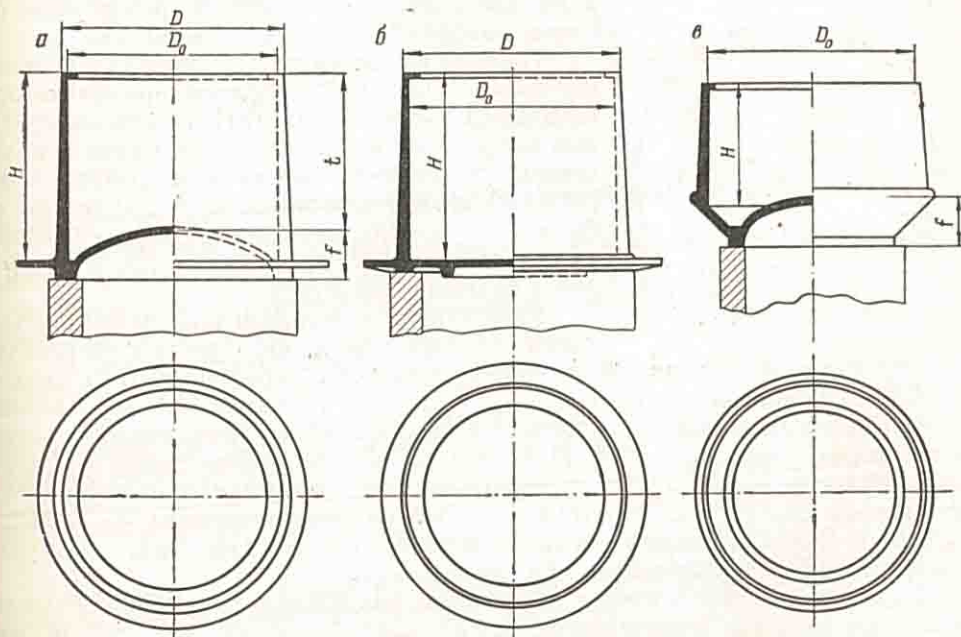
Покрытия железобетонных резервуаров наиболее употребительны [6]:

- а) безбалочные,
- б) кессонные,
- в) ребристые (в производственном водоснабжении),
- г) сводчатые (при прямоугольной форме в плане),
- д) купольные (сферические, при круговой форме в плане),
- е) в форме гладких или ребристых круглых плит (в круглых резервуарах),
- ж) складчатые.



Фиг. 203. Подземный железобетонный резервуар большой емкости с покрытием в форме многоволновой цилиндрической оболочки:
а—поперечный разрез; б—продольный разрез по I—I.

Когда поверхность грунтовых вод лежит выше подошвы резервуара, днище резервуара делается несущим и конструируется как покрытие, с учетом разницы в нагрузках за счет веса стен и иного распределения нагрузок при упругом отпоре грунта.



Фиг. 204. Конструктивные схемы цилиндрических железобетонных резервуаров надземного типа:
а—круглый резервуар с купольным днищем; б—то же, с плоским днищем; в—то же, со сферо-коническим днищем.

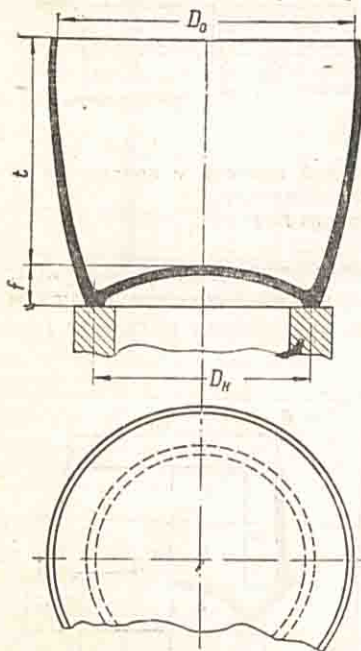
Стенки резервуаров с покрытиями выполняются гладкими: при круговой цилиндрической форме—всегда, при прямоугольной форме в плане—преимущественно.

Конструктивная схема железобетонного подземного цилиндрического резервуара с плоскими покрытием и днищем приведена на фигуре 201. На фигуре 202 дана схема цилиндрического резервуара с днищем и покрытием безбалочного типа.

Фигура 203 дает схематичное представление о железобетонном прямоугольном резервуаре с покрытием в форме многоволновой цилиндрической оболочки при таком же днище (слева на поперечном разрезе) для случаев, когда грунтовая вода лежит выше дна резервуара, и с плоским дном (справа на поперечном разрезе) для постройки в сухих грунтах.

Весьма эффективным является создание предварительных напряжений в железобетонных цилиндрических стенках резервуаров (предварительно напряженный железобетон) [7]. При плоских покрытиях и днище стенку можно не связывать с ними.

В круглых резервуарах с коническим дном или купольным покрытием полезно создавать предварительные напряжения в опорном кольце; в этом случае стенку и купол изготовляют монолитно, без швов.



Фиг. 205. Надземный железобетонный резервуар-чаша.

Напряженную арматуру в цилиндрических резервуарах натягивают на оболочку после достижения бетоном достаточной прочности.

Перед бетонированием такой оболочки укладывают по конструктивным соображениям арматуру, как кольцевую, так и вертикальную, в количестве 0,2—0,3%.

Надземные железобетонные резервуары водонапорных башен могут иметь разнообразную форму; преимущественно применяют круглые резервуары с купольным (фиг. 204, а) или плоским (фиг. 204, б) днищами и резервуары по схеме, изображенной на фигуре 204, в.

Плоское днище в круглых резервуарах водонапорных башен целесообразно применять при небольшой высоте стенки [24]. Без промежуточных опор плоское днище в виде плиты с кольцевыми бадками (а иногда и с радиальными ребрами) делают для резервуаров диаметром не более 6—7 м. При наличии центральной опоры такие днища могут устраиваться для резервуаров и больших диаметров.

Резервуары с купольным днищем (фиг. 204, а) имеют тот недостаток, что требуют устройства мощного опорного кольца для восприятия распора, передаваемого от днища.

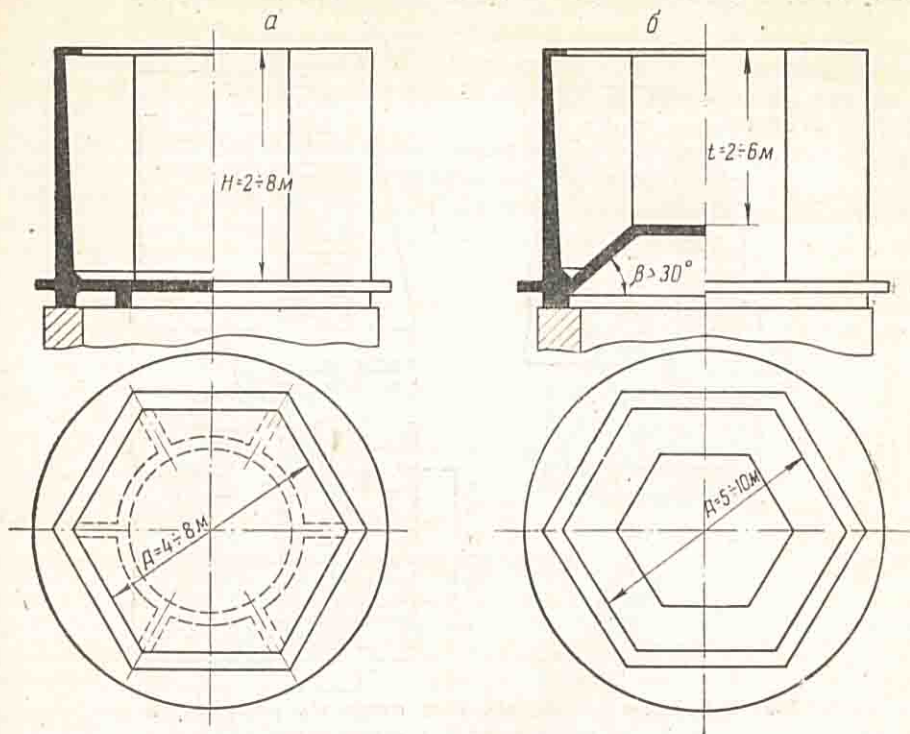
С целью уменьшения растягивающих напряжений вблизи опорного кольца и уменьшения размеров последнего можно придавать железобетонному резервуару форму чаши (фиг. 205). При удачном выборе формы стенки и днища в резервуаре такого типа можно избавиться от меридионального изгиба и получить весьма экономную конструкцию. Однако резервуар-чаша не получил большого распространения из-за сложности изготовления его опалубки и затруднений, встречающихся при бетонировании.

Надземные железобетонные резервуары, имеющие в плане форму многоугольника (обычно правильного), могут иметь плоские (фиг. 206, а) или впазенные (фиг. 206, б) днища.

Раньше наиболее распространенной в железобетонных резервуарах являлась арматура из мягкой стали круглого сечения.

В последнее время нашла применение и все более широко распространяется арматура периодического профиля, изготавливаемая путем горячей прокатки в заводских условиях или получаемая из круглой, путем холодного вальцевания в стане Авакова, непосредственно на строительной площадке. Такая арматура имеет более высокий предел прочности, а впадины на ее поверхности улучшают сцепление арматуры с бетоном. В дальнейшем все большее распространение должна получить горячекатанная арматура периодического профиля (заводского изготовления).

Для предварительно напряженной арматуры применяют сталь с повышенным пределом прочности, так как предварительное натяжение оказывается эффективным лишь при значительных напряжениях (не менее 30—40 кг/мм²).



Фиг. 206. Типы надземных железобетонных многогранных резервуаров: а—с плоским дном; б—со вспарушенным дном.

Приемы конструирования гибкой арматуры железобетонных резервуаров такие же, как и в других сооружениях. Особо следует отметить лишь некоторые особенности конструирования кольцевой и меридиональной арматуры в круглых плитах.

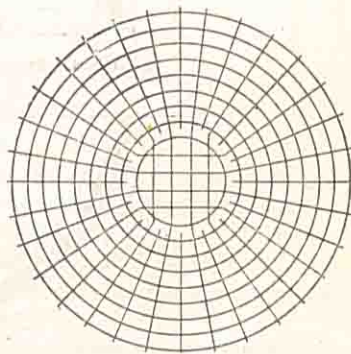
В центре круглых плит арматуру конструируют так, чтобы получилась квадратная сетка размерами не менее 1 × 1 м (фиг. 207); таким способом избегают пересечения нескольких радиальных стержней в центре круга.

5. КАМЕННЫЕ РЕЗЕРВУАРЫ

Каменные резервуары из кирпичной (или естественных камней) кладки на достаточно прочном и плотном растворе [8] применяют чаще всего в наземных сооружениях открытого типа. При высоте до 5 м стену делают гладкой или ступенчатой (фиг. 208, а), при большей высоте—с контрфорсами (фиг. 208, б).

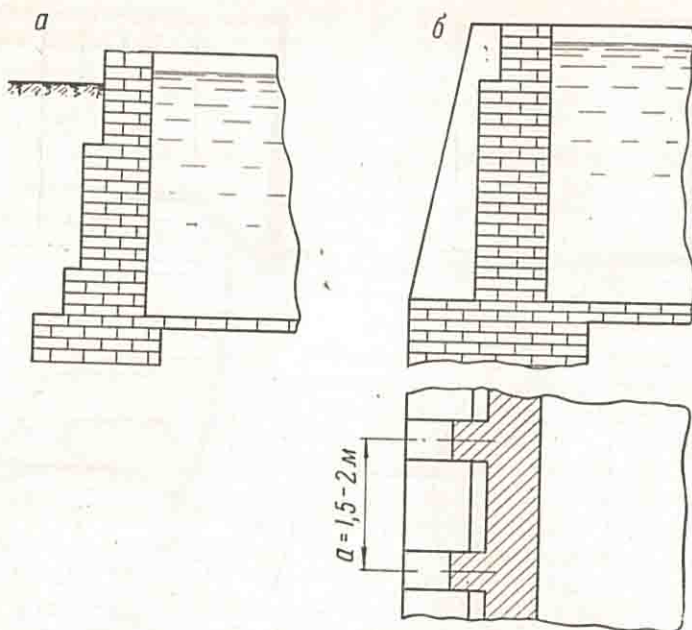
В резервуарах закрытого типа покрытия из каменной кладки делают сводчатыми; при наличии перегородок своды могут быть цилиндрическими, а при опирании на колонны применяют крестовые своды [8].

Большой интерес представляет конструкция цилиндрической каменной стенки, усиленной безопалубочным железобетоном [4] (фиг. 209). Совместная работа железобетонных колец и кладки позволяет значительно уменьшить

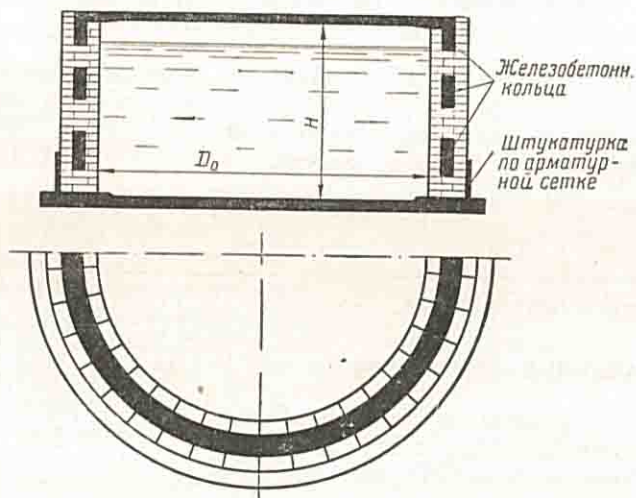


Фиг. 207. Схема армирования круглой железобетонной плиты.

толщину стенки по сравнению с обычной каменной конструкцией, а для возведения стенки не нужна опалубка. Этим описанная конструкция выгодно отличается от железобетонного и чисто каменного резервуара.



Фиг. 208. Типы кирпичных стен открытых резервуаров: а—без контрфорсов; б—с контрфорсами.



Фиг. 209. Резервуар комплексной (комбинированной) конструкции.

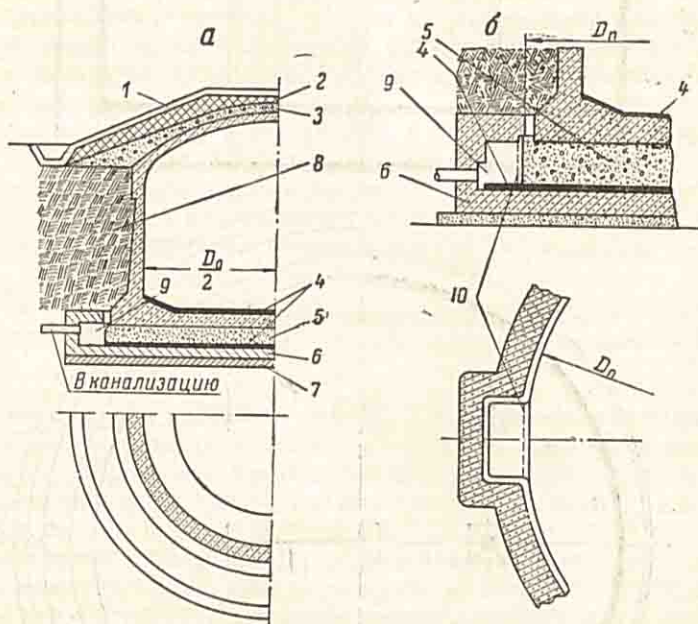
6. ОСОБЕННОСТИ КОНСТРУКЦИЙ РЕЗЕРВУАРОВ, ВОЗВОДИМЫХ НА ЛЕССОВИДНЫХ ПРОСАДОЧНЫХ ГРУНТАХ И В СЕЙСМИЧЕСКИХ РАЙОНАХ

а) Сооружения, возводимые в лессовидных грунтах. Лессовидные (макропористые) грунты имеют значительное распространение на территории СССР; поэтому следует учитывать особенности таких грунтов как оснований для сооружений такого типа, какими являются резервуары.

Структура таких грунтов меняется при изменении влажности. Если в первоначально естественно влажный (влажность 6—10%) лессовидный грунт добавить такое количество воды, при котором влажность повысится до 20% и более, грунт даст под нагрузкой значительную осадку. Следовательно, если увлажнение, как это часто имеет место под сооружениями, будет происходить неравномерно, то местная осадка может повести к неприятным для сооружения последствиям.

Поэтому резервуары для воды, возводимые на лессовидных грунтах, должны конструироваться соответствующим образом.

Особенности конструирования резервуаров, возводимых на лессовидных грунтах, сводятся к следующим основным положениям.



Фиг. 210. Круглый резервуар с поддоном для лессовидных просадочных грунтов:

a—разрез резервуара; *b*—деталь поддона. 1—одерновка; 2—мятая глина; 3—шлак 1:2; 4—асфальт по 2 см; 5—песок с гравием; 6—поддон; 7—подготовка из бетона 1:3:6; 8—перемятый местный грунт; 9—приемник поддона; 10—фильтр из сетки с отверстиями 1—1,5 мм и каркас из толстой оцинкованной проволоки.

1. Для таких конструкций рекомендуются строительные материалы, могущие при неравномерной осадке основания безаварийно нести возникающую перегрузку. Лучшим следует признать монолитный или сборно-монолитный железобетон, конструкции из которого обладают большой жесткостью и не так хрупки, как каменные и бетонные.

2. При небольших размерах сооружения следует обеспечивать должную жесткость конструкции. Если размеры сооружения велики, необходимо разрезать его швами на части такого размера, чтобы каждая из них была достаточно жесткой. Швы должны быть непроницаемы при относительных смещениях частей.

3. Участок, на котором возводится сооружение, следует планировать, обеспечивая сток поверхностных вод так, чтобы не было неравномерного увлажнения основания сооружения (фиг. 210).

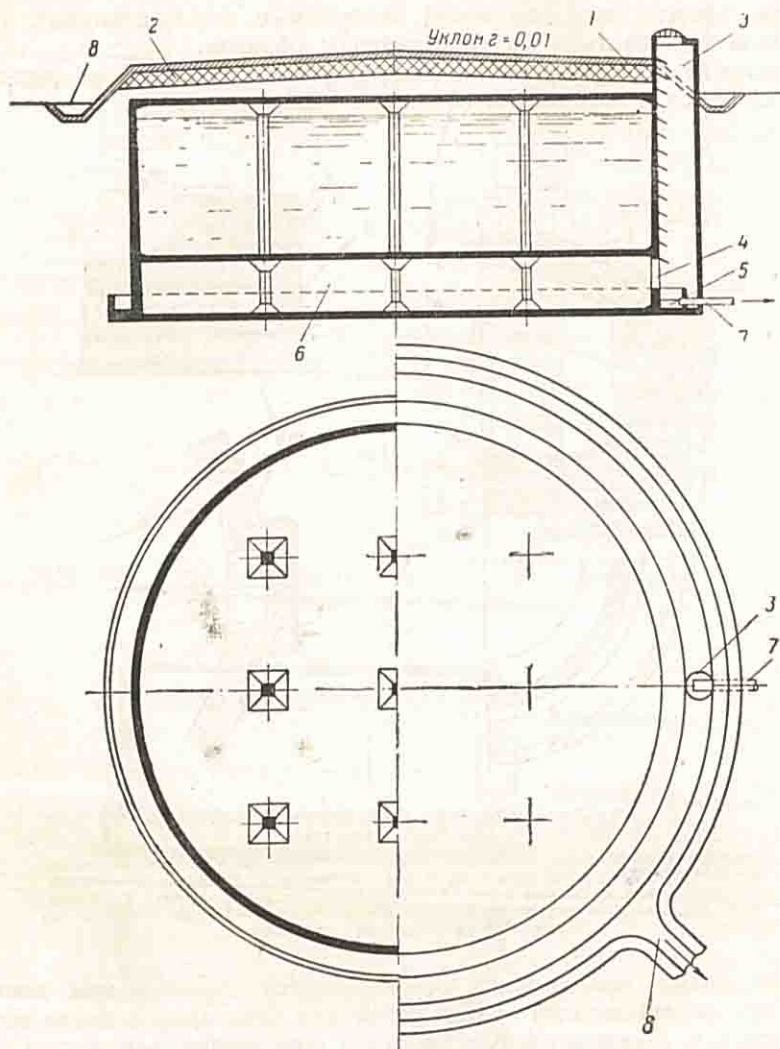
4. Вводы и выводы воды в резервуар и из него должны конструироваться так, чтобы они не нарушались при смещениях конструкции.

5. Для устранения неравномерного увлажнения под резервуаром в результате местной утечки воды, наполняющей резервуар, под ним устраивают

контрольную камеру (фиг. 211) или так называемый поддон (фиг. 210), или обыкновенный дренаж.

6. Если слой лессовидного грунта невелик, его следует снять и основать сооружение на надежном грунте.

7. При возведении водонапорной башни на лессовидных грунтах корпус следует ставить на жесткий фундамент (лучше в виде сплошной круглой



Фиг. 211. Железобетонный резервуар с контрольной камерой для лессовидных просадочных грунтов:

1—слой дерна 20 см; 2—мятая глина 30 см; 3—контрольный колодец; 4—лаз в камеру; 5—прямик; 6—подпорки; 7—водоотводная труба; 8—кювет для отвода поверхностных вод.

плиты), поместив камеру задвижек на плите фундамента, с соблюдением условий 3 и 4.

б) Сооружения, возводимые в сейсмических районах. При проектировании сооружений, возводимых в районах, подверженных землетрясениям, сейсмичность учитывают при балльности (по шкале ОСТ ВКС 4537) не ниже VII. Сейсмичность для данного района принимают обычно по картам сейсмического районирования [9].

Следует иметь в виду необходимость соблюдения некоторых основных правил антисейсмического строительства.

1. Участок для постройки не должен быть подвержен оползням или обвалам. Непригодным следует признать участок, если он заболочен или на незначительной глубине (ниже подошвы фундамента не более 3—4 м) содержит рыхлый грунт, насыщенный водой, или заболоченное озеро. Сооружение не должно располагаться на краю обрывов, у подножья затажных скатов и на крутых косогорах (с уклоном свыше 1 : 3) без соответствующего укрепления таких участков.

2. Ближайшее сооружение или здание должно отстоять от резервуара на расстоянии не менее 10 м. Подошву фундамента камеры задвижек необходимо располагать по возможности на одной отметке с подготовкой дна резервуара.

3. Подводка труб к сооружению должна производиться особо тщательно. Не должна допускаться укладка труб на сыпное ложе или слабый грунт. Проход труб через стенки сооружения должен осуществляться подвижным, например с помощью металлических сальников, допускающих подтяжку их в случае надобности.

Патрубок, проходящий через сальник, должен быть стальным, а не чугунным. Крепление труб должно быть прочным.

4. Резервуары, водонапорные башни и другие сооружения, возводимые в сейсмических районах, рассчитывают кроме обычных нагрузок еще на горизонтальную составляющую сил инерции, равную по величине:

| | | |
|--------------------------|------|---|
| для VII баллов | 1/40 | } от общего веса сооружения с нагрузками (включая вес жидкости, находящейся в резервуаре) |
| » VIII » | 1/20 | |
| » IX » | 1/10 | |

Сила инерции для каждого элемента или всего сооружения прикладывается в центре его тяжести и может приниматься как статическая нагрузка.

При высоте сооружения, превышающей наименьший размер в плане более чем в 5 раз, инерционные силы в верхней точке удваиваются, а в промежутке принимаются по линейной интерполяции.

5. При больших размерах резервуара в плане рекомендуется делить сооружение на самостоятельные жесткие отсеки, с водонепроницаемыми швами. При балльности IX размеры железобетонного резервуара в плане не должны превышать 20 м. Наилучшей формой резервуаров и башен должна быть признана форма оболочки вращения (круговой цилиндр, сфера, конус).

6. В районах с балльностью VIII и IX не рекомендуется строить каменных (не армированных и не усиленных каркасом) резервуаров и башен.

Как показали многочисленные наблюдения и изучение последствий крупных землетрясений в Крыму, Средней Азии и других сейсмических районах, железобетон в сейсмическом строительстве вполне себя оправдал и при соблюдении элементарных требований антисейсмического строительства этот материал может быть с успехом применен для конструкций резервуаров, водонапорных башен и других сооружений.

7. Для бетона в сооружениях, связанных с водой (резервуары, трубы и т. п.), применяются:

- 1) пуццолановый портландцемент ОСТ 5607 марки «00», или
- 2) портландцемент ОСТ 5036 и 5157.

Подбор гранулометрического состава инертных должен производиться в соответствии с требованиями технических условий. Инертные должны соответствовать следующим ОСТАм:

- гравий ОСТ 3327,
- песок » 3328,
- щебень » 3329.

Водоцементное отношение не должно превышать 0,6, независимо от марки и сорта цемента.

Целесообразным следует признать добавку трасса в количестве 100—120 кг на 1 м³ бетона.

8. Для штукатурки поверхностей, соприкасающихся с водой, рекомендуется цементный раствор состава 1 : 2 (по объему); размер зерен песка не должен быть больше 2—2,5 мм.

Железнение поверхности следует производить цементным раствором 1 : 1.

При наличии торкрет-пушки желательно применение торкретирования из смеси 1 : 2,5 (по объему) не менее чем в два слоя. После торкретирования поверхности должны быть гладко затерты.

9. Рекомендуется применение вибраторов для получения бетона большой плотности.

10. При применении пуццолановых цементов сроки выдерживания опалубки в изгибаемых и растянутых элементах не должны быть менее 60 дней, при условии отсутствия отрицательных температур воздуха.

11. Применение кирпичного щебня не допускается.

12. Для лучшего схватывания штукатурки с бетоном рекомендуется обработка поверхности бетона пескоструйным аппаратом или стальными щетками. Насечка зубилом для этой цели не допускается.

13. Подошва фундамента должна покоиться на мощных пластах (не менее 3 м) плотных пород; для водонапорных башен рекомендуется применять плитные и массивные фундаменты (устройство ступенчатых фундаментов нежелательно). Глубина заложения фундамента башни не должна быть менее 1,5 м. Лестницы в башнях, возводимых в сейсмических районах, должны быть монолитно связаны с площадками и стенами; не допускается применение кирпичных и каменных лестничных площадок.

14. Вводы и выводы труб из резервуаров, башен и других сооружений не должны иметь жесткой связи со стенами.

ВОДОНАПОРНЫЕ БАШНИ И КОЛОННЫ

1. ВОДОНАПОРНЫЕ БАШНИ

Корпус водонапорной башни представляет собой пространственную конструкцию, несущую бак с водой, шатер, оборудование и собственный вес. Кроме того, башня подвержена давлению ветра, которое вызывает (особенно при большой высоте) значительные усилия.

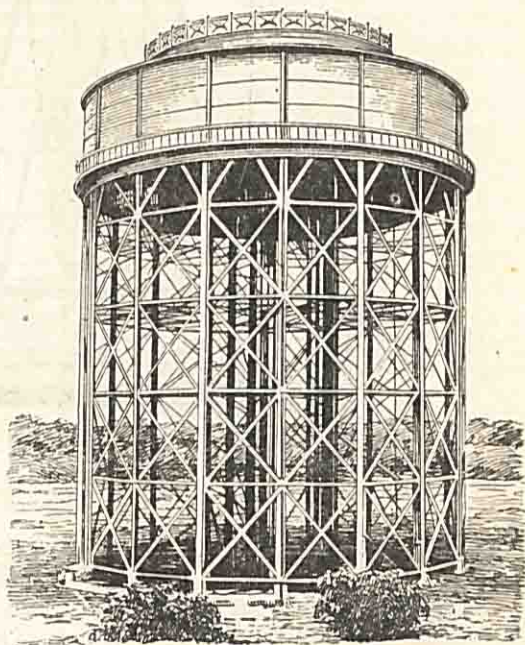
Различают две основные разновидности корпусов башен по конструкции, а именно: сквозные и сплошные (оболочки).

Сквозной корпус имеет тот недостаток, что в условиях зимы приходится специально утеплять трубы, подающие воду, и даже возводить для них внутри ствола специальную утепляющую конструкцию.

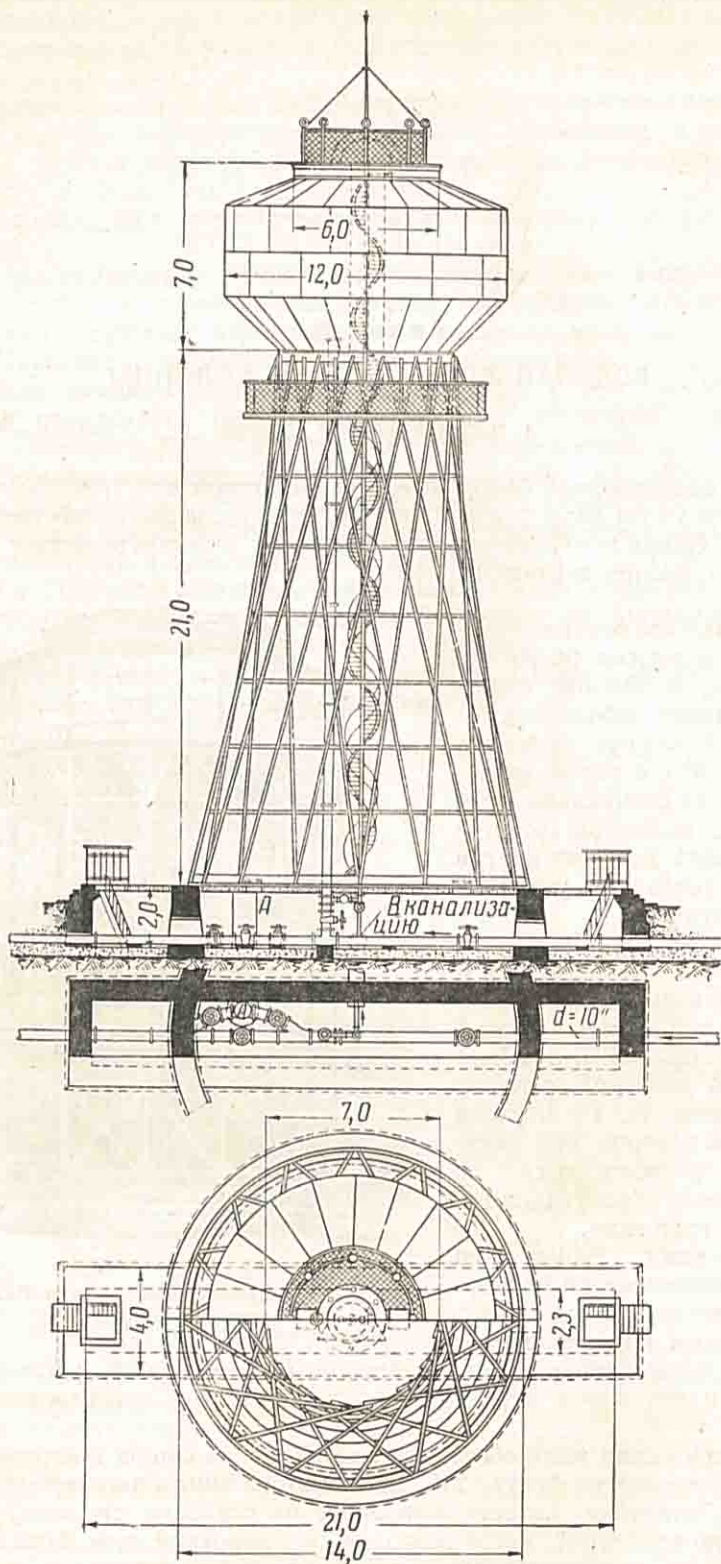
Стальной корпус башни делается обычно сквозным стоечным [1]. Оригинальными являются стальной остов рамной конструкции (фиг. 212) с гибкой или жесткой решеткой, а также остов системы В. Г. Шухова (фиг. 213), в котором оси несущих стоек располагаются по прямолинейным образующим гиперболоида вращения.

Конструкция башни со сквозным железобетонным корпусом представлена на фигуре 214. В этом корпусе панели запроектированы одинаковыми, вследствие чего опалубка, устанавливаемая на один или два яруса, может быть переставлена и использована неоднократно.

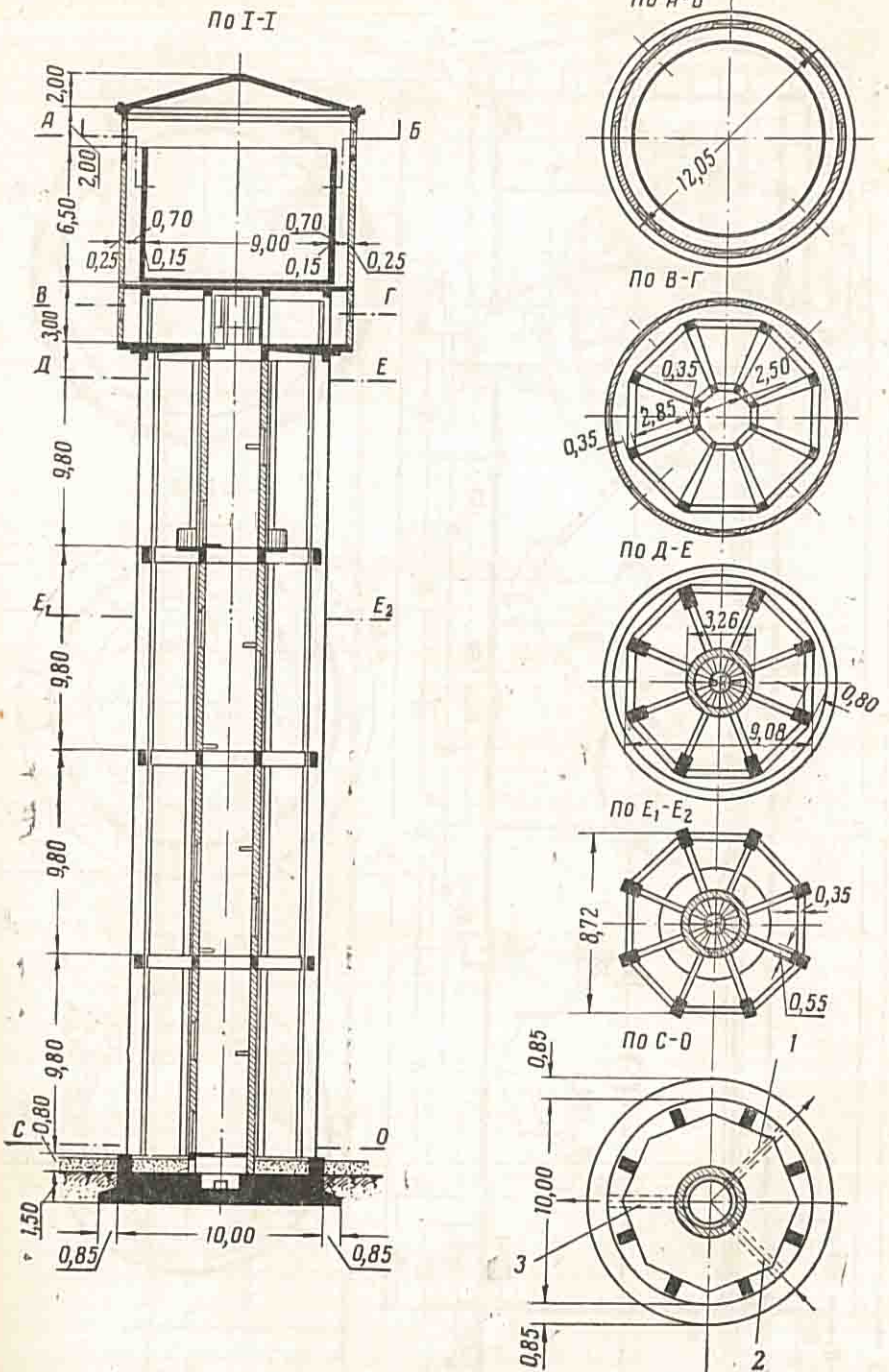
Цилиндрическая железобетонная водонапорная башня с корпусом в виде оболочки приведена на фигуре 215. Башни этого типа благодаря применению скользящей опалубки, которая опирается на стальные стержни, служащие одновременно арматурой, могут возводиться в короткий срок. При небольших емкостях баков и незначительных высотах таких башен не применяют, так как устройство скользящей опалубки оказывается целесообразным при $H_0 > 20$ м.



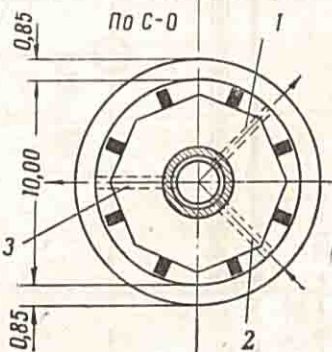
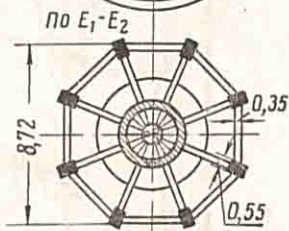
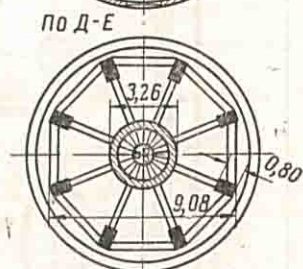
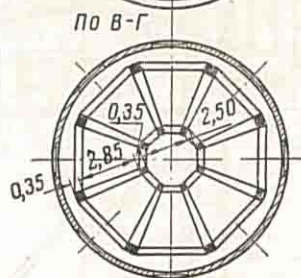
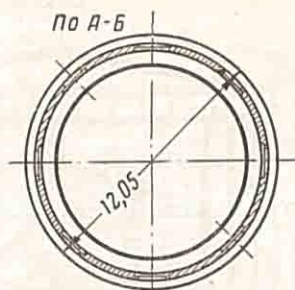
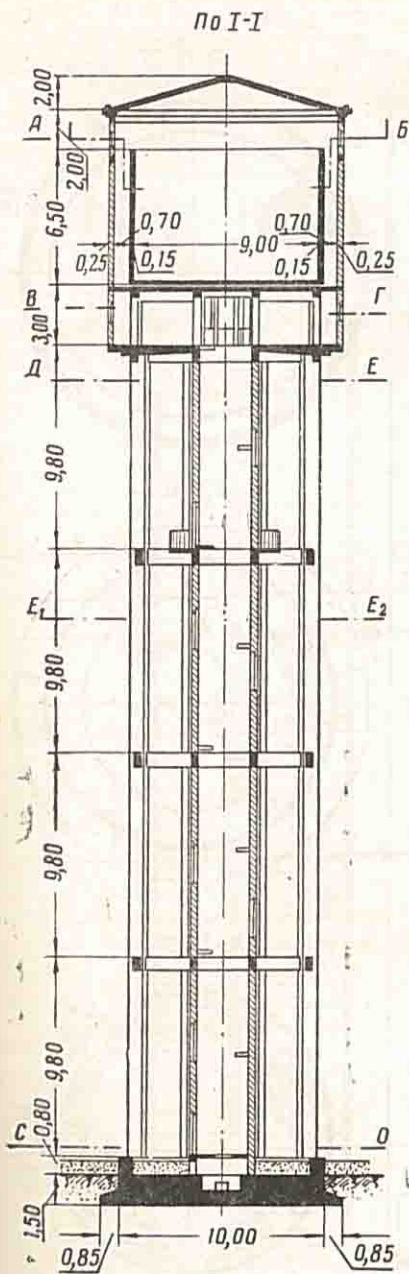
Фиг. 212. Стальная водонапорная башня с корпусом рамного типа.



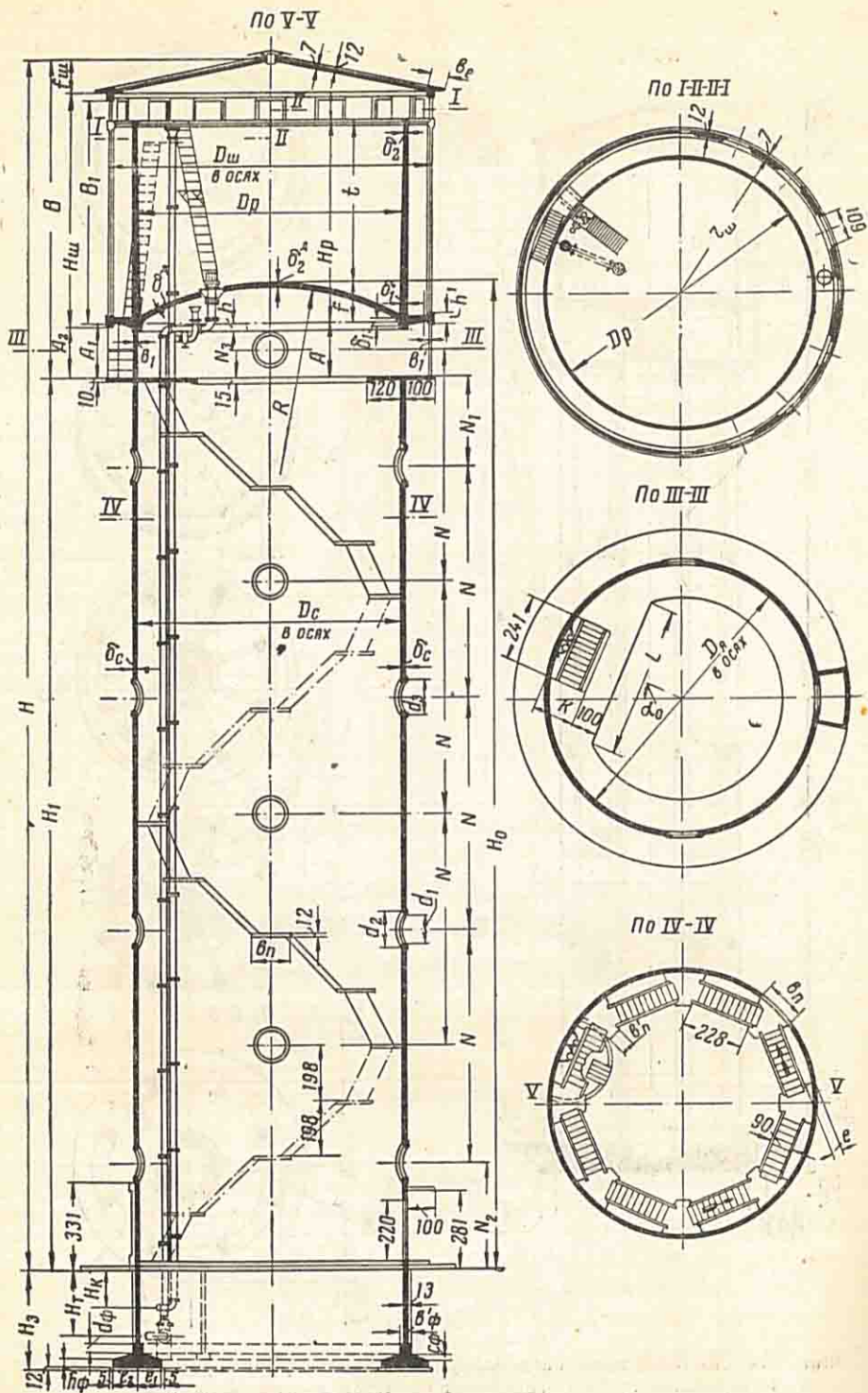
Фиг. 213. Стальная водонапорная башня с корпусом
 В. Г. Шухова.



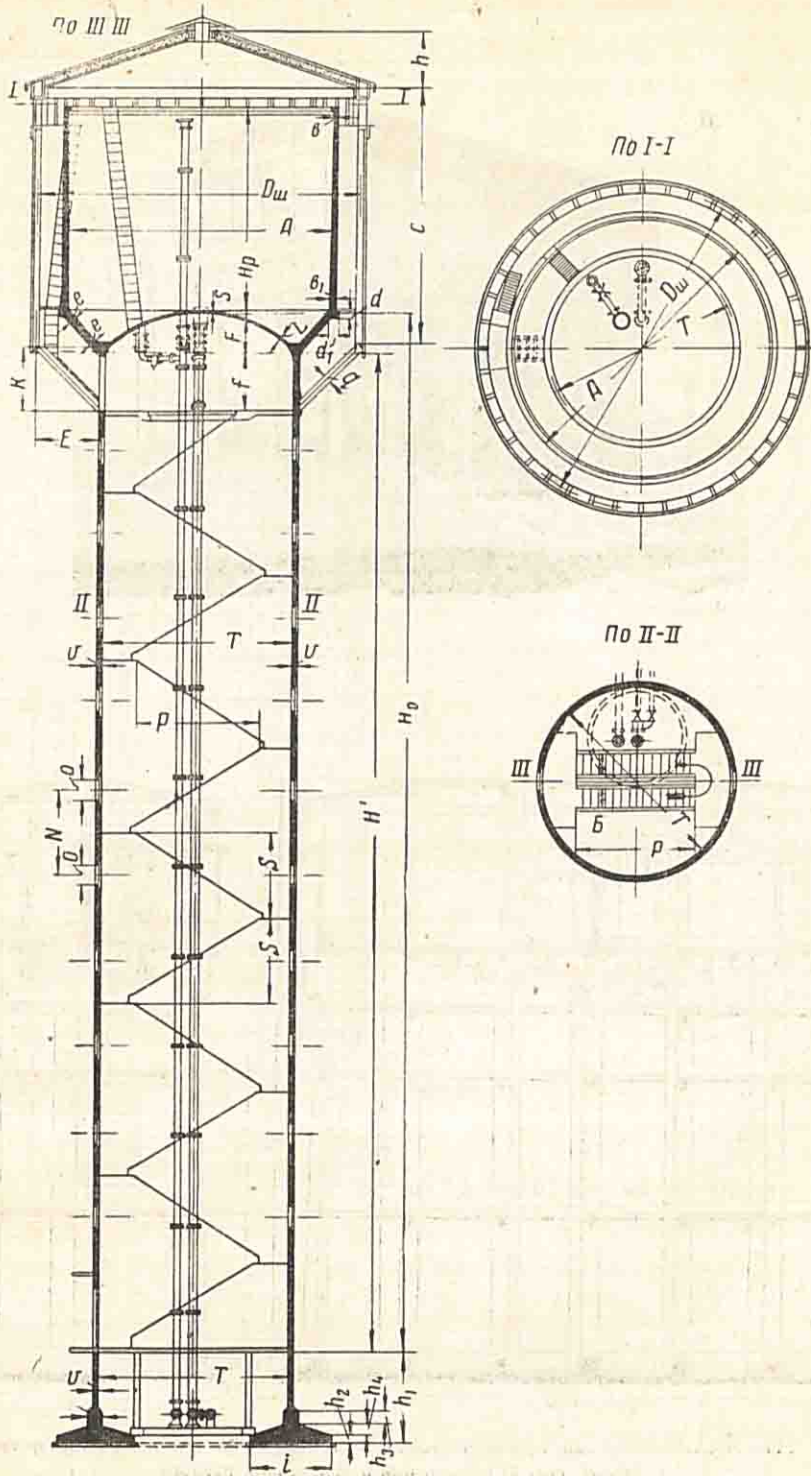
Фиг. 214. Железобетонная водонапорная башня с корпусом рамного типа:
 1—переливная труба; 2—подающая в бак труба; 3—разводящая труба.



Фиг. 214. Железобетонная водонапорная башня с корпусом рамного типа:
1—переливная труба; 2—подающая в бак труба; 3—разводящая труба.

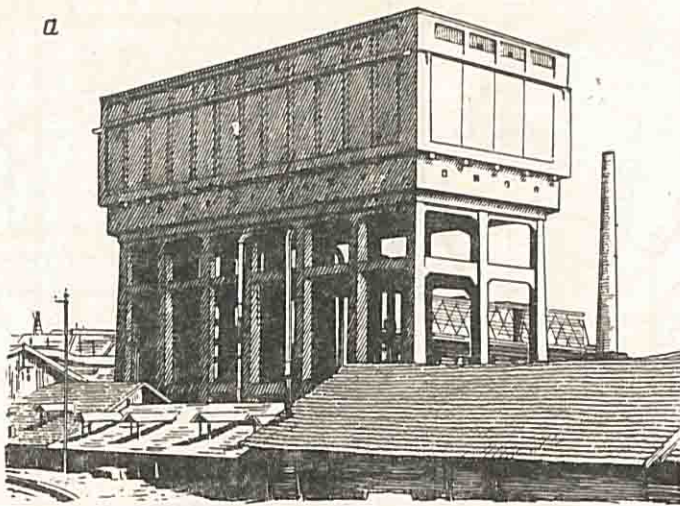


Фиг. 215. Железобетонная водонапорная башня в виде цилиндрической оболочки. Бак с купольным дном.

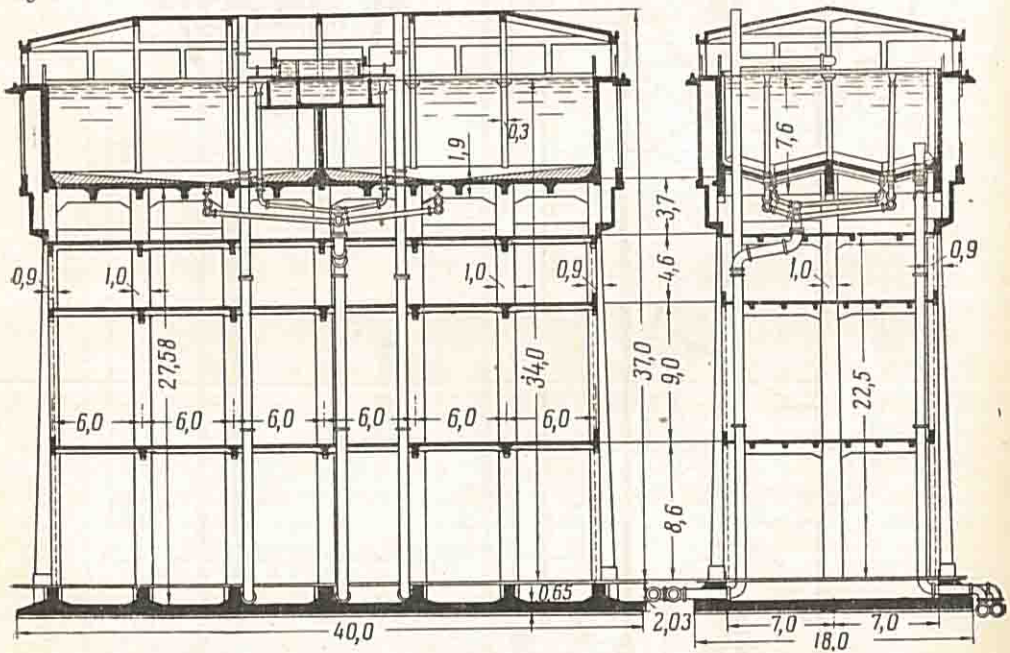


Фиг. 216. Железобетонная водонапорная башня с корпусом в виде цилиндрической оболочки. Бак со сферо-коническим дном.

а



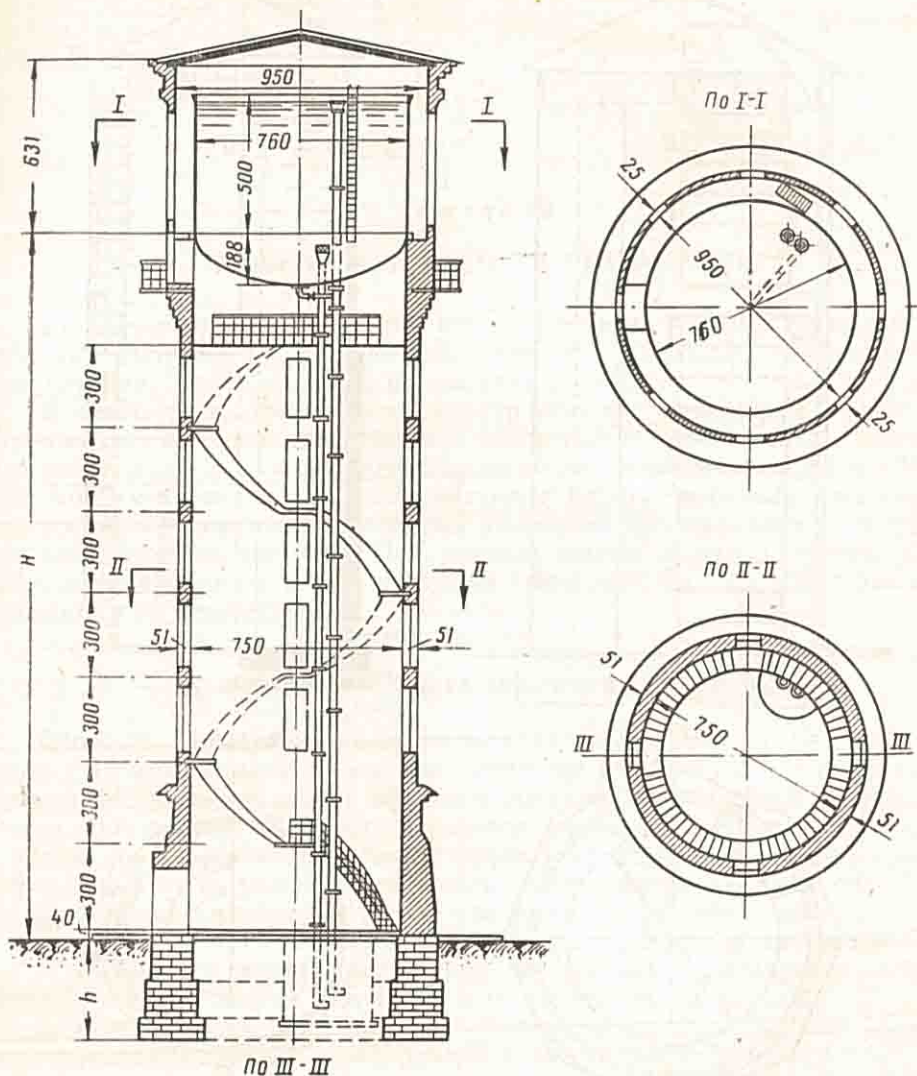
б



Фиг. 217. Железобетонная прямоугольная водонапорная башня рамного типа:
 а) общий вид; б) продольный и поперечный разрез.

На фигуре 216 изображена цилиндрическая железобетонная башня, корпус которой при большой емкости бака получается экономичнее, чем в цилиндрической башне фигуры 215.

Внешний вид железобетонной водонапорной башни с прямоугольным баком большой емкости, на рамных опорах, приведен на фигуре 217, а, конструктивные разрезы ее — на фигуре 217, б.



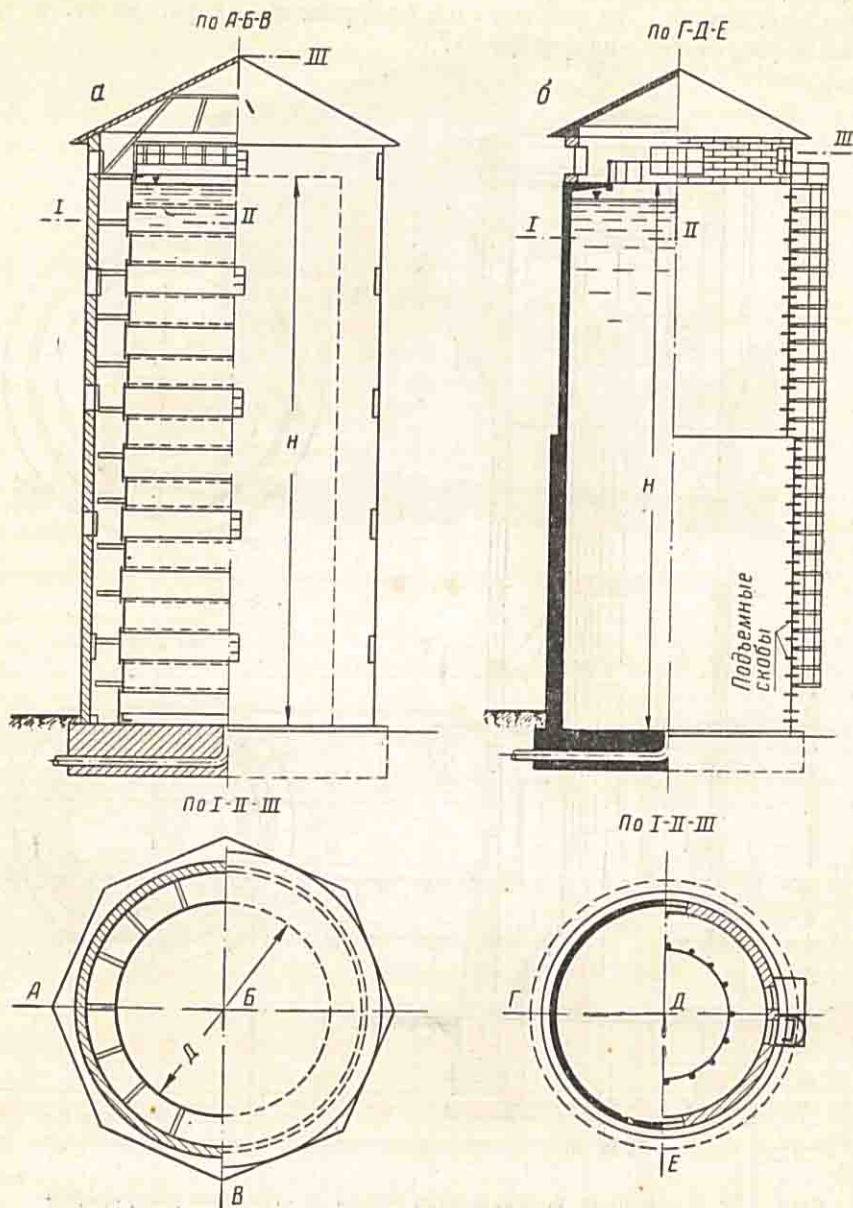
Фиг. 218. Кирпичная водонапорная башня со стальным резервуаром.

Фигура 218 дает представление о конструктивной схеме водонапорной башни с кирпичным корпусом и шатром при стальном резервуаре емкостью 250 м³.

2. ВОДОНАПОРНЫЕ КОЛОННЫ

В целях поглощения гидравлического удара и создания запаса воды на промышленных водопроводах устраивают водонапорные колонны, отличающиеся от ранее разобранных конструкций наземных резервуаров значительной высотой, достигающей нескольких десятков метров.

Водонапорные колонны делают стальными (фиг. 219, а) из листов, соединяемых обычно с помощью электродуговой сварки, или железобетонными (фиг. 219, б).



Фиг. 219. Типы водонапорных колонн:
а) стальная; б) железобетонная.

К этому же типу сооружений относятся и уравнивательные башни напорных трубопроводов, также встречающиеся в системах водоснабжения.

ОСОБЕННОСТИ РАСЧЕТА РЕЗЕРВУАРОВ

Расчет прочности резервуаров приходится вести главным образом на статические нагрузки (гидростатическое давление жидкости, собственный вес конструкции, давление земли, вес засыпки и т. п.).

В наиболее употребительных конструктивных схемах резервуаров конструкция и нагрузка симметричны относительно какой-нибудь плоскости или линии (оси). Эту симметрию используют для упрощения расчетов, так как при этом уменьшается число неизвестных и решение в большинстве случаев удается свести к системе трехчленных уравнений, симметричной относительно главной диагонали матрицы. При удачном выборе основной системы можно добиться упрощения и самих уравнений (обращаются в ноль некоторые коэффициенты при неизвестных).

1. ПРИНЦИПЫ РАСЧЕТА ОБОЛОЧКИ РЕЗЕРВУАРА

Оболочка резервуара—пространственная конструкция, состоящая из различных элементов (плит, балок, рам, оболочек вращения и т. п.). Пользуясь симметрией, решение сводят обычно к плоской или линейной задаче [10]. Совместную работу отдельных элементов учитывают определением усилий в местах их примыканий (краевой эффект) на основании условий совместности (метод сил), условий равновесия (метод деформаций) или смешанным методом, когда в уравнения входят как силы, так и деформации.

При этом решение статической задачи распадается на две части.

1. Вычисление коэффициентов при неизвестных в уравнениях, основываясь на данных теории упругости и сопротивления материалов.

2. Решение системы уравнений с целью вычисления краевого эффекта, т. е. определение усилий и деформаций в местах сопряжения отдельных элементов.

Для определения значений коэффициентов при неизвестных нужно знать величины краевых сил и деформаций, возникающих по краю элемента от различных воздействий, при простых закреплениях края (свободный край, шарнирная опора, жесткая заделка), что требует знания основных уравнений изгиба. Значения краевых сил (изгибающего момента M , поперечной силы Q , нормальной силы N) и деформаций края (смещения w и угла поворота ψ) для наиболее часто встречающихся элементов даются в таблицах (см., например, табл. 2). Кроме того, даются общие приемы для их определения в тех случаях, которые выходят за пределы таблиц.

При расчетах прочности в пределах упругости широко применяют принцип наложения напряжений при сложном сопротивлении, рассматривая результирующее напряжение как сумму простых напряжений. При определении деформаций бруса пренебрегают влиянием нормальных и поперечных

сил, т. е. вместо суммы трех интегралов

$$\delta_{ik} = \int \frac{M_i M_k}{EI} ds + \int \frac{N_i N_k}{EF} ds + \int \frac{Q_i Q_k}{GF} ds$$

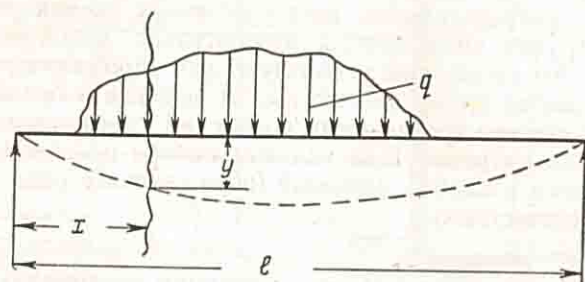
учитывают лишь первый интеграл (влияние чистого изгиба), т. е. принимают

$$\delta_{ik} = \int \frac{M_i M_k}{EI} ds.$$

Ниже приводятся данные по теории изгиба балок, тонкостенных осесимметричных оболочек и плит при загрузениях нагрузкой, распределенной не сложнее, чем по линейному закону, которые преимущественно встречаются при расчетах резервуаров. Расчет тонкостенных оболочек дается как по безмоментной теории, так и с учетом изгиба.

2. УРАВНЕНИЕ ИЗОГНУТОЙ ОСИ БАЛКИ

В курсе сопротивления материалов решается задача о перемещениях точек бруса при деформации его оси и поперечных сечений под влиянием внешних сил [11].



Фиг. 220. Схема загрузки балки [к записи уравнений (1); (2)].

В основу этого решения положена гипотеза Бернулли (1694 г.):

$$k = \frac{1}{\rho} = \pm \frac{M}{EI},$$

где $k = \frac{1}{\rho}$ — кривизна изогнутой оси бруса;

M — изгибающий момент;

EI — жесткость бруса.

Это уравнение русским академиком Л. Эйлером в 1744 г. приведено к дифференциальной форме [10], исходя из зависимости между кривизной и вертикальным перемещением точек горизонтального бруса (балки) y (фиг. 220):

$$\frac{1}{\rho} = \frac{\frac{d^2 y}{dx^2}}{\left[1 + \left(\frac{dy}{dx}\right)^2\right]^{\frac{3}{2}}}.$$

Если $\frac{dy}{dx}$ мало по сравнению с единицей (что имеет место в упругих системах из материалов, применяемых в строительстве), данное уравнение приводится к виду:

$$\frac{1}{\rho} \approx \frac{d^2 y}{dx^2} = \pm \frac{M}{EI}. \quad (1)$$

Между изгибающим моментом M , поперечной силой Q и нагрузкой q на единицу длины данной балки существует зависимость, выражаемая известной формулой Журавского — Шведлера:

$$Q = \frac{dM}{dx}; \quad \pm q = \frac{dQ}{dx} = \frac{d^2M}{dx^2}. \quad (2)$$

Продифференцировав дважды уравнение (1) и подставив в уравнение (2), получим:

$$[EIy^{**}]^{**} = \frac{d^2}{dx^2} \left[EI \frac{d^2y}{dx^2} \right] = q. \quad (3a)$$

Уравнение (3a) — основное дифференциальное уравнение изгиба балок переменной жесткости.

Для балки постоянного сечения ($EI = \text{const}$) из уравнения (3a) имеем

$$EIy^{****} = EI \frac{d^4y}{dx^4} = \frac{d^4w}{dx^4} = \pm M^{**} = q, \quad (3b)$$

где $w = EIy$; $w^{**} = \pm M$.

Если, например, нагрузка q распределена не сложнее, чем по линейному закону ($q = ax + b$), что имеет место в резервуарах, то продифференцировав уравнение (3b) 2 раза и учитывая уравнение (1), получим:

$$M^{****} = \frac{d^4M}{dx^4} = 0. \quad (3)$$

Интеграл этого дифференциального уравнения:

$$M = \frac{C'_1}{6} x^3 + \frac{C'_2}{2} x^2 + C_1 x + C_2,$$

а так как

$$q = \frac{d^2M}{dx^2} = C'_1 x + C'_2, \quad \text{то } C'_1 = a; \quad C'_2 = b.$$

Следовательно, так называемые 6 строк строительной механики записываются так:

$$\left. \begin{aligned} 1) \quad \pm EIy &= \pm w = \frac{a}{120} x^5 + \frac{b}{24} x^4 + \frac{C_1}{6} x^3 + \frac{C_2}{2} x^2 + C_3 x + C_4 \\ 2) \quad \pm EIy' &= \pm w' = \frac{a}{24} x^4 + \frac{b}{6} x^3 + \frac{C_1}{2} x^2 + C_2 x + C_3 \\ 3) \quad \frac{1}{\rho} \approx \pm y^{**} &= \frac{1}{EI} \left[\frac{a}{6} x^3 + \frac{b}{2} x^2 + C_1 x + C_2 \right] \\ 4) \quad M = w^{**} &= \frac{a}{6} x^3 + \frac{b}{2} x^2 + C_1 x + C_2 \\ 5) \quad Q = M' &= \frac{a}{2} x^2 + bx + C_1 \\ 6) \quad q = Q' = M^{**} &= ax + b \end{aligned} \right\} \quad (4)$$

Здесь и далее принято обозначение

$$(\)' = \frac{d(\)}{dx}.$$

Постоянные интегрирования C_1, C_2, C_3, C_4 определяются из краевых условий. Вычисление краевых перемещений и усилий по уравнениям (4) не представляет затруднений.

Например, для однопролетной балки под трапециoidalной нагрузкой (фиг. 221), имея в виду, что на опорах изгибающий момент и прогиб отсутствуют (т. е. при $x=0$; $M=0$; $w=0$ и при $x=l$; $M=0$; $w=0$) и что

в то же время $b = q_1$ и $a = \frac{q_2 - q_1}{l}$ будем иметь:

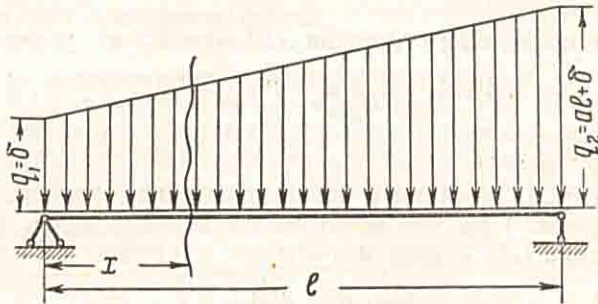
$$C_2 = C_4 = 0 \quad (\text{при } x=0 \text{ из 1 и 4-й строк});$$

$$C_1 = -\frac{a}{6} l^2 - \frac{b}{2} l = -\frac{2q_1 + q_2}{6} l \quad (\text{из 4-й строки});$$

$$C_3 = -\left(\frac{a}{120} l^4 + \frac{b}{24} l^3 + \frac{C_1}{6} l^2\right) = +\left(\frac{q_1}{45} + \frac{7q_2}{360}\right) l^3 \quad (\text{из 1-й строки}).$$

Угол поворота на левой опоре (при $x=0$ из 2-й строки):

$$\omega_0 = \mp \left(\frac{q_1}{45} + \frac{7q_2}{360}\right) l^3.$$



Фиг. 221. Схема однопролетной балки под трапециoidalной нагрузкой [к определению крайних перемещений и усилий по уравнениям (4)].

Соответственно угол поворота на правом конце (при $x=l$):

$$\omega_l = \mp \left(\frac{q_2 - q_1}{24} + \frac{q_1}{6} - \frac{2q_1 + q_2}{12} + \frac{8q_1 + 7q_2}{360}\right) l^3 = \pm \left(\frac{7q_1}{360} + \frac{q_2}{45}\right) l^3.$$

Здесь

$$\omega = \frac{dw}{dx} = EI \frac{dy}{dx}$$

Пользование формулами (4) ограничивается наложением условия, чтобы распределенная нагрузка изменялась не сложнее, чем по линейному закону.

Для вычисления крайних перемещений (нужных для решения краевой задачи при расчете конструкций) удобно пользоваться обобщенной формулой, позволяющей на основании известного графо-аналитического метода Верещагина точно вычислить перемещения при эпюрах моментов, очерченных ломаной линией и годных для приближенного вычисления перемещений при криволинейных эпюрах моментов любого очертания.

Как известно, перемещения краев бруса под влиянием изгиба (угол поворота и смещение) определяются интегралом Мора (по принципу возможных перемещений):

$$\delta_{ki} = \int \frac{\bar{M}_k M_i}{EI} ds.$$

Здесь индексами i и k обозначены порядковые номера, причины, вызывающей перемещение и направления искомого перемещения.

Для вычисления значений крайних перемещений наиболее удобной следует признать формулу, которая основана на том, что увеличенное в EI раз перемещение $EI\delta_{ki}$ может быть вычислено, как произведение площади эпюры изгибающих моментов от причины i на ординату под ее центром тяжести, в прямолинейной эпюре моментов от действия единичной силы, приложенной по направлению k (метод Верещагина).

Рассмотрим две прямолинейные эпюры (фиг. 222, б и в) с ординатами на концах y_1 и y_2 в k -й эпюре и соответственно η_1 и η_2 в i -й эпюре.

Разобьем каждую из эпюр на треугольники и произведем почленное умножение каждой части в одной из эпюр на ординаты под их центрами тяжести в другой:

$$EI\delta_{ki} = y_1 \frac{l}{2} \left(\frac{2}{3} \eta_1 + \frac{1}{3} \eta_2 \right) + y_2 \frac{l}{2} \left(\frac{1}{3} \eta_1 + \frac{2}{3} \eta_2 \right)$$

или

$$EI\delta_{ki} = \frac{l}{6} [y_1 (2\eta_1 + \eta_2) + y_2 (\eta_1 + 2\eta_2)].$$

Если

$$a_{ki} = EI_0 \delta_{ki},$$

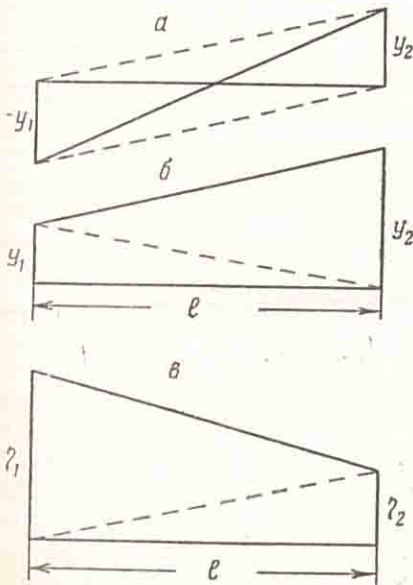
то

$$a_{ki} = \frac{l'}{6} [y_1 (2\eta_1 + \eta_2) + y_2 (\eta_1 + 2\eta_2)], \quad (5a)$$

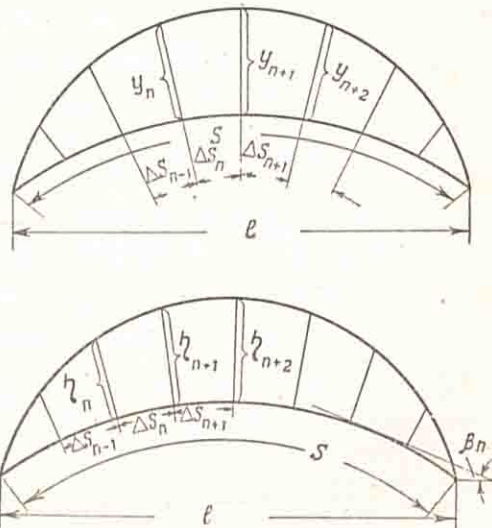
где

$$l' = l \frac{I_0}{I}.$$

Полученная формула действительна и для эпюр, у которых одна из крайних ординат меняет знак (т. е. для эпюр вида, показанного на фиг. 222, а).



Фиг. 222. Виды трапециальных эпюр [к выводу формулы (5a)].



Фиг. 223. Схемы эпюр произвольного очертания [к выводу формулы (5)].

Формула (5a) может быть обобщена и применена для вычисления перемещений при любой форме эпюр, как для прямого, так и для кривого бруса, у которого жесткость меняется по закону $EI \cos \beta = \text{const}$ (фиг. 223).

Пусть даны в общем случае две криволинейные эпюры моментов в криволинейном брус переменной жесткости (фиг. 223) длиной s . Разобьем по длине брус на m участков длиной Δs каждый так, чтобы на длине Δs можно было с достаточной для практических целей точностью принять жесткость постоянной, а эпюру прямолинейной.

Для каждого участка можно применить формулу (5a): обозначим для n -го участка длину его Δs_n , длину предыдущего Δs_{n-1} , длину последую-

щего Δs_{n+1} . Соответственно ординаты эпюры на участке Δs_n обозначим в 1-й эпюре y_n и y_{n+1} , а во второй η_n и η_{n+1} , с чередованием всех остальных ординат.

Угол наклона касательной к оси кривого бруса обозначим соответственно для n -го участка через β_n .

Нетрудно убедиться, что для рассматриваемого случая

$$\int_0^s M_h M_i ds \approx \sum_{n=1}^{n=m} \frac{\Delta s_n}{6} [y_n (2\eta_n + \eta_{n+1}) + y_{n+1} (\eta_n + 2\eta_{n+1})]$$

или

$$a_{hi} = EI_0 \delta_{hi} \approx \sum_{n=1}^{n=m} \frac{I_0 \Delta s_n}{I_n \cdot 6} [y_n (2\eta_n + \eta_{n+1}) + y_{n+1} (\eta_n + 2\eta_{n+1})]. \quad (5)$$

Если выбрать жесткость бруса изменяющейся по закону $\cos \beta$ так, что

$$I_n \cos \beta_n = I_{ш} = \text{const}$$

и если учесть, что

$$\Delta s_n \cos \beta_n = \Delta l_n \quad \text{или} \quad \Delta s_n = \frac{\Delta l_n}{\cos \beta_n},$$

то формулу (5) можно привести к более удобному виду:

$$a_{hi} = \frac{I_0}{I_{ш}} \sum_{n=1}^{n=m} \frac{\Delta l_n}{6} [y_n (2\eta_n + \eta_{n+1}) + y_{n+1} (\eta_n + 2\eta_{n+1})]$$

или

$$a_{hi} = \sum_{n=1}^{n=m} \frac{\Delta l'_n}{6} [y_n (2\eta_n + \eta_{n+1}) + y_{n+1} (\eta_n + 2\eta_{n+1})]. \quad (5б)$$

В формуле (5б):

$$\Delta l'_n = \frac{I_0}{I_{ш}} \Delta l_n;$$

$I_{ш}$ — момент инерции сечения в верхней точке (шалыге) кривого бруса;
 Δl_n — проекция длины n -го участка на горизонтальную ось.

С обозначением $\Delta l'_n = \frac{I_0}{I_n} \Delta s_n$ формула (5б) может быть применена к балкам со ступенчатым изменением жесткости или с нагрузками, прерывными по длине балки.

Пример. Вычислить угол поворота на левой опоре однопролетной балки различной жесткости в каждой четверти пролета и находящейся под действием трех сосредоточенных сил $P_1 = 1$; $P_2 = 3$; $P_3 = 2$, приложенных на равных расстояниях (фиг. 224,а).

Решение. а) Строим эпюры изгибающих моментов — действительную от нагрузок P_1 , P_2 и P_3 (фиг. 224,б) и фиктивную от $M = 1$, приложенного на левом конце балки (фиг. 224,в).

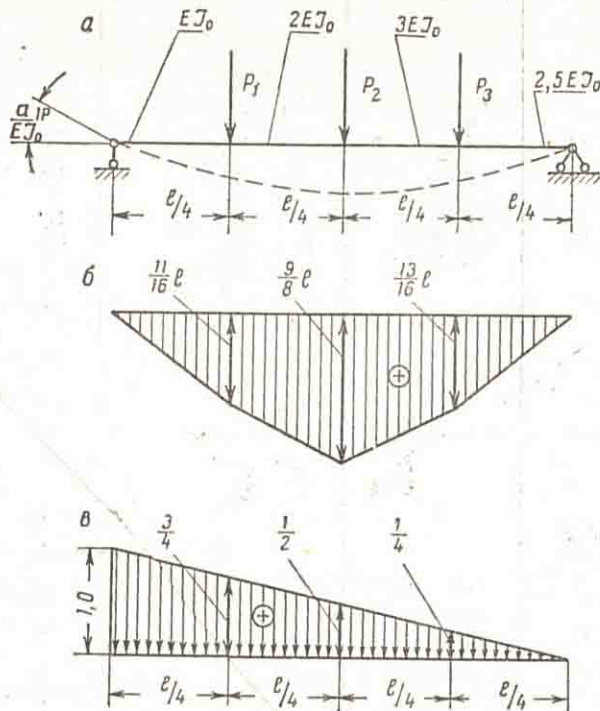
б) Разбиваем балку на четыре участка длиной $\Delta l = \frac{l}{4}$ каждый и, воспользовавшись формулой (5б), получим (имея в виду, что $\Delta l'_1 = \Delta l$;

$$\Delta l'_2 = \frac{1}{2} \Delta l; \quad \Delta l'_3 = \frac{1}{3} \Delta l; \quad \Delta l'_4 = 0,4 \Delta l):$$

$$a_{1p} = \frac{1}{6} \left\{ \Delta l \left[0 + \frac{11}{16} l \left(1 + 2 \frac{3}{4} \right) \right] + \frac{\Delta l}{2} \left[\frac{11}{16} l \left(2 \frac{3}{4} + \frac{1}{2} \right) + \frac{9}{8} l \left(\frac{3}{2} + 2 \times \frac{1}{2} \right) \right] + \frac{\Delta l}{3} \left[\frac{9}{8} l \left(2 \frac{1}{2} + \frac{1}{4} \right) + \frac{13}{16} l \left(\frac{1}{2} + 2 \frac{1}{4} \right) \right] + 0,4 \Delta l \left[\frac{13}{16} l \left(2 \frac{3}{4} + 0 \right) + 0 \right] \right\};$$

$$a_{1p} = \frac{l}{24} \left(\frac{27,5}{16} l \right) + \frac{l}{48} \left(\frac{11}{8} l + \frac{63}{32} l \right) + \frac{l}{54} \left(\frac{45}{32} l + \frac{13}{16} l \right) + \frac{l}{60} \left(\frac{13}{32} l \right) = \frac{11073}{69120} l^2.$$

Чтобы получить действительный угол поворота, нужно a_{1p} разделить на EI_0 (a_{1p} — угол поворота, увеличенный в EI_0 раз).



Фиг. 224. Схема загрузки однопролетной балки и эпюры изгибающих моментов (к примеру вычисления угла поворота):

a — схема загрузки балки; b — эпюра изгибающих моментов от заданной нагрузки; c — фиктивная эпюра изгибающих моментов от $M=1$ на левом конце балки.

Часто встречающиеся при расчете балочных и рамных конструкций резервуаров значения усилий и перемещений краев в балках [постоянной жесткости приведены в таблице 2.

3. ИЗГИБ БАЛКИ НА УПРУГОМ ОСНОВАНИИ

Для балки, лежащей на упругом основании (так же, как и для неразрезной балки на упруго оседающих опорах), отпор основания зависит от деформации (величины осадки). Если принять гипотезу о пропорциональности между нагрузкой и упругой осадкой основания [12], то используя основное дифференциальное уравнение изгиба балок, уравнение (3а) можем написать:

$$\frac{d^2}{dx^2} \left(EI \frac{d^2 y}{dx^2} \right) = q - bk_r y, \quad (6a)$$

где $k_r = \frac{p}{by}$ — коэффициент пропорциональности между просадкой (y) и отпором грунта p , так называемый «коэффициент постели» (значения k_r см., например, в книге В. А. Киселева «Балки и рамы на упругом основании», ОНТИ 1936, стр. 11);

q — внешняя нагрузка на 1 пог. м подошвы балки;
 b — ширина опорной плоскости балки.


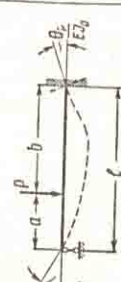
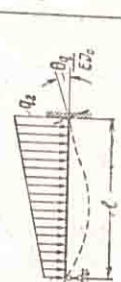
Если внешняя нагрузка q изменяется по линейному закону, то $\frac{d^2 q}{dx^2} = 0$.

Уравнение (6а) можно для балки постоянного сечения переписать так:

$$\frac{d^2 M}{dx^2} + bk_r y = q,$$

Усилия и перемещения краев в балках постоянной жесткости

| Наименование элементов и условия закрепления концов | Схема элемента | Значения перемещений по схеме | Текущие значения усилий в элементе |
|---|----------------|---|--|
| <p>Консоль постоянной жесткости EI, упруго зажатая одним концом</p> <p>Опора под влиянием приложенного к ней момента $M=1$ поворачивается на угол θ (при жесткой заделке $\theta=0$)</p> <p>$\frac{EI_0}{EI}$</p> <p>$I_1 = I \frac{I_0}{I}$</p> <p>$a_1 = a \frac{I_0}{I}$</p> | | $a_{11} = I_1 + \theta$ $a_{21} = \left(\frac{I_1}{2} + \theta \right) l; \quad I_1 = I \frac{I_0}{I}$ | $M = M_0 = 1$ $Q = N_Q = 0$ |
| | | $a_{12} = \left(\frac{I_1}{2} + \theta \right) l$ $a_{22} = \left(\frac{I_1}{3} + \theta \right) l^2$ | $M = Q_0 x = 1 \cdot x$ $Q = Q_0 = 1$ $N = 0$ |
| | | $a_{1q} = \frac{l^2}{24} [l_1 (q_2 + 3q_1) + 40 (q_2 + 2q_1)]$ $a_{2q} = \frac{l^3}{120} [l_1 (4q_2 + 11q_1) + 20\theta (q_2 + 2q_1)]$ $\theta_q = \left(\frac{q_1 l^2}{3} + \frac{q_2 l^2}{6} \right) \theta$ | $M = \frac{q_2 x^3}{6l} + q_1 \left(\frac{x^2}{2} - \frac{x^3}{6l} \right)$ $Q = \frac{q_2 x^2}{2l} + q_1 \left(x - \frac{x^2}{2l} \right)$ $N = 0$ |
| | | $a_{1q} = \frac{a^2}{24} [a_1 (q_2 + 3q_1) + 40 (q_2 + 2q_1)]$ $a_{2q} = \frac{a^3}{120} [a_1 (4q_2 + 11q_1) + 20\theta (q_2 + 2q_1)] + a_{1q} (l - a)$ $\theta_q = \left(\frac{q_1 a^2}{3} + \frac{q_2 a^2}{6} \right) \theta; \quad a_1 = a \frac{I_0}{I}$ | <p>При $x \leq l - a; \quad M = Q = N = 0$</p> <p>При $x \geq l - a$</p> $M = \frac{q_2 (x - a)^2}{6a} + q_1 \left[\frac{(x - a)^2}{2} - \frac{(x - a)^3}{6a} \right]$ $Q = \frac{q_2 (x - a)}{2a} + q_1 \left[x - a - \frac{(x - a)^2}{2a} \right]$ |

| Наименование элементов и условия закрепления концов | Схема элемента | Значения перемещений по схеме | Текущие значения усилий в элементе |
|--|--|--|--|
| <p>Балка постоянной жесткости EI с одним шарнирно опертым, другим упруго зажатым концами</p> <p>Вторая опора, под действием момента $M=1$, приложенного к ней, поворачивается на угол θ</p> <p>EI_0.</p> <p>Вертикальных смещений опоры не допускают. (При жесткой заделке $\theta=0$, при шарнирном опирании $\theta=\infty$)</p> <p>$l_1 = l \frac{I_0}{I}$; $\xi = \frac{\theta}{l_1}$</p> |  | <p>$a_{11} = \frac{l_1}{4} \left(1 + \frac{l_1}{l_1 + 3} \right)$</p> <p>или</p> <p>$a_{11} = \frac{l_1}{4} \left(\frac{l_1 + 40}{l_1 + 30} \right) = \frac{l_1}{4} \left(\frac{1 + 4\xi}{1 + 3\xi} \right)$</p> <p>$\xi = \frac{\theta}{l_1}$; $\theta_M = \frac{l_1}{6} \left[1 - \frac{3\xi}{1 + 3\xi} \right]$</p> | <p>$M = M_1 \left[\frac{l-x}{l} - \frac{x}{l \left(2 + 6 \frac{\theta}{l_1} \right)} \right]$</p> <p>$Q = \frac{M_1}{l} \left[1 + \frac{1}{2 + 6 \frac{\theta}{l_1}} \right]$</p> |
| <p>При $0 \leq x \leq a$</p> <p>$M = P \frac{bx}{l} \left[1 - \frac{a}{l} \left(\frac{1 - \frac{b}{2l}}{1 + 3\xi} \right) \right]$</p> <p>$Q = P \frac{b}{l} \left[1 - \frac{a}{l} \left(\frac{1 - \frac{b}{2l}}{1 + 3\xi} \right) \right]$</p> <p>При $a \leq x \leq l$</p> <p>$M = P \frac{bx}{l} \left[1 - \frac{a}{l} \left(\frac{1 - \frac{b}{2l}}{1 + 3\xi} \right) \right] - P(x-a)$</p> <p>$Q = P \frac{a}{l} - P \frac{ab}{l^2 (1 + 3\xi)}$</p> |  | <p>$a_{1p} = \frac{Pab l_1}{4l^2 (1 + 3\xi)} [b + 2\xi (b + l)]$</p> <p>$l_1 = l \frac{I_0}{I}$</p> <p>$\theta_p = \frac{Pab \theta}{l} \left[\frac{1 - \frac{b}{2l}}{1 + 3 \frac{\theta}{l_1}} \right]$</p> | <p>При $0 \leq x \leq a$</p> <p>$M = P \frac{bx}{l} \left[1 - \frac{a}{l} \left(\frac{1 - \frac{b}{2l}}{1 + 3\xi} \right) \right]$</p> <p>$Q = P \frac{b}{l} \left[1 - \frac{a}{l} \left(\frac{1 - \frac{b}{2l}}{1 + 3\xi} \right) \right]$</p> <p>При $a \leq x \leq l$</p> <p>$M = P \frac{bx}{l} \left[1 - \frac{a}{l} \left(\frac{1 - \frac{b}{2l}}{1 + 3\xi} \right) \right] - P(x-a)$</p> <p>$Q = P \frac{a}{l} - P \frac{ab}{l^2 (1 + 3\xi)}$</p> |
| <p>При $0 \leq x \leq a$</p> <p>$M = \frac{q_2 x^3}{6l} + q_1 \left(\frac{x^2}{2} - \frac{x^3}{6l} \right) - \frac{x l}{40} \left[4q_2 + 11q_1 + 20\xi (q_2 + 2q_1) \right]$</p> <p>$Q = q_2 \frac{x^2}{2l} + q_1 \left(x - \frac{x^2}{2l} \right) + \frac{l}{40} \left[4q_2 + 11q_1 + 20\xi (q_2 + 2q_1) \right] - \frac{x^2}{1 + 3\xi}$</p> |  | <p>$a_{1q} = \frac{l^2 l_1}{240 (1 + 3\xi)} [3q_1 + 2q_2 + 2\xi (8q_1 + 7q_2)]$</p> <p>$\theta_q = \frac{l^2}{120} \theta \frac{7q_1 + 8q_2}{1 + 3\xi}$</p> | <p>При $0 \leq x \leq a$</p> <p>$M = \frac{q_2 x^3}{6l} + q_1 \left(\frac{x^2}{2} - \frac{x^3}{6l} \right) - \frac{x l}{40} \left[4q_2 + 11q_1 + 20\xi (q_2 + 2q_1) \right]$</p> <p>$Q = q_2 \frac{x^2}{2l} + q_1 \left(x - \frac{x^2}{2l} \right) + \frac{l}{40} \left[4q_2 + 11q_1 + 20\xi (q_2 + 2q_1) \right] - \frac{x^2}{1 + 3\xi}$</p> |

а продифференцировав 2 раза по x и помня, что $\frac{d^2y}{dx^2} = \frac{M}{EI}$, получим:

$$\frac{d^4M}{dx^4} + \frac{bk_r}{EI}M = 0. \quad (66)$$

Обозначим $\lambda = \sqrt[4]{\frac{4EI}{bk_r}}$; тогда $\frac{bk_r}{EI} = \frac{4}{\lambda^4}$,

где λ — характеристика жесткости балки, лежащей на упругом основании.

Умножив обе части уравнения (66) на λ^4 , будем иметь:

$$\lambda^4 \frac{d^4M}{dx^4} + 4M = 0. \quad (6)$$

Полагая

$$M = e^{r\varphi},$$

где

$$\varphi = \frac{x}{\lambda};$$

$$r = \text{const},$$

и учитывая, что

$$\frac{dM}{dx} = \frac{d}{dx}(e^{r\varphi}) = \frac{r}{\lambda} e^{r\varphi}; \quad \frac{d^2M}{dx^2} = \frac{r^2}{\lambda^2} e^{r\varphi}; \quad \frac{d^3M}{dx^3} = \frac{r^3}{\lambda^3} e^{r\varphi}; \quad \frac{d^4M}{dx^4} = \frac{r^4}{\lambda^4} e^{r\varphi}, \text{ а } e^{r\varphi} \neq 0,$$

то из уравнения (6) после подстановки значений M и $\frac{d^4M}{dx^4}$ получим так называемое характеристическое уравнение*:

$$r^4 + 4 = 0$$

или

$$r^4 + 4r^2 + 4 - 4r^2 = 0; \quad (r^2 + 2)^2 - (2r)^2 = 0;$$

$$(r^2 + 2r + 2)(r^2 - 2r + 2) = 0; \quad r = \pm 1 \pm \sqrt{-1} = \pm 1 \pm i.$$

Общий интеграл уравнения (6) будет:

$$M = Ae^{-\varphi(1-i)} + Be^{-\varphi(1+i)} + Ce^{\varphi(1+i)} + De^{\varphi(1-i)}$$

или

$$M = Ae^{-\varphi} e^{i\varphi} + Be^{-\varphi} e^{-i\varphi} + Ce^{\varphi} e^{i\varphi} + De^{\varphi} e^{-i\varphi}.$$

Воспользуемся формулами Эйлера:

$$e^{i\varphi} = \cos \varphi + i \sin \varphi; \quad e^{-i\varphi} = \cos \varphi - i \sin \varphi;$$

$$M = Ae^{-\varphi} (\cos \varphi + i \sin \varphi) + Be^{-\varphi} (\cos \varphi - i \sin \varphi) + Ce^{\varphi} (\cos \varphi + i \sin \varphi) + De^{\varphi} (\cos \varphi - i \sin \varphi).$$

Приняв $A+B=C_1$; $A-B=-iC_2$; $C+D=C_3$; $C-D=-iC_4$, после подстановки в последнее уравнение, получим:

$$\left. \begin{aligned} M &= C_1 e^{-\varphi} \cos \varphi + C_2 e^{-\varphi} \sin \varphi + C_3 e^{\varphi} \cos \varphi + C_4 e^{\varphi} \sin \varphi \\ \frac{dM}{dx} &= Q = \frac{1}{\lambda} [(C_2 - C_1) e^{-\varphi} \cos \varphi - (C_2 + C_1) e^{-\varphi} \sin \varphi + \\ &\quad (C_3 + C_4) e^{\varphi} \cos \varphi + (C_4 - C_3) e^{\varphi} \sin \varphi] \\ \rho = bk_r y = q - \frac{dQ}{dx} &= q + \frac{2}{\lambda^2} [C_2 e^{-\varphi} \cos \varphi - C_1 e^{-\varphi} \sin \varphi - \\ &\quad - C_4 e^{\varphi} \cos \varphi + C_3 e^{\varphi} \sin \varphi] \\ \omega = EI y = q \frac{\lambda^4}{4} + \frac{\lambda^2}{2} &[C_2 e^{-\varphi} \cos \varphi - C_1 e^{-\varphi} \sin \varphi - C_4 e^{\varphi} \cos \varphi + C_3 e^{\varphi} \sin \varphi] \\ \frac{d\omega}{dx} = \frac{\lambda^4}{4} \frac{dq}{dx} - \frac{\lambda}{2} &[(C_2 + C_1) e^{-\varphi} \cos \varphi + (C_2 - C_1) e^{-\varphi} \sin \varphi + \\ &\quad + (C_4 - C_3) e^{\varphi} \cos \varphi - (C_4 + C_3) e^{\varphi} \sin \varphi] \end{aligned} \right\} \quad (7)$$

* В. И. Смирнов. Высшая математика. Государственное издательство технико-теоретической литературы, 1948.

Здесь, как и в предыдущих формулах, значение характеристики жесткости:

$$\lambda = \sqrt[4]{\frac{4EI}{bk_r}}$$

Воспользуемся решением в форме (7).

Так как круговые функции $\sin \varphi$ и $\cos \varphi$ — суть функции равнопериодические, то первые два члена в уравнениях (7), содержащие множитель $e^{-\varphi} = \frac{1}{e^\varphi}$, с возрастанием φ (или, что то же, с увеличением x , т. е. с удалением от начала координат) будут с каждым полупериодом (т. е. при изменении φ в π раз) быстро убывать ($e^{-\pi} = \frac{1}{23,5} \approx 0,04$). Последние два члена также быстро убывают с уменьшением φ (т. е. при приближении к началу координат). Очевидно, что первые два члена с коэффициентами C_1 и C_2 представляют влияние краевых условий в начале координат, выбираемых обычно на одном конце балки (или характерного участка), в то время, как члены с коэффициентами C_3 и C_4 учитывают влияние краевых условий на противоположном конце балки (участка).

Чем длиннее балка, тем меньше краевые условия одного конца балки сказываются на другом ее конце.

Для практических целей можно считать, что этим влиянием можно пренебрегать при относительной длине балки $\varphi_0 = \frac{l}{\lambda} > 3$, где l — длина балки, или расстояние между сосредоточенными силами, действующими на балку.

С другой стороны, с уменьшением отношения длины балки l к ее упругой характеристике λ все меньшим становится влияние внешних сил на деформацию ее продольной оси. Для балок (или участков) с отношением $\varphi_0 = \frac{l}{\lambda} < 1$ при практических расчетах можно пренебрегать искривлением оси балки и рассматривать ее как жесткий брус, лежащий на упругом основании.

Условимся различать поэтому три категории балок на упругом основании:

1. Длинная балка на упругом основании, относительная длина которой $\varphi_0 = \frac{l}{\lambda}$ велика (практически $\varphi_0 > 3$).

Для таких балок уравнения (7) упрощаются и приобретают вид:

$$\left. \begin{aligned} M &= C_1 e^{-\varphi} \cos \varphi + C_2 e^{-\varphi} \sin \varphi = C_1 \eta_1 + C_2 \eta_2 \\ Q &= \frac{1}{\lambda} [(C_2 - C_1) e^{-\varphi} \cos \varphi - (C_2 + C_1) e^{-\varphi} \sin \varphi] = \frac{C_2 - C_1}{\lambda} \eta_1 - \frac{C_2 + C_1}{\lambda} \eta_2 \\ p &= q + \frac{2}{\lambda^2} [C_2 e^{-\varphi} \cos \varphi - C_1 e^{-\varphi} \sin \varphi] = q + \frac{2C_2}{\lambda^2} \eta_1 - \frac{2C_1}{\lambda^2} \eta_2 \\ w &= \frac{\lambda^4}{4} q + \frac{\lambda^2}{2} [C_2 e^{-\varphi} \cos \varphi - C_1 e^{-\varphi} \sin \varphi] = \frac{\lambda^4}{4} q + \frac{C_2 \lambda^2}{2} \eta_1 - \frac{C_1 \lambda^2}{2} \eta_2 \\ w' &= \frac{\lambda^4}{4} q' - \frac{\lambda}{2} [(C_2 + C_1) e^{-\varphi} \cos \varphi + (C_2 - C_1) e^{-\varphi} \sin \varphi] = \\ &= \frac{\lambda^4}{4} q' - \frac{\lambda(C_2 + C_1)}{2} \eta_1 - \frac{\lambda(C_2 - C_1)}{2} \eta_2 \end{aligned} \right\} (8)$$

2. Короткая балка на упругом основании (короткая оболочка вращения), для решения которой следует пользоваться равенствами (7).

При практических расчетах для короткой балки принимают:

$$1 \leq \varphi_0 = \frac{l}{\lambda} \leq 3.$$

3. Жесткая балка (брус) на упругом основании (например, башмак колонны) при пролетах балки

$$l < \lambda.$$

При расчетах резервуаров короткая балка на упругом основании встречается редко и, кроме того, расчет короткой балки можно свести к длинной балке на упругом основании (метод Клишевича) [13]. Поэтому мы остановимся на решении для длинной балки постоянного сечения и жесткой, отослав интересующихся короткой балкой к перечисленным в конце книги литературным источникам [6], [12], [13], [14].

а) Длинная балка постоянного сечения на однородном упругом основании

(или длинный замкнутый осесимметричный цилиндр постоянной толщины)

Из двух первых уравнений группы (8), считая начало координат на конце балки, где действуют изгибающий момент M_0 и перерезывающая сила Q_0 , получим при $\varphi = 0$:

$$M_0 = C_1; \quad Q_0 = \frac{C_2 - C_1}{\lambda};$$

$$C_2 = C_1 + Q_0 \lambda = M_0 + Q_0 \lambda.$$

Уравнения (8) переписываются в виде:

$$\left. \begin{aligned} 1) \quad M &= M_0 \eta_1 + (M_0 + Q_0 \lambda) \eta_2 \\ 2) \quad Q &= Q_0 (\eta_1 - \eta_2) - \frac{2}{\lambda} M_0 \eta_2 \\ 3) \quad p &= q + \frac{2}{\lambda^2} [(M_0 + Q_0 \lambda) \eta_1 - M_0 \eta_2] \\ 4) \quad \omega &= EI y = q \frac{\lambda^4}{4} + \frac{\lambda^2}{2} [(M_0 + Q_0 \lambda) \eta_1 - M_0 \eta_2] \\ 5) \quad \omega' &= EI y' = \frac{\lambda^4}{4} q' + Q_0 \frac{\lambda^2}{2} (\eta_1 + \eta_2) + M_0 \lambda \eta_1 \end{aligned} \right\} \quad (9)$$

где M — изгибающий момент в сечении балки, взятом на расстоянии x от сечения, в котором приложены сосредоточенные M_0 и Q_0 ;

Q — соответственно поперечная сила;

p — соответственно давление на грунт под балкой.

Необходимо иметь в виду, что знаки, принятые в уравнениях (9), действительны лишь в том случае, если положительные направления момента M_0 и перерезывающей силы Q_0 выбраны так, что перемещение края балки под действием M_0 совпадает с направлением Q_0 (т. е. что перемещения $\delta_{QM} = \delta_{MQ}$ положительны); так же за положительную должна быть принята внешняя нагрузка q , совпадающая с направлением положительной перерезывающей силы Q_0 . Угол поворота ω' оси у опоры от нагрузки считается положительным, если он совпадает с положительным направлением момента M_0 .

Значения $\eta_1 = e^{-\varphi} \cos \varphi$; $\eta_2 = e^{-\varphi} \sin \varphi$, а также $\eta_3 = \eta_1 + \eta_2$; $\eta_4 = \eta_1 - \eta_2$, приведены в таблице 3.

Уравнения (9) позволяют определить краевые перемещения от единичных усилий и построить линии влияния для длинной балки на упругом основании, а также определить опорные реакции в длинной балке, шарнирно опертой или жестко заделанной на конце (при $\varphi = 0$).

Из уравнений (9) (строки 1 и 2) видно, что распределенная по прямолинейному закону нагрузка q не вызывает изгиба и сдвигающих усилий в балке постоянной жесткости, свободно лежащей на упругом основании.

Коэффициенты для расчета балок на упругом основании и осесимметричных оболочек

| ν | η ₁ | Разница | η ₂ | Разница | η ₃ | Разница | η ₄ | Разница | φ | η ₁ | η ₂ | η ₃ | η ₃ | η ₁ | φ | Разница | η ₄ | Разница | η ₃ | η ₂ | η ₁ | η ₃ | η ₃ | η ₁ |
|------|----------------|----------|----------------|----------|----------------|---------|----------------|---------|-----|----------------|----------------|----------------|----------------|----------------|---|---------|----------------|---------|----------------|----------------|----------------|----------------|----------------|----------------|
| 0,0 | 1,0000 | 0,0996 | 0,0000 | 0,0903 | 1,0000 | 0,0093 | 1,0000 | 0,0093 | 3,6 | -0,02450 | -0,01209 | -0,03659 | -0,01241 | | | | | | | | | | | |
| 0,10 | 0,9004 | 0,0980 | 0,0903 | 0,0724 | 0,9907 | 0,0256 | 0,8100 | 0,1702 | 3,7 | -0,02100 | -0,01310 | -0,03407 | -0,00787 | | | | | | | | | | | |
| 0,20 | 0,8024 | 0,0946 | 0,1627 | 0,0562 | 0,9651 | 0,0384 | 0,6398 | 0,1510 | 3,8 | -0,01770 | -0,01369 | -0,03138 | -0,00401 | | | | | | | | | | | |
| 0,30 | 0,7078 | 0,0904 | 0,2189 | 0,0421 | 0,9267 | 0,0483 | 0,4888 | 0,1324 | 3,9 | -0,01470 | -0,01392 | -0,02862 | -0,00077 | | | | | | | | | | | |
| 0,40 | 0,6174 | 0,0851 | 0,2610 | 0,0298 | 0,8784 | 0,0553 | 0,3564 | 0,1149 | 4,0 | -0,01197 | -0,01386 | -0,02583 | 0,00189 | | | | | | | | | | | |
| 0,50 | 0,5323 | 0,0793 | 0,2908 | 0,0191 | 0,8231 | 0,0603 | 0,2415 | 0,0984 | 4,1 | -0,00955 | -0,01356 | -0,02309 | 0,00403 | | | | | | | | | | | |
| 0,60 | 0,4530 | 0,0732 | 0,3099 | 0,0100 | 0,7628 | 0,0631 | 0,1431 | 0,0832 | 4,2 | -0,00753 | -0,01307 | -0,02042 | 0,00572 | | | | | | | | | | | |
| 0,70 | 0,3798 | 0,0668 | 0,3199 | 0,0024 | 0,6997 | 0,0643 | 0,0599 | 0,0692 | 4,3 | -0,00545 | -0,01243 | -0,01787 | 0,00699 | | | | | | | | | | | |
| 0,80 | 0,3130 | 0,0602 | 0,3293 | 0,0038 | 0,6354 | 0,0642 | 0,0093 | 0,0564 | 4,4 | -0,00380 | -0,01168 | -0,01546 | 0,00791 | | | | | | | | | | | |
| 0,90 | 0,2528 | 0,0540 | 0,3185 | 0,0089 | 0,5712 | 0,0629 | -0,0657 | 0,0451 | 4,5 | -0,00235 | -0,01086 | -0,01320 | 0,00852 | | | | | | | | | | | |
| 1,00 | 0,1988 | 0,0478 | 0,3096 | 0,0129 | 0,5083 | 0,0607 | -0,1108 | 0,0349 | 4,6 | -0,00110 | -0,00999 | -0,01112 | 0,00886 | | | | | | | | | | | |
| 1,10 | 0,1510 | 0,0418 | 0,2967 | 0,0160 | 0,4476 | 0,0577 | -0,1457 | 0,0259 | 4,7 | 0,00020 | -0,00909 | -0,00921 | 0,00898 | | | | | | | | | | | |
| 1,20 | 0,1092 | 0,0363 | 0,2807 | 0,0181 | 0,3899 | 0,0544 | -0,1716 | 0,0181 | 4,8 | 0,00070 | -0,00820 | -0,00748 | 0,00892 | | | | | | | | | | | |
| 1,30 | 0,0729 | 0,0310 | 0,2626 | 0,0196 | 0,3355 | 0,0506 | -0,1897 | 0,0114 | 4,9 | 0,00090 | -0,00732 | -0,00593 | 0,00870 | | | | | | | | | | | |
| 1,40 | 0,0419 | 0,0261 | 0,2430 | 0,0204 | 0,2849 | 0,0465 | -0,2011 | 0,0057 | 5,0 | 0,00200 | -0,00646 | -0,00455 | 0,00837 | | | | | | | | | | | |
| 1,50 | 0,0158 | 0,0217 | 0,2226 | 0,0208 | 0,2384 | 0,0425 | -0,2068 | 0,0009 | 5,1 | 0,00235 | -0,00504 | -0,00334 | 0,00795 | | | | | | | | | | | |
| 1,60 | 0,0059 | 0,0295 | 0,2018 | 0,0206 | 0,1959 | 0,0383 | -0,2077 | 0,0030 | 5,2 | 0,00260 | -0,00487 | -0,00229 | 0,00746 | | | | | | | | | | | |
| 1,70 | -0,0236 | 0,0140 | 0,1812 | 0,0202 | 0,1576 | 0,0342 | -0,2047 | 0,0062 | 5,3 | 0,00275 | -0,00415 | -0,00139 | 0,00692 | | | | | | | | | | | |
| 1,80 | -0,0376 | 0,0108 | 0,1610 | 0,0195 | 0,1234 | 0,0302 | -0,1985 | 0,0086 | 5,4 | 0,00290 | -0,00349 | -0,00063 | 0,00636 | | | | | | | | | | | |
| 1,90 | -0,0484 | 0,0080 | 0,1415 | 0,0184 | 0,0932 | 0,0265 | -0,1899 | 0,0105 | 5,5 | 0,00290 | -0,00288 | -0,00001 | 0,00578 | | | | | | | | | | | |
| 2,00 | -0,0564 | 0,0054 | 0,1231 | 0,0174 | 0,0667 | 0,0228 | -0,1794 | 0,0119 | 5,6 | 0,00280 | -0,00184 | 0,00095 | 0,00520 | | | | | | | | | | | |
| 2,10 | -0,0618 | 0,0034 | 0,1057 | 0,0161 | 0,0439 | 0,0195 | -0,1675 | 0,0127 | 5,7 | 0,00270 | -0,00144 | 0,00184 | 0,00464 | | | | | | | | | | | |
| 2,20 | -0,0652 | 0,0016 | 0,0896 | 0,0148 | 0,0244 | 0,0164 | -0,1548 | 0,0132 | 5,8 | 0,00255 | -0,00112 | 0,00240 | 0,00409 | | | | | | | | | | | |
| 2,30 | -0,0669 | 0,0011 | 0,0748 | 0,0135 | 0,0080 | 0,0136 | -0,1416 | 0,0134 | 5,9 | 0,00220 | -0,00069 | 0,00169 | 0,00356 | | | | | | | | | | | |
| 2,40 | -0,0668 | 0,0022 | 0,0613 | 0,0122 | -0,0056 | 0,0110 | -0,1282 | 0,0133 | 6,0 | 0,00200 | -0,00041 | 0,00041 | 0,00317 | | | | | | | | | | | |
| 2,50 | -0,0658 | 0,0011 | 0,0491 | 0,0108 | 0,0166 | 0,0088 | -0,1149 | 0,0130 | 6,1 | 0,00185 | 0,00017 | 0,00183 | 0,00261 | | | | | | | | | | | |
| 2,60 | -0,0636 | 0,0028 | 0,0383 | 0,0096 | -0,0254 | 0,0066 | -0,1019 | 0,0124 | 6,2 | 0,00150 | 0,00003 | 0,00187 | 0,00221 | | | | | | | | | | | |
| 2,70 | -0,0608 | 0,0035 | 0,0287 | 0,0083 | -0,0320 | 0,0049 | -0,0895 | 0,0118 | 6,3 | 0,00169 | 0,00019 | 0,00184 | 0,00187 | | | | | | | | | | | |
| 2,80 | -0,0573 | 0,0038 | 0,0204 | 0,0071 | -0,0369 | 0,0034 | -0,0777 | 0,0111 | 6,4 | 0,00150 | 0,00032 | 0,00179 | 0,00146 | | | | | | | | | | | |
| 2,90 | -0,0535 | 0,0038 | 0,01330 | 0,0063 | -0,0403 | 0,0020 | -0,0666 | 0,0103 | 6,5 | 0,00120 | 0,00042 | 0,00172 | 0,00115 | | | | | | | | | | | |
| 3,00 | -0,0493 | 0,0042 | 0,00703 | 0,0059 | -0,04236 | 0,0018 | -0,0563 | 0,0095 | 6,6 | 0,00080 | 0,00055 | 0,00162 | 0,00087 | | | | | | | | | | | |
| 3,10 | -0,0450 | 0,00187 | 0,00187 | 0,004314 | -0,04314 | 0,0012 | -0,04688 | 0,0080 | 6,7 | 0,00070 | 0,00058 | 0,00152 | 0,00063 | | | | | | | | | | | |
| 3,20 | -0,0407 | -0,00238 | -0,00238 | 0,00307 | -0,04307 | 0,0008 | -0,03821 | 0,0068 | 6,8 | 0,00050 | 0,00055 | 0,00141 | 0,00042 | | | | | | | | | | | |
| 3,30 | -0,0364 | -0,00582 | -0,00582 | 0,00424 | -0,0424 | 0,0006 | -0,03060 | 0,0058 | 6,9 | 0,00020 | 0,00058 | 0,00129 | 0,00024 | | | | | | | | | | | |
| 3,40 | -0,0322 | -0,00853 | -0,00853 | 0,00479 | -0,0424 | 0,0004 | -0,02374 | 0,0042 | 7,0 | 0,00000 | 0,00060 | 0,00129 | 0,00009 | | | | | | | | | | | |
| 3,50 | -0,0283 | -0,01059 | -0,01059 | 0,00387 | -0,04236 | 0,0003 | -0,01769 | 0,0030 | | | | | | | | | | | | | | | | |

Для длинной балки со свободными краями, подставляя в 5-е уравнение группы (9) $q=0$; $M_0=1$; $Q_0=0$ при $\varphi=0$, получим (фиг. 225, а):

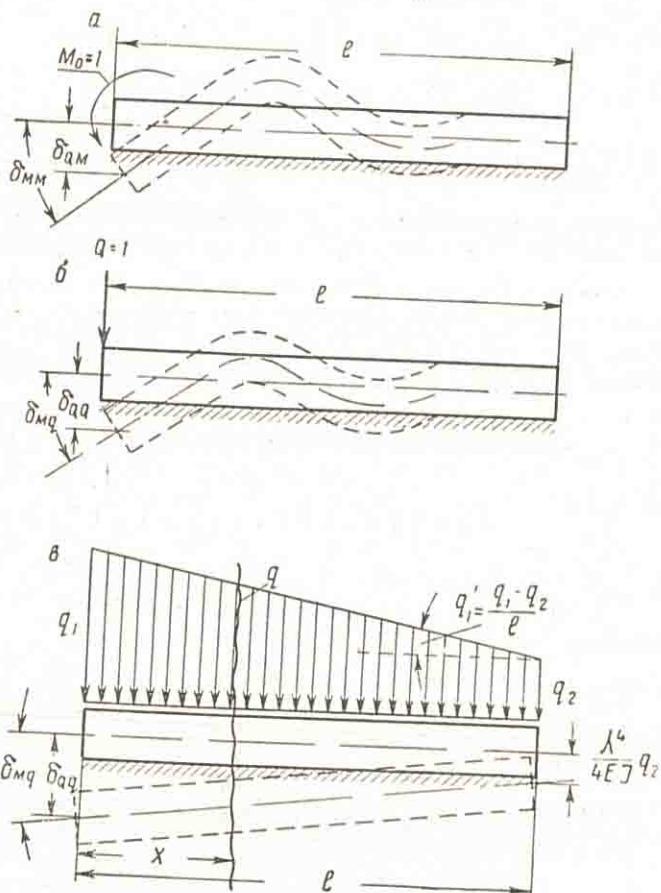
$$a_{11} = EI\delta_{MM} = \lambda; \quad (10)$$

из него же, приняв $Q_0=1$; $M_0=0$; $q=0$ при $\varphi=0$ (фиг. 225, б):

$$a_{21} = EI\delta_{QM} = \pm \frac{\lambda^2}{2} = a_{12}; \quad (11)$$

и из 4-й строки:

$$a_{22} = EI\delta_{QQ} = \frac{\lambda^3}{2}. \quad (12)$$



Фиг. 225. Схемы длинной балки со свободными краями на упругом основании и виды деформаций:
а—от $M_0=1$ на левом конце балки; б—от $Q_0=1$ на левом конце балки;
в—от нагрузки распределенной по линейному закону.

Свободные члены (от нагрузки) по методу сил получим соответственно из строк 5-й и 4-й подстановкой $M_0=Q_0=0$; $q=q_1$ (фиг. 225, в):

$$a_{1q} = \pm \frac{\lambda^4}{4} q^* = \pm \frac{\lambda^4}{4l} (q_1 - q_2); \quad (13)$$

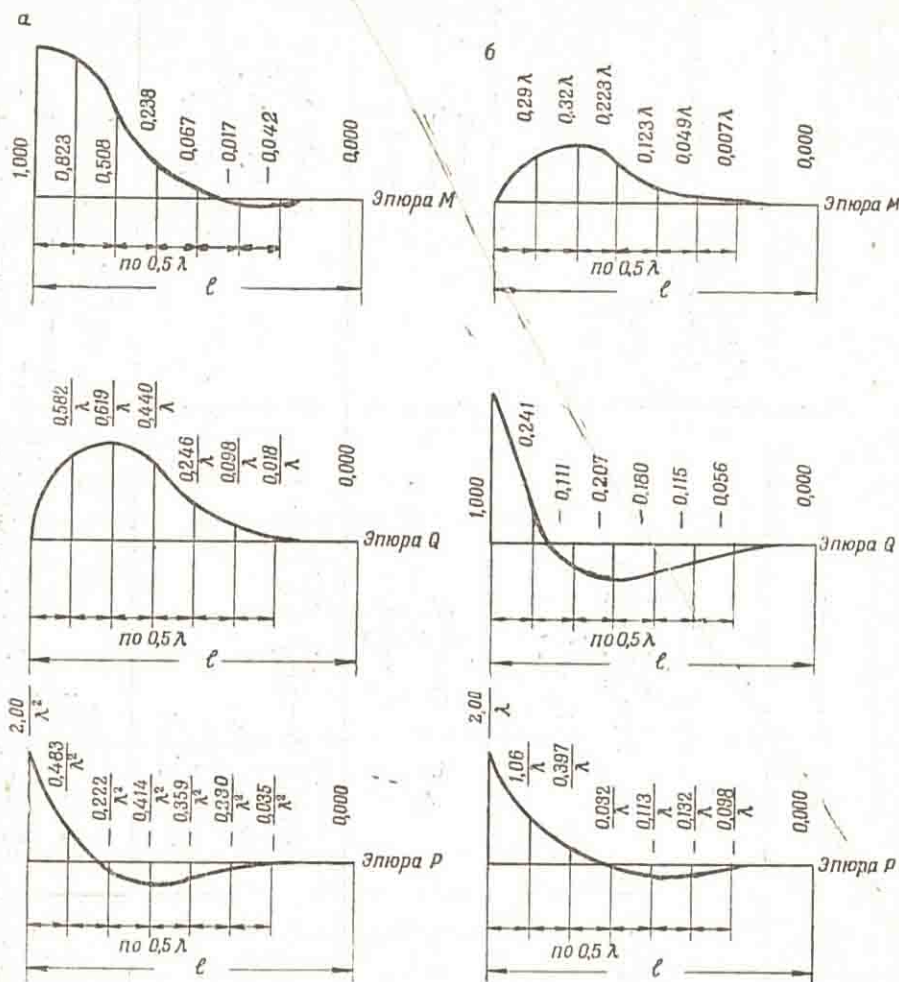
$$a_{2q} = \frac{\lambda^4}{4} q_1. \quad (14)$$

Верхние знаки в выражениях (11) и (13) соответствуют принятому для уравнений (9) правилу знаков.

Нижние знаки соответствуют тому случаю, когда угол поворота от положительной силы Q_0 и от положительной нагрузки q (отвечающей

направлению положительной Q_0) не совпадает с направлением положительного M_0 .

Эпюры усилий от крайних единичных сил для длинной балки (фиг. 225) приведены на фигуре 226, а значения их даны в таблице 4.



Фиг. 226. Эпюры усилий для длинной балки на упругом основании при свободных краях:

а—от $M_0=1$ на левом конце балки; б—от $Q_0=1$ на левом конце балки.

Если конец балки оперт шарнирно, то величина опорной реакции при загрузении $M_0=1$ определится, если в четвертом уравнении группы (9) принять

$$w=0; \quad q=0; \quad M_0=1.$$


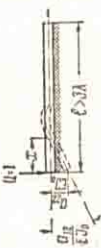
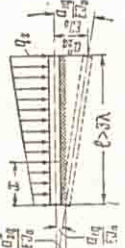
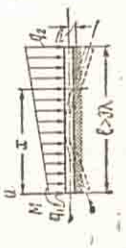
Тогда при $\varphi=0$:

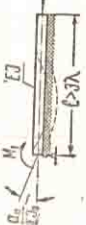

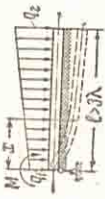
$$\begin{aligned} \eta_1 &= 1; & \eta_2 &= 0; \\ r_Q &= Q_{M=1}^0 = -\frac{1}{\lambda}. \end{aligned} \quad (15)$$

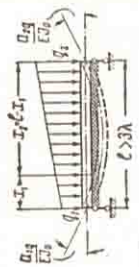

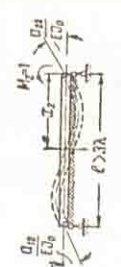
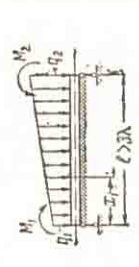
Принимая в том же уравнении: $w=0$; $M_0=0$; $q=q_1$; $\varphi=0$, получим:

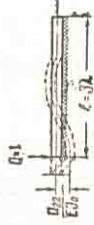
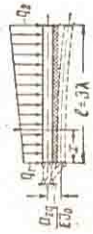

$$r_q = Q_q^0 = -\frac{q_1 \lambda}{2}. \quad (16)$$

Усилия и перемещения краев в балках, лежащих на упругом основании, и в осесимметричных оболочках

| Характеристика элемента | Схема загрузки и опоры балки на упругом основании | Значение перемещений по схеме | Текущие значения усилий в элементе |
|--|---|--|---|
| <p>1. Длинная балка постоянной жесткости EI, свободно лежащая на упругом основании, с постоянным коэффициентом постели k_r или цилиндрическая осесимметричная оболочка постоянной толщины δ</p> $\left(k_r = \frac{E\delta}{r^3} \right)$ |  | $a_{11} = \lambda \frac{I_0}{I} = \lambda_1$ $a_{21} = \frac{\lambda^2}{2} \frac{I_0}{I} = \frac{\lambda}{2} \lambda_1$ $\lambda_1 = \lambda \frac{I_0}{I}$ | $M_x = M (\eta_1 + \eta_2)$ $Q_x = -\frac{2M}{\lambda} \eta_2; \eta_1 = e^{-\varphi} \cos \varphi; \eta_2 = e^{-\varphi} \sin \varphi$ $\varphi = \frac{x}{\lambda}$ <p>Давление на основание</p> $q_x = \frac{2}{\lambda^2} M (\eta_1 - \eta_2)$ |
| <p>(Коэффициент Пуассона $\nu=0$) λ — характеристика жесткости. * Для балки на упругом основании</p> |  | $a_{12} = \frac{\lambda}{2} \lambda_1$ $a_{22} = \frac{\lambda^2}{2} \lambda_1$ | $M_x = Q\lambda\eta_2$ $Q_x = -Q (\eta_1 - \eta_2)$ $q_x = 2 \frac{Q}{\lambda} \eta_1$ |
| <p>$\lambda = \sqrt[4]{\frac{4EI}{bk_r}}$ Для цилиндрической оболочки радиуса r толщиной δ</p> $\lambda = \frac{\sqrt{r\delta}}{\sqrt[3]{3(1-\nu^2)}} \approx 0,76 \sqrt{r\delta}$ |  | $a_{1q} = \frac{\lambda^4}{4I} (q_1 - q_2) \cdot \frac{I_0}{I} = \frac{\lambda^3 \cdot \lambda_1}{4I} (q_1 - q_2)$ $a_{2q} = \frac{\lambda^3}{4} \lambda_1 q_1$ $a_{3q} = \frac{\lambda^3}{4} \lambda_1 q_2$ | $M_x = 0; Q_x = 0$ $q_x = q_1 + q_2 \frac{x}{l}$ <p>Кольцевые усилия в цилиндрической оболочке</p> $T_x = q_x r$ |
| |  | $EIy = w_x = \frac{q_x \lambda^4}{4};$ $w'_x = \frac{(q_2 - q_1) \cdot \lambda^3}{4I} + M\lambda\eta_1 + Q (\eta_1 + \eta_2) \frac{\lambda^2}{2}$ | $T_x = q_x r$ $M_x = M\eta_1 + (M + Q\lambda) \eta_2$ $Q_x = -Q (\eta_1 - \eta_2) - \frac{2M}{\lambda} \eta_2$ $q_x = q_1 \left(1 - \frac{x}{l} \right) + q_2 \frac{x}{l} + \frac{2}{\lambda^2} [(M + Q\lambda) \eta_1 - M\eta_2]$ |

| Характеристика элемента | Схема нагружения и опоры балки на упругом основании | Значение перемещений по схеме | Текущие значения усилий в элементе |
|--|--|--|---|
| <p>2. Длинная на упругом основании балка постоянной жесткости EI, с одним свободным, другим шарнирно опертым (нагруженным) концами или цилиндрическая оболочка постоянной толщины с такими же условиями на концах</p> |  | $a_{11} = \frac{\lambda^3}{2}$ | $M_x = M\eta_1$ $Q_x = -\frac{M}{\lambda} (\eta_1 + \eta_2)$ $q_x = \frac{2M}{\lambda^2} \eta_2$ |
| |  | $a_{11} q = \frac{q_2 \lambda^3 \lambda_1}{4l} + \frac{q_1 \lambda^3 \lambda_1}{4l} \left(\frac{l}{\lambda} - 1 \right)$ | $M_x = \frac{q_1 \lambda^2}{2} \eta_2$ $Q_x = \frac{q_1 \lambda}{2} (\eta_1 - \eta_2)$ $q_x = q_1 \left(1 - \frac{x}{l} - \eta_1 \right) + q \frac{x}{l}$ |
| |  | $w_x = EI y = q_x \frac{\lambda^4}{4}$ $w'_x = \frac{q_2 \lambda^4}{4l} - \frac{q_1 \lambda^3}{4} \left(\frac{\lambda}{l} - \eta_1 - \eta_2 - 1 \right) + \frac{M\lambda}{2} (\eta_1 - \eta_2)$ | $M_x = M\eta_1 + \frac{q_1 \lambda^2}{2} \eta_2$ $Q_x = \frac{q_1 \lambda}{2} (\eta_1 - \eta_2) - \frac{M}{\lambda} (\eta_1 + \eta_2)$ $q_x = q_1 \left(1 - \frac{x}{l} - \eta_1 \right) + q_2 \frac{x}{l} + \frac{2M}{\lambda^2} \eta_2$ <p>Кольцевые усилия $T_x = q_x x$</p> |

| Характеристика элемента | Схема нагружения и опорания балки на упругом основании | Значение перемещений по схеме | Текущие значения усилий в элементе |
|---|--|--|---|
| <p>3. Длинная балка на упругом основании ($EI = \text{const}$), или цилиндрическая (полярно-симметричная) оболочка постоянной толщины, однопролетная с шарнирно опертыми концами</p> <p>Примечание. Знаки моментов и поперечных сил соответствуют правилу знаков, принятым для простых балок</p> |  | $a_{1q} = \frac{q_1 \lambda \lambda_1}{4l} \left(\frac{l}{\lambda} - 1 \right) + \frac{q_2 \lambda \lambda_1}{4l}$ $a_{2q} = \frac{q_2 \lambda \lambda_1}{4l} \left(\frac{l}{\lambda} - 1 \right) + \frac{q_1 \lambda \lambda_1}{4l}$ | $M_x = \frac{q_1 \lambda^2}{2} \gamma_2^n + \frac{q_2 \lambda^2}{2} \gamma_2^n$ $Q_x = \frac{q_1 \lambda}{2} (\gamma_1^n - \gamma_2^n) - \frac{q_2 \lambda}{2} (\gamma_1^n - \gamma_2^n)$ $q_x = q_1 \left(1 - \frac{x_1}{l} - \gamma_1^n \right) + q_2 \left(1 - \frac{x_2}{l} - \gamma_1^n \right)$ $\gamma_1^n = e^{-\gamma x} \cos \varphi_2; \quad \gamma_2^n = e^{-\gamma x} \sin \varphi_2; \quad \varphi_2 = \frac{x_2}{\lambda}$ $\gamma_1^n = e^{-\gamma x} \cos \varphi_1; \quad \gamma_2^n = e^{-\gamma x} \sin \varphi_1; \quad \varphi_1 = \frac{x_1}{\lambda}$ |
| |  | $a_{11} = \frac{\lambda_1}{2}$ $a_{21} \approx 0$ | $M_x = M_1 \gamma_1^n$ $Q_x = -\frac{M_1}{\lambda} (\gamma_1^n + \gamma_2^n); \quad q_x = \frac{2M_1}{\lambda^2} \gamma_2^n$ |
| |  | $a_{12} \approx 0$ $a_{22} = \frac{\lambda_1}{2}$ | $M_x = M_2 \gamma_2^n$ $Q_x = -\frac{M_2}{\lambda} (\gamma_1^n + \gamma_2^n)$ $q_x = \frac{2M_2}{\lambda^2} \gamma_2^n$ |
| |  | $\omega_x = EI y = q x \frac{\lambda^4}{4};$ $\omega_x' = EI y' = \frac{q \lambda^3}{4} \left(\gamma_1^n + \gamma_2^n - \frac{\lambda}{l} \right) - \frac{q_2 \lambda^3}{4} \left(\gamma_1^n + \gamma_2^n - \frac{\lambda}{l} \right) + \frac{M_1 \lambda}{2} \left(\gamma_1^n - \gamma_2^n \right) - \frac{M_2 \lambda}{2} \left(\gamma_1^n - \gamma_2^n \right)$ | $M_x = M_1 \gamma_1^n + M_2 \gamma_2^n + \frac{q_1 \lambda^2}{2} \gamma_2^n + \frac{q_2 \lambda^2}{2} \gamma_2^n$ $Q_x = \frac{q_1 \lambda}{2} (\gamma_1^n - \gamma_2^n) - \frac{M_1}{\lambda} (\gamma_1^n + \gamma_2^n) - \frac{q_2 \lambda}{2} (\gamma_1^n - \gamma_2^n) + \frac{M_2}{\lambda} (\gamma_1^n + \gamma_2^n)$ $T_x = q x$ $q_x = q_1 \left(1 - \frac{x}{l} - \gamma_1^n \right) + \frac{2M_1}{\lambda^2} \gamma_2^n + q_2 \left(1 - \gamma_1^n \right) + \frac{2M_2}{\lambda^2} \gamma_2^n$ |

| Характеристика элемента | Схема загрузки и опоры балки на упругом основании | Значение перемещений по схеме | Текущие значения усилий в элементе |
|---|--|---|--|
| <p>4. Длинная балка постоянной жесткости EI с одним свободным, другим плоско подвижным концами, на упругом основании с постоянным коэффициентом постели k_f, или цилиндрическая полярно-симметричная оболочка постоянной толщины при тех же условиях на краях</p> |  | $a_{22} = \frac{\lambda^3}{4} \lambda_1$ | $M_x = Q \frac{\lambda}{2} (\tau_1 - \tau_2)$ $Q_x = -Q \tau_1$ $q_x = \frac{Q}{\lambda} (\tau_1 + \tau_2)$ |
| |  | $a_{2q} = \frac{q_1 \lambda^3}{8} \lambda_1 + \frac{q_2 \lambda^3}{8} \lambda_1$ $a_{2q} = \frac{(q_1 + q_2) \lambda^3}{8} \lambda_1$ | $M_x = \frac{(q_1 - q_2) \lambda^3}{4l} (\tau_1 + \tau_2)$ $Q_x = \frac{(q_2 - q_1) \lambda^2}{4l} \tau_2$ $q_x = q_1 \left(1 - \frac{x}{l} + \frac{\tau_1 - \tau_2}{2} \right) + q_2 \left(\frac{x}{l} - \frac{\tau_1 - \tau_2}{2} \right)$ |
| |  | $w_x = EI y = q_1 \frac{\lambda^4}{4} (1 - q_1 - q_2) \times$ $\times \left(\frac{x}{l} - \frac{\tau_1 - \tau_2}{2} \right) \frac{\lambda^4}{4} + \frac{Q \lambda^3}{4} (\tau_1 + \tau_2)$ $w_x' = \frac{(q_2 - q_1) \lambda^4}{4l} (1 - \tau_1) - Q \frac{\lambda^2}{2} \tau_2$ | $M_x = \frac{(q_1 - q_2) \lambda^3}{4l} (\tau_1 + \tau_2) + \frac{Q \lambda}{2} (\tau_1 - \tau_2)$ $Q_x = \frac{(q_2 - q_1) \lambda^2}{4l} \tau_2 - Q \tau_1$ $q_x = q_1 - (q_1 - q_2) \left(\frac{x}{l} - \frac{\tau_1 - \tau_2}{2} \right) + \frac{Q}{\lambda} (\tau_1 + \tau_2)$ $T_x = q_x x$ |

EI — кратный угол поворота шарнирно опертого края под действием $M_0 = 1$ получим из 5-й строки уравнений (9), приняв $M_0 = 1$; $Q_0 = -\frac{1}{\lambda}$; $q = 0$ при $\varphi = 0$ (фиг. 227, а):

$$a_{11}^0 = \frac{\lambda}{2}. \quad (17)$$

Как видим, угол поворота от $M_0 = 1$ для шарнирно опертого края вдвое меньше, чем для свободного.

Умноженный на жесткость EI балки угол поворота (EI — кратный) края длинной балки от нагрузки q получим из 5-й строки уравнений (9), приняв в ней $M_0 = 0$; $Q_0 = -\frac{q_1 \lambda}{2}$ и $q^* = \frac{q_1 - q_2}{l}$ при $\varphi = 0$ (фиг. 227, б):

$$\begin{aligned} a_{1q}^0 &= \frac{(q_1 - q_2) \lambda^4}{4l} - \frac{q_1 \lambda^3}{4} = \\ &= \frac{q_1 \lambda^4}{4l} \left(1 - \frac{l}{\lambda}\right) - \frac{q_2 \lambda^4}{4l}. \end{aligned} \quad (18)$$

Здесь $\frac{l}{\lambda} = \varphi_6$, а знаки соответственно уравнениям (9).

При загрузении длинной балки на упругом основании, шарнирно опертой одним краем, нагрузкой,

Фиг. 227. Схемы длинной балки на упругом основании с одним шарнирно опертым концом и виды деформаций: а — от $M_0 = 1$ на опертом конце балки, б — от нагрузки распределенной по линейному закону.

распределенной по закону прямой (фиг. 227, б) и изменяющейся от q_1 на опертом краю до q_2 на противоположном свободном, и, кроме того, положительным моментом $M_0 = 1$ (фиг. 227, а) из уравнений (9) получаем для сечения, лежащего на расстоянии x от опоры:

$$\left. \begin{aligned} 1) \quad M &= M_0 \eta_1 + \frac{q_1 \lambda^2}{2} \eta_2 \\ 2) \quad Q &= \frac{q_1 \lambda}{2} (\eta_1 - \eta_2) - \frac{M_0}{\lambda} (\eta_1 + \eta_2) \\ 3) \quad p &= q_1 \left(1 - \frac{x}{l} - \eta_1\right) + q_2 \frac{x}{l} + \frac{2M_0}{\lambda^2} \eta_2 \\ 4) \quad w &= p \frac{\lambda^4}{4} = q_1 \frac{\lambda^4}{4} \left(1 - \frac{x}{l} - \eta_1\right) + q_2 \frac{x}{l} \frac{\lambda^4}{4} + M_0 \frac{\lambda^2}{2} \eta_2 \\ 5) \quad w' &= \frac{(q_2 - q_1) \lambda^4}{4l} - \frac{q_1 \lambda^3}{4} (\eta_1 + \eta_2) + M_0 \frac{\lambda}{2} (\eta_1 - \eta_2) = \\ &= \frac{q_2 \lambda^4}{4l} - q_1 \frac{\lambda^3}{4} \left(\frac{\lambda}{l} + \eta_1 + \eta_2\right) + M_0 \frac{\lambda}{2} (\eta_1 - \eta_2) \end{aligned} \right\} \quad (19)$$

Эпюры M , Q , p для балки с левым шарнирно опертым концом приведены на фигуре 228, а значения их даны в таблице 4.

Для длинной балки на упругом основании при одном жестко зажатом конце (в сечении, где $\varphi = 0$) можно определить момент M_3 и поперечную силу Q_3 в заделке, если принять в двух последних уравнениях группы (9) $w = 0$ и $w' = 0$ при $\varphi = 0$ и найдя из них величины M_0 и Q_0 , подставить значения последних в первые два уравнения той же группы (9):

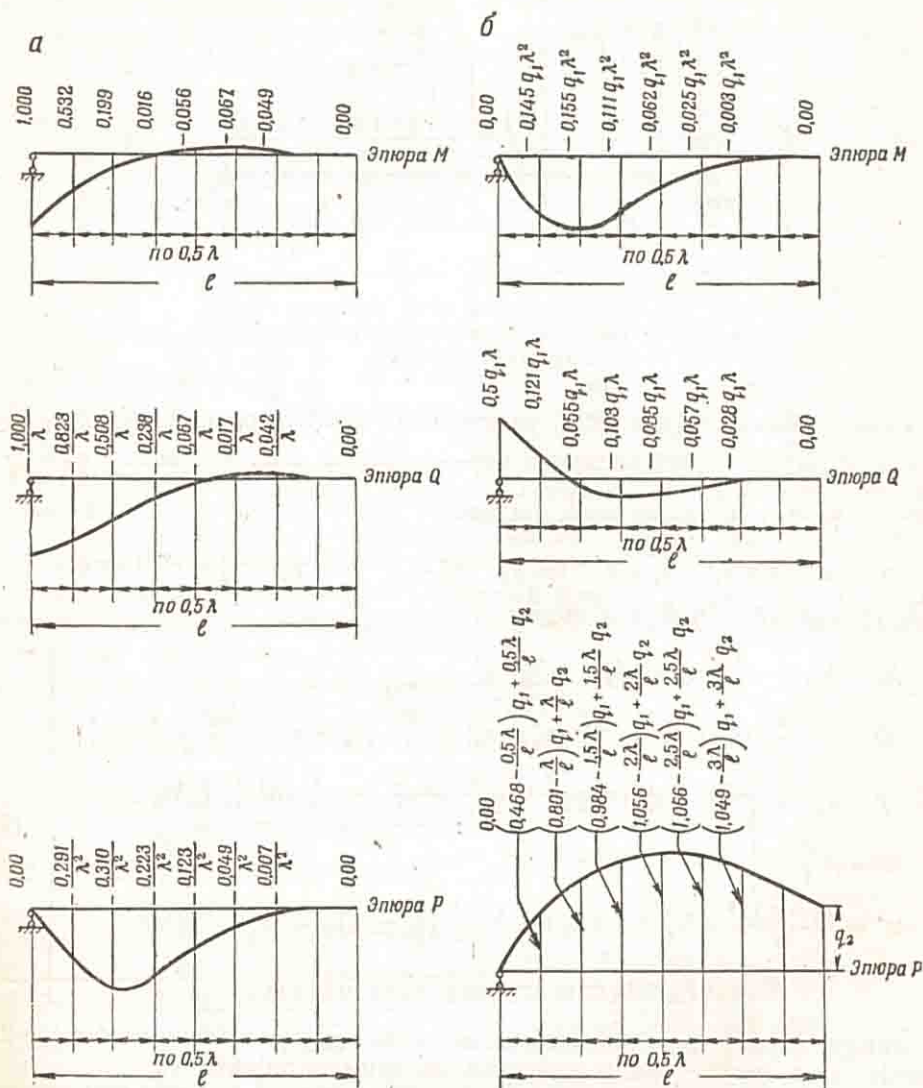
$$\left. \begin{aligned} r_{1q} &= M_3 = \frac{q_1 \lambda^2}{2} \left(1 - \frac{\lambda}{l}\right) + \frac{q_2 \lambda^2}{2l} \\ r_{2q} &= Q_3 = \frac{q_1 \lambda}{2} \left(\frac{\lambda}{l} - 2\right) - \frac{q_2 \lambda^2}{2l} \end{aligned} \right\} \quad (20)$$

Текущие значения M , Q , p , w и w' получаются из уравнений (19) подстановкой в них значения $M_0 = M_3$.

Из формул (20) легко усмотреть аналогию между консольной длинной балкой на упругом основании и простой консолью вылетом λ .

Например, при равномерно распределенной нагрузке q : для простой консоли длиной λ

$$M_3 = \frac{q\lambda^2}{2}; \quad Q_3 = -q\lambda.$$



Фиг. 228. Эпюры усилий для длинной балки на упругом основании при левом шарнирно опертом конце:

а—от нагрузки по фигуре 227,а; б—от нагрузки по фигуре 227,б.

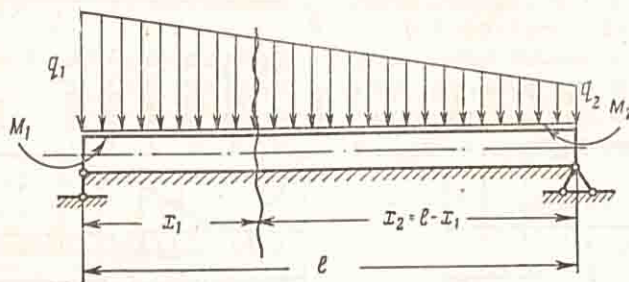
Точно так же для зажатой одним концом длинной балки на упругом основании из формул (20), принимая $q_1 = q_2 = q$:

$$M_3 = \frac{q\lambda^2}{2}; \quad Q_3 = -q\lambda.$$

Изменяются лишь законы распределения усилий и деформаций по длине консоли.

Для длинной балки на упругом основании, опертой двумя концами шарнирно, эпюры распределения усилий приближенно можно получить простым наложением эпюр, пользуясь уравнениями (19), учитывая, однако, что при сравнительно небольшой характеристике длины балки $\varphi_0 = \frac{l}{\lambda}$ условия на концах не будут точно соблюдаться.

Однако уже при $\varphi_0 > 4$ эти отклонения составляют десятые доли процента от величины усилий на противоположном конце балки.



Фиг. 229. Схема длинной однопролетной балки, лежащей на упругом основании с двумя шарнирно опертыми концами.

Если обозначить (фиг. 229) расстояния от опор соответственно x_1 и x_2 , а текущие значения независимого переменного φ соответственно $\varphi_1 = \frac{x_1}{\lambda}$; $\varphi_2 = \frac{x_2}{\lambda} = \varphi_0 - \varphi_1$ и, кроме того, положив

$\eta'_1 = e^{-\varphi_1} \cos \varphi_1$; $\eta'_2 = e^{-\varphi_1} \sin \varphi_1$; $\eta''_1 = e^{-\varphi_2} \cos \varphi_2$; $\eta''_2 = e^{-\varphi_2} \sin \varphi_2$,
то из уравнений (19) будем иметь:

$$\left. \begin{aligned} M &= M_1 \eta'_1 - \frac{q_1 \lambda^2}{2} \eta'_{12} + M_2 \eta''_1 - \frac{q_2 \lambda^2}{2} \eta''_2 \\ Q &= -\frac{M_1}{\lambda} (\eta'_1 + \eta'_{12}) - \frac{q_1 \lambda}{2} (\eta'_1 - \eta'_{12}) + \frac{M_2}{\lambda} (\eta''_1 + \eta''_2) + \frac{q_2 \lambda}{2} (\eta''_1 - \eta''_2) \\ p &= q_1 \left(1 - \frac{x_1}{l} - \eta'_1\right) + q_2 \left(1 - \frac{x_2}{l} - \eta''_1\right) - \frac{2}{\lambda^2} (M_1 \eta'_{12} + M_2 \eta''_2) \\ w &= p \frac{\lambda^4}{4} \\ w &= \frac{(q_2 - q_1) \lambda^4}{4l} - \frac{q_1 \lambda^3}{4} (\eta'_1 + \eta'_{12}) + M_1 \frac{\lambda}{2} (\eta'_1 - \eta'_{12}) + \\ &\quad + \frac{q_2 \lambda^3}{4} (\eta''_1 + \eta''_2) - M_2 \frac{\lambda}{2} (\eta''_1 - \eta''_2) \end{aligned} \right\} (21)$$

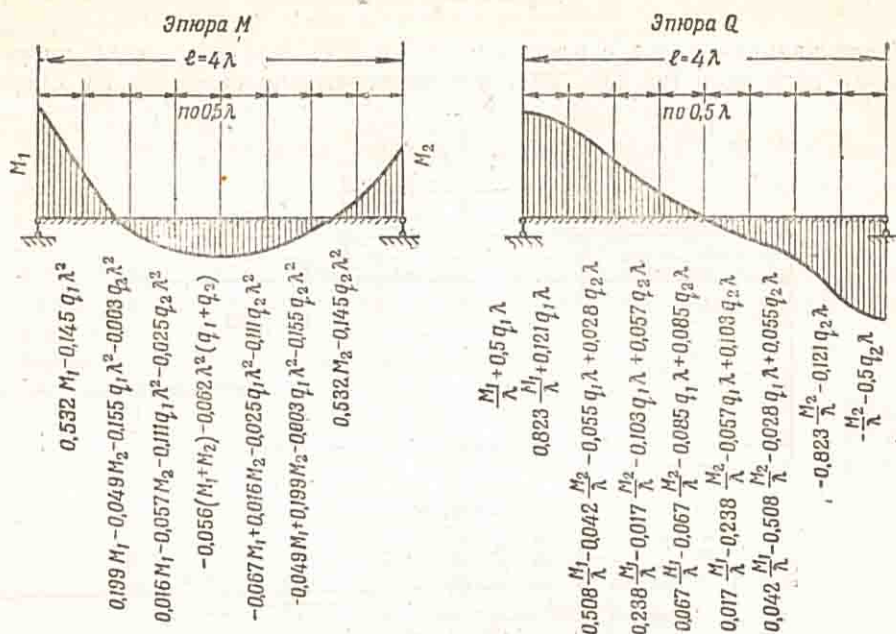
Эпюры M и Q для балки пролетом $l = 4\lambda$ при загрузении по фигуре 229 приведены на фигуре 230, а значения их даны в таблице 4.

Для балки с одним зажатым и другим шарнирно опертым концом получим аналогично выводу формул (20) из уравнений (19): при левом зажатом конце

$$\left. \begin{aligned} M_1 &= \frac{q_1 \lambda^3}{2l} \left(\frac{l}{\lambda} - 1\right) + \frac{q_2 \lambda^3}{2l} \\ M_2 &= \frac{q_2 \lambda^3}{2l} \left(\frac{l}{\lambda} - 1\right) + \frac{q_1 \lambda^3}{2l} \end{aligned} \right\} (22)$$

При обоих зажатых концах нужно одновременно подставить в уравнения (21) выражения (22).

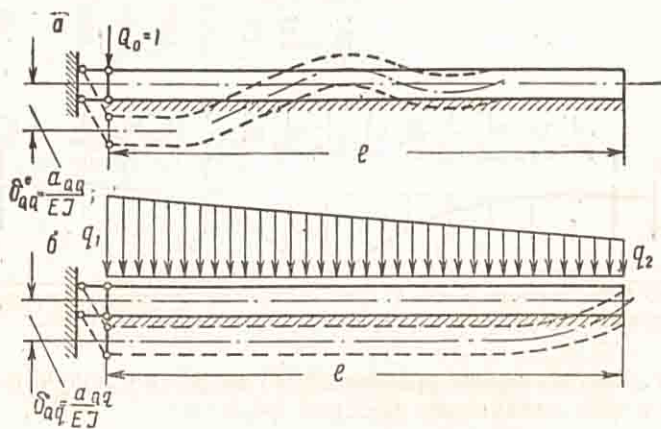
При плоско подвижном опирании края длинной балки на упругом основании (фиг. 231).



Фиг. 230. Эпюры изгибающих моментов и поперечных сил для однопролетной длинной балки на упругом основании при загрузении моментами M_1 и M_2 на концах и нагрузкой, распределенной по линейному закону.

Для загрузкиения силой $Q_0 = 1$ опорный момент получится из 5-го уравнения группы (9). Если принять $\omega' = 0$; $q' = 0$ при $x = 0$, то на краю плоско подвижном:

$$M_{Q=1}^0 = -\frac{\lambda^2}{2} \quad (23a)$$



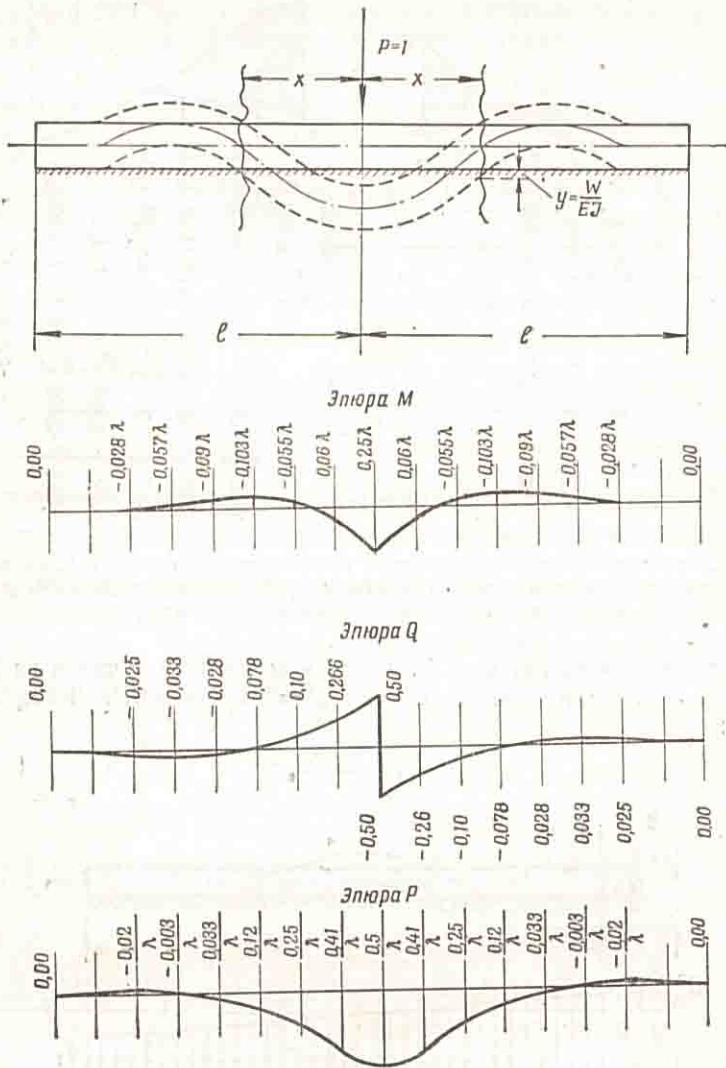
Фиг. 231. Схемы длинной балки на упругом основании с одним плоско подвижным концом и виды деформаций: а—от $Q_0 = 1$ на плоско подвижном конце; б—от нагрузки, распределенной по линейному закону.

При загрузении нагрузкой (по фиг. 231, б) для получения опорного момента нужно в 5-е уравнение группы (9) подставить $\omega' = 0$; $q' = \frac{q_1 - q_2}{l}$; $Q_0 = 0$.

При $\varphi = 0$ получим:

$$M_q^0 = \frac{(q_2 - q_1) \lambda^3}{4l}. \quad (23)$$

Если длинная балка с плоско подвижной опорой нагружена трапециoidalной нагрузкой (по фиг. 231, б) и одновременно силой Q_0 на опертм



Фиг. 232. Эпюры усилий для длинной балки на упругом основании, нагруженной в середине сосредоточенной силой $P=1$.

конце (по фиг. 231, а), то из уравнений (9) нетрудно получить с помощью формул (23а) и (23) следующие простые формулы:

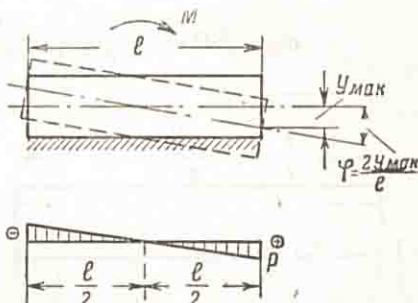
$$\left. \begin{aligned} M &= \frac{(q_2 - q_1) \lambda^3}{4l} (\eta_1 + \eta_2) - Q_0 \frac{\lambda}{2} (\eta_1 - \eta_2) \\ Q &= \frac{(q_1 - q_2) \lambda^2}{4l} \eta_2 + Q_0 \eta_1 \\ p &= q_1 \left(1 - \frac{x}{l} - \frac{\eta_1 - \eta_2}{2} \right) - q_2 \left(\frac{x}{l} + \frac{\eta_1 - \eta_2}{2} \right) + \frac{Q_0}{\lambda} (\eta_1 + \eta_2) \\ \omega &= p \frac{\lambda^4}{4}; \quad \omega' = \frac{(q_1 - q_2) \lambda^4}{4l} (1 - \eta_1) + Q_0 \frac{\lambda^2}{2} \eta_2 \end{aligned} \right\} \quad (24)$$

Этим решается, в частности, задача длинной балки, нагруженной в середине силой P (фиг. 232). Приняв в выражениях (23а) и (24) $Q_0 = \frac{P}{2}$, получаем:

$$\left. \begin{aligned} M &= P \frac{\lambda}{4} (\eta_1 - \eta_2); & Q &= \frac{P}{2} \eta_1 \\ p &= \frac{P}{2\lambda} (\eta_1 + \eta_2); & \omega &= \frac{P\lambda^3}{8} (\eta_1 + \eta_2); & \omega' &= P \frac{\lambda^2}{4} \eta_2 \end{aligned} \right\} \quad (25)$$

б) Жесткая балка на упругом основании

Если длина l балки, лежащей на упругом основании, меньше ее характеристики жесткости λ , то деформации оси балки столь незначительны, что ими можно пренебречь и считать, что ось балки остается прямолинейной после загрузки внешними силами. Систему вертикальных сил, действующих на такую жесткую балку и вызывающих перемещения ее в упругой среде, можно свести к силе, приложенной к центру тяжести балки, и к паре сил (моменту). Сила вызовет поступательное движение балки, отчего упругое основание будет испытывать равномерное сжатие. Пара сил (момент) вызовет поворот вокруг центра тяжести балки, а упругое основание будет испытывать напряжения, изменяющиеся по закону прямой (фиг. 233). Обозначим момент инерции площади сечения балки относительно горизонтальной оси I , а момент инерции подошвы балки относительно оси, перпендикулярной к плоскости действия внешнего момента — I_ϕ . В силу принятого закона о пропорциональности между нагрузкой и просадкой грунта можно написать:



Фиг. 233. Перемещения и Эпюра давлений на основание для жесткой балки на упругом основании от действия момента.

$$\sigma_{\max} = k_r y_{\max}$$

и так как угол поворота $\varphi = \frac{2y_{\max}}{l}$, то

$$\sigma_{\max} = \frac{k_r \varphi l}{2}.$$

Но так как внешний момент уравнивается только отпором грунта, то в соответствии с фигурой 233:

$$M = b \frac{\sigma_{\max} l}{2} \cdot \frac{l}{3} = \sigma_{\max} \frac{bl^2}{6},$$

откуда

$$\sigma_{\max} = \frac{6M}{bl^2}.$$

Подставив в левую часть зависимости между σ_τ и φ это значение, получим:

$$\varphi = \frac{12M}{k_r bl^3} = \frac{M}{k_r I_\phi},$$

где b — ширина подошвы балки, а $I_\phi = \frac{bl^3}{12}$.

Угол поворота балки под действием $M_0 = 1$, увеличенный в EI раз (EI — жесткость балки), будет:

$$a_{11} = EI \delta_{MM} = \frac{EI}{k_r I_\phi} = \frac{3\lambda^4}{l^3}, \quad (26)$$

где

$$\lambda = \sqrt[4]{\frac{4EI}{bk_r}} \text{ м}$$

Центральная вертикальная сила (фиг. 234) вызывает равномерный отпор грунта по всей подошве балки, так что $p = \frac{N}{bl}$,

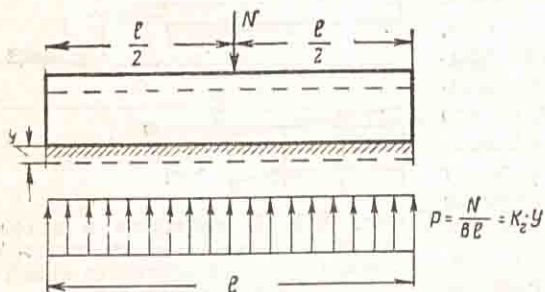
где b — ширина подошвы балки.

Следовательно:

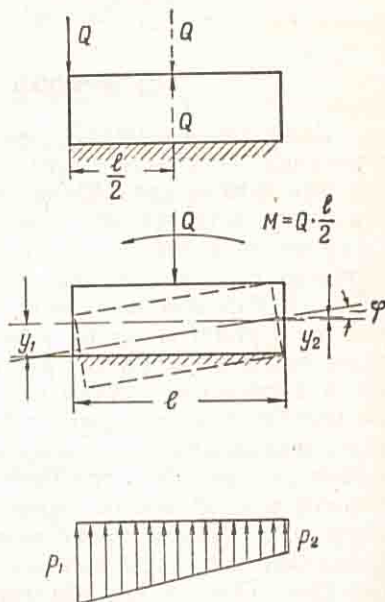
$$y = \frac{p}{k_r} = \frac{N}{k_r bl}$$

Просадка, увеличенная в EI раз от $N = 1$:

$$a_{22} = EI\delta_{NN} = \frac{EI}{k_r F_\phi} = \frac{\lambda^4}{4l} \quad (27)$$



Фиг. 234. Перемещения и эпюра давлений на основание для жесткой балки на упругом основании от действия сосредоточенной силы в середине.



Фиг. 235. Перемещения и эпюра давлений на основание для жесткой балки на упругом основании от действия сосредоточенной силы на конце.

Если сила Q приложена на краю жесткой балки (фиг. 235), то систему можно привести к силе Q в центре и моменту $M = Q \frac{l}{2}$.

Основываясь на предыдущем, можем написать:

$$y_1 = \frac{p_1}{k_r}; \quad y_2 = \frac{p_2}{k_r}; \quad \varphi = \frac{y_1 - y_2}{l}$$

или

$$\left. \begin{aligned} y_1 &= \frac{Q}{k_r F_\phi} + \varphi \frac{l}{2} = Q \left(\frac{1}{k_r F_\phi} + \frac{l^2}{4k_r I_\phi} \right) \\ y_2 &= \frac{Q}{k_r I_\phi} - \varphi \frac{l}{2} = Q \left(\frac{1}{k_r F_\phi} - \frac{l^2}{4k_r I_\phi} \right) \end{aligned} \right\} \quad (28)$$

Следовательно, угол поворота, увеличенный в EI раз, от $Q = 1$ составит:

$$a_{12} = EI\delta_{QM} = \frac{EI l}{2k_r I_\phi} = \frac{3\lambda^4}{2l^2} \quad (29)$$

Вертикальное смещение края балки (увеличенное в EI раз) от $Q = 1$ [ср. с уравнением (28)] по направлению последней:

$$a'_{22} = EI\delta_{QQ} = \frac{EI}{k_r F_\phi} + \frac{EI l^2}{4k_r I_\phi} = \frac{EI}{k_r F_\phi} \left(1 + \frac{F_\phi l^2}{4I_\phi} \right) \quad (30a)$$

Учитывая, что $I_\phi = \frac{bl^3}{12} = \frac{Fl^2}{12}$, получим из (30a):

$$a'_{22} = \frac{4EI}{k_r F_\phi} = \frac{\lambda^4}{l} \quad (30)$$

Не нагруженный край балки при этом перемещается в противоположную сторону на расстояние, вдвое меньшее (т. е. на $-\frac{a_{21}^0}{2}$).

Здесь принято, что упругое основание одинаково хорошо воспринимает сжатие (ρ и a_{22}^0 положительны) и растяжение. Так как результирующее давление в большинстве случаев оказывается положительным по всей опорной поверхности, то для балок, лежащих на грунте, принятое положение можно допустить, учитывая, что в результате действия всех приложенных к балке сил отрицательных напряжений не будет, а их влияние скажется лишь в уменьшении сжимающих напряжений на соответствующем участке.

При шарнирном опирании одного конца жесткой балки (фиг. 236) получим:

$$a_{11}^0 = \frac{a_{11}}{4} = \frac{3\lambda^4}{4l^3}; \quad (31)$$

$$a_{12}^0 = \frac{3\lambda^4}{4l^2}; \quad (32)$$

$$a_{22}^0 = \frac{3\lambda^4}{4l}; \quad (33)$$

$$a_{1q} = \frac{q_1\lambda^4}{4l} + \frac{q_2\lambda^4}{8l} = \frac{\lambda^4}{4l} \left(q_1 + \frac{q_2}{2} \right), \quad (34)$$

а смещение свободного края от нагрузки

$$a_{2q} = \frac{q_1\lambda^4}{4} + \frac{q_2\lambda^4}{4} = \frac{\lambda^4}{4} (q_1 + q_2). \quad (35)$$

4. ПЛИТЫ, ОПЕРТЫЕ ПО КОНТУРУ

Не останавливаясь на выводах, приведенных в курсах теории упругости [10], [15], запишем основное дифференциальное уравнение изгиба для тонких плит постоянного сечения, опертых по контуру:

$$\nabla^2 \nabla^2 w = \frac{\partial^4 w}{\partial x^4} + 2 \frac{\partial^4 w}{\partial x^2 \partial z^2} + \frac{\partial^4 w}{\partial z^4} = \pm q, \quad (36a)$$

где $w = Bu$ — увеличенный в B раз прогиб пластинки;

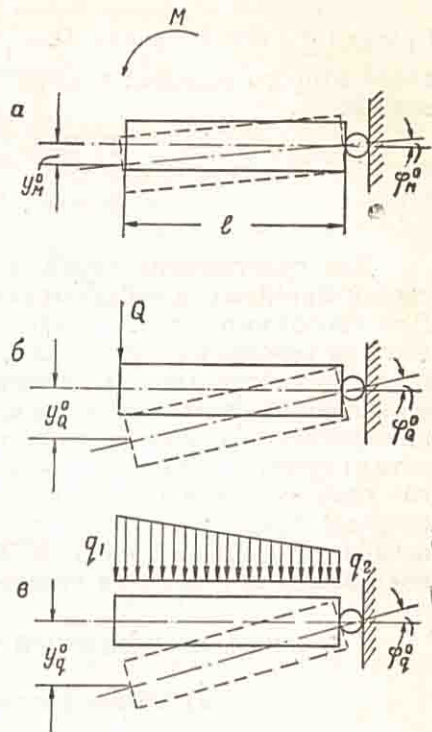
$B = \frac{EI}{1-\nu^2}$ — цилиндрическая жесткость пластинки;

ν — коэффициент Пуассона;

q — интенсивность нагрузки.

Для изгибающих моментов M_x и M_z , крутящих моментов M_{xz} , а также поперечных сил Q_x , Q_z имеют место уравнения:

$$\left. \begin{aligned} 1) \quad \pm M_x &= \frac{\partial^2 w}{\partial x^2} + \nu \frac{\partial^2 w}{\partial z^2} \\ 2) \quad \pm M_z &= \frac{\partial^2 w}{\partial z^2} + \nu \frac{\partial^2 w}{\partial x^2} \\ 3) \quad \pm M_{xz} &= (1-\nu) \frac{\partial^2 w}{\partial x \partial z} \\ 4) \quad \pm Q_x &= \frac{\partial^3 w}{\partial x^3} + \frac{\partial^3 w}{\partial x \partial z^2} \\ 5) \quad \pm Q_z &= \frac{\partial^3 w}{\partial z^3} + \frac{\partial^3 w}{\partial x^2 \partial z} \end{aligned} \right\} \quad (36b)$$



Фиг. 236. Схемы жесткой балки на упругом основании с шарнирно опертым краем и характер перемещений: а — от действия момента M ; б — от силы Q на свободном конце; в — от нагрузки, распределенной по линейному закону.

Сложив первые 2 уравнения группы (36б), получим:

$$\mathfrak{M} = M_x + M_z = (1 + \nu) \left(\frac{\partial^2 w}{\partial x^2} + \frac{\partial^2 w}{\partial z^2} \right) = (1 + \nu) \nabla w. \quad (36в)$$

Сравнив с (36а) и приняв $M = \frac{\mathfrak{M}}{1 + \nu}$, получим два дифференциальных уравнения второго порядка: в качестве основных дифференциальных уравнений задачи:

$$\left. \begin{aligned} 1) \nabla w &= \frac{\partial^2 w}{\partial x^2} + \frac{\partial^2 w}{\partial z^2} = \pm M \\ 2) \nabla M &= \frac{\partial^2 M}{\partial x^2} + \frac{\partial^2 M}{\partial z^2} = q \end{aligned} \right\} \quad (36)$$

Для практических целей достаточны приближенные решения в виде систем линейных алгебраических уравнений (метод конечных разностей). Для свободного края, шарнирного опирания или жесткого защемления контура можно, как это показал профессор П. Л. Пастернак [16], свести проблему треугольной и трапециoidalной пластинки к линейной системе семичленных уравнений, а прямоугольную пластинку — к системе пятичленных уравнений, сравнительно легко решаемых с помощью сокращенного алгоритма Гаусса. Учет упругих смещений опор весьма усложняет задачу. Поэтому на практике ограничиваются расчетами плит, пренебрегая податливостью опорных закреплений. Для таких условий, на основании решения уравнений конечных разностей, инж. А. Ф. Смотровым составлены таблицы [17], пользование которыми не представляет трудностей.

5. ОСНОВЫ БЕЗМОМЕНТНОЙ ТЕОРИИ ОСЕСИММЕТРИЧНЫХ ОБОЛОЧЕК

а) Общие уравнения безмоментной теории

В тонкостенных оболочках, находящихся под действием распределенных нагрузок, при создании соответствующих условий на краях можно пренебречь изгибом, что упрощает расчеты. Кроме того, для расчета оболочек с учетом изгиба нужно знать усилия, возникающие в ней при расчете по безмоментной теории [18].

Безмоментная теория основана на следующих предпосылках.

1. Равнодействующая меридиональных и кольцевых напряжений лежит в плоскости, касательной к срединной поверхности оболочки.

2. Деформации оболочки и ее толщина малы настолько, что можно пренебречь изменением кривизны оболочки, вызываемым деформациями.

3. Напряжения в материале оболочки не превосходят предела упругости, а материал оболочки подчиняется закону Гука.

Введем следующие обозначения в дополнение к ранее принятым:

R_1, R_2 — главные радиусы кривизны срединной поверхности оболочки, соответственно меридиана и параллели (фиг. 237);

α — угол широты, т. е. угол, образованный нормалью срединной поверхности с осью вращения оболочки (фиг. 237);

$\sigma_{10}; \sigma_{20}$ — нормальные напряжения в оболочке, соответственно меридиональные и кольцевые;

$T_{10}; T_{20}$ — равнодействующие этих напряжений

$$T_{10} = \sigma_{10} \delta; \quad T_{20} = \sigma_{20} \delta;$$

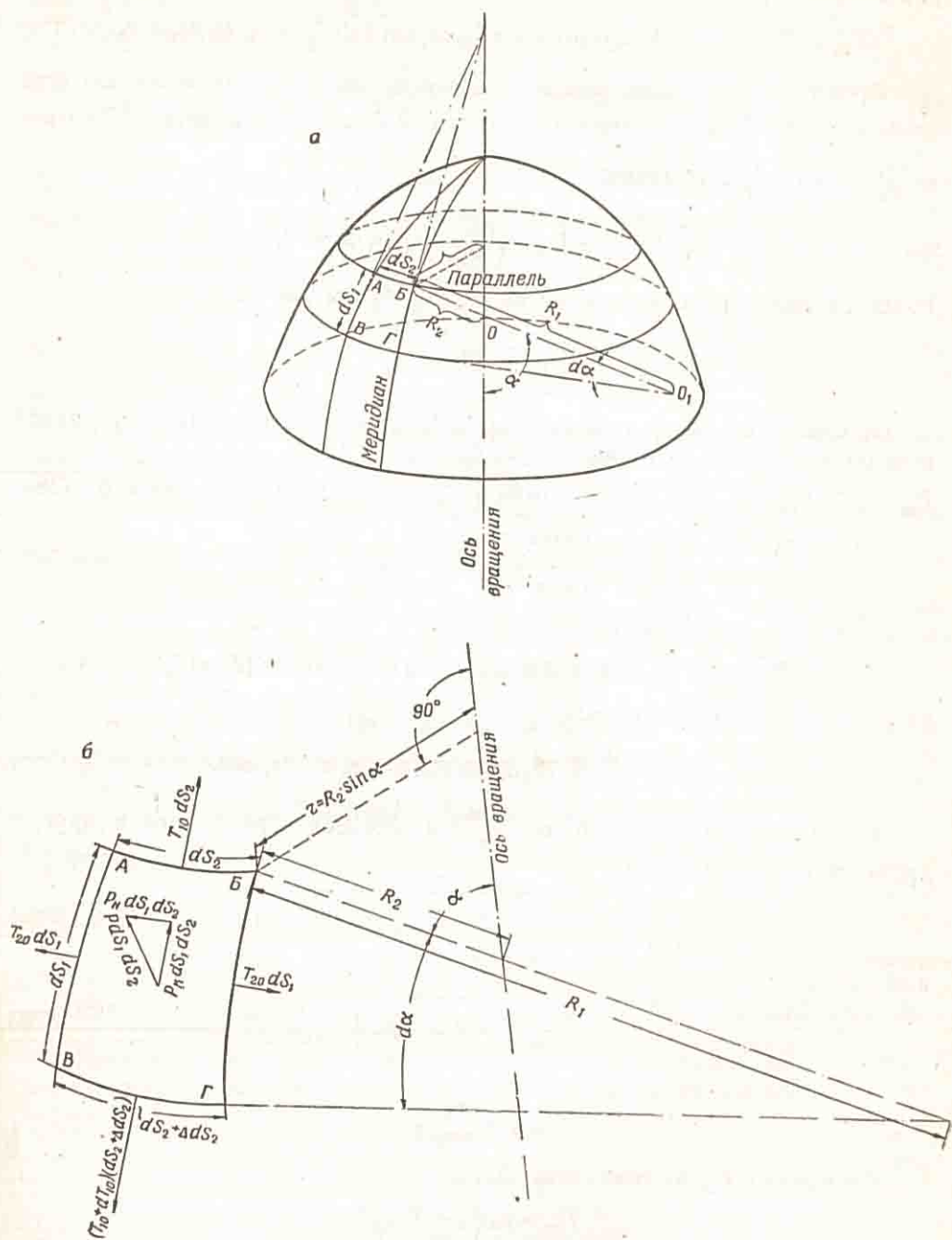
δ — толщина оболочки;

p_n — проекция внешней нагрузки на нормаль к срединной поверхности;

p_k — то же, на касательную к меридиану;

P_α — сумма проекций на ось вращения всех сил, приложенных к оболочке выше широты α ;

Остальные обозначения по фиг. 237.



Фиг. 237. Схемы оболочки вращения и ее элемента:
 а—общий вид оболочки; б—элемент оболочки.

Условия равновесия бесконечно малого элемента $АБВГ$ (фиг. 237, а) можно записать так [19]:

1. Сумма проекций всех сил на нормаль к срединной поверхности равна нулю (фиг. 237, б):

$$(T_{10} + dT_{10}) (ds_2 + \Delta ds_2) \sin \alpha + 2T_{20} ds_1 \sin \alpha \sin \frac{d\alpha}{2} - p_n ds_1 ds_2 = 0. \quad (37a)$$

Пренебрегая малыми высших порядков, принимая за малость угла $\sin \alpha \approx \alpha$; $\sin \frac{d\alpha}{2} \approx \frac{d\alpha}{2}$ и имея в виду, что $2 \sin \alpha \sin \frac{d\alpha}{2} \approx d\alpha \sin \alpha = \frac{ds_2}{r} \sin \alpha = \frac{ds_2}{R_2}$, а $d\alpha = \frac{ds_1}{R_1}$, получим:

$$T_{10} ds_2 \frac{ds_1}{R_1} + T_{20} ds_1 \frac{ds_2}{R_2} - p_n ds_1 ds_2 = 0.$$

Разделив полученное уравнение на $ds_1 ds_2$, будем иметь:

$$\boxed{\frac{T_{10}}{R_1} + \frac{T_{20}}{R_2} = p_n} \quad (37)$$

2. Сумма проекций всех сил на касательную к меридиану срединной поверхности равна нулю (фиг. 237, б):

$$T_{10} ds_2 - (T_{10} + dT_{10}) (ds_2 + \Delta ds_2) \cos \alpha + T_{20} ds_1 \cos \alpha \sin \alpha + p_k ds_1 ds_2 = 0. \quad (38a)$$

Пренебрегая малыми высших порядков и принимая

$$\cos \alpha \approx 1; \quad d\alpha = \frac{ds_1}{R_1},$$

а также имея в виду, что

$$dT_{10} ds_2 + T_{10} \Delta ds_2 = d(T_{10} ds_2) = d(T_{10} r) d\alpha = d(T_{10} r) \frac{ds_2}{r},$$

из уравнения (38a) получим:

$$-d(T_{10} r) \frac{ds_2}{r} + T_{20} ds_1 d\alpha \cos \alpha + p_k ds_1 ds_2 = 0. \quad (38б)$$

Разделив уравнение (38б) на $\frac{ds_1 ds_2}{r}$ и перенеся первый член в другую часть уравнения, получим:

$$\boxed{\frac{d(T_{10} r)}{ds_1} = \frac{1}{R_1} \frac{d(T_{10} r)}{d\alpha} = T_{20} \cos \alpha + p_k r} \quad (38в)$$

или

$$\boxed{\frac{d(T_{10} r)}{dr} = T_{20} + p_k r} \quad (38)$$

где

$$p_k = \frac{p_n}{\cos \alpha}.$$

Определим T_{20} из равенства (37)

$$T_{20} = p_n R_2 - T_{10} \frac{R_2}{R_1}$$

и подставим в уравнение (38в); тогда после умножения на R_1 , получим:

$$\frac{d(T_{10} r)}{d\alpha} + T_{10} R_2 \cos \alpha = p_n R_1 R_2 \cos \alpha + p_k R_1 R_2 \sin \alpha.$$

Помножив обе части равенства на $\sin \alpha d\alpha$ и имея в виду, что

$$[d(T_{10} r)] \sin \alpha + T_{10} r \cos \alpha = d(T_{10} r \sin \alpha),$$

получим:

$$d(T_{10} r \sin \alpha) = (\rho_n \cos \alpha + \rho_k \sin \alpha) r ds_1 = (\rho_n + \rho_k \operatorname{tg} \alpha) r dr,$$

так как

$$R_1 \cos \alpha d\alpha = \cos \alpha ds_1 = dr.$$

Интегрируем:

$$T_{10} = \frac{\int (\rho_n \cos \alpha + \rho_k \sin \alpha) r ds_1}{r \sin \alpha} = \frac{\int (\rho_n + \rho_k \operatorname{tg} \alpha) r dr}{r \sin \alpha} = \frac{P_\alpha}{2\pi r \sin \alpha} \quad (39)$$

Здесь $P_\alpha = 2\pi \int (\rho_n + \rho_k \operatorname{tg} \alpha) r dr = 2\pi \int (\rho_n \cos \alpha + \rho_k \sin \alpha) r ds_1$ — проекция на ось вращения всех сил, приложенных выше широты α .

Нетрудно видеть, что при $\rho_n = \rho = \text{const}$ и $\rho_k = 0$ (равномерное давление газа) из формулы (39) получается:

$$T_{10} = \frac{\rho \frac{r^2}{2} + C}{r \sin \alpha} = \rho \frac{R_2}{2} + \frac{C}{r \sin \alpha} \quad (40a)$$

Здесь C — постоянная интегрирования.

Для замкнутой оболочки под действием равномерного нормального давления $\rho = \rho_n = \text{const}$; $C = 0$ и получается просто

$$T_{10} = \rho \frac{R_2}{2}; \quad (40b)$$

причем, подстановка в уравнение (37) дает:

$$T_{20} = T_{10} \left(2 - \frac{R_2}{R_1} \right) = \rho R_2 \left(1 - \frac{R_2}{2R_1} \right). \quad (40)$$

Рассмотрим наиболее часто встречающиеся простые оболочки.

б) Цилиндрическая оболочка

В этом случае

$$\alpha = \frac{\pi}{2} = \text{const}; \quad R_1 = \infty; \quad R_2 = r = \text{const}.$$

Из формулы (37)

$$T_{20} = \rho_n r, \quad (41a)$$

а из формулы (39)

$$T_{10} = \int \rho_k r ds_1. \quad (41b)$$

Как видим, T_{20} зависит лишь от нормальной слагающей нагрузки, а T_{10} — только от меридиональной.

Например, для замкнутой цилиндрической оболочки под действием равномерного давления $\rho = \rho_n = \text{const}$ получим из формулы (40b)

$$\left. \begin{aligned} T_{10} &= \rho \frac{r}{2} \\ T_{20} &= \rho r \end{aligned} \right\} \quad (41)$$

г) Коническая оболочка

Для конической оболочки $R_1 = \infty$; $\alpha = \text{const}$, так что из формулы (37)

$$T_{20} = \rho_n R_2, \quad (42a)$$

а из формулы (39)

$$T_{10} = \frac{\int (\rho_n + \rho_k \operatorname{tg} \alpha) r dr}{r \sin \alpha}. \quad (42b)$$

Коническая оболочка с вершиной вверх, опертая по нижнему контуру (фиг. 238). Для наиболее часто встречающихся в практике загружений при расчете резервуаров получается следующее.

Нагрузка собственным весом g ;

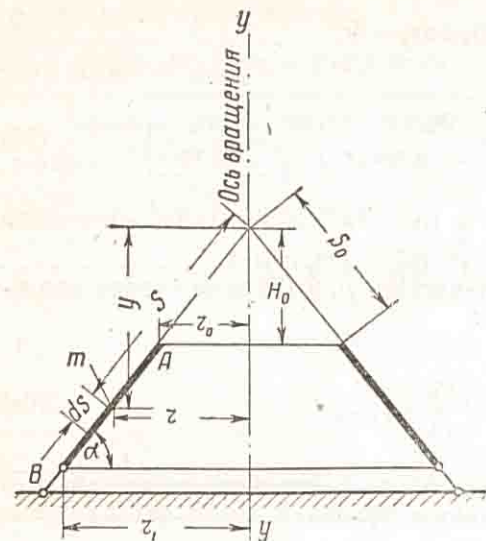
$$\left. \begin{aligned} g &= \gamma_0 \delta; & p_H &= -\gamma_0 \delta \cos \alpha; \\ p_K &= -\gamma_0 \delta \sin \alpha; \\ T_{20} &= -\gamma_0 \delta R_2 \cos \alpha \\ T_{10} &= -\frac{\gamma_0}{r \operatorname{tg} \alpha} \int \delta r dr \end{aligned} \right\} \quad (42)$$

При постоянной толщине $\delta = \text{const}$:

$$\left. \begin{aligned} T_{20} &= -\gamma_0 \delta R_2 \cos \alpha = -\gamma_0 \delta r \operatorname{ctg} \alpha; \\ T_{10} &= -\gamma_0 \frac{\delta}{2} \frac{(r^2 - r_0^2)}{r} \operatorname{ctg} \alpha. \end{aligned} \right\} \quad (43)$$

При толщине, изменяющейся по линейному закону $\delta = as + b$:

$$\left. \begin{aligned} T_{20} &= -\gamma_0 (as + b) r \operatorname{ctg} \alpha \\ T_{10} &= -\frac{\gamma_0}{\sin \alpha} \left[\frac{a(r^3 - r_0^3)}{3r \cos \alpha} + \frac{b(r^2 - r_0^2)}{2r} \right] \end{aligned} \right\} \quad (44)$$



Фиг. 238. Схема конической оболочки (вершиной вверх) при опирании по большому контуру.

Знак минус поставлен ввиду того, что T_{10} и T_{20} здесь вызывают сжатие оболочки.

Давление жидкости с объемным весом γ . Если избыточное давление в верхней точке оболочки (по фиг. 238 — точка A) равно γH_0 , то давление в точке m равно $p = p_H = \gamma [H_0 + (s - s_0) \sin \alpha] = \gamma [H_0 + (r - r_0) \operatorname{tg} \alpha]$. Так как $p_K = 0$, то

$$\left. \begin{aligned} T_{20} &= \pm \left[\gamma H_0 R_2 + \gamma \frac{r(r - r_0)}{\cos \alpha} \right] = \pm \gamma [H_0 R_2 + r(s - s_0)] \\ T_{10} &= \frac{\gamma}{r \sin \alpha} \int_{r_0}^r [H_0 + (r - r_0) \operatorname{tg} \alpha] r dr = \gamma \left[\frac{(H_0 - r_0 \operatorname{tg} \alpha)(r^2 - r_0^2)}{2r \sin \alpha} + \frac{r^3 - r_0^3}{3r \cos \alpha} \right] \end{aligned} \right\} \quad (45)$$

Знак плюс соответствует давлению изнутри оболочки, знак минус — наружному давлению, если за положительные T_{10} и T_{20} считать усилия растяжения.

Равномерное давление газа ($p_H = p = \text{const}$; $p_K = 0$):

$$\left. \begin{aligned} T_{20} &= \pm p \frac{r}{\sin \alpha} \\ T_{10} &= \frac{p(r^2 - r_0^2)}{2r \sin \alpha} \end{aligned} \right\} \quad (46)$$

Для замкнутой в вершине оболочки $r_0 = s_0 = 0$.

Если ту же оболочку опереть верхним (меньшим) краем, а нижний освободить, то у кольцевого усилия T_{20} переменится знак, а меридиональное усилие T_{10} можно вычислить с помощью выведенных формул, уменьшая T_{10} на величину опорной реакции меридионального направления.

Коническая оболочка с вершиной вниз при опирании по малому (нижнему) контуру (фиг. 239). При таком опирании в оболочке, нагруженной собственным весом или давлением жидкости, возникают усилия разных знаков:

T_{10} — одного знака,
 T_{20} — противоположного.

Собственный вес оболочки. Кольцевое усилие T_{20} определяется из первого уравнения (42), но должно браться с обратным знаком (растяжение).

Меридиональное усилие T_{10} также можно вычислять по формулам (42), (43) с учетом перемены пределов интегрирования.

Например, при постоянной толщине оболочки $\delta = \text{const}$:

$$\left. \begin{aligned} T_{10} &= -\gamma_0 \frac{\delta}{2} \frac{r_1^2 - r^2}{r} \operatorname{ctg} \alpha; \\ T_{20} &= +\gamma_0 \delta r \operatorname{ctg} \alpha \end{aligned} \right\} \quad (47a)$$

Если толщина оболочки меняется по гиперболическому закону так, что $\delta r = \text{const}$, то

$$\left. \begin{aligned} T_{10} &= -\gamma_0 \delta r \left(\frac{r_1}{r} - 1 \right) \operatorname{ctg} \alpha \\ T_{20} &= +\gamma_0 \delta r \operatorname{ctg} \alpha \end{aligned} \right\} \quad (47)$$

Если, например, задаться толщиной так, чтобы $\rho_2 = \delta^3 r = \text{const}$, т. е. $\delta = \sqrt[3]{\frac{\rho_2}{r}}$, то

$$T_{10} = \frac{\gamma_0}{r \operatorname{tg} \alpha} \int_{r_1}^r \delta r dr = -\frac{\gamma_0 \sqrt[3]{\rho_2}}{r \operatorname{tg} \alpha} \int_{r_1}^r r^{\frac{2}{3}} dr = -\frac{3}{5} \gamma_0 \delta \left(\sqrt[3]{\frac{r_1^5}{r^2}} - r \right) \operatorname{ctg} \alpha. \quad (48)$$

Давление жидкости с объемным весом γ . Если избыточное давление в верхней точке оболочки равно γH_1 (фиг. 240), то, учитывая, что $p_n = \gamma [H_1 + (r_1 - r) \operatorname{tg} \alpha]$; $p_k = 0$, из (42б) получим:

$$T_{10} = \frac{\gamma}{r \sin \alpha} \int_{r_1}^r [(H_1 + r_1 \operatorname{tg} \alpha) - r \operatorname{tg} \alpha] r dr.$$

Используя также соотношения (42а), окончательно будем иметь:

$$\left. \begin{aligned} T_{20} &= \gamma r \left[\frac{H_1}{\sin \alpha} + \frac{r_1 - r}{\cos \alpha} \right] \\ T_{10} &= -\frac{\gamma}{r} \left[\left(\frac{H_1}{\sin \alpha} + \frac{r_1}{\cos \alpha} \right) \left(\frac{r_1^2 - r^2}{2} \right) - \frac{r_1^3 - r^3}{3 \cos \alpha} \right] \end{aligned} \right\} \quad (49)$$

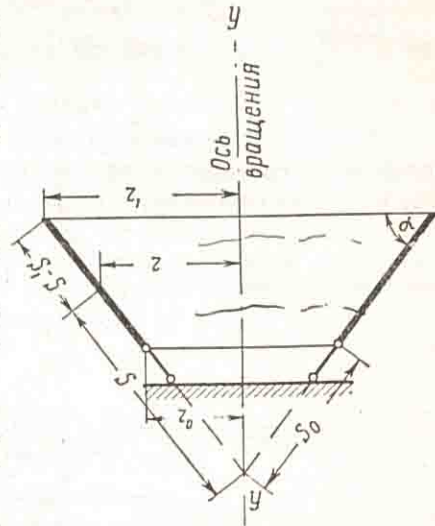
Нетрудно видеть, что кольцевые усилия изменяются по закону квадратной параболы с наибольшей ординатой $T_{20}^{\text{макс}}$, значение которой можно найти по формуле:

$$T_{20}^{\text{макс}} = \frac{\gamma (H_1 \operatorname{ctg} \alpha + r_1)^2}{4 \cos \alpha}. \quad (49a)$$

Место $T_{20}^{\text{макс}}$ определяется расстоянием s_m от вершины конуса по образующей

$$s_m = \frac{H_1}{2 \sin \alpha} + \frac{r_1}{2 \cos \alpha}. \quad (49б)$$

Построение эпюры T_{20} может быть осуществлено следующим образом: продолжив образующую нашего конуса до вершины его в одну сторону,



Фиг. 239. Схема конической оболочки (вершинной вниз) при опирании по меньшему контуру.

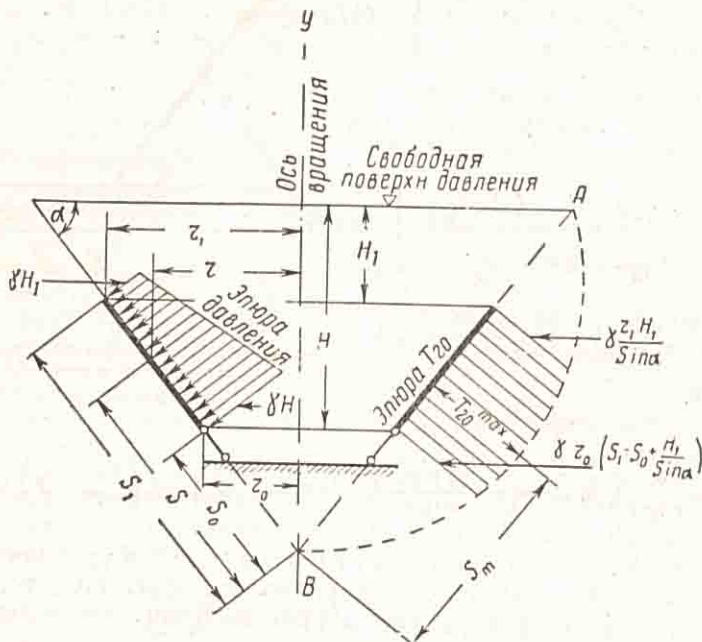
и на величину $\frac{H_1}{\sin \alpha}$ — в другую, получим линию AB (фиг. 240), на которой строим параболу по уравнению:

$$T_{20} = \gamma r \left(s_1 + \frac{H_1}{\sin \alpha} - s \right) = \gamma r \left(\frac{H_1}{\sin \alpha} + \frac{r_1 - r}{\cos \alpha} \right), \quad (49в)$$

где $s = \frac{r}{\cos \alpha}$ — расстояние до рассматриваемой точки (от вершины конуса);

$s_1 = \frac{r_1}{\cos \alpha}$ — то же, до верхней точки оболочки.

Пример. Определить усилия, возникающие в коническом баке, схема которого представлена на фигуре 241, при наполнении его до верха водой (расчет по безмоментной теории).



Фиг. 240. Эпюры давления и кольцевых усилий T_{20} в конической оболочке, опертой по меньшему контуру (вершиной вниз).

1) Из чертежа определяем $s_1 = \sqrt{r_1^2 + H_1^2} = 5$ м; $\cos \alpha = \frac{r_1}{s_1} = 0,6$; $\sin \alpha = \frac{H_1}{s_1} = 0,8$; $\operatorname{ctg} \alpha = \frac{0,6}{0,8} = 0,75$.

2) Так как $\gamma = 1$ т/м³; $H_1 = 0$, то из уравнения (49в) $T_{20} = (s_1 - s)r = (5 - s)r$.

Аналогично, в соответствии с уравнением (49):

$$[T_{10} = -\frac{1}{r} \left[s_1 \left(\frac{r_1^2}{6} - \frac{r^2}{2} \right) - \frac{sr^2}{3} \right] = -\frac{5}{6r} \left[9 - r^2 \left(3 - \frac{2}{3}r \right) \right].$$

Для верхней точки $r = r_1$; $s = s_1$; $T_{20}^n = T_{10}^n = 0$.

Для нижней точки $r = r_0 = 0,3$ м; $s = s_0 = 0,5$ м;

$$T_{20}^n = 4,5 \cdot 0,3 = 1,35 \text{ т/м (растяжение);}$$

$$T_{10}^n = -\frac{5}{6 \cdot 0,3} [9 - 0,09(3 - 0,2)] = -24,3 \text{ т/м (сжатие).}$$

Наибольшее кольцевое усилие находится в точке, где в соответствии с формулой (49б)

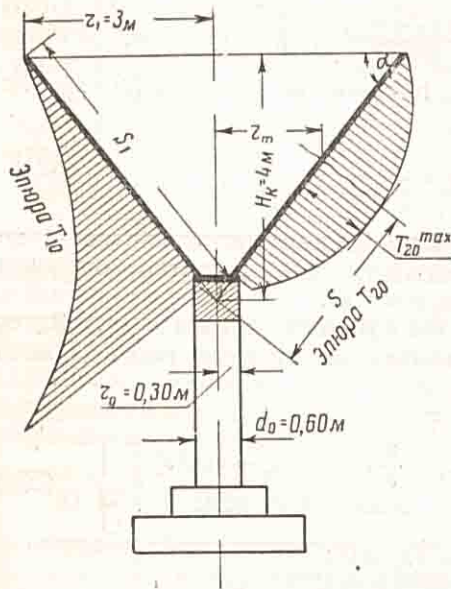
$$s_m = \frac{s_1}{2} = 2,5 \text{ м; } r_m = s_m \cos \alpha = 1,5 \text{ м}$$

и имеет значение, определяемое по формуле (49а):

$$T_{20}^{\max} = \frac{\gamma S_1 r_1}{4} = \frac{1 \cdot 5 \cdot 3}{4} = 3,75 \text{ т/м.}$$

Проверим влияние собственного веса. Если оболочка стальная постоянной толщины, то, исходя предварительно из использования допускаемого напряжения $[\sigma] = 1600 \text{ кг/см}^2$, получим необходимую толщину лист^г по T_{10}^{\max} :

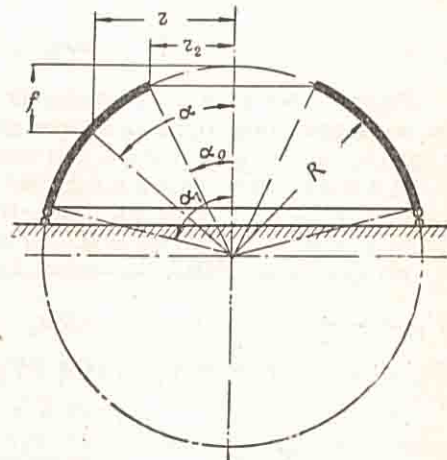
$$\delta = \frac{T_{10}^{\max}}{[\sigma]} = \frac{243,00}{1600} = 0,15 \text{ см} = 1,5 \text{ мм.}$$



Фиг. 241. Схема конического резервуара с эпюрами меридиональных T_{10} и кольцевых T_{20} усилий, возникающих при наполнении до верха жидкостью.

Примем $\delta = 3,5 \text{ мм}$, с прибавкой на износ и учитывая, что будет иметь место изгиб, не учтенный нами.

Меридиональное усилие увеличится от собственного веса на величину [см. формулы (47а)]



Фиг. 242. Схема сферической оболочки.

$$T_{10}^c = -\frac{\gamma_0 \delta (r_1^2 - r_0^2) \operatorname{ctg} \alpha}{2r_0} = -7,85 \frac{0,0035}{2} \frac{9 - 0,09}{0,30} 0,75 = -0,33 \text{ т/м.}$$

В месте T_{20}^{\max} прибавится от собственного веса [см. формулы (47а)]:

$$T_{20}^c = \gamma_0 \delta r_m \operatorname{ctg} \alpha = 7,85 \cdot 0,0035 \cdot 1,5 \cdot 0,75 = 0,03 \text{ т/м.}$$

Как видно, влияние собственного веса стального резервуара невелико и им можно пренебрегать.

г) Сферическая оболочка

В этом случае $R_1 = R_2 = R = \text{const}$ и уравнения (37) и (39) принимают вид:

$$\left. \begin{aligned} T_{10} &= \frac{R}{\sin^2 \alpha} \int (\rho_n \sin \alpha \cos \alpha + \rho_k \sin^2 \alpha) d\alpha \\ T_{20} &= \rho_n R - T_{10} \end{aligned} \right\} \quad (50a)$$

Собственный вес сферической оболочки, опертой по нижнему контуру (фиг. 242):

$$\rho_n = -\gamma_0 \delta \cos \alpha; \quad \rho_k = -\gamma_0 \delta \sin \alpha;$$

усилия:

$$\left. \begin{aligned} T_{10} &= -\frac{\gamma_0 R}{\sin^2 \alpha} \int_{\alpha_0}^{\alpha} \delta \sin \alpha \, d\alpha \\ T_{20} &= -\gamma_0 \delta R \cos \alpha - T_{10} \end{aligned} \right\} \quad (50)$$

Формулы (50) годятся и для нижней половины сферы (оболочки, имеющие выпуклость вниз), при условии отсчета α , как показано на фигуре 242 (за положительными приняты усилия, вызывающие растяжение).

Для оболочки постоянной толщины $\delta = \text{const}$:

$$\left. \begin{aligned} T_{10} &= \frac{\gamma_0 \delta R (\cos \alpha - \cos \alpha_0)}{\sin^2 \alpha} \\ T_{20} &= -\gamma_0 \delta R \left(\cos \alpha + \frac{\cos \alpha - \cos \alpha_0}{\sin^2 \alpha} \right) \end{aligned} \right\} \quad (51)$$

Для замкнутой в вершине оболочки постоянной толщины ($\cos \alpha_0 = 1$):

$$\left. \begin{aligned} T_{10} &= -\frac{\gamma_0 \delta R}{1 + \cos \alpha} \\ T_{20} &= -\gamma_0 \delta R \frac{1 - \cos \alpha - \cos^2 \alpha}{1 + \cos \alpha} \end{aligned} \right\} \quad (51a)$$

Расчет оболочек при опирании по верхнему контуру можно вести по тем же формулам, однако α нужно отсчитывать снизу в противоположном направлении (т. е. вместо α принимать $\alpha_1 = \pi - \alpha$).

Давление жидкости с объемным весом γ . Здесь $p_n = -\gamma [H_0 + R(1 - \cos \alpha)]$, где γH_0 — избыточное давление над вершиной сферы (в точке $\alpha = 0$); $p_k = 0$.

Из формулы (50a):

$$\left. \begin{aligned} T_{10} &= -\frac{\gamma R}{2 \sin^2 \alpha} \left[(H_0 + R) (\cos^2 \alpha_0 - \cos^2 \alpha) - \frac{2}{3} R (\cos^3 \alpha_0 - \cos^3 \alpha) \right] \\ T_{20} &= -\gamma R [H_0 + R(1 - \cos \alpha)] - T_{10} \end{aligned} \right\} \quad (52a)$$

Для оболочки, замкнутой в вершине ($\alpha_0 = 0$):

$$\left. \begin{aligned} T_{10} &= -\frac{\gamma R}{2} \left[H_0 + \frac{R(1 - \cos \alpha)(1 + 2 \cos \alpha)}{3(1 + \cos \alpha)} \right] \\ T_{20} &= -\frac{\gamma R}{2} \left[H_0 + \frac{R(1 - \cos \alpha)(5 + 4 \cos \alpha)}{3(1 + \cos \alpha)} \right] \end{aligned} \right\} \quad (52b)$$

Можно формулы (52b) выразить через стрелу $f = R(1 - \cos \alpha)$, учтя, что $R(1 + \cos \alpha) = 2R - f$, а $(1 + 2 \cos \alpha)R = 3R - 2f$ и $R(5 + 4 \cos \alpha) = 9R - 4f$.

$$\left. \begin{aligned} T_{10} &= -\frac{\gamma R}{2} \left[H_0 + \frac{f}{3} \frac{(3R - 2f)}{(2R - f)} \right] \\ T_{20} &= -\frac{\gamma R}{2} \left[H_0 + \frac{f}{3} \frac{(9R - 4f)}{(2R - f)} \right] \end{aligned} \right\} \quad (52)$$

Равномерное давление газа p вызывает одинаковые усилия во всех точках сферической оболочки:

$$T_{10} = T_{20} = p \frac{R}{2}. \quad (53)$$

6. ОСНОВЫ ТЕОРИИ ИЗГИБА ОСЕСИММЕТРИЧНЫХ ОБОЛОЧЕК

Советские ученые сделали большой вклад в теорию изгиба оболочек. Общую теорию оболочек в настоящее время завершает известная работа профессора, доктора технических наук В. З. Власова «Общая теория оболочек» 1949, удостоенная Сталинской премии [18]. Ряд теоретических работ по осесимметричным оболочкам написал профессор И. Я. Штаерман еще в 1924—1927 гг., давший решение как изотропных, так и анизотропных осесимметричных оболочек [20].

Профессор П. Л. Пастернак одним из первых дал практически ценные приближенные решения как общей теории, так и краевой задачи осесимметричных оболочек переменной толщины. Эти решения благодаря своей простоте нашли широкое применение в практике строительных и проектных организаций.

Большой интерес для практики представляет работа профессора В. В. Новожилова, написанная им с Р. М. Финкельштейном [21]. В этой работе доказано, что гипотеза Кирхгофа, положенная в основу расчета осесимметричных оболочек, имеет погрешность порядка $\frac{\delta}{R}$, следовательно можно в получаемых уравнениях пренебрегать членами, имеющими порядок малости, равный $\frac{\delta}{R}$, в сравнении с остальными членами уравнения. Основываясь на этом выводе, профессор А. И. Лурье показал возможность упрощения решений для простейших осесимметричных оболочек [22].

Известен ряд других исследований советских авторов, как теоретических (академик А. Н. Крылов, профессора А. А. Гвоздев, А. Л. Гольденвейзер, Б. Н. Работнов и др.), так и прикладных, ценных для практического применения (Б. А. Шебуев [3], Б. Н. Жемочкин [23], А. М. Овечкин, З. Б. Канторович и др.).

Здесь мы ограничимся рассмотрением наиболее часто встречающихся при расчете резервуаров задач об изгибе осесимметричных оболочек, срединная поверхность которых представляет собой цилиндр, конус или сферу. В связи с этим приведем общее приближенное решение задачи о любой осесимметричной оболочке постоянной толщины с помощью дифференциального уравнения 2-го порядка, а также покажем пути, в направлении которых следует искать упрощения решения для осесимметричных оболочек переменной толщины.

а) Общее дифференциальное уравнение осесимметричных оболочек

Введем обозначения:

R_1 и R_2 — главные радиусы кривизны срединной поверхности оболочки (соответственно по меридиану и параллели, фиг. 243);

$k_1 = \frac{1}{R_1}$; $k_2 = \frac{1}{R_2}$ — кривизны, соответствующие указанным главным радиусам;

α — полярный угол (фиг. 243);

δ — толщина оболочки;

β — угол долготы;

$T_1 = \sigma_1 \delta$; $T_2 = \sigma_2 \delta$ — соответственно меридиональная и кольцевая равнодействующие нормальных напряжений в оболочке;

T_{10} ; T_{20} — их значения при расчете по безмоментной теории;

Q_1 ; Q_2 — соответственно поперечные силы в меридиональном и кольцевом направлениях;

M_1 ; M_2 — соответственно меридиональный и кольцевой изгибающие моменты;

ϵ_1 ; ϵ_2 — соответственно относительные удлинения меридиана и параллели;

ϑ — изменение полярного угла α , вследствие деформаций оболочки;

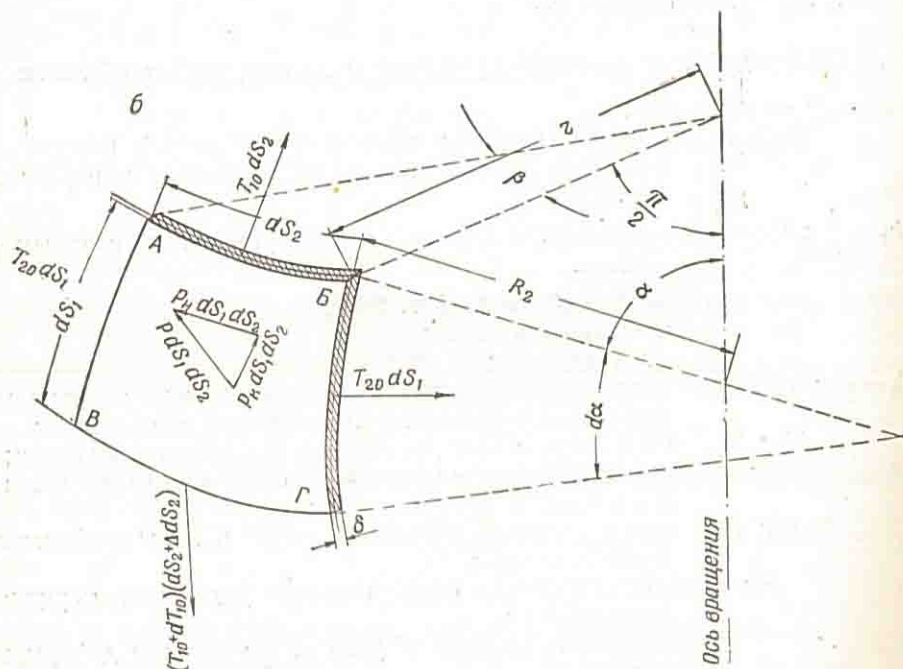
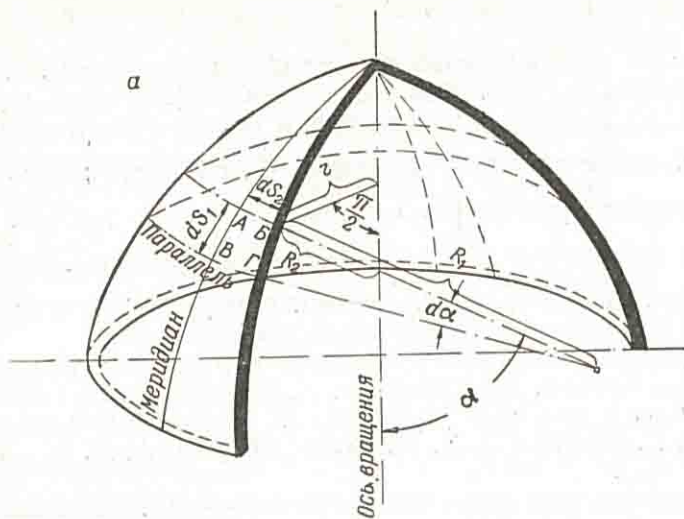
u — перемещение по касательной и меридиану;

w — перемещение по нормали к срединной поверхности;

χ_1 ; χ_2 — изменение кривизны k_1 и k_2 от деформаций;

ν — коэффициент Пуассона;

$(\)' = \frac{d(\)}{d\alpha}$ — производная по полярному углу;



Фиг. 243. Схемы оболочки вращения переменной толщины и ее элемента:
 а) общий вид оболочки; б) элемент оболочки.

s_1 — полюсное расстояние, измеренное по меридиану;
 $(\cdot)' = \frac{d(\cdot)}{ds_1} = \frac{(\cdot)'}{R_1}$ — производная по s_1 (по расстоянию вдоль меридиана);
 E — модуль упругости материала оболочки;

$B = \frac{EJ}{1-\nu^2} = \frac{E\delta^3}{12(1-\nu^2)}$ — цилиндрическая жесткость оболочки;

p — внешняя удельная нагрузка;

p_K ; p_n — ее проекция на касательную и нормаль.

Остальные обозначения на фигуре *243.

Выпишем известные из теории упругости уравнения без вывода ([10]; [23]).

Уравнения деформаций:

$$\left. \begin{aligned} \varepsilon_1 &= \frac{u' - w}{R_1} = u' - \frac{w}{R_1}; & \chi_1 &= \frac{1}{R_1'} - \frac{1}{R_1} = \frac{\vartheta'}{R_1} \\ \varepsilon_2 &= \frac{u \operatorname{ctg} \alpha - w}{R_2} = \frac{dr}{r}; & \chi_2 &= \frac{1}{R_2'} - \frac{1}{R_2} = \frac{\vartheta}{R_2} \operatorname{ctg} \alpha \\ \vartheta &= \frac{u + w'}{R_1} = \frac{u}{R_1} + w' \end{aligned} \right\} \quad (54a)$$

Зависимости между напряжениями и деформациями:

$$\left. \begin{aligned} T_1 &= \sigma_1 \delta = \pm \frac{E\delta}{1-\nu^2} (\varepsilon_1 + \nu \varepsilon_2) \\ T_2 &= \sigma_2 \delta = \pm \frac{E\delta}{1-\nu^2} (\varepsilon_2 + \nu \varepsilon_1) \end{aligned} \right\} \quad (54б)$$

$$\left. \begin{aligned} M_1 &= B(\chi_1 + \nu \chi_2) = \pm B \left(\nu \frac{\vartheta}{R_2} \operatorname{ctg} \alpha + \vartheta' \right) = \pm B \left(\nu \frac{\vartheta}{R_2} \operatorname{ctg} \alpha + \frac{\vartheta'}{R_1} \right) \\ M_2 &= B(\chi_2 + \nu \chi_1) = \pm B \left(\frac{\vartheta}{R_2} \operatorname{ctg} \alpha + \nu \vartheta' \right) = \pm B \left(\frac{\vartheta}{R_2} \operatorname{ctg} \alpha + \frac{\nu \vartheta'}{R_1} \right) \end{aligned} \right\} \quad (54в)$$

Уравнения равновесия:

$$(T_1 R_2 \sin \alpha)' - T_2 R_1 \cos \alpha - Q_1 R_2 \sin \alpha - p_K R_1 R_2 \sin \alpha = 0 \quad (54г)$$

или, так как $r' = \cos \alpha$; $r = R_2 \sin \alpha$; $\frac{(\cdot)'}{R_1} = (\cdot)'$, то, разделив на R_1 уравнение (54г) получим:

$$(T_1 r)' - T_2 r' - Q_1 \frac{r}{R_1} - p_K r = 0; \quad (54)$$

$$(Q_1 r)' + T_2 \sin \alpha + T_1 \frac{r}{R_1} - p_n r = 0; \quad (55)$$

$$(M_1 r)' - M_2 r' - Q_1 r = 0; \quad (56)$$

или

$$(M_1 R_2)' + (M_1 R_2 - M_2 R_1) \operatorname{ctg} \alpha = Q_1 R_1 R_2 = V R_1. \quad (56a)$$

Подставив из (54б) и (54в) значения M_1 и M_2 в уравнение (56a), получим после ряда преобразований основное дифференциальное уравнение задачи в виде:

$$\begin{aligned} \frac{R_2}{R_1} \vartheta'' + \left[3 \frac{\vartheta'}{\delta} \frac{R_2}{R_1} + \left(\frac{R_2}{R_1} \right)' + \frac{R_2}{R_1} \operatorname{ctg} \alpha \right] \vartheta' + \\ + \left[3 \frac{\vartheta'}{\delta} \nu \operatorname{ctg} \alpha + \frac{R_1}{R_2} \operatorname{ctg}^2 \alpha - \nu \right] \vartheta = - \frac{V R_1}{B}. \end{aligned} \quad (57)$$

Помножив уравнение (57) на $\frac{\delta}{R_1}$ и обозначив $U = \frac{V}{\delta^2} = \frac{Q_1 R_2}{\delta^2}$, получим:

$$\begin{aligned} \frac{\delta R_2}{R_1^2} \vartheta'' + \left[3 \frac{\delta' R_2}{R_1^2} + \frac{\delta}{R_1} \left(\frac{R_2}{R_1} \right)' + \frac{\delta R_2}{R_1^2} \operatorname{ctg} \alpha \right] \vartheta' + \\ + \left[3 \nu \frac{\delta'}{R_1} \operatorname{ctg} \alpha - \nu \frac{\delta}{R_1} - \frac{\delta}{R_2} \operatorname{ctg}^2 \alpha \right] \vartheta = - \frac{12(1-\nu^2)U}{E}. \end{aligned} \quad (58a)$$

так как:

$$3 \frac{\delta' R_2}{R_1^2} + \frac{\delta}{R_1} \left(\frac{R_2}{R_1} \right)' + \frac{\delta R_2}{R_1^2} \operatorname{ctg} \alpha = \frac{(\delta^3 r)'}{\delta^2 R_1 \sin \alpha} = \frac{\rho_1'}{\delta^2 R_1 \sin \alpha},$$

$$3 \nu \frac{\delta'}{R_1} \operatorname{ctg} \alpha - \nu \frac{\delta}{R_1} = \frac{\nu}{\delta^2 R_1 \sin \alpha} (3 \delta^2 \delta' \cos \alpha - \delta^3 \sin \alpha) = \nu \frac{(\delta^3 \cos \alpha)'}{\delta^2 R_1 \sin \alpha};$$

$$\frac{\delta}{R_2} \operatorname{ctg}^2 \alpha = \frac{\delta}{R_1} \frac{r'}{r} \operatorname{ctg} \alpha = \frac{\delta R_2}{R_1^2} \left(\frac{r'}{r} \right)^2,$$

где

$$r' = R_1 \cos \alpha;$$

$$r = R_2 \sin \alpha,$$

то уравнение (58а) можно записать так:

$$\frac{\delta R_2}{R_1^2} \left\{ \left[\frac{(\delta \rho_1)'}{\rho_1} \right]' + \left[\left(\frac{\rho_1'}{\rho_1} \right)^2 - \left(\frac{r'}{r} \right)^2 - \frac{\rho_1''}{\rho_1} + \nu \frac{(\delta^3 \cos \alpha)'}{\rho_1} \right] \Phi \right\} = - \frac{12(1-\nu^2)}{E} U, \quad (58)$$

где

$$\rho_1 = \frac{\delta^3 r}{R_1};$$

$$U = \frac{Q_1 R_2}{\delta^2}.$$

Если ввести новую функцию $\theta = \theta \delta^2$, то после некоторых преобразований получаем дифференциальное уравнение вида:

$$\frac{\delta R_2}{R_1^2} \left\{ \left[\frac{(\theta \rho_0)'}{\rho_0} \right]' + \left[\left(\frac{\rho_0'}{\rho_0} \right)^2 - \left(\frac{r'}{r} \right)^2 - \frac{\rho_0''}{\rho_0} + \frac{\nu}{\rho_0} \left(\frac{\cos \alpha}{\delta} \right)' \right] \theta \right\} -$$

$$- \frac{2\theta}{R_1 \sin \alpha} \left[\left(\frac{\delta' r}{R_1} \right)' - \nu (\delta \cos \alpha)' \right] = - \frac{12(1-\nu^2)}{E} V. \quad (59)$$

Здесь

$$\rho_0 = \frac{r}{\delta R_1}; \quad V = Q_1 R_2 = U \delta^2.$$

Помножим уравнения (54) на $\sin \alpha$, а (55) на $\cos \alpha$ и сложим, тогда:

$$(T_1 r \sin \alpha)' + (Q_1 r \cos \alpha)' = (\rho_k \sin \alpha + \rho_n \cos \alpha) r R_1. \quad (60a)$$

Проинтегрировав и произведя деление на $\sin \alpha$, получим:

$$T_1 r = \int \frac{(\rho_k \sin \alpha + \rho_n \cos \alpha) r R_1 dx}{\sin \alpha} - Q_1 r \operatorname{ctg} \alpha = T_{10} r - Q_1 r \operatorname{ctg} \alpha. \quad (60b)$$

Подобным же образом получится после подстановки (60b) в (55):

$$T_2 R_1 = T_{20} R_1 - (Q_1 R_2)' \quad (60b)$$

или

$$T_1 = T_{10} - Q_1 \operatorname{ctg} \alpha; \quad (60)$$

$$T_2 = T_{20} - \frac{V'}{R_1} = T_{20} - V'. \quad (61)$$

Продифференцировав (61) по α и произведя некоторые преобразования, получим другое дифференциальное уравнение, имеющее одинаковый дифференциальный оператор с уравнением (59):

$$\frac{\delta R_2}{R_1^2} \left\{ \left[\frac{(V \rho_0)'}{\rho_0} \right]' + \left[\left(\frac{\rho_0'}{\rho_0} \right)^2 - \left(\frac{r'}{r} \right)^2 - \frac{\rho_0''}{\rho_0} + \frac{\nu}{\rho_0} \left(\frac{\cos \alpha}{\delta} \right)' \right] V \right\} = E \theta + \frac{\delta}{R_1} \Phi \quad (62a)$$

или, приняв $U = \frac{V}{\delta^2}$ и произведя преобразования будем иметь:

$$\frac{\delta R_2}{R_1^2} \left\{ \left[\frac{(U \rho_1)'}{\rho_1} \right]' + \left[\left(\frac{\rho_1'}{\rho_1} \right)^2 - \left(\frac{r'}{r} \right)^2 - \frac{\rho_1''}{\rho_1} + \frac{\nu}{\rho_1} (\delta^3 \cos \alpha)' \right] U \right\} +$$

$$+ \frac{2U}{R_1 \sin \alpha} \left[\left(\frac{\delta' r}{R_1} \right)' - \nu (\delta \cos \alpha)' \right] = E \theta + \frac{\Phi}{\delta R_1}. \quad (62b)$$

В уравнениях (62a) и (62b)

$$\Phi = [(\nu R_2 + R_1) T_{10} - (\nu R_1 + R_2) T_{20}] \operatorname{ctg} \alpha - \delta \left[\frac{(T_{20} - \nu T_{10}) R_2}{\delta} \right]'. \quad (62b)$$

Если ввести новое независимое переменное s_1 , так что $ds_1 = R_1 d\alpha$, то после некоторых преобразований, из уравнений (59) и (62a) можно получить следующие группы уравнений:

$$\left. \begin{aligned} 1) \delta R_2 \left\{ \left[\frac{(\theta \rho_2)^*}{\rho_2} \right]^* + \left[\left(\frac{\rho_2^*}{\rho_2} \right)^2 - \left(\frac{r^*}{r} \right)^2 - \frac{\rho_2^{**}}{\rho_2} + \frac{\nu}{\rho_2} (\delta^2 r^*)^* \right] \theta \right\} &= -\frac{12(1-\nu^2)U}{E} \\ 2) \delta R_2 \left\{ \left[\frac{(U \rho_2)^*}{\rho_2} \right]^* + \left[\left(\frac{\rho_2^*}{\rho_2} \right)^2 - \left(\frac{r^*}{r} \right)^2 - \frac{\rho_2^{**}}{\rho_2} + \frac{\nu}{\rho_2} (\delta^2 r^*)^* \right] U \right\} + \\ &+ \frac{2U}{\sin \alpha} [(r \delta^*)^* - \nu (\delta r^*)^*] = E \theta + \Phi_1 \end{aligned} \right\} \quad (62)$$

где

$$\rho_2 = \delta^2 r; \quad \Phi_1 = \frac{T_{10} - \nu T_{20}}{\delta} \operatorname{ctg} \alpha - \frac{1}{\sin \alpha} \left[\frac{(T_{20} - \nu T_{10})^* r}{\delta} \right]^* \quad (62r)$$

$$\left. \begin{aligned} 1) \delta R_2 \left\{ \left[\frac{(\theta \rho)^*}{\rho} \right]^* + \left[\left(\frac{\rho^*}{\rho} \right)^2 - \left(\frac{r^*}{r} \right)^2 - \frac{\rho^{**}}{\rho} - \frac{\nu}{\rho} \left(\frac{r^*}{\delta} \right)^* \right] \theta \right\} - \\ - \frac{2\theta}{\sin \alpha} [(r \delta^*)^* - \nu (\delta r^*)^*] = -\frac{12(1-\nu^2)V}{E} \\ 2) \delta R_2 \left\{ \left[\frac{(V \rho)^*}{\rho} \right]^* + \left[\left(\frac{\rho^*}{\rho} \right)^2 - \left(\frac{r^*}{r} \right)^2 - \frac{\rho^{**}}{\rho} - \frac{\nu}{\rho} \left(\frac{r^*}{\delta} \right)^* \right] V \right\} = E \theta + \delta^2 \Phi_1 \end{aligned} \right\} \quad (63)$$

Здесь $\rho = \frac{r}{\delta}$; $\theta = \delta^2$; $V = Q_1 R_2$.

Из уравнений (58) и (62б), (59) и (62a), а также групп уравнений (62) и (63) легко установить, что при переменной толщине оболочки решение упрощается, если принимать закон изменения толщины так, чтобы $\rho_i = \text{const}$, т. е. по одному из законов:

$$\begin{aligned} \rho_1 = \frac{\delta^2 r}{R_1} = \text{const}; & \quad \rho_0 = \frac{r}{\delta R_1} = \text{const}; \\ \rho_2 = \delta^2 r = \text{const}; & \quad \rho = \frac{r}{\delta} = \text{const}. \end{aligned}$$

Если взять какую-нибудь пару из числа выведенных уравнений [например, (63)], то его можно сокращенно записать в общем виде так:

$$\left. \begin{aligned} 1) \nabla \theta - \chi \theta &= -\frac{A^4 V}{E} \\ 2) \nabla V &= E \theta + \delta^2 \Phi_1 \end{aligned} \right\} \quad (64a)$$

где $A^4 = 12(1-\nu^2)$.

Производя операцию ∇ над первым из уравнений и подставляя значение ∇V из второго, получим:

$$\left. \begin{aligned} \nabla (\nabla \theta - \chi \theta) + A^4 \theta &= -\Phi_2 \\ \nabla (\nabla V - \chi V) + A^4 V &= E (\nabla \Phi_2 - \chi \Phi_2) \end{aligned} \right\} \quad (64b)$$

Это — линейные неоднородные дифференциальные уравнения 4-го порядка, в которых

$$\Phi_2 = \frac{12(1-\nu^2)\delta^2}{E} \Phi_1.$$

Очевидно, что если $\nabla (\nabla \Phi_2 - \chi \Phi_2) = 0$, то уравнения (64b) приводятся к однородным видам

$$\left. \begin{aligned} \nabla (\nabla \theta_1 - \chi \theta_1) + A^4 \theta_1 &= 0 \\ \nabla (\nabla V_1 - \chi V_1) + A^4 V_1 &= 0 \end{aligned} \right\} \quad (64)$$

где

$$\begin{aligned} \theta_1 &= \theta + \frac{\delta^2}{E} \Phi_1; \\ V_1 &= V - [\nabla (\delta^2 \Phi_1) - \chi \delta^2 \Phi_1]. \end{aligned}$$

Уравнения (64) при $\chi = \text{const}$ распадаются каждое на два сопряженных 2-го порядка.

Таким образом, для большого числа практически важных случаев решение задачи сведено нами к интегрированию однородного линейного дифференциального уравнения 2-го порядка.

б) Оболочки постоянной толщины

При постоянной толщине ($\delta = \text{const}$) полученные выше дифференциальные уравнения упрощаются [18]. Так, например, в уравнениях (62) или (63) $\rho_i = r\delta^n$ и, следовательно, $\delta^4 \rho = \rho_2 = \delta^3 r$; $\delta^4 \rho^* = \rho_2^* = \delta^3 r^*$; $\delta^4 \rho^{**} = \rho_2^{**} = \delta^3 r^{**}$. Уравнения (62) после помножения первого уравнения на $\frac{E\delta^2}{12(1-\nu^2)}$, а второго — на δ принимают вид:

$$\left. \begin{aligned} R_2 \left\{ \left[\frac{(\psi r)^*}{r} \right]^* - \frac{(1-\nu) r^{**}}{r} \psi \right\} &= -V \\ R_2 \left\{ \left[\frac{(Vr)^*}{r} \right]^* - \frac{(1+\nu) r^{**}}{r} V \right\} &= \frac{\delta}{B} \psi + \delta \Phi_1 \end{aligned} \right\} \quad (65a)$$

где $\psi = B\vartheta$.

Если положить

$$\nabla(\cdot) = R_2 \left\{ \left[\frac{(\cdot)r^*}{r} \right]^* - \frac{(1-\nu) r^{**}}{r} (\cdot) \right\},$$

а

$$\chi = 2\nu \frac{r^{**}}{r},$$

где (\cdot) — искомая функция [т. е. $(\cdot) = \psi$ или $(\cdot) = V$], то дифференциальное уравнение исследуемой задачи можно записать так:

$$\nabla \nabla \psi + \chi \nabla \psi + \frac{E\delta}{B} \psi = -\delta \Phi_1 \quad (65b)$$

или

$$\nabla \nabla V + \chi \nabla V + V \nabla \chi + \frac{E\delta}{B} V = \delta \nabla \Phi_1, \quad (65)$$

где

$$B = \frac{E\delta^3}{12(1-\nu^2)};$$

$$\psi = B\vartheta.$$

Например, для простейших оболочек вращения полученные уравнения принимают вид:

а) для цилиндрической оболочки $r = \text{const}$

$$\psi^{**} = -Q_1;$$

$$Q_1^{**} = \frac{\delta}{Br^2} \psi + \delta \Phi_1$$

или

$$\psi^{****} + \frac{E\delta}{Br^2} \psi = -\frac{\delta \Phi_1}{r^2}, \quad (66a)$$

где

$$\Phi_1 = \frac{r}{\delta} (T_{20} - \nu T_{10})^*;$$

б) для конической оболочки $r = s_1 \cos \alpha$; $R_2 = s_1 \operatorname{ctg} \alpha$; $\alpha = \operatorname{const}$

$$\left. \begin{aligned} \text{ИЛИ} \quad \nabla \psi &= s_1 \left[\frac{(\psi s_1)^*}{s_1} \right]^* = -U \operatorname{tg} \alpha \\ \left[\frac{(\psi s_1)^*}{s_1} \right]^* &= -Q_1 \\ \text{ИЛИ} \quad \nabla V &= s_1 \left[\frac{(V s_1)^*}{s_1} \right]^* = \frac{E \delta \operatorname{tg} \alpha}{B} \psi + \delta \Phi_1 \operatorname{tg} \alpha \\ \text{ИЛИ} \quad s_1 \left[\frac{(Q_1 s_1^2)^*}{s_1} \right]^* &= \left[\frac{E \delta}{B} \psi + \delta \Phi_1 \right] \operatorname{tg}^2 \alpha \end{aligned} \right\} \quad (66б)$$

$$\left. \begin{aligned} \nabla \nabla \psi + \frac{E \delta \operatorname{tg}^2 \alpha}{B} \psi &= -\delta \Phi_1 \operatorname{tg}^2 \alpha \\ \nabla \nabla V_1 + \frac{E \delta \operatorname{tg}^2 \alpha}{B} V_1 &= \frac{\delta}{\operatorname{ctg}^2 \alpha} \nabla \Phi_1 \end{aligned} \right\} \quad (66в)$$

где $\nabla(\) = s_1 \left[\frac{[(\) s_1]^*}{s_1} \right]^*$; $\Phi_1 = \frac{\operatorname{ctg} \alpha}{\delta} [(T_{10} - \nu T_{20}) - (T_{20} r - \nu T_{10} r)^*]$; $V_1 = Q_1 s_1$;

в) для сферической оболочки $r^* = \frac{r}{R^2} = -\frac{\sin \alpha}{R}$; $r = R \sin \alpha$; $R = \operatorname{const}$;
 $\chi = \frac{2\nu}{R} = \operatorname{const}$,

$$\left. \begin{aligned} \left[\frac{(\psi r)^*}{r} \right]^* - \frac{(1-\nu) r^{**}}{r} \psi &= -Q_1 \\ \left[\frac{(Q_1 r)^*}{r} \right]^* - \frac{(1+\nu) r^{**}}{r} Q_1 &= \frac{\delta}{BR^2} \psi + \frac{\delta}{R^2} \Phi_1 \end{aligned} \right\} \quad (66г)$$

г) для оболочек, у которых $R_1 = \operatorname{const}$ (например, тор), $\chi = \frac{2\nu}{R_1} = \operatorname{const}$, действительны уравнения (66г). Если $R_1 \neq \operatorname{const}$, то уравнения (65б) и (65) при $\nabla \nabla \Phi_1 = 0$ не распадаются на два уравнения 2-го порядка. Однако так как $\frac{\nu}{R_1}$ мало, то можно рекомендовать следующее приближенное, общее для всех оболочек постоянной толщины уравнение (достаточное при $\nabla \nabla \Phi_1 = 0$):

$$\nabla \nabla(\)_1 + \frac{E \delta}{B}(\)_1 = 0, \quad (66д)$$

распадающееся на два сопряженных уравнения вида

$$\nabla(\)_1 \pm i(\)_1 \sqrt{\frac{E \delta}{B}} = 0, \quad (66)$$

где

$$\begin{aligned} \nabla(\)_1 &= R_2 \left\{ \left[\frac{[(\)_1 r]^*}{r} \right]^* - \frac{r^{**}}{r}(\)_1 \right\}; \\ (\)_1 &= \psi + \frac{B}{E} \Phi_1 \quad \text{или} \quad (\)_1 = V - \nabla \Phi_1. \end{aligned}$$

в) Цилиндрическая оболочка постоянной толщины

$\alpha = \frac{\pi}{2}$; $R_1 = \infty$; $R_2 = r = \operatorname{const}$ и учитывая, что при этом $\nabla(\) = r(\)^{**}$; $r^{**} = 0$, из

(66д), приняв $\lambda = \frac{\sqrt{E \delta}}{\sqrt{3(1-\nu^2)}}$; $s_1 = s$, получим:

$$\frac{d^4 \psi_1}{ds^4} + \frac{4}{\lambda^4} \psi_1 = -\frac{\delta \Phi_1}{r^2}. \quad (67а)$$

А так как из формул (54б) (имея в виду, что $\text{ctg } \alpha = 0$) $M_1 = \psi$, дифференцируя (67а), получаем:

$$\frac{d^4 M_1}{ds^4} + \frac{4}{\lambda^4} M_1 = -\frac{\delta}{r^2} \frac{d\Phi_1}{ds_1}. \quad (67б)$$

Если выбрать $M = M_1 + \frac{B}{E} \frac{d\Phi_1}{ds} = M_1 + \frac{B}{E} \Phi_1^*$, при $\frac{d^5 \Phi_1}{ds^5} = 0$, будем иметь

$$\frac{d^4 M}{ds^4} + \frac{4}{\lambda^4} M = 0. \quad (67)$$

А так как из (62), имея в виду, что $\sin \alpha = \sin \frac{\pi}{2} = 0$:

$$\Phi_1 = \frac{r}{\delta} (T_{20}^* - \nu T_{10}^*),$$

то должно быть

$$\frac{\delta}{r} \frac{d^5 \Phi_1}{ds^5} = \frac{d^5 T_{20}}{ds^5} - \nu \frac{d^5 T_{10}}{ds^5} = 0,$$

Следовательно, формула (67) является основным дифференциальным уравнением задачи, если

$$\left. \begin{aligned} \frac{d^5 T_{10}}{ds^5} &= 0 \\ \frac{d^5 T_{20}}{ds^5} &= 0 \end{aligned} \right\} \quad (68)$$

Уравнение (67) точно такое же, как уравнение изгиба балки на упругом основании (6). Следовательно, задача о цилиндрической оболочке постоянной толщины решается так же, как и задача о балке постоянной жесткости, лежащей на однородном упругом основании, т. е. применимы формулы от (8) до (35) при соответствующих загрузениях и опорных закреплениях, однако с другой характеристикой жесткости $\lambda = \frac{\sqrt{\delta r}}{\sqrt[4]{3(1-\nu^2)}}$.

При этом кольцевые усилия можно определять умножением упругого отпора на r , т. е. принимая $T_2 = pr$.

Для расчета длинной цилиндрической оболочки постоянной толщины можно пользоваться графиками фигур 226, 228 и 230, а также таблицами 3 или 4.

Пример. Определить усилия, возникающие в узле А железобетонного резервуара, изображенного на фигуре 244, а (принято $\nu = \frac{1}{6}$).

Решение. 1) Характеристика верхнего участка:

$$\lambda_1 = \frac{\sqrt{\delta_1 r}}{\sqrt[4]{3(1-\nu^2)}} = \frac{\sqrt{0,12 \cdot 4}}{\sqrt[4]{3 \cdot \frac{35}{12}}} = 0,53 \text{ м.}$$

2) То же, нижнего участка:

$$\lambda_2 = \frac{\sqrt{\delta_2 r}}{\sqrt[4]{3(1-\nu^2)}} = \frac{\sqrt{0,96}}{1,31} \approx 0,75 \text{ м.}$$

Так как

$$h_1 > 3\lambda_1, \quad h_2 > 3\lambda_2,$$

то можно воспользоваться уравнениями (9), исходя из условия, что углы поворота и смещения тонкого и толстого участков в узле А равны. Давление воды в точке А:

$$q_1 = \gamma h_1 = 4 \text{ т/м}^2.$$

Давление внизу стенки:

$$q_2 = \gamma (h_1 + h_2) = 9 \text{ т/м}^2.$$

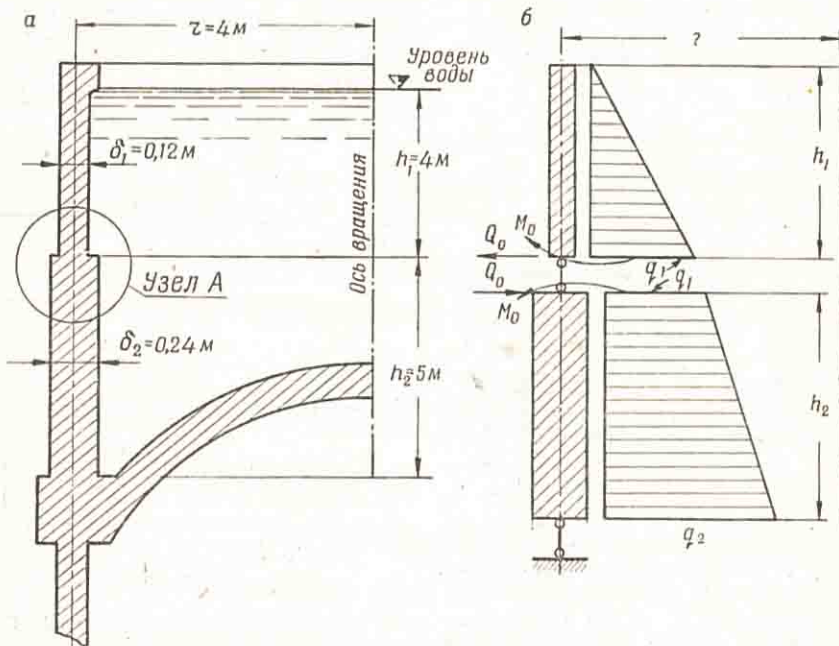
Четвертое уравнение (9) дает:

$$\frac{q_1 \lambda_1^4}{4} + \frac{\lambda_1^2}{2} (M_0 + Q_0 \lambda_1) = \frac{\delta_1^3}{\delta_2^3} \left\{ \frac{q_1 \lambda_2^4}{4} + \frac{\lambda_2^2}{2} (M_0 - Q_0 \lambda_2) \right\}.$$

Из пятой строки уравнений (9) получим:

$$\frac{q_1 \lambda_1^4}{4 h_1} + Q_0 \frac{\lambda_1^2}{2} + M_0 \lambda_1 = \frac{\delta_1^3}{\delta_2^3} \left\{ \frac{\lambda_2^4 (q_1 - q_2)}{4 h_2} - M_0 \lambda_2 + Q_0 \frac{\lambda_2^2}{2} \right\}.$$

Перемена знаков по сравнению с уравнениями (9) произведена потому, что для нижнего участка момент вызывает отрицательное перемещение в выбранной основной системе (фиг. 244, б).



Фиг. 244. Схема цилиндрического резервуара (к примеру расчета): а — вертикальный разрез; б — основная система, принятая для расчета прочности резервуара.

Множитель $\frac{\delta_1^3}{\delta_2^3}$ в правой части появился потому, что значения перемещений в уравнениях (9) — не действительные, а умноженные на жесткость элемента (соответственно на $B_1 = \frac{E \delta_1^3}{12(1-\nu^2)}$ в левой части и на $B_2 = \frac{E \delta_2^3}{12(1-\nu^2)}$ в правой).

Чтобы привести перемещения к одной размерности (увеличенным в B_1 раз), правая часть умножена на $\frac{B_1}{B_2} = \frac{\delta_1^3}{\delta_2^3} = \frac{1}{8}$.

Решая полученные два уравнения с двумя неизвестными, получим:

$$M_0 = -0,101 \text{ тм.}$$

$$Q_0 = -0,05 \text{ т.}$$

г) Круговое кольцо

Мы рассмотрели решения для цилиндрической оболочки, для которой $\frac{H}{\lambda} \gg 1$. Если $\frac{H}{\lambda} < 1$, то можно считать, что при перемещениях, которые могут испытывать радиальные сечения оболочки, они сами не деформируются.

Такую цилиндрическую оболочку условимся называть круговым кольцом (толщина оболочки b_k по фигуре 245, а должна быть не более $1/8$ ее радиуса r).

Очевидно, что при воздействии равномерно распределенной нагрузки интенсивностью Q т/пог. м окружности кольца, полукольцо будет находиться в равновесии, если к крайевым радиальным сечениям приложить силы $T = Qr$ (фиг. 245, а).

Под влиянием этих сил радиус кольца получит удлинение $y = \epsilon_2 r$, где ϵ_2 — относительное удлинение:

$$\epsilon_2 = \frac{2\pi(r+y) - 2\pi r}{2\pi r} = \frac{y}{r}.$$

В то же время по закону Гука:

$$\epsilon_2 = \frac{\sigma}{E} = \frac{T}{EF_k} = \frac{Qr}{EF_k},$$

где E — модуль упругости материала кольца, а $F_k = b_k h_k$.

Следовательно:

$$y = \frac{Qr^2}{EF_k}.$$

Таким образом, для кольца

$$w = By \cong \frac{Ir^2}{F_k} Q. \quad (69a)$$

$$\text{Здесь } I = \frac{b^3}{12(1-\nu^2)};$$

B — жесткость элемента, к которому приводятся коэффициенты уравнений упругости;

w — увеличенное в B раз перемещение центра сечения кольца в радиальном направлении.

Рассуждая подобным же образом, можно выявить характер работы кольца при загрузении его равномерно распределенными радиальными моментами интенсивностью M тм/м (фиг. 245, б).

Очевидно, что под влиянием такого загрузения радиальные сечения кольца повернутся на один и тот же угол. Если верхние волокна кольца удлинятся, то нижние укоротятся. Центр тяжести сечения не будет перемещаться в направлении радиуса.

Кольцо работает при таком загрузении на изгиб.

Зависимость между напряжениями и деформациями выражается следующими соотношениями:

$$\sigma_{\max} = \frac{Mr}{w} = \frac{Mh_k r}{2I_k}, \quad \text{где } I_k = \frac{b_k h_k^3}{12(1-\nu^2)}.$$

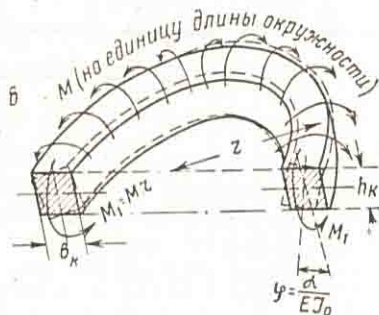
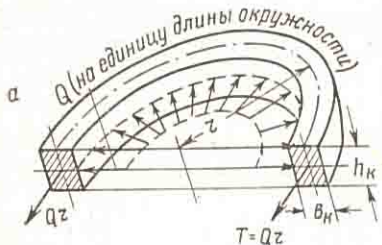
Поворот сечения кольца:

$$\varphi = \frac{2y_{\max}}{h_k} = \epsilon_{\max} \frac{2r}{h_k} = \frac{2\sigma_{\max} r}{Eh_k} = \frac{r^2}{EI_k} M.$$

Увеличенный в $EI = B$ раз поворот радиального сечения:

$$EI\varphi = \frac{Ir^2}{I_k} M \quad (69б)$$

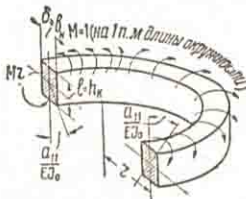
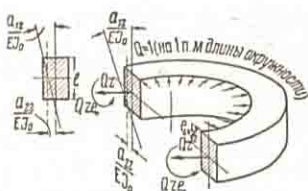


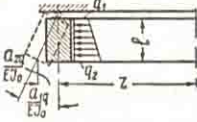
(см. табл. 5, случай 1).



Фиг. 245. Схемы свободного кругового кольца:

а — при загрузении центральными радиальными силами; б — при загрузении распределенными моментами.

Перемещения кругового кольца при осесимметричном нагружении
(применимо также для расчетов жесткой балки на упругом основании)

| Характеристика элемента | Схема кругового кольца | Значения перемещений по схеме |
|--|---|---|
| <p>1. Круговое кольцо (жесткая балка на упругом основании) $l \leq \lambda$ при $\delta < \frac{r}{8}$</p> <p>Для кольца $\lambda \approx 0,76 \sqrt{r\delta}$</p> <p>Для жесткой балки на упругом основании $\lambda = \sqrt[4]{\frac{4EI}{bk_r}}$ (приняв $\nu=0$)</p> |  | $a_{11} = \frac{I_0 r^2}{I_k} = \frac{I r^2}{I} I_0,$ <p>где</p> $I = \frac{\delta^3}{12(1-\nu^2)}, \quad I_k = \frac{\delta I^3}{12}$ <p>или</p> $a_{11} = \frac{\delta^2 r^2}{l^3} \frac{I_0}{I} = 3 \left(\frac{\lambda}{l} \right)^3 \lambda_1$ $\lambda_1 = \lambda \frac{I_0}{I}$ <p>I_0 — момент инерции, принимаемый условно за единицу</p> |
| |  | $a_{12} = a_{11} \frac{l}{2} = \frac{3}{2} \left(\frac{\lambda}{l} \right)^2 \lambda \lambda_1$ $a_{22} = a_{12} \frac{l}{2} + \frac{I_0 r^2}{F_k} = \frac{\lambda^3}{l} \lambda_1$ |
| <p>2. Круговое кольцо при шарнирном опирании верхнего (или нижнего) края</p> <p>$\lambda \approx 0,76 \sqrt{r\delta}$ (приняв $\nu=0$)</p> |  | $a_{11}^0 = \frac{3}{4} \left(\frac{\lambda}{l} \right)^3 \lambda_1$ $a_{21}^0 = \frac{3}{4} \frac{\lambda^3}{l^2} \lambda_1$ |
| |  | $a_{12}^0 = \frac{3}{4} \frac{\lambda^3}{l^2} \lambda_1$ $a_{22}^0 = \frac{3}{4} \frac{\lambda^3}{l} \lambda_1$ |
| |  | $a_{1q}^0 = \left(q_2 \frac{\lambda^3}{4l} + q_1 \frac{\lambda^3}{8l} \right) \lambda_1$ $a_{2q}^0 = \left[q_2 + \frac{q_1}{q_2} \right] \frac{\lambda^3}{4} \lambda_1 = a_{1q}^0 l$ |

Если на кольцо действуют распределенные радиальные силы Q , с эксцентриситетом по отношению к центру радиального сечения $e_0 = \frac{M}{N}$, то кольцо будет работать на внецентренное растяжение или на внецентренное сжатие. Действие нагрузки Q можно при расчете заменить действием силы и момента.

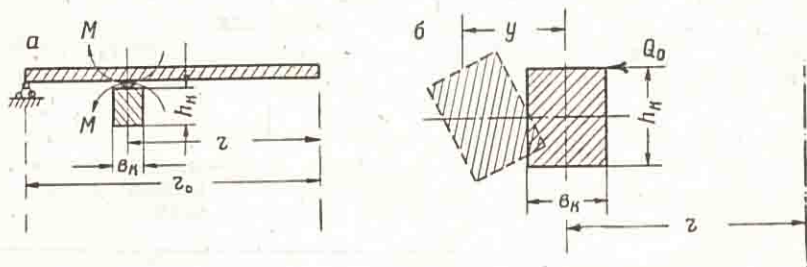
Поворот радиального сечения, увеличенный в EI раз, будет при этом

$$EI\varphi_1 = \frac{I r^2}{I_k} Q e_0. \quad (69\text{в})$$

Центр тяжести радиального сечения сместится в направлении радиуса на величину, определяемую из формулы (69а).

Шарнирное опирание верхнего края кольца. При расчете перекрытий в виде круглой плиты с кольцевой балкой приходится решать задачу совместной работы кольца и плиты. Если пренебрегать растяжимостью плиты, можно считать, что верхний край кольцевой балки может только поворачиваться и перемещаться в вертикальном направлении (фиг. 246, а). При таких условиях за лишнее неизвестное можно принять момент в месте сопряжения балки и плиты.

Таким образом, можно сократить число неизвестных в 2 раза, если знать краевые единичные перемещения кольца при шарнирном опирании верхнего края; одновременно легко проверить влияние срезающих сил, возникающих в кольце при совместной работе кольца с плитой.



Фиг. 246. Схемы кругового кольца:

а—при шарнирном опирании на плиту; б—перемещение радиального сечения кольца под воздействием Q_0 у верхней грани.

При шарнирном опирании верхнего края кольца в этом месте возникает радиальная сила Q_0 на 1 пог. м длины окружности кольца. Так как сила приложена эксцентрично относительно центра тяжести сечения кольца (фиг. 246, б), то, заменив ее силой Q_0 , приложенной к центру кольца, и парой $M_Q = Q_0 \frac{h_k}{2}$, мы можем для радиального перемещения верхнего края при таком нагружении кольца написать:

$$EI y_Q = Q_0 r^2 \frac{I}{F_k} + Q_0 \frac{h_k^2}{4} \frac{I}{I_k} r^2 = Q_0 \frac{I}{F_k} r^2 \left(1 + \frac{h_k^2 F_k}{4 I_k} \right).$$

Но так как

$$F_k = b_k h_k; \quad I_k = \frac{b_k h_k^3}{12},$$

то

$$\frac{h_k F_k}{4 I_k} = 3.$$

Следовательно:

$$EI y_Q = 4 \frac{I r^2}{F_k} Q_0.$$

Под воздействием момента M смещение верхнего края будет:

$$EI y_M = \frac{I}{I_k} r^2 \frac{h_k}{2} M = \frac{2}{3} \frac{M}{h_k} \frac{I}{I_k} r^2.$$

Но так как в результате действия M и Q верхний край кольца должен остаться неподвижным, то:

$$4 \frac{I r^2}{F_k} Q_0 + M \frac{I r^2 h_k}{I_k^2} = 0.$$

Откуда

$$Q_0 = - \frac{3 I_k M}{2 h_k}.$$

Под действием $M=1$ на шарнирно опертое кольцо на верхнем крае кольца возникает сила:

$$Q_{M=1} = -\frac{3}{2h_k}.$$

Определим теперь увеличенный в EI раз угол поворота кольца a_{11}^0 при шарнирном опирании верхнего края от $M=1$:

$$a_{11}^0 = \frac{I}{I_k} r^2 - \frac{3I}{2h_k I_k} r^2 \frac{h_k}{2} = \frac{I}{4I_k} r^2,$$

т. е.

$$a_{11}^0 = \frac{I}{I_k} \frac{r^2}{4} = \frac{I}{I_k} \left(\frac{r}{2}\right)^2 = \frac{3}{4} \left(\frac{\lambda}{h_k}\right)^3 \lambda_1$$

(см. табл. 5, случай 2).

Из сравнения a_{11}^0 со значением $EI\varphi$ от $M=1$ в формуле (69б) видно, что угол поворота шарнирно опертого кольца под влиянием меридионального момента в 4 раза меньше угла поворота такого же свободного кольца от той же причины. Вместе с тем он равен углу поворота от того же момента свободного кольца такого же сечения, но в 2 раза меньшего радиуса.

Для получения увеличенного в EI раз угла поворота сечения шарнирно опертого кольца необходимо к краю кольца прикладывать момент в 4 раза больший, чем к свободному кольцу тех же размеров, так как при этом будет возникать в центре тяжести сечения кольцевая сила, которая будет удерживать край кольца от радиального перемещения.

Перемещение по радиусу (равное $\frac{1}{EI}$) края кольца получится, если к краю приложена сила

$$Q_{y=1} = \frac{F_k}{Ir^2}.$$

Следовательно, для края кольца:

$$r_{11} = M_{y=1} = \frac{4I_k}{Ir^2};$$

$$r_{12} = M_{y=1} = Q_{\varphi=1} = \pm \frac{6I_k}{h_k Ir^2} = \pm \frac{F_k h_k}{Ir^2 \cdot 2}$$

(знаки — верхний для верхнего края, нижний — для нижнего).

При небольших размерах кольца ($h_k \leq 0,5$ м) можно приближенно считать заделку в центре кольца, пренебрегая влиянием изменения $M_{\varphi=1}$ и $M_{y=1}$.

Если к центру кольца приложена внешняя сила, то для края кольца при его заделке существуют следующие соотношения:

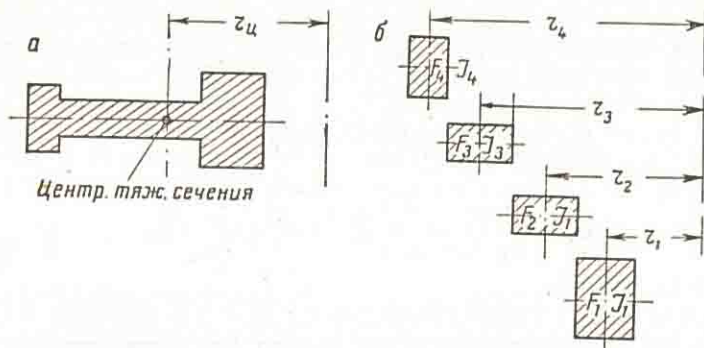
$$Q = -T; \quad M = -\frac{Th_k}{2}.$$

Широкое кольцо произвольного сечения (фиг. 247,а). Широкое кольцо можно расчленить на ряд жестких участков и с достаточной для практики степенью точности считать, что сечение кольца поворачивается и смещается по радиусу, не деформируясь. При таком допущении легко определить момент, необходимый для поворота кольца относительно его центра тяжести на угол $EI\varphi = 1$, и силу, которая сместит в направлении радиуса центр сечения на расстояние $EIy = 1$.

Для определения $M_{\varphi=1}$ и $Q_{\varphi=1}$ разобьем исследуемое кольцо на несколько элементарных колец (фиг. 247,б).

Очевидно, если за малостью угла поворота пренебрегать уменьшением радиуса элементарных колец, равно удаленных от центра тяжести всего

кольца (при отсчете вдоль радиуса), а также при условии, что центр тяжести элементарных колец лежит на одной горизонтальной с центром тяжести радиального сечения всего кольца, то можно значение момента или

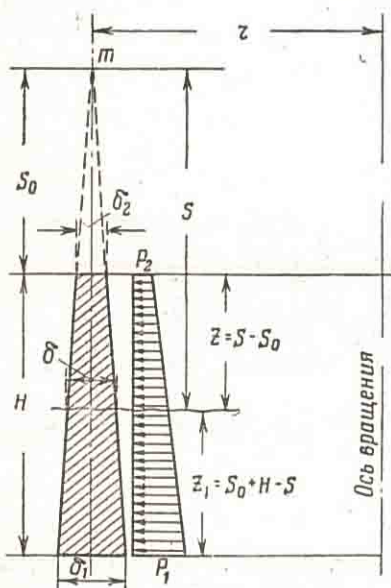


Фиг. 247. Круговое кольцо произвольного сечения (широкое): а—радиальный разрез кольца; б—членение сечения широкого кольца на элементы.

радиальной силы, вызывающих соответствующие перемещения, записать так:

$$M_{z=1} = \sum_{i=1}^{i=n} \frac{I_i}{I r^2};$$

$$Q_{y=1} = \sum_{i=1}^{i=n} \frac{F_i}{I r^2}; \quad Q_{z=1} = 0; \quad M_{y=1} = 0.$$



Фиг. 248. Сечение цилиндрической оболочки линейно меняющейся толщины.

Здесь n — число элементарных колец, на которые разбито кольцо сложного сечения.

Соответственно перемещения центра тяжести кольца под влиянием усилий, равных единице, можно выразить так:

$$a_{11} = \frac{1}{\sum_{i=1}^{i=n} \frac{I_i}{I r^2}}; \quad a_{22} = \frac{1}{\sum_{i=1}^{i=n} \frac{F_i}{I r^2}}.$$

д) Цилиндрическая оболочка линейно меняющейся толщины

Если принять обозначения по фигуре 248, то

$$\delta = \delta_1 \frac{s}{s_0}; \quad \delta_2 = \delta_1 \left(1 + \frac{H}{s_0} \right).$$

Учитывая, что $R_2 = r = \text{const}$; $V = Qr$, получим

$$\frac{\rho^*}{\rho} = -\frac{1}{s}; \quad \left(\frac{\rho^*}{\rho} \right)^2 = \frac{1}{s^2}; \quad \frac{\rho^{**}}{\rho} = \frac{2}{s^2}; \quad \varphi = \frac{r}{\delta}.$$

Из уравнений (63) после деления на $\frac{\delta_1 r}{s_0}$ получим:

$$\left. \begin{aligned} s \left\{ \left[s \left(\frac{\theta}{s} \right)^* \right]^* - \frac{\theta}{s^2} \right\} &= -\frac{12 [1 - \nu^2] s_0}{E \delta_1 r} Q \\ s \left\{ \left[s \left(\frac{Q}{s} \right)^* \right]^* - \frac{Q}{s^2} \right\} &= \frac{E s_0}{\delta_1 r} \theta + \frac{\delta_1 s^2}{s_0 r} \Phi_1 \end{aligned} \right\} \quad (70a)$$

Для этого случая в уравнениях (64) $\chi = 0$ и

$$\nabla(\cdot) = s \left\{ \left[s \left(\frac{\cdot}{s} \right) \right]^* - \frac{\cdot}{s^2} \right\} = s^2 \left[\frac{\cdot}{s} \right]^*,$$

а основное уравнение (64) распадается на два сопряженных 2-го порядка вида:

$$\nabla(\cdot)_1 \pm 2i s_0 \frac{\sqrt{3(1-\nu^2)}}{\delta_1 r} (\cdot)_1 = 0$$

или, после деления на s^2

$$\left. \begin{aligned} \left(\frac{\theta_1}{s} \right)^* + \left[\frac{(\pm 1 \pm i) \sqrt[4]{3(1-\nu^2)}}{\sqrt{\frac{\delta_1 r}{s_0}}} \right]^2 \frac{\theta_1}{s^2} = 0 \\ \left(\frac{Q_1}{s} \right)^* + \left[\frac{(\pm 1 \pm i) \sqrt[4]{3(1-\nu^2)}}{\sqrt{\frac{\delta_1 r}{s_0}}} \right]^2 \frac{Q_1}{s^2} = 0 \end{aligned} \right\} \quad (70б)$$

Здесь обозначено:

$$\left. \begin{aligned} \theta_1 = \theta - \frac{\delta_1 r}{E} \left(\frac{T_{20} - \nu T_{10}}{\delta} \right)^* = \theta - \frac{\delta_1 r}{E s_0} [(T_{20} - \nu T_{10}) s - (T_{20} - \nu T_{10})] \\ Q_1 = Q + \frac{\delta_1 r}{12 s_0 (1-\nu^2)} \left[\delta^2 \left(\frac{T_{20} - \nu T_{10}}{\delta} \right)^* \right]^{**} = Q + \frac{r \delta^2}{12 (1-\nu^2)} (T_{20}^{**} - \nu T_{10}^{**}) \end{aligned} \right\} \quad (70в)$$

Уравнения (70б) — уравнения Бесселя 2-го порядка при комплексном значении переменного [24]. Их интегралы:

$$\left. \begin{aligned} \theta_1 = [A' \ker_2 x + B' \kei_2 x + B' \ber_2 x + \Gamma' \bei_2 x] s \\ Q_1 = [A \ker_2 x + B \kei_2 x + B \ber_2 x + \Gamma \bei_2 x] s \end{aligned} \right\} \quad (70г)$$

Здесь $A', B', B', \Gamma', A, B, B, \Gamma$ — постоянные интегрирования;

$$\begin{aligned} x &= 2 \sqrt{\frac{s s_0}{\delta_1 r} \sqrt{3(1-\nu^2)}} = \frac{2s}{\lambda}, \\ \lambda &= \frac{\sqrt{\delta_1 r}}{\sqrt[4]{3(1-\nu^2)}}. \end{aligned}$$

Нетрудно убедиться, что

$$x^* = \frac{dx}{ds} = \frac{x}{2s} = \frac{1}{\lambda} = \frac{\sqrt[4]{3(1-\nu^2)}}{\sqrt{\delta_1 r}} = \frac{\sqrt[4]{3(1-\nu^2)}}{\sqrt{\frac{\delta_1 r s}{s_0}}} = \frac{a}{\sqrt{s}}, \quad (70д)$$

где

$$a = \sqrt{\frac{s_0}{\delta_1 r} \sqrt{3(1-\nu^2)}}.$$

Учитывая, что для цилиндрической оболочки $\operatorname{ctg} \alpha = 0$, из уравнений (54б) и (54в) получаем:

$$\left. \begin{aligned} M_1 = \pm B \vartheta^* = \frac{E \delta^3}{12(1-\nu^2)} \vartheta^* \\ M_2 = \nu M_1, \end{aligned} \right\} \quad (70е)$$

а из (55) и (56)

$$\left. \begin{aligned} Q = M_1^* \\ T_2 = (p_n - Q^*) r = T_{20} - r Q^* \end{aligned} \right\} \quad (70ж)$$

Воспользуемся первым из уравнений (70г), имея в виду, что $\theta = \vartheta \delta^2$ или $\vartheta = \frac{\theta}{\delta^2}$ и учитывая (70в), будем иметь:

$$\vartheta = \frac{s_0^3}{\delta_1 s} \{ C_1^* \ker_2(x) + C_2^* \kei_2(x) + C_3^* \ber_2(x) + C_4^* \bei_2(x) \} + \frac{r}{E} \left(\frac{T_{20} - \nu T_{10}}{\delta} \right)^*.$$

Так как $s = x^2 \frac{\delta_1 r}{4s_0 \sqrt{3(1-\nu^2)}}$, то памятуя, что функции Бесселя при дифференцировании подчиняются закону

$$\frac{d}{dx} \left[\frac{I_n(x)}{x^n} \right] = -\frac{I_{n+1}(x)}{x^n},$$

из (70e) получаем:

$$M_1 = \frac{E\delta x}{24(1-\nu^2)} \{C'_1 \text{ker}_3 x + C'_2 \text{kei}_3 x + C'_3 \text{ber}_3 x + C'_4 \text{bei}_3 x\} - \frac{\delta_1^3}{12(1-\nu^2)} \left(\frac{T_{20} - \nu T_{10}}{\delta} \right) \dots$$

Пользуясь вторым уравнением (70б), из его интеграла (70г) [учитывая формулы (70в)] можно получить:

$$Q = \delta \{C''_1 \text{ker}_2 x + C''_2 \text{kei}_2 x + C''_3 \text{ber}_2 x + C''_4 \text{bei}_2 x\} - \frac{r\delta^2}{12(1-\nu^2)} \{T''_{20} - \nu T''_{10}\}.$$

Так как из уравнений (70ж) $Q = M_1$, то, пользуясь зависимостью $\frac{d}{dx} [x^n I_n(x)] = x^n I_{n-1}(x)$ и сравнивая постоянные интегрирования C'_i и C''_i (i — от одного до четырех), получим:

$$C'_i = \frac{4\delta_1 r \sqrt{3(1-\nu^2)}}{Es_0} C''_i = \frac{12\lambda^2(1-\nu^2)}{Es} C''_i. \quad (70з)$$

Пользуясь указанным выше правилом дифференцирования цилиндрических функций, из второго уравнения (70ж) получим:

$$T_2 = T_{20} + \frac{\delta_1 r^2}{12s_0(1-\nu^2)} [\Delta(\delta^2 \Phi_1)] - \frac{r\delta}{\lambda} [C''_1 \text{ker}_1 x + C''_2 \text{kei}_1 x + C''_3 \text{ber}_1 x + C''_4 \text{bei}_1 x].$$

Для радиального прогиба y получим из уравнений деформаций на основании зависимостей между напряжениями и деформациями:

$$T_2 = \frac{E\delta}{1-\nu^2} \left(\frac{y}{r} + \nu u \right);$$

$$y = \frac{1-\nu^2}{E\delta} T_2 r - \nu u = \frac{(T_{20} - \nu T_{10})r}{E\delta} + \frac{r^2}{12(1-\nu^2)E\delta} [\Delta(\delta^2 \Phi_1)] - \frac{r^2(1-\nu^2)}{E\lambda} \times \\ \times \{C''_1 \text{ker}_1 x + C''_2 \text{kei}_1 x + C''_3 \text{ber}_1 x + C''_4 \text{bei}_1 x\}.$$

Для практических целей удобно пользоваться асимптотическим разложением цилиндрических функций, действительным при $x \gg 1$ (для практических целей достаточно, чтобы выполнялось условие $x > 3$ или $s \geq \sqrt{\delta r}$ на всем расчетном участке):

$$\text{ber}_n x = \frac{e^{\alpha_n(x)}}{\sqrt{2\pi x}} \cos \beta_n(x); \quad \text{bei}_n x = \frac{e^{\alpha_n(x)}}{\sqrt{2\pi x}} \sin \beta_n(x);$$

$$\text{ker}_n x = \frac{e^{\alpha_n(-x)}}{\sqrt{\frac{2x}{\pi}}} \cos \beta_n(-x); \quad \text{kei}_n x = \frac{e^{\alpha_n(-x)}}{\sqrt{\frac{2x}{\pi}}} \sin \beta_n(-x),$$

$$\text{где } \alpha_n(x) = \frac{x}{\sqrt{2}} + \frac{(4n^2-1)}{8x\sqrt{2}} + \dots;$$

$$\beta_n(x) = \alpha_n(x) - \frac{\pi}{8}(4n+1) - \frac{4n^2-1}{4x\sqrt{2}} + \dots,$$

Мы взяли только два первых члена асимптотических рядов $\alpha_n(x)$, что вполне достаточно для решения инженерных задач.

Воспользовавшись известной зависимостью между цилиндрическими функциями различных порядков

$$I_{n+1}(x) = \frac{2n}{x} I_n(x) - I_{n-1}(x),$$

можно выразить все нужные нам величины через функции первого и нулевого порядков, для которых можно ограничиваться первым членом асимптотического разложения.

При расчете цилиндрических ($R_1 = \infty$; $R_2 = r$) резервуаров нагрузка изменяется не сложнее, чем по линейному закону, т. е. в уравнении (37) надо принять $p = a_1 s + p_0 = p_n$, что дает (с учетом влияния поперечного расширения при сжатии):

$$T_{20} - \nu T_{10} = (as + p_0)r$$

и, следовательно, в формулах (70в)

$$\begin{aligned} \delta^2 \Phi_1 &= r \delta^2 \left[\frac{T_{20} - \nu T_{10}}{\delta} \right] = \frac{\delta_1 r^2 p_0}{s_0} = \text{const}; \quad \nabla (\delta^2 \Phi_1) = 0; \\ \frac{\delta^3 r}{12(1-\nu^2)} \left(\frac{T_{20} - \nu T_{10}}{\delta} \right)'' &= \frac{\delta r \delta_1 p_0}{12s_0(1-\nu^2)}, \end{aligned}$$

где p_0 — избыточное давление в точке m по фигуре 248 или интенсивность равномерного давления на стенку.

Основные уравнения примут вид:

$$\left. \begin{aligned} 1) \quad y &= \frac{(T_{20} - \nu T_{10})r}{E\delta} + \frac{r(1-\nu^2)\sqrt{2}}{E\sqrt{\delta\lambda}} \left\{ -C_1'' e^{\alpha_1(-x)} \sin \beta(x) + C_2'' e^{\alpha_1(-x)} \cos \beta(x) + \right. \\ &\quad \left. + C_3'' e^{\alpha_1(x)} \sin \beta(x) + C_4'' e^{\alpha_1(x)} \cos \beta(x) \right\} \\ 2) \quad \vartheta = y' &= -\frac{p_0 r^2}{E\delta s} - \frac{2r(1-\nu^2)}{E\sqrt{\delta\lambda^3}} \left\{ C_1'' \left[-e^{\alpha_1(-x)} \left(1 + \frac{\sqrt{2}}{x} \right) \sin \beta(x) + \right. \right. \\ &\quad \left. \left. + e^{\alpha(-x)} \cos \beta(x) \right] + C_2'' \left[e^{\alpha_1(-x)} \left(1 + \frac{\sqrt{2}}{x} \right) \cos \beta(x) + e^{\alpha(-x)} \sin \beta(x) \right] - \right. \\ &\quad \left. - C_3'' \left[e^{\alpha(x)} \cos \beta(x) + e^{\alpha_1(x)} \left(1 - \frac{\sqrt{2}}{x} \right) \sin \beta(x) \right] + \right. \\ &\quad \left. + C_4'' \left[e^{\alpha_1(x)} \left(1 - \frac{\sqrt{2}}{x} \right) \cos \beta(x) - e^{\alpha(x)} \sin \beta(x) \right] \right\} \\ 3) \quad M_1 &= \frac{p_0 \delta^2 r}{12s^2(1-\nu^2)} + \sqrt{\frac{\delta\lambda^3}{2}} \left\{ C_1'' \left[e^{\alpha_1(x)} \left(1 + \frac{4}{x^2} \right) \cos \beta(x) + \right. \right. \\ &\quad \left. \left. + \frac{2\sqrt{2}}{x} e^{\alpha(-x)} \sin \beta(x) \right] + C_2'' \left[\frac{2\sqrt{2}}{x} e^{\alpha(-x)} \cos \beta(x) + \right. \right. \\ &\quad \left. \left. + \left(1 + \frac{4}{x^2} \right) e^{\alpha_1(-x)} \sin \beta(x) \right] + C_3'' \left[e^{\alpha(x)} \left(1 - \frac{4}{x^2} \right) \cos \beta(x) - \right. \right. \\ &\quad \left. \left. - \frac{2\sqrt{2}}{x} e^{\alpha(x)} \sin \beta(x) \right] - C_4'' \left[e^{\alpha_1(x)} \left(1 - \frac{4}{x^2} \right) \sin \beta(x) + \frac{2\sqrt{2}}{x} e^{\alpha(x)} \cos \beta(x) \right] \right\} \\ 4) \quad Q &= \sqrt{\delta\lambda} \left\{ -C_1'' \left[e^{\alpha_1(-x)} \left(1 + \frac{\sqrt{2}}{x} \right) \sin \beta(x) + e^{\alpha(-x)} \cos \beta(x) \right] + \right. \\ &\quad \left. + C_2'' \left[\left(1 + \frac{\sqrt{2}}{x} \right) e^{\alpha_1(-x)} \cos \beta(x) - e^{\alpha(-x)} \sin \beta(x) \right] + C_3'' \left[e^{\alpha(x)} \cos \beta(x) - \right. \right. \\ &\quad \left. \left. - e^{\alpha_1(x)} \left(1 - \frac{\sqrt{2}}{x} \right) \sin \beta(x) \right] + C_4'' \left[e^{\alpha_1(x)} \left(1 - \frac{\sqrt{2}}{x} \right) \cos \beta(x) + \right. \right. \\ &\quad \left. \left. + e^{\alpha(x)} \sin \beta(x) \right] \right\} \\ 5) \quad T_2 &= T_{20} - \nu T_{10} + r \sqrt{\frac{2\delta}{\lambda}} \left\{ -C_1'' e^{\alpha(-x)} \sin \beta(x) + C_2'' e^{\alpha(-x)} \cos \beta(x) + \right. \\ &\quad \left. + C_3'' e^{\alpha(x)} \sin \beta(x) + C_4'' e^{\alpha(x)} \cos \beta(x) \right\} \end{aligned} \right\} (70)$$

Здесь

$$\alpha(x) = \frac{x}{\sqrt{2}} - \frac{1}{8x\sqrt{2}} + \dots;$$

$$\alpha_1(x) = \frac{x}{\sqrt{2}} - \frac{3}{8x\sqrt{2}} + \dots; \quad \beta(x) = \frac{x}{\sqrt{2}} - \frac{\pi}{8} + \frac{1}{8x\sqrt{2}} + \dots;$$

остальные обозначения приняты по фигуре 248.

В длинной цилиндрической оболочке линейно меняющейся толщины при $H > 3\lambda$, аналогично решению для оболочки постоянной толщины можно пренебречь влиянием усилий, приложенных к одному краю на другой конец оболочки. Задача может быть решена наложением двух эпюр, получаемых из приведенных уравнений (70). Начало координат удобнее перенести на край стенки. Если воспользоваться только первым членом асимптотического разложения, то можно получить, пренебрегая членами, имеющими порядок $\frac{\delta}{r}$ и $\frac{\lambda}{s\sqrt{2}}$:

$$\left. \begin{aligned} 1) \quad \omega &= B_0 y = \frac{(T_{20} - \nu T_{10}) r I_0}{\delta (1 - \nu^2)} + \frac{I_0 r^2 \sqrt{2}}{\sqrt{\delta \lambda}} [C_2 e^{-\varphi} \cos \varphi - C_1 e^{-\varphi} \sin \varphi] \\ 2) \quad \omega^* &= B_0 \vartheta = -\frac{P_0 r^2 I_0}{\delta s (1 - \nu^2)} - \frac{I_0 r^2}{\sqrt{\delta \lambda^3}} [(C_1 + C_2) e^{-\varphi} \cos \varphi - (C_1 - C_2) e^{-\varphi} \sin \varphi] \\ 3) \quad M_1 &= \frac{P_0 \delta^2 r}{12 s_0^3 (1 - \nu^2)} + \sqrt{2 \delta \lambda^3} [C_1 e^{-\varphi} \cos \varphi + C_2 e^{-\varphi} \sin \varphi] \\ 4) \quad Q &= \sqrt{\delta \lambda} [(C_2 - C_1) e^{-\varphi} \cos \varphi - (C_2 + C_1) e^{-\varphi} \sin \varphi] \\ 5) \quad T_2 &= T_{20} - \nu T_{10} + r \sqrt{\frac{2\delta}{\lambda}} [C_2 e^{-\varphi} \cos \varphi - C_1 e^{-\varphi} \sin \varphi] \end{aligned} \right\} (71a)$$

Здесь δ — толщина стенки в рассматриваемой точке;

B_0 — цилиндрическая жесткость, принимаемая при расчетах за единицу:

$$\lambda = \frac{\sqrt{\delta r}}{\sqrt{3(1-\nu^2)}}; \quad P_0 r = (T_{20} - \nu T_{10}) - s(T_{20} - \nu T_{10})'.$$

Значения φ следует принимать (обозначения по фиг. 248):

$$\text{при отсчете от тонкого края } \varphi = \frac{z \sqrt{2}}{\lambda};$$

$$\text{при отсчете от толстого края } \varphi = \frac{z_1 \sqrt{2}}{\lambda},$$

где $z = s - s_0$; $z_1 = s_0 + H - s$;

$$\text{при этом очевидно } \varphi' = \frac{1}{\lambda \sqrt{2}}.$$

Уравнения (71a) удобны для практического пользования тем, что они позволяют рассчитать оболочку на изгиб, пользуясь таблицами для расчета балки на упругом основании и цилиндрической оболочки постоянной толщины [см. уравнения (7)], причем значения единичных перемещений и усилий точно совпадают с решениями (10), (11), (12) и др. Изменяются только перемещения края от нагрузки.

Основная гипотеза Кирхгофа, которая положена в основу расчета изгиба осесимметричных оболочек, дает погрешность порядка $\frac{\delta}{R}$ [21], т. е. для цилиндрической оболочки — порядка $\frac{\delta}{r}$. При выводе уравнений (71a) пренебрегалось членами, имеющими порядок $\frac{\delta}{r}$ и $\frac{\lambda}{s\sqrt{2}}$, по сравнению с теми, которые были сохранены. Следовательно, погрешность, даваемая этими уравнениями, будет иметь порядок $\frac{\delta}{r}$, если $\frac{\lambda}{s\sqrt{2}} \leq \frac{\delta}{r}$, т. е.

$$s \geq \sqrt{\frac{r^3}{2\delta \sqrt{3(1-\nu^2)}}}. \quad (71б)$$

Если пренебрегать членами, имеющими порядок $\frac{\delta}{r}$ и членами в круглых скобках порядка $\frac{\lambda^2}{s^2}$, то уравнения примут вид:

$$\begin{aligned}
 1) \quad \omega &= \frac{(T_{20} - \nu T_{10}) r I_0}{\delta (1 - \nu^2)} + \frac{I_0 r^2 \sqrt{2}}{\sqrt{\delta \lambda}} [C_2 e^{-\varphi} \cos \varphi - C_1 e^{-\varphi} \sin \varphi] \\
 2) \quad \omega' &= -\frac{p_0 r^2 I_0}{\delta s (1 - \nu^2)} - \frac{I_0 r^2}{\sqrt{\delta \lambda^3}} \left\{ C_2 e^{-\varphi} \left[\left(1 \pm \frac{\lambda}{s \sqrt{2}} \right) \cos \varphi + \sin \varphi \right] - \right. \\
 &\quad \left. - C_1 e^{-\varphi} \left[\left(1 \pm \frac{\lambda}{s \sqrt{2}} \right) \sin \varphi - \cos \varphi \right] \right\} \\
 3) \quad M_1 &= \frac{p_0 \delta_1^2 r}{12 s_0^2 (1 - \nu^2)} + \sqrt{2 \delta \lambda^3} \left\{ C_1 e^{-\varphi} \left[\cos \varphi \pm \frac{\lambda \sqrt{2}}{s} \sin \varphi \right] + \right. \\
 &\quad \left. + C_2 e^{-\varphi} \left[\sin \varphi \pm \frac{\lambda \sqrt{2}}{s} \cos \varphi \right] \right\} \\
 4) \quad Q &= \sqrt{\delta \lambda} \left\{ C_2 e^{-\varphi} \left[\cos \varphi - \left(1 \pm \frac{\lambda}{s \sqrt{2}} \right) \sin \varphi \right] - \right. \\
 &\quad \left. - C_1 e^{-\varphi} \left[\left(1 \pm \frac{\lambda}{s \sqrt{2}} \right) \cos \varphi + \sin \varphi \right] \right\} \\
 5) \quad T_2 &= T_{20} - \nu T_{10} - r \sqrt{\frac{2\delta}{\lambda}} [C_1 e^{-\varphi} \sin \varphi - C_2 e^{-\varphi} \cos \varphi]
 \end{aligned} \tag{71}$$

Условие сохранения погрешности в пределах порядка $\frac{\delta}{r}$ примет вид:

$$s \geq \frac{r}{\sqrt{3(1-\nu^2)}} \approx (0,58 \div 0,63) r.$$

Верхние знаки в скобках соответствуют отсчету от тонкого края (фиг. 248), нижние знаки принимать, когда начало координат лежит на толстом крае оболочки.

е) Коническая оболочка постоянной толщины

Уравнение (66) для конической оболочки принимает вид (фиг. 249):

$$\left[\frac{P}{s} \right]' + \frac{(1+i) \sqrt{3(1-\nu^2)}}{\delta \operatorname{ctg} \alpha} \frac{P}{s^2} = 0; \tag{72a}$$

где $P = ()_1 s$; $()_1$ — искомая функция, которую следует принимать $()_1 = \psi + \frac{B}{E} \Phi_1$, или $()_1 = V - \nabla \Phi_1$. При этом $\psi = B\delta$; $V = \frac{Qr}{\sin \alpha} = QR_2$ и должно соблюдаться условие, чтобы

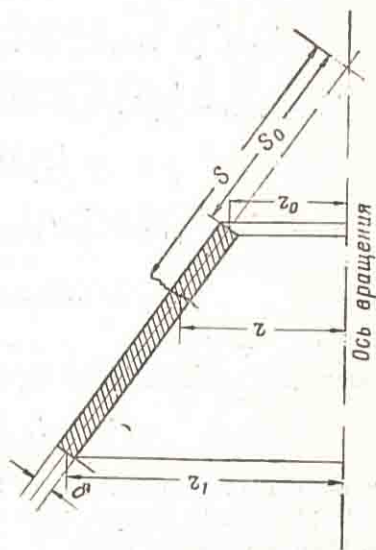
$$\nabla \nabla \Phi_1 = 0,$$

где $\nabla \Phi_1 = \left[\frac{(\Phi_1 s)'}{s} \right]'$.

Уравнение (72a) — уравнение Бесселя 2-го порядка. Его интеграл:

$$P = s [A \operatorname{ker}_2 x + B \operatorname{kei}_2 x + C \operatorname{ber}_2 x + D \operatorname{bei}_2 x]; \tag{72b}$$

$$x = 2 \sqrt{\frac{s \sqrt{3(1-\nu^2)}}{\delta \operatorname{ctg} \alpha}} = \frac{2s}{\lambda}; \quad \lambda = \frac{\sqrt{\delta R_2}}{\sqrt{3(1-\nu^2)}}; \quad R_2 = \frac{r}{\sin \alpha} = s \operatorname{ctg} \alpha; \quad x^* = \frac{1}{\lambda}.$$



Фиг. 249. Сечение конической оболочки постоянной толщины.

Так как по уравнениям (54б) и (54в)

$$\left. \begin{aligned} M_1 &= \pm \left(\psi' + \nu \frac{\psi}{s} \right) \\ M_2 &= \pm \left(\frac{\psi}{s} + \nu \psi' \right) \end{aligned} \right\} \quad (72в)$$

то из (56), (55) и (54) получаем:

$$\left. \begin{aligned} Q &= \frac{(M_1 s)' - M_2}{s} \\ T_2 &= \rho_n R_2 - (Q R_2)' \\ (T_1 s)' &= T_2 + \rho_k \cdot s \end{aligned} \right\} \quad (72г)$$

Из (72а) имеем:

$$\psi = [A' \operatorname{ker}_2 x + B' \operatorname{kei}_2 x + B' \operatorname{ber}_2 x + \Gamma' \operatorname{bei}_2 x] - \frac{B}{E} \Phi_1;$$

$$Q = \frac{1}{R_2} [A' \operatorname{ker}_2 x + B \operatorname{kei}_2 x + B \operatorname{ber}_2 x + \Gamma \operatorname{bei}_2 x] + \frac{\nabla \Phi_1}{R_2}.$$

Воспользовавшись подобно решению для цилиндрической оболочки линейно меняющейся толщины правилом дифференцирования цилиндрических функций, можно получить:

$$\begin{aligned} M_1 &= \frac{1}{\lambda} [A' \operatorname{ker}_1 x + B' \operatorname{kei}_1 x + B' \operatorname{ber}_1 x + \Gamma' \operatorname{bei}_1 x] - \\ &- \frac{(1-\nu)}{s} [A' \operatorname{ker}_2 x + B' \operatorname{kei}_2 x + B' \operatorname{ber}_2 x + \Gamma' \operatorname{bei}_2 x] + \frac{B}{E} \left(\Phi_1' + \nu \frac{\Phi_1}{s} \right); \end{aligned}$$

$$\begin{aligned} T_2 &= \rho_n R_2 - \frac{1}{\lambda} [A \operatorname{ker}_1 x + B \operatorname{kei}_1 x + B \operatorname{ber}_1 x + \Gamma \operatorname{bei}_1 x] + \\ &+ \frac{1}{2s} [A \operatorname{ker}_2 x + B \operatorname{kei}_2 x + B \operatorname{ber}_2 x + \Gamma \operatorname{bei}_2 x] - (\nabla \Phi_1)'; \end{aligned}$$

$$\begin{aligned} w = By &= \int \psi ds = \lambda [A' \operatorname{ker}_1 x + B' \operatorname{kei}_1 x + B' \operatorname{ber}_1 x + \Gamma' \operatorname{bei}_1 x] + \\ &+ \frac{2\lambda}{x} [A' \operatorname{ker}_0 x + B' \operatorname{kei}_0 x + B' \operatorname{ber}_0 x + \Gamma' \operatorname{bei}_0 x] - \frac{B}{E} \int \Phi_1 ds. \end{aligned}$$

Воспользовавшись известным рекуррентным соотношением между тремя последовательными цилиндрическими функциями

$$I_{n+1}(x) = \frac{2n}{x} I_n(x) - I_{n-1}(x)$$

и имея в виду, что $A' = A \lambda^2 \operatorname{tg} \alpha$ [на основании (64) и (72б)], можно основные уравнения задачи изгиба конической оболочки постоянной толщины записать в таком виде:

$$\left. \begin{aligned} 1) \quad w &= \frac{\lambda^3 \operatorname{tg} \alpha}{2 \sqrt{2}} [A \operatorname{ker}_1 x + B \operatorname{kei}_1 x + B \operatorname{ber}_1 x + \Gamma \operatorname{bei}_1 x] + \\ &+ \frac{\lambda^4}{2 R_2 \sqrt{2}} [A \operatorname{ker}_0 x + B \operatorname{kei}_0 x + B \operatorname{ber}_0 x + \Gamma \operatorname{bei}_0 x] - \frac{B}{E} \int \Phi_1 ds \\ 2) \quad \psi &= \frac{\lambda R_2}{2} [A \operatorname{ker}_1 x + B \operatorname{kei}_1 x + B \operatorname{ber}_1 x + \Gamma \operatorname{bei}_1 x] - \\ &- \frac{\lambda^2 \operatorname{tg} \alpha}{2} [A \operatorname{ker}_0 x + B \operatorname{kei}_0 x + B \operatorname{ber}_0 x + \Gamma \operatorname{bei}_0 x] - \frac{B}{E} \Phi_1 \\ 3) \quad M_1 &= \left(\frac{\lambda \operatorname{tg} \alpha}{\sqrt{2}} \right) \left(1 - \frac{4}{x^2} \right) [A \operatorname{ker}_1 x + B \operatorname{kei}_1 x + B \operatorname{ber}_1 x + \Gamma \operatorname{bei}_1 x] + \\ &+ \frac{(1-\nu) \lambda^2}{R_2 \sqrt{2}} [A \operatorname{ker}_0 x + B \operatorname{kei}_0 x + B \operatorname{ber}_0 x + \Gamma \operatorname{bei}_0 x] + \frac{B}{E} \left(\Phi_1' + \nu \frac{\Phi_1}{s} \right) \end{aligned} \right\} \quad (72)$$

$$\begin{aligned}
 4) \quad M_2 &= \frac{\nu \lambda \operatorname{tg} \alpha}{\sqrt{2}} \left(1 - \frac{4}{x^2} \right) [A \operatorname{ker}_1 x + \dots] - \frac{(1-\nu) \lambda^2}{R_2 \sqrt{2}} [A \operatorname{ker}_0 x + \dots] + \\
 &\quad + \frac{B}{E} \left(\frac{\Phi_1}{s} + \nu \Phi_1^* \right) \\
 5) \quad Q &= \frac{\sqrt{2}}{x R_2} [A \operatorname{ker}_1 x + B \operatorname{kei}_1 x + B \operatorname{ber}_1 x + \Gamma \operatorname{bei}_1 x] - \\
 &\quad - \frac{1}{R_2} [A \operatorname{ker}_0 x + B \operatorname{kei}_0 x + B \operatorname{ber}_0 x + \Gamma \operatorname{bei}_0 x] + \frac{B}{E R_2} \nabla \Phi_1 \\
 6) \quad T_2 &= \rho_n R_2 - \frac{\left(\sqrt{2} - \frac{2}{x} \right)}{\lambda} [A \operatorname{ker}_1 x + \dots] - \\
 &\quad - \frac{\sqrt{2}}{2s} [A \operatorname{ker}_0 x + \dots] - (\nabla \Phi_1)^*
 \end{aligned} \quad (72)$$

Уравнения (72) удовлетворяются, если

$$\nabla \nabla \Phi_1 = \nabla \Phi_2 = 0, \quad (73a)$$

где $\nabla \Phi_1 = s \left[\frac{(\Phi_1 s)^*}{s} \right]^* = \Phi_2$; $\Phi_1 = \frac{T_{10} - \nu T_{20}}{\delta \operatorname{tg} \alpha} - \frac{[(T_{20} - \nu T_{10}) r]^*}{\delta \sin \alpha}$.

Дифференциальное уравнение (73a) легко интегрируется.

Так как $\left[\frac{(\Phi_2 s)^*}{s} \right]^* = 0$, то

$$(\Phi_2 s)^* = C_1 s$$

или

$$d(\Phi_2 s) = C_1 s ds.$$

Интегрируем:

$$\Phi_2 = s \left[\frac{(\Phi_1 s)^*}{s} \right]^* = \frac{C_1 s}{2} + \frac{C_2}{s}; \quad d \left[\frac{(\Phi_1 s)^*}{s} \right] = \left(\frac{C_1}{2} + \frac{C_2}{s^2} \right) ds.$$

Интегрируем вторично и множим на s обе части:

$$(\Phi_1 s)^* = \frac{C_1 s^2}{2} - C_2 + C_3 s; \quad d(\Phi_1 s) = \left(\frac{C_1 s^2}{2} - C_2 + C_3 s \right) ds.$$

Теперь, после интегрирования и деления на s , получаем:

$$\Phi_1 = \frac{T_{10} - \nu T_{20}}{\delta \operatorname{tg} \alpha} - \frac{[(T_{20} - \nu T_{10}) r]^*}{\delta \sin \alpha} = \frac{C_1}{6} s^2 - C_2 + \frac{C_3}{2} s + \frac{C_4}{s}.$$

или

$$\left(T_{10} - \nu \frac{d(T_{10} r)}{dr} \right) - \left(\frac{d(T_{20} r)}{dr} - \nu T_{20} \right) = A r^2 + B r + B + \frac{\Gamma}{r}. \quad (73b)$$

Так как по (38)

$$\frac{d(T_{10} r)}{dr} = T_{20} + \rho_n s,$$

то из предыдущего получается

$$\Phi_1 \delta \operatorname{tg} \alpha = T_{10} - \frac{d(T_{20} r)}{dr} - \nu \rho_n s = A r^2 + B r + B + \frac{\Gamma}{r}. \quad (73c)$$

Для замкнутых оболочек в уравнениях (72) $A = B = 0$. Для длинных незамкнутых оболочек эти уравнения распадаются подобно тому, как это было в балке на упругом основании и цилиндрических оболочках. На участках, где $x \gg 1$, можно воспользоваться асимптотическим разложением цилиндрических функций. Тогда, подобно цилиндрической оболочке линейно переменной толщины [см. уравнения (70) и (71)], при соблюдении усло-

вия (73) и сохранении одного первого члена асимптотического разложения (мы пренебрегаем членами, имеющими порядок $\frac{\delta}{R_2}$ и $\frac{\lambda}{s\sqrt{2}}$ по сравнению с остающимися членами) получаем после переноса начала координат на край оболочки:

$$\left. \begin{aligned} 1) \quad \omega &= \frac{\lambda^4}{4R_2\sqrt{R_2}} [C_2 e^{-\varphi} \cos \varphi - C_1 e^{-\varphi} \sin \varphi] - \frac{B}{E} \int \Phi_1 ds \\ 2) \quad \psi &= \frac{\lambda^3}{4R_2\sqrt{2R_2}} [(C_1 - C_2) e^{-\varphi} \sin \varphi - (C_1 + C_2) e^{-\varphi} \cos \varphi] - \frac{B}{E} \Phi_1 \\ 3) \quad M_1 &= \frac{(1-\nu)\lambda^2}{2R_2\sqrt{2R_2}} [C_1 e^{-\varphi} \cos \varphi + C_2 e^{-\varphi} \sin \varphi] + \frac{B}{E} \left(\Phi_1 + \nu \frac{\Phi_1}{s} \right) \\ 4) \quad M_2 &= \nu M_1 + (1-\nu^2) \frac{\psi}{s} \\ 5) \quad Q &= \frac{(1-\nu)\lambda}{2sR_2\sqrt{R_2}} [(C_2 - C_1) e^{-\varphi} \cos \varphi - (C_2 + C_1) e^{-\varphi} \sin \varphi] + \frac{B}{ER_2} \nabla \Phi_1 \\ 6) \quad T_2 &= \rho_n R_2 - \frac{B}{E} (\nabla \Phi_1)' - \frac{1}{2s\sqrt{R_2}} [C_2 e^{-\varphi} \cos \varphi - C_1 e^{-\varphi} \sin \varphi] \end{aligned} \right\} (74)$$

Чтобы погрешность не превышала порядка $\frac{\delta}{R_2}$, должно выполняться условие:

$$\operatorname{ctg} \alpha \leq \sqrt{\frac{2\delta\sqrt{3(1-\nu^2)}}{R_2}} \approx 1,9 \sqrt{\frac{\delta}{R_2}}$$

или

$$\operatorname{ctg} \alpha \leq \sqrt[3]{\frac{2\delta\sqrt{3(1-\nu^2)}}{s}}$$

Следовательно, если поставить требование, чтобы погрешность не превышала порядка $\frac{\delta}{R_2}$, нужно иметь:

$$\frac{\sqrt{2}}{x} = \frac{\lambda}{s\sqrt{2}} \leq \frac{\delta}{R_2}; \quad \sqrt{\frac{\delta \operatorname{ctg} \alpha}{2s\sqrt{3(1-\nu^2)}}} \leq \frac{\delta}{R_2}.$$

Это приводит к условию:

$$\operatorname{ctg} \alpha \leq \sqrt{\frac{2\delta\sqrt{3(1-\nu^2)}}{R_2}} = \sqrt[3]{\frac{2\delta\sqrt{3(1-\nu^2)}}{s}}. \quad (75a)$$

При допущении погрешности порядка $\sqrt{\frac{\delta}{R_2}}$ получаем

$$\operatorname{ctg} \alpha \leq \sqrt{2\sqrt{3(1-\nu^2)}}, \quad (75б)$$

чему соответствует требование (при $\nu = \text{от } 0 \text{ до } 1/3$):

$$\alpha \geq 28 - 29^\circ. \quad (75в)$$

Неравенства (75б) и (75в) показывают, что решение в форме (71а) годится лишь для крутых конических оболочек.

При расчете пологих оболочек нужно пользоваться более точным решением в форме (72). Это для практики представляет обычно большие трудности, вследствие отсутствия таблиц, удобных для пользования, и затруднений, связанных с определением краевых сил и перемещений. Поэтому можно рекомендовать вести расчет всех пологих оболочек, пользуясь общим приближенным решением, основанным на вписывании в пологую оболочку части сферической оболочки постоянной толщины.

Из рассмотрения уравнения (74) видно, что единичные краевые перемещения и силы можно вычислять, как для цилиндрической оболочки. Пере-

мещения же краев конической оболочки от нагрузки должны вычисляться по уравнениям (74).

ж) Сферическая оболочка постоянной толщины

В сферической оболочке $R_2 = R_1 = R = \text{const}$. При $\delta = \text{const}$, учитывая, что $\frac{r^*}{r} = -\frac{1}{R^2}$ и $\chi = \frac{2\nu}{R}$ малы, можно уравнения (66б) записать в виде:

$$\left. \begin{aligned} \left[\frac{(\psi r)^*}{r} \right]^* + \frac{\psi}{R^2} &= -Q \\ \left[\frac{(Qr)^*}{r} \right]^* + \frac{Q}{R^2} &= \frac{\delta E}{BR^2} \psi + \frac{\delta}{R^2} \Phi_1 \end{aligned} \right\} \quad (76a)$$

где $\psi = B\delta$.

Так как $(\)' = \frac{d(\)}{dx}$; $(\)^* = \frac{d(\)}{ds}$; $\frac{r^*}{r} = \frac{\text{ctg } \alpha}{R}$, то из формулы (62г) получается:

$$\left. \begin{aligned} \Phi_1 &= \left(\frac{T_{10} - \nu T_{20}}{\delta} \right) \text{ctg } \alpha - \frac{1}{\sin \alpha} \left[\frac{(T_{20} - \nu T_{10}) \sin \alpha}{\delta} \right]' = \\ &= \left(\frac{T_{10} - \nu T_{20}}{\delta} \right) \frac{r'}{r} - \frac{1}{r} \left[\frac{(T_{20} - \nu T_{10}) r}{\delta} \right]' \end{aligned} \right\} \quad (76б)$$

Во всех случаях, когда $\nabla \nabla \Phi_1 = 0$ (если пренебречь единицей по сравнению с $\frac{R}{\delta}$), задача сводится к решению дифференциального уравнения:

$$\left\{ \left[\frac{(\)_1 r}{r} \right]^* \right\} \pm \left[\frac{2i}{\delta R} \sqrt{3(1-\nu^2)} \right] (\)_1 = 0,$$

где $(\)_1 = \psi + \frac{B}{E} \Phi_1$ или $(\)_1 = Q - \frac{\nabla \Phi_1}{R}$, где $\nabla \Phi_1 = \left[\frac{(\Phi_1 r)^*}{r} \right]^*$.

Если принять за независимое переменное полярный угол α , то легко получить:

$$\left\{ \left[\frac{(\)_1 \sin \alpha}{\sin \alpha} \right]' \right\} \pm \left[\frac{2iR}{\delta} \sqrt{3(1-\nu^2)} \right] (\)_1 = 0. \quad (76)$$

Выберем за независимое переменное $x = \sin \frac{\alpha}{4}$. Учитывая, что $x' = \frac{1}{4} \cos \frac{\alpha}{4}$; $\sin \alpha d\alpha = 2 \sin \frac{\alpha}{2} \cos \frac{\alpha}{2} d\alpha = 4 \sin \frac{\alpha}{4} \cos \frac{\alpha}{4} \left(1 - 2 \sin^2 \frac{\alpha}{4} \right) d\alpha$;
 $\sin \alpha d\alpha = 16 x (1 - 2x^2) dx$; $d\alpha = \frac{dx}{x'} = \frac{4 dx}{\cos \frac{\alpha}{4}}$,

уравнение (76) примет вид:

$$\frac{d}{dx} \left[\frac{1}{x(1-2x^2)} \frac{dP}{dx} \right] \pm \left[\frac{32iR}{\delta} \sqrt{3(1-\nu^2)} \right] \frac{P}{x(1-2x^2)(1-x^2)} = 0. \quad (77a)$$

Во всех случаях, когда $2x^2 \leq \frac{\delta}{R}$, т. е. когда выполняется условие

$$\sin \frac{\alpha}{4} \leq \sqrt{\frac{\delta}{2R}}, \quad (77б)$$

можно с погрешностью, равной погрешности основной гипотезы, принять уравнение:

$$\frac{d}{dx} \left[\frac{1}{x} \frac{dP}{dx} \right] \pm A^2 \frac{P}{x} = 0, \quad (77в)$$

где $A^2 = 16(1 \pm i)^2 \frac{R}{\delta} \sqrt{3(1-\nu^2)}$; $P = (\)_1 \sin \alpha$.

Уравнение (77в) — уравнение Бесселя при $n=1$; общий интеграл его будет:

$$P = x \{ C_1' \text{ker}_1 x_1 + C_2' \text{kei}_1 x_1 + C_3' \text{ber}_1 x_1 + C_4' \text{bei}_1 x_1 \}, \quad (77г)$$

где

$$x_1 = 4x \sqrt{\frac{R}{\delta}} \sqrt{3(1-\nu^2)} = 4 \sqrt{\frac{R}{\delta}} \sqrt[4]{3(1-\nu^2)} \sin \frac{\alpha}{4} \approx \frac{s}{\lambda} \quad (77d)$$

(см., например, Карман и Био, Математические методы в инженерном деле, ОГИЗ, 1948, стр. 66);

$$x = \sin \frac{\alpha}{4} \approx \frac{\alpha}{4}; \quad \lambda = \frac{\sqrt{R\delta}}{\sqrt[4]{3(1-\nu^2)}}$$

Если допустить погрешность вдвое большую, чем погрешность гипотезы, то нужно поставить условие, чтобы

$$\sin \frac{\alpha}{4} \leq \sqrt{\frac{\delta}{R}}. \quad (77e)$$

Приведем таблицу применимости уравнения (77a) при выполнении условий (77d) и (77e) для различных значений $\frac{R}{\delta}$.

| $\frac{R}{\delta}$ | 25 | 30 | 40 | 50 | 65 | 80 | 100 | 140 | 200 | 400 |
|----------------------------|-----|-----|-----|-----|-----|-----|-----|-----|-------|-----|
| Для (77d) $\alpha < \dots$ | 46° | 42° | 36° | 33° | 29° | 26° | 23° | 19° | 17° | 12° |
| » (77e) $\alpha < \dots$ | 33° | 30° | 26° | 23° | 20° | 18° | 16° | 14° | 12,5° | 8° |

Из этой таблицы можно установить, что точность порядка 5% получается при $\alpha \leq 35^\circ$.

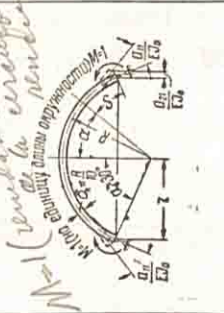
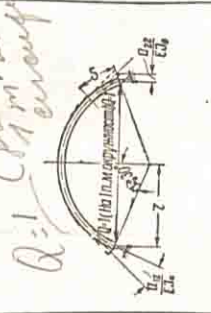
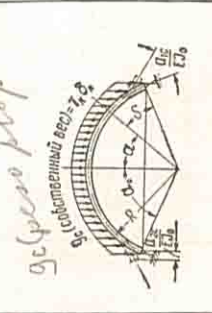
Воспользовавшись асимптотическим разложением цилиндрических функций, при сохранении лишь первого члена разложения, получим искомые значения усилий и деформаций (подобно конической оболочке) в форме:

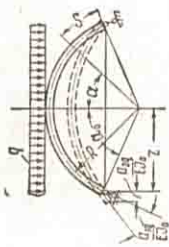
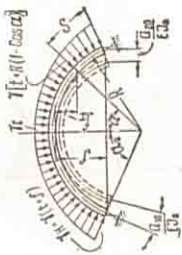

$$\begin{aligned}
 1) \quad w &= By = \frac{\lambda^4}{4r} (T_{20} - \nu T_1) \\
 2) \quad \psi &= B\psi = \\
 &= \frac{\sqrt{\alpha}}{\sin \alpha} \{C_1 e^{-\varphi} \cos \varphi + C_2 e^{-\varphi} \sin \varphi + C_3 e^{\varphi} \cos \varphi + C_4 e^{\varphi} \sin \varphi\} - \frac{B}{E} \Phi_1 \\
 3) \quad M_1 &= \psi^* + \nu \frac{\psi r^*}{r} = \\
 &= \left[\frac{1}{r \sqrt{\alpha}} - \frac{\sqrt{\alpha}}{r} (\operatorname{ctg} \alpha - \nu) \right] \{C_1 e^{-\varphi} \cos \varphi + C_2 e^{-\varphi} \sin \varphi + \dots\} + \\
 &+ \frac{\sqrt{\alpha}}{\lambda \sin \alpha} \{(C_2 - C_1) e^{-\varphi} \cos \varphi - (C_1 + C_2) e^{-\varphi} \sin \varphi + \dots\} - \\
 &- \frac{B}{E} \left(\Phi_1^* + \nu \Phi_1 \frac{r^*}{r} \right) \\
 4) \quad M_2 &= -\frac{r^*}{r} \psi + \nu \psi^* \\
 5) \quad Q &= \frac{2 \sqrt{\alpha}}{\lambda^2 \sin \alpha} \{C_2 e^{-\varphi} \cos \varphi - C_1 e^{-\varphi} \sin \varphi - C_4 e^{\varphi} \cos \varphi + C_3 e^{\varphi} \sin \varphi\} + \frac{\nabla \Phi_1}{r} \\
 6) \quad T_2 &= T_{20} - \nu T_{10} - \frac{(br)^*}{\sin \alpha} = T_{20} - \nu T_{10} - \frac{2}{\delta r} \{C_2 e^{-\varphi} \cos \varphi - C_1 e^{-\varphi} \sin \varphi + \dots\} - \\
 &- \frac{2s}{\delta r \lambda} \{- (C_2 + C_1) e^{-\varphi} \cos \varphi + (C_1 - C_2) e^{-\varphi} \sin \varphi + \dots\} - (\nabla \Phi_1)^*
 \end{aligned} \quad (77)$$

где $\varphi = \frac{s}{\delta} \sqrt{\frac{3}{4}(1-\nu^2)}$, а $s = \alpha R$ — отсчет по меридиану от края оболочки.

Значения единичных перемещений и расчетных усилий для замкнутой оболочки приведены в таблице 6.

Усилия и перемещения края замкнутой сферической оболочки постоянной толщины

| Характеристика элемента | Схема нагружения | Значения перемещения края по схеме | Текущие значения усилий |
|---|--|--|---|
| <p>Замкнутая сферическая оболочка постоянной толщины с шарнирным опиранием по внешнему контуру</p> <p>Характеристика оболочки: $\lambda = 0,76 \sqrt{R\delta}$ (принято $\nu = 0$); жесткость оболочки EI_0, где $I = \frac{\delta^3}{12}$</p> <p>$\delta \ll \frac{R}{10}$ — толщина оболочки</p> <p>T_1 — меридиональные усилия в оболочке</p> <p>T_2 — кольцевые усилия в оболочке</p> |  | $a_{11} = \lambda \frac{I_0}{I} = \lambda_1$ $a_{21} \approx \frac{\lambda^2}{2} \frac{I_0}{I} \sin \alpha_0 = \frac{\lambda}{2} \lambda_1 \sin \alpha_0,$ <p>где $\lambda_1 = \lambda \frac{I_0}{I}$</p> | $M_x = M (\eta_1 + \eta_2)$ $Q_x = \frac{2M}{\lambda} \eta_2 \cos (\alpha_0 - \alpha)$ $T_2 = \frac{2MR}{\lambda^2} (\eta_1 - \eta_2),$ <p>где $\eta_1 = e^{-\gamma} \cos \varphi$; $\eta_2 = e^{-\gamma} \sin \varphi$ $\varphi = \frac{s}{\lambda}$</p> |
| |  | $a_{12} \approx \frac{\lambda}{2} \lambda_1 \sin \alpha_0$ $a_{22} \approx \frac{\lambda^2}{2} \lambda_1 \sin^2 \alpha_0$ <p>или $\lambda_1 = \lambda \frac{I_0}{I}$</p> | $M_x = Q \lambda \eta_2 \sin \alpha_0$ $Q_x = -Q (\eta_1 - \eta_2) \sin \alpha_0$ $T_2 = \frac{2QR}{\lambda} \eta_1 \sin \alpha_0$ |
| |  | $a_{1c} = \frac{g_c \lambda^3 \lambda_1}{2R} \sin \alpha_0$ $a_{2c} = \frac{g_c \lambda^3 \lambda_1 (\cos \alpha_0 + \cos^2 \alpha_0 - 1)}{4(1 + \cos \alpha_0)} \sin \alpha_0$ <p>или 0</p> $a_{2c} = \frac{T_{20} \lambda^4}{R} \frac{I_0}{4I} \sin \alpha_0;$ <p>или $\lambda_1 = \lambda \frac{I_0}{I}$</p> | $M_x = Q_x \approx 0$ $T_2 = \frac{\cos^2 \alpha + \cos \alpha - 1}{1 + \cos \alpha} g_c R$ $T_1 = \frac{g_c R}{1 + \cos \alpha}$ |

| Характеристика элемента | Схема нагружения | Значения перемещения края по схеме | Текущие значения усилий |
|-------------------------|--|---|--|
| |  | $a_{1q} = \frac{3q\lambda^3\lambda_1}{8R} \sin 2\alpha_0$ $a_{2q} = \frac{q\lambda^3\lambda_1}{16} \sin 2\alpha_0$ $\lambda_1 = \lambda \frac{l_0}{l}$ | $M_x = Q_x \approx 0$ $T_2 = q \frac{R}{2} \cos 2\alpha$ $T_1 \approx q \frac{R}{2}$ |
| |  | $a_{10} = -\gamma \frac{\lambda^3\lambda_1}{4} \sin \alpha_0$ $a_{20} = -\gamma \frac{\lambda^3\lambda_1}{8} \left[H_0 + \frac{f(9R-4f)}{3(2R-f)} \right] \cdot \sin \alpha_0$ | $M_x = Q_x \approx 0$ $T_2 = \gamma \frac{R}{2} \left[H_0 + \frac{f_x(9R-4f_x)}{3(2R-f_x)} \right]$ $T_1 = \gamma \frac{R}{2} \left[H_0 + \frac{f_x(3R-2f_x)}{3(2R-f_x)} \right]$ $f_x = R(1 - \cos \alpha); f = R(1 - \cos \alpha_0)$ |
| |  | $a_{1p} \approx 0$ $a_{2p} = p \frac{\lambda^3\lambda_1}{8} \sin \alpha_0$ | $M_x = Q_x \approx 0$ $T_1 = T_2 \approx p \frac{R}{2}$ |

з) Пологие оболочки

Для практического решения задачи изгиба пологих осесимметричных оболочек можно рекомендовать вписывать в пологую оболочку часть сферы или конуса постоянной толщины. Естественно, такое решение годится лишь для таких оболочек, которые достаточно близко приближаются к сфере или конусу, а фактические условия на краях соответствуют принятым в предпосылках.

При таких условиях, вписывая сферическую оболочку постоянной толщины и имея в виду, что для малых углов α можно принять $\sin \alpha \approx \alpha$ (что равносильно условию $r \approx s$), можно непосредственно из уравнений (66 б) и (66) получить:

$$\left. \begin{aligned} \left[\frac{(\psi_1 s)^*}{s} \right]^* \pm 2i \frac{\lambda^2}{2} \psi_1 = 0 \\ \left[\frac{(Qs)^*}{s} \right]^* \pm 2i \frac{\lambda^2}{2} Q_1 = 0 \end{aligned} \right\} \quad (78a)$$

где

$$\left. \begin{aligned} \psi_1 = \psi + \frac{\lambda^4 (T_{10} - \lambda T_{20})}{4sR} - \frac{(T_{20} - \nu T_{10})^* \lambda^4}{4R} = \psi + \frac{\lambda^4}{4R^2} \Phi_1; \\ Q_1 = Q - \frac{\lambda^4}{4R^2} \left[\frac{(\Phi_1 s)^*}{s} \right]^* = Q - \frac{\lambda^4}{4R^2} \Phi_2; \quad \lambda = \frac{\sqrt{\delta R}}{\sqrt{3(1-\nu^2)}} \end{aligned} \right\}$$

При этом должно соблюдаться условие $\left[\frac{(\Phi_2 s)^*}{s} \right]^* = 0$, что равносильно требованию, чтобы

$$T_{10} - \nu (T_{10} s)^* - (T_{20} s)^* - \nu T_{20} = \frac{C_1 s^4}{12} + \frac{C_2}{s^2} + \frac{C_3 s^2}{2} + C_4. \quad (78б)$$

Уравнение (78a) является уравнением Бесселя 1-го порядка. Его интеграл такой же, как уравнения (77в). Однако можно принимать в интеграле (77г) $x_1 = \frac{r}{\lambda}$ и использовать решения в форме (77г), действительные на участках, где $r > 3\lambda$.

и) Круглая плита (пластинка) как частный случай оболочки

Круглую плиту можно рассматривать как предел конуса при безграничном уменьшении полярного угла ($\alpha \rightarrow 0$), или как предел части сферической оболочки при безграничном возрастании радиуса ее ($R \rightarrow \infty$). При таком рассмотрении дифференциальное уравнение осесимметрично нагруженной круглой плиты (пластинки) можно получить из общего дифференциального уравнения осесимметричных оболочек [например, из (62) или (63)], положив в них $R_1 = R_2 = \infty$; $\alpha = 0$; $s = r$; $ds = dr$, и приняв при этом $\frac{\nu}{R_2} = Q$.

Тогда из (62) после деления на δR_2 получится:

$$\left[\frac{(\theta \rho_2)^*}{\rho_2} \right]^* + \left[\left(\frac{\rho_2^*}{\rho_2} \right)^2 - \frac{1}{r^2} - \frac{\rho_2^{**}}{\rho_2} + \frac{\nu}{\rho_2} (\delta^3)^* \right] \theta = - \frac{12(1-\nu^2)}{E\delta^3} Q. \quad (79a)$$

Второе уравнение не нужно, так как поперечная сила Q легко определяется из условий равновесия пластинки. Соответственно из (63) после деления на δR_2 получается:

$$\left[\frac{(\theta \rho)^*}{\rho} \right]^* + \left[\left(\frac{\rho^*}{\rho} \right)^2 - \frac{1}{r^2} - \frac{\rho^{**}}{\rho} - \frac{\nu}{\rho} \left(\frac{1}{\delta} \right)^* \right] \theta - \frac{2\theta}{\delta r} [(r\delta)^* - \nu\delta^*] = - \frac{12(1-\nu^2)}{E\delta} Q. \quad (79б)$$

При этом $\rho_2 = \delta^2 r$; $\rho = \frac{r}{\delta}$; $\theta = \theta \delta^2$.

Уравнение (62) упрощается при $\rho_2 = \text{const}$ и принимает вид:

$$\theta'' - \frac{1-\nu}{r^2} \theta = - \frac{12(1-\nu^2)r}{E\rho_2} Q. \quad (79в)$$

Из (63) при $\rho = \text{const}$ получается просто:

$$\theta'' - \frac{3(1-\nu)}{r^2} \theta = - \frac{12(1-\nu^2)\rho}{Er} Q. \quad (79г)$$

Для плиты постоянной толщины ($\delta = \text{const}$) получается известное уравнение круглой пластинки

$$\left[\frac{(\psi r)'}{r} \right]' = -Q; \quad (79)$$

здесь $\psi = \frac{E\delta^3}{12(1-\nu^2)} \theta$.

Уравнение (79) легко интегрируется, если задана нагрузка, так как Q определяется из условий равновесия непосредственно.

к) Круглая плита постоянной толщины

Интегрируя и последовательно раскрывая скобки уравнения (79), можно получить известные уравнения круглой пластинки постоянной толщины.

Рассмотрим, например, нужные для расчетов рассматриваемых в настоящей книге сооружений случаи загрузки круглой плиты сосредоточенной в центре силой P_0 и равномерно распределенной по всей плите нагрузкой g . В этом случае

$$Q = \frac{P_0}{2\pi r} + \frac{gr}{2}$$

и уравнение (79) примет вид*:

$$\left[\frac{(\psi r)'}{r} \right]' + \frac{P_0}{2\pi r} + \frac{gr}{2} = 0, \quad (80а)$$

где $\psi' = \frac{d\psi}{dr}$; $(\)' = \frac{d(\)}{dr}$; $\psi = B\theta = \frac{E\delta^3}{12(1-\nu^2)} \theta$.

Последовательно интегрируя и раскрывая скобки с помощью основных зависимостей между силами и деформациями (54а), (54б) и (54в), можно получить известные формулы прогиба w , девиации ψ (их удобно брать увеличенными в B раз) и изгибающих моментов в сплошной круглой плите радиуса r_0 .

А. При жестком заземлении по контуру

$$\left. \begin{aligned} 1) \quad w &= \frac{P_0}{16\pi} \left[r_0^2 - r^2 + 2r^2 \ln \left(\frac{r}{r_0} \right) \right] + \frac{g}{64} (r_0^2 - r^2)^2 \\ 2) \quad \psi &= \frac{P_0 r}{4\pi} \ln \left(\frac{r_0}{r} \right) + \frac{gr}{16} (r_0^2 - r^2) \\ 3) \quad M_1 &= \frac{P_0}{4\pi} \left[(1+\nu) \ln \left(\frac{r_0}{r} \right) - 1 \right] + \frac{g}{16} [(1+\nu)r_0^2 - (3+\nu)r^2] \\ 4) \quad M_2 &= \frac{P_0}{4\pi} \left[(1+\nu) \ln \left(\frac{r_0}{r} \right) - 1 \right] + \frac{g}{16} [(1+\nu)r_0^2 - (1+3\nu)r^2] \\ 5) \quad Q &= \frac{P_0}{2\pi r} + \frac{gr}{2} \end{aligned} \right\} (80б)$$

* Р. О. Кузьмин. Бесселевы функции. Государственное издательство технической литературы, 1935.

Б. При шарнирном опирании по контуру

$$\left. \begin{aligned}
 1) \quad \omega &= \frac{P_0}{16\pi} \left[\frac{3+\nu}{1+\nu} (r_0^2 - r^2) - 2r^2 \ln\left(\frac{r_0}{r}\right) \right] + \\
 &\quad + \frac{gr_0^4}{64(1+\nu)} \left[(5+\nu) - 2(3+\nu) \left(\frac{r}{r_0}\right)^2 + (1+\nu) \left(\frac{r}{r_0}\right)^4 \right] \\
 2) \quad \psi &= \frac{P_0 r}{4\pi} \left[\frac{1}{1+\nu} - \ln\left(\frac{r_0}{r}\right) \right] + \frac{gr}{16} \left[\frac{3+\nu}{1+\nu} (r_0^2 - r^2) \right] \\
 3) \quad M_1 &= \frac{(1+\nu)P_0}{4\pi} \ln\left(\frac{r_0}{r}\right) + \frac{g}{16} (3+\nu) (r_0^2 - r^2) \\
 4) \quad M_2 &= \frac{(1+\nu)P_0}{4\pi} \left[\ln\left(\frac{r_0}{r}\right) + \frac{1-\nu}{1+\nu} \right] + \frac{g}{16} [(3+\nu)r_0^2 - (1+3\nu)r^2] \\
 5) \quad Q &= \frac{P_0}{2\pi r} + \frac{gr}{2}
 \end{aligned} \right\} (80в)$$

Если плиту, опертую шарнирно, нагрузить равномерно распределенными по контуру парами M (радиально направленными), то уравнения запишутся в таком виде:

$$\left. \begin{aligned}
 1) \quad \omega &= \frac{(r_0^2 - r^2)}{2(1+\nu)} M \\
 2) \quad \psi &= \frac{r}{1+\nu} M \\
 3) \quad M_1 &= M = M_2 \\
 4) \quad Q &= 0
 \end{aligned} \right\} (80г)$$

Эпюры изгибающих моментов и деформации круглой пластинки для наиболее часто встречающихся загрузок приведены на фигурах 250—253, а значения их в таблице 7.

Плита радиуса r_0 с отверстием радиуса r_1 в центре при шарнирном опирании по наружному контуру. Записывая подобно предыдущему условие равновесия против сдвига и определяя произвольные постоянные из крайних условий, можно получить уравнения в развернутом виде.

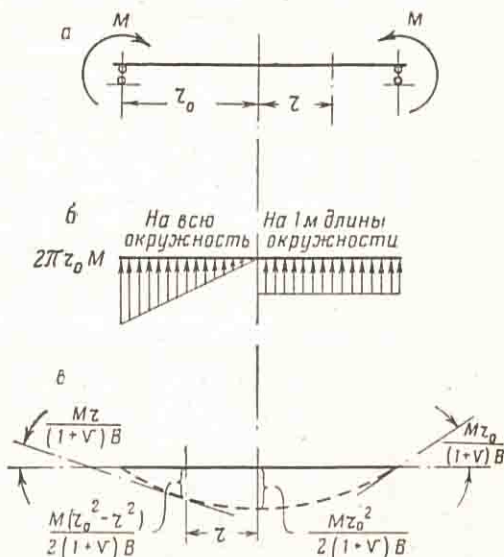
Эпюры изгибающих моментов и деформаций плиты нагруженной сосредоточенной по внутреннему контуру силой или равномерно распределенной нагрузкой см. на фигурах 254 и 255.

л) Круглая плита (пластинка) линейно меняющейся толщины

по закону $\rho = \frac{r}{2} = \text{const}$

Первое из уравнений (63) при $\rho = \text{const}$ после деления на δR_2 (учитывая, что $Q = \frac{V}{R_2}$, а для пластинки $\alpha = 0$; $s_1 = r$ и, следовательно, $(\cdot)' = \frac{d(\cdot)}{dr}$) примет вид:

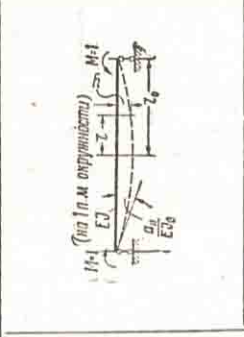
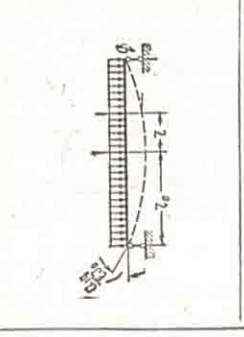
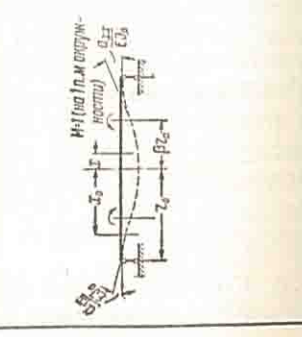
$$\theta'' - 3(1-\nu) \frac{\theta}{r^2} = - \frac{12(1-\nu^2)\rho}{Er} Q. \quad (81а)$$

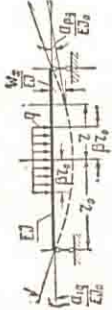



Фиг. 250. Эпюры моментов и деформации сплошной круглой плиты при загрузке моментами по краю:

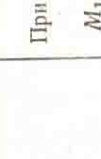
а—схема загрузки плиты; б—эпюра M_1 ; в—деформации плиты.


Усилия и перемещения круглых плит постоянной толщины при симметричных нагрузках

| Характеристика элемента | Схема нагружения плиты | Значения перемещений (w_x — прогиб, увеличенный в EI раз; w_x^* — угол поворота меридиана, увеличенный в EI раз) | Значения усилий |
|--|--|---|---|
| Круглая плита с шарнирным опиранием по контуру |  | $a_{11} = r_0 \frac{I_0}{I} = r_0'$ $w_x = EI y = \frac{Mr_0^3}{2} \left[1 - \left(\frac{r}{r_0} \right)^2 \right] = \frac{r_0^3}{2} \frac{r^2}{2}$ $w_x^* = EI \frac{dy}{dr} = Mr = r$ | $M_1 = M_2 = M = 1$ $Q_x = 0$ |
| EI — жесткость плиты (принято $\nu = 0$) |  | $a_{1q} = q \frac{r_0^3}{8} \frac{I_0}{I} = q \frac{r_0^3}{8} r_0'$ $w_x = EI y = q \frac{r_0^4}{64} \left[5 - 6 \left(\frac{r}{r_0} \right) + \left(\frac{r}{r_0} \right)^4 \right]$ $w_x^* = q \frac{r_0^3}{16} \left[3 \frac{r}{r_0} - \left(\frac{r}{r_0} \right)^3 \right]$ | $M_1 = \frac{3}{16} q r_0^3 \left[1 - \left(\frac{r}{r_0} \right)^2 \right]$ $M_2 = q \frac{r_0^3}{16} \left[3 - \left(\frac{r}{r_0} \right)^2 \right]$ $Q_x = q \frac{r}{2}$ |
| |  | $a_{1x} = \beta^2 r_0 \frac{I_0}{I} = \beta^2 r_0'$ <p>при $0 \leq r \leq \beta r_0$</p> $a_{xx} = \frac{1 + \beta^2}{2} \beta r_0 \frac{I_0}{I} = \frac{1 + \beta^2}{2} \beta r_0'$ | <p>При $0 \leq r \leq \beta r_0$</p> $M_1 = M_2 = \frac{1 + \beta^2}{2} M = \frac{1 + \beta^2}{2}$ $Q_x = 0$ <p>при $\beta r_0 \leq r \leq r_0$</p> $M_1 = \frac{\beta^2}{2} \left[\left(\frac{r_0}{r} \right)^2 - 1 \right] M = \frac{\beta^2}{2} \left[\left(\frac{r_0}{r} \right)^2 - 1 \right]$ $M_2 = \frac{\beta^2}{2} \left[\left(\frac{r_0}{r} \right)^2 + 1 \right] M = \frac{\beta^2}{2} \left[\left(\frac{r_0}{r} \right)^2 + 1 \right]$ |

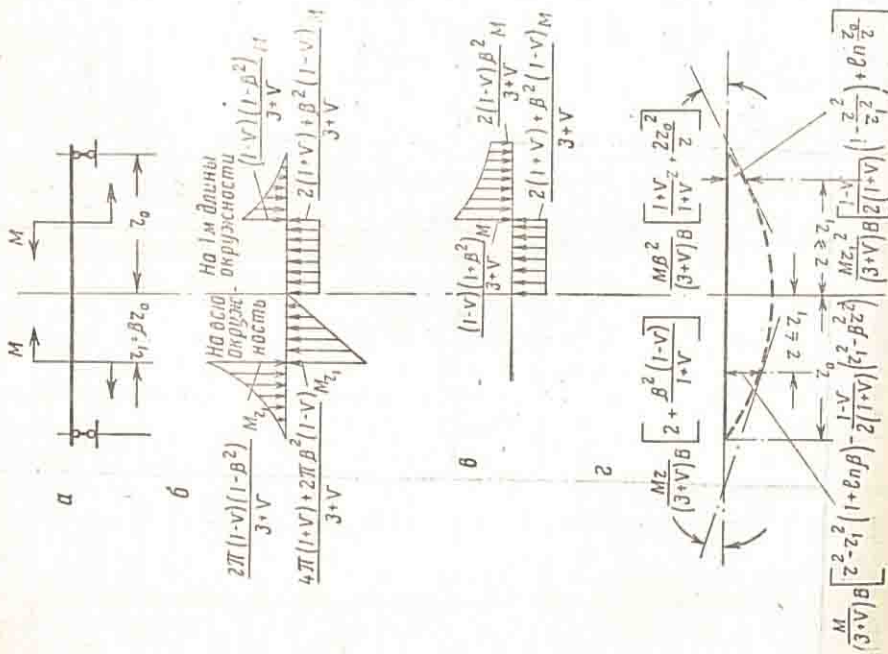
| Характеристика элемента | Схема нагружения плиты | Значения перемещений (w_x —прогиб, увеличенный в EI раз; w'_x —угол поворота меридиана, увеличенный в EI раз) | Значения усилий |
|---|--|--|-----------------|
| | | $w_x = EI/y = \frac{1 + \beta^2}{4} (\beta^2 r_0^2 - r^2) M + \frac{\beta^2 r_0^2}{4} (1 - \beta^2 - 2 \ln \beta) M$ $w'_x = EI \frac{dy}{dr} = \frac{1 + \beta^2}{2} r$ <p>При $\beta r_0 \ll r \ll r_0$</p> $w_x = \frac{\beta^2 r_0}{2} \left[\frac{r_0}{r} + \frac{r}{r_0} \right] M$ $w'_x = \frac{\beta^2 r_0}{2} \left[1 - \left(\frac{r}{r_0} \right)^2 - 2 \ln \frac{r}{r_0} \right] M$ | |
|  | $a_{1q} = q \frac{(\beta r_0)^3}{8} [2(1 - \ln \beta) - \beta]$ $a_{\beta q} = q \frac{(\beta r_0)^3}{8} \left[2(1 - \ln \beta) - \frac{1 + \beta^2}{2} \right]$ <p>При $0 \ll r \ll \beta r_0$</p> $w_x = q \frac{r_0^4}{64} \left\{ 4 \left[3\beta^2 - \right. \right.$ $\left. - 2 \left(\frac{r}{r_0} \right)^2 \beta^2 (1 - \ln \beta) \right] +$ $\left. + \beta^4 \left[-7 + 2 \left(\frac{r}{r_0} \right)^2 + \right. \right.$ $\left. \left. + 4 \ln \beta \right] + \left(\frac{r}{r_0} \right)^4 \right\}$ | <p>При $0 \ll r \ll \beta r_0$</p> $M_1 = q \frac{(\beta r_0)^2}{16} \left[4 - \beta^2 - 3 \left(\frac{r}{\beta r_0} \right)^2 - 4 \ln \beta \right]$ $M_2 = q \frac{(\beta r_0)^2}{16} \left[4 - \beta^2 - \left(\frac{r}{\beta r_0} \right)^4 - 4 \ln \beta \right]$ <p>$Q_x = qr$</p> <p>При $\beta r_0 \ll r \ll r_0$</p> $M_1 = q \frac{(\beta r_0)^2}{16} \left[-\beta^2 + \left(\frac{\beta r_0}{r} \right)^2 - 4 \ln \frac{r}{r_0} \right]$ $M_2 = q \frac{(\beta r_0)^2}{16} \left\{ 4 - \beta^2 \left[1 + \left(\frac{r_0}{r} \right)^2 \right] - 4 \ln \frac{r}{r_0} \right\}$ <p>$Q_x = q \frac{\beta r_0}{r}$</p> | |

| Характеристика элемента | Схема нагружения плиты | Значения перемещений (ω_x — прогиб, увеличенный в EI раз; ω_x' — угол поворота меридиана, увеличенный в EI раз) | Значения усилий |
|-------------------------|--|--|---|
| | | $\omega_x' = q \frac{(\beta r_0)^3}{16} \left\{ \frac{4r}{\beta r_0} (1 - \ln \beta) - \beta \frac{r}{r_0} - \left(\frac{r}{\beta r_0} \right)^3 \right\}$ <p>При $\beta r_0 \ll r \ll r_0$</p> $\omega_x = q \frac{\beta^2 r_0^4}{32} \left\{ (6 - \beta^2) \left[1 - \left(\frac{r}{r_0} \right)^2 \right] + \left[2\beta^2 + 4 \left(\frac{r}{r_0} \right)^2 \right] \ln \frac{r}{r_0} \right\}$ $\omega_x' = q \frac{(\beta r_0)^3}{16} \left\{ 4 - \beta^2 \left(\frac{r}{r_0} + \frac{r_0}{r} \right) - 4 \frac{r}{\beta r_0} \ln \frac{r}{r_0} \right\}$ | |
| |  | $a_{1p} = \frac{P}{4\pi} r_0 \frac{I_0}{I} = \frac{P}{4\pi} r_0'$ $a_{xp} = \frac{P}{4\pi} r \left(1 - \ln \frac{r}{r_0} \right) \frac{I_0}{I}$ | $M_1 = \frac{P}{4\pi} \ln \frac{r}{r_0}$ $M_2 = \frac{P}{4\pi} \left(1 - \ln \frac{r}{r_0} \right)$ $Q_x = \frac{P}{2\pi r}$ |

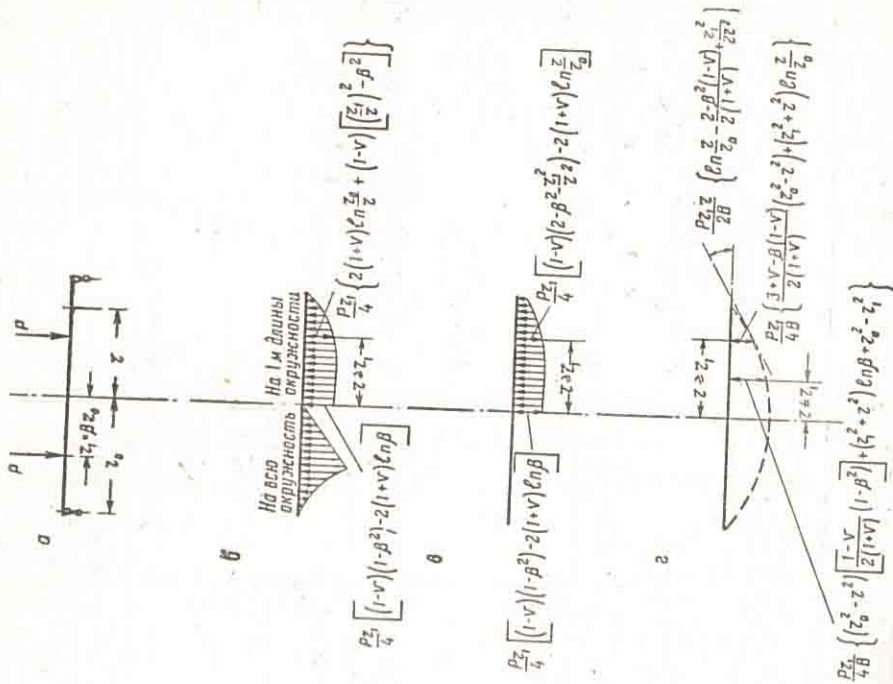
| Характеристика элемента | Схема нагружения плиты | Значения перемещений (w_x — прогиб, увеличенный в EI раз; w'_x — угол поворота меридиана, увеличенный в EI раз) | Значения усилий |
|--|---|--|--|
| <p>Круглая плита, шарнирно опертая по наружному контуру, с кольцевой балкой радиуса βr_0. Ширина сечения кольца $\delta_k \leq \frac{\beta r_0}{8}$;</p> <p>Высота сечения кольца $h_k \leq \sqrt[4]{\frac{\delta_k r_0}{3}}$; Момент инерции радиального сечения $I_k = \frac{1}{12} \delta_k h_k^3$ (объемная плита пренебрегается)</p> |  <p>На кольцо передается момент $M_k = \frac{2\beta M}{1 + \beta^2 + \frac{I_k r_0}{2I_k}}$</p> | <p>При $0 \leq r \leq \beta r_0$</p> $M_1 = M_2 = M - \frac{1 + \beta^2}{2} M_k = \frac{(1 - \beta)(1 + \beta^2) + \frac{I_k r_0}{2I_k} M}{1 + \beta^2 + \frac{I_k r_0}{2I_k}}$ <p>При $\beta r_0 \leq r \leq r_0$</p> $M_1 = \left\{ 1 + \frac{\beta^2 \left[\left(\frac{r_0}{r} \right)^2 - 1 \right]}{1 + \beta^2 + \frac{I_k r_0}{2I_k}} \right\} M$ $M_3 = \left\{ 1 - \frac{\beta^2 \left[\left(\frac{r_0}{r} \right)^2 + 1 \right]}{1 + \beta^2 + \frac{I_k r_0}{2I_k}} \right\} M$ <p>$Q_x = 0$</p> | <p>При $0 \leq r \leq \beta r_0$</p> $a_{11} = r_0 \left[1 - \frac{2\beta^2}{1 + \beta^2 + \frac{I_k r_0}{2I_k}} \right]$ <p>При $0 \leq r \leq \beta r_0$</p> $w_x = M \frac{r^2}{2} \left\{ 1 - \left(\frac{r}{r_0} \right)^2 - \frac{2\beta^2 (1 - \ln \beta) - (\beta + \beta^3) \left(\frac{r}{r_0} \right)^2}{1 + \beta^2 + \frac{I_k r_0}{2I_k}} \right\}$ <p>При $\beta r_0 \leq r \leq r_0$</p> $w_x = M \frac{r_0^2}{2} \left\{ 1 - \left(\frac{r}{r_0} \right)^2 - \frac{2\beta^2 \left[1 - \left(\frac{r}{r_0} \right)^2 - 2 \ln \frac{r}{r_0} \right]}{1 + \beta^2 + \frac{I_k r_0}{2I_k}} \right\}$ |

| Характеристика элемента | Схема нагружения плиты | Значения перемещений (w_x — прогиб, увеличенный в EI раз; w'_x — угол поворота меридиана, увеличенный в EI раз) | Значения усилий |
|-------------------------|---|--|---|
| |  <p>На кольцо передается момент</p> $M_k = q \frac{r_0}{8} \left(\frac{3 - \beta^2}{1 + \beta^2 + \frac{l\beta r_0}{2I_k}} \right)$ | $a_{1q} = q \frac{r_0^2}{8} \left[1 - \frac{3\beta^2 - \beta^4}{1 + \beta^2} \frac{l\beta r_0}{2I_k} \right]$ <p>При $0 \leq r \leq \beta r_0$</p> $w_x = q \frac{r_0^4}{64} \left\{ 5 - 6 \left(\frac{r}{r_0} \right)^2 + \left(\frac{r}{r_0} \right)^4 - \frac{(6 - 2\beta^2) \left[2\beta^2 (1 - \ln \beta) - (1 + \beta^2) \left(\frac{r}{r_0} \right)^2 \right]}{1 + \beta^2 + \frac{l\beta r_0}{2I_k}} \right\}$ $w'_x = q \frac{r_0^3}{16} \times \left\{ \frac{\left(\beta^2 + \beta^4 + \frac{3}{2} \frac{l\beta r_0}{I_k} \right) \left(\frac{r}{r_0} \right) - \left(\frac{r}{r_0} \right)^3}{1 + \beta^2 + \frac{l\beta r_0}{2I_k}} \right\}$ | <p>При $0 \leq r \leq \beta r_0$</p> $M_1 = q \frac{r_0^2}{16} \left\{ 3 - 3 \left(\frac{r}{r_0} \right)^2 - \frac{(3 - \beta^2) (1 + \beta^2)}{1 + \beta^2 + \frac{l\beta r_0}{2I_k}} \right\}$ $M_2 = q \frac{r_0^2}{16} \times \left\{ \frac{\beta^2 + \beta^4 + \frac{3}{2} \frac{l\beta r_0}{I_k}}{1 + \beta^2 + \frac{l\beta r_0}{2I_k}} - \left(\frac{r}{r_0} \right)^2 \right\}$ |

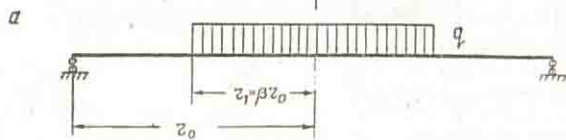
| Характеристика элемента | Схема нагружения плиты | Значения перемещений (w_x — прогиб, увеличенный в EI раз; w'_x — угол поворота меридиана, увеличенный в EI раз) | Значения усилий |
|-------------------------|------------------------|---|--|
| | | <p>При $\beta r_0 \leq r \leq r_0$</p> $w_x = q \frac{r_0^4}{64} \left\{ 5 - 6 \left(\frac{r}{r_0} \right)^2 + \left(\frac{r}{r_0} \right)^4 - \frac{(6\beta^2 - 2\beta^4) \left[1 - \left(\frac{r}{r_0} \right)^2 - 2 \ln \frac{r}{r_0} \right]}{1 + \beta^2 + \frac{I\beta r_0}{2I_K}} \right\}$ | <p>При $\beta r_0 \leq r \leq r_0$</p> $M_1 = q \frac{r_0^3}{16} \left\{ 3 - 3 \left(\frac{r}{r_0} \right)^2 + \frac{(3 - \beta^2) \left[\left(\frac{\beta r_0}{r} \right)^2 - \beta^2 \right]}{1 + \beta^2 + \frac{I\beta r_0}{2I_K}} \right\}$ |
| | | $w'_x = q \frac{r_0^3}{16} \times \left\{ \frac{\left(3 + \beta^4 + 3 \frac{I\beta r_0}{2I_K} \right) \frac{r}{r_0} - (3\beta^2 - \beta^4) \frac{r_0}{r}}{1 + \beta^2 + \frac{I\beta r_0}{2I_K}} - \left(\frac{r}{r_0} \right)^3 \right\}$ | $M_2 = q \frac{r_0^3}{16} \times \left\{ \frac{\left(3 + \beta^4 + 3 \frac{I\beta r_0}{2I_K} \right) - (3\beta^2 - \beta^4) \left(\frac{r_0}{r} \right)^2}{1 + \beta^2 + \frac{I\beta r_0}{2I_K}} - \left(\frac{r}{r_0} \right)^2 \right\}$ |
| | | | $Q_x = q \frac{r}{2}$ |



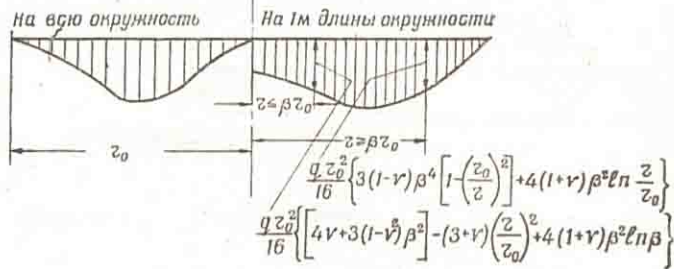
Фиг. 251. Эпюры моментов и деформации сплошной круглой плиты при нагружении моментами по кольцу радиуса r_1 : а—схема нагружения плиты; б—эпюра M_1 ; в—эпюра M_2 ; г—деформации плиты.



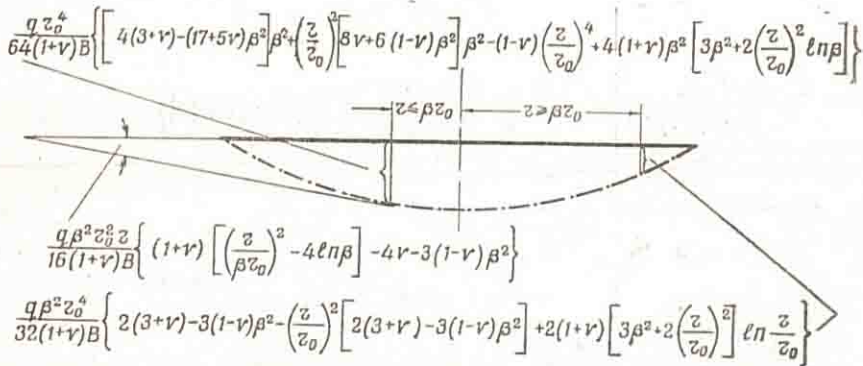
Фиг. 252. Эпюры моментов и деформации сплошной круглой плиты постоянной толщины: а—схема нагружения плиты; б—эпюра M_1 ; в—эпюра M_2 ; г—деформации плиты.



б

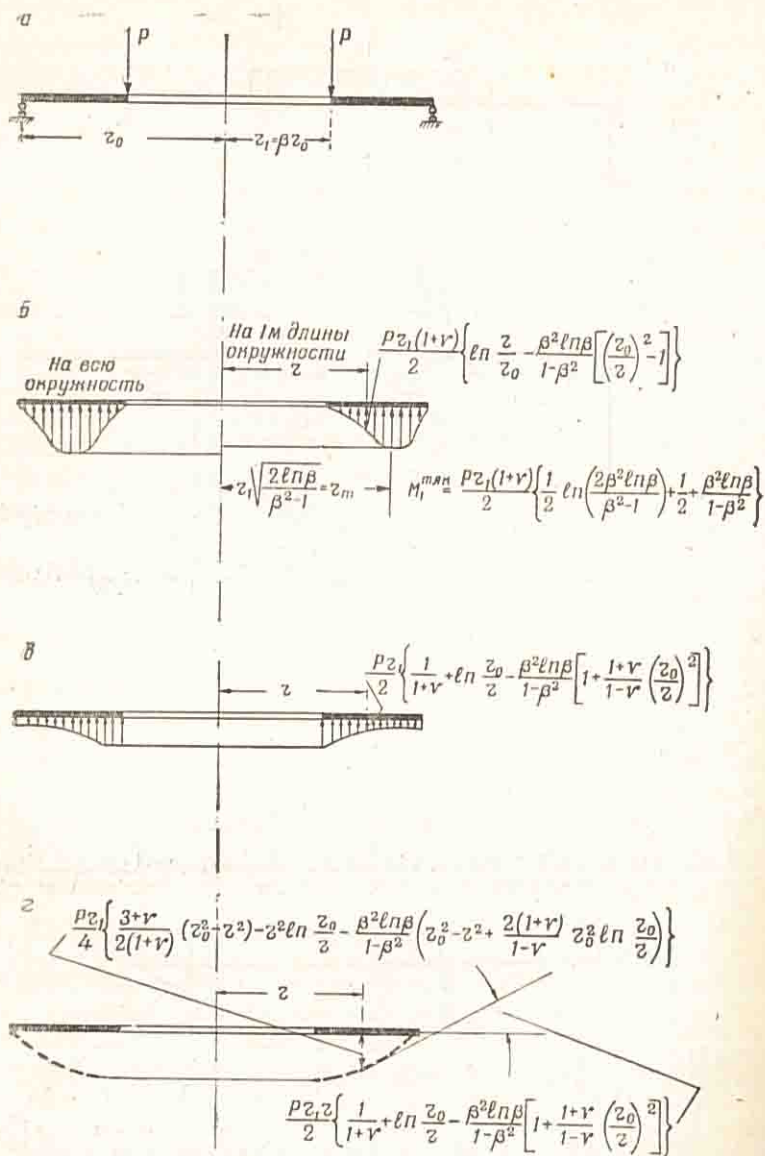


в



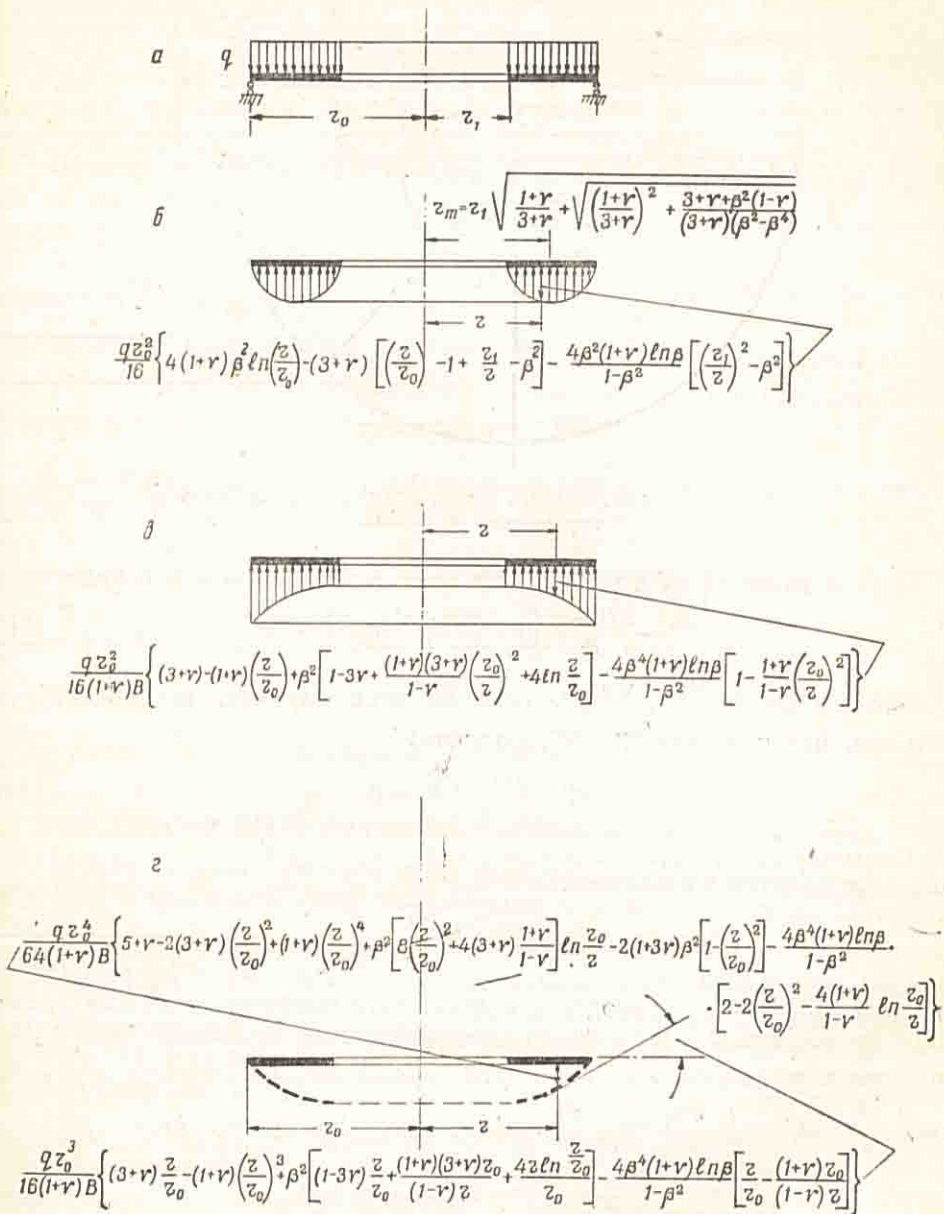
Фиг. 253. Эпюры моментов и деформации сплошной круглой плиты постоянной толщины при частичном нагружении равномерной нагрузкой:

а—схема нагружения плиты; б—эпюра M_1 ; в—деформации плиты.



Фиг. 254. Эпюры моментов и деформации в круглой плите с отверстием в центре под действием сил, сосредоточенных на внутреннем или внешнем контурах:

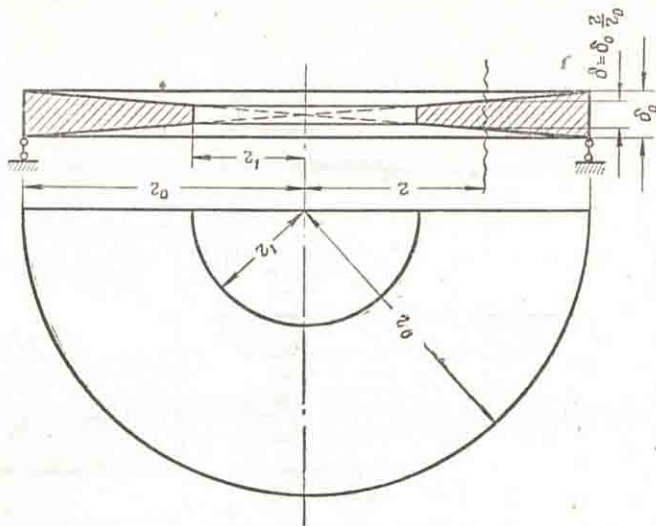
а — схема нагружения плиты; б — эпюра M_1 ; в — эпюра M_2 ; г — деформации плиты.



Фиг. 255. Эпюры моментов и деформации в круглой плите с отверстием в центре от равномерно распределенной нагрузки:

а — схема загрузки плиты; б — эпюра M_1 ; в — эпюра M_2 ; г — деформации плиты.

Если задана нагрузка (фиг. 256) и условия на край пластинки, то этого уравнения достаточно для решения задачи, так как Q определяется из условий равновесия пластинки под действием внешних сил.



Фиг. 256. Диаметральный разрез круглой плиты линейно переменной толщины.

А если известно Q , то уравнение (81а) можно записать в виде:

$$\theta'' - \frac{3(1-\nu)}{r^2} \left[\theta - \frac{4(1+\nu)\rho}{E} Qr \right] = 0. \quad (81б)$$

Примем $\theta_1 = \theta - \frac{4(1+\nu)\rho}{E} Qr$; тогда во всех случаях, когда $(Qr)'' = 0$, учитывая, что при этом $\theta_1'' = \theta''$, получим:

$$\theta_1'' - \frac{3(1-\nu)}{r^2} \theta_1 = 0. \quad (81в)$$

Следовательно, если выполняется условие $(Qr)'' = 0$, то поперечная сила определяется уравнением:

$$Q = C_1'' + \frac{C_2''}{r}.$$

Для решения задачи достаточно решить однородное дифференциальное уравнение (81в). Оно приводится к линейному дифференциальному уравнению 2-го порядка с постоянными коэффициентами введением нового независимого переменного $x = \ln r$, и так как $x' = \frac{1}{r}$; $x'' = -\frac{1}{r^2}$; $\frac{d\theta_1}{dx} = \theta_1' r$; $\theta_1' = \frac{1}{r} \frac{d\theta_1}{dx}$; $\theta_1'' = \frac{1}{r^2} \frac{d^2\theta_1}{dx^2} - \frac{1}{r^2} \frac{d\theta_1}{dx}$, уравнение (81в) примет вид:

$$\frac{d^2\theta_1}{dx^2} - \frac{d\theta_1}{dx} - 3(1-\nu) Q_1 = 0. \quad (81г)$$

Общий интеграл уравнения (81г) определяется в виде:

$$\theta_1 = C_3' e^{k_1 x} + C_4' e^{k_2 x} \quad (81д)$$

или, учитывая сказанное выше:

$$\theta = C_1' r + C_2' + C_3' e^{k_1 x} + C_4' e^{k_2 x}. \quad (81)$$

Значения k_1 и k_2 определяются из характеристического уравнения:

$$k^2 - k - 3(1-\nu) = 0,$$

т. е.

$$k_1 = 0,5 + \sqrt{3,25 - 3\nu};$$

$$k_2 = 0,5 - \sqrt{3,25 - 3\nu}.$$

Например, если $\nu = \frac{1}{3}$ (сталь), то получается просто:

$$k_1 = 2, \quad k_2 = -1$$

и

$$\theta = C_1' r + C_2' + C_3' r^2 + \frac{C_4'}{r}. \quad (82a)$$

Влияние коэффициента Пуассона сравнительно невелико; так, например, при $\nu = \frac{1}{16}$: $k_1 = 2,25$; $k_2 = -1,25$; при $\nu = \frac{1}{6}$: $k_1 = 2,16$; $k_2 \approx -1,16$; при $\nu = 0$: $k_1 \approx 2,3$; $k_2 \approx -1,3$.

Поэтому для практических целей можно ограничиться равенством в виде (82a) для всех значений ν .

Нетрудно показать, что решение (82a) удовлетворяется (при $\nu = \frac{1}{3}$), если поперечная сила в кольцевом сечении определяется уравнением:

$$Q = C_1^0 r + C_2^0 + \frac{C_3^0}{r}. \quad (82b)$$

В этом случае можно общее решение для круглой пластинки линейно переменной толщины записать так:

$$\left. \begin{aligned} 1) \quad \omega &= C_1 r + C_2 \ln r - \frac{C_3}{r} - \frac{C_4}{2r^2} \\ 2) \quad \omega^* &= C_1 + \frac{C_2}{r} + \frac{C_3}{r^2} + \frac{C_4}{r^3} \\ 3) \quad M_1 &= B \left(\vartheta^* + \nu \frac{\vartheta}{r} \right) \\ 4) \quad M_2 &= B \left(\frac{\vartheta}{r} + \nu \vartheta^* \right) \end{aligned} \right\} \quad (82)$$

м). Круглая плита постоянной толщины на упругом основании

Оставляя в силе принятое нами условие о пропорциональности между нагрузкой и просадкой упругого основания, т. е. принимая в уравнении (55)

$$p_n = -g + k_r y,$$

где k_r — коэффициент постели грунта, можно, воспользовавшись уравнениями (55) и (79) решить задачу об изгибе круглой плиты на упругом основании, находящейся под действием поперечной нагрузки (т. е. при $T_{10} = 0$ и $T_{20} = 0$).

Из уравнения 55 при $T_{10} = T_{20} = 0$:

$$(Qr)^* = p_n r = -(g - k_r y) r, \quad (83a)$$

а из уравнения (79)

$$\left[\frac{(\psi r)^*}{r} \right]^* = -Q. \quad (83b)$$

Выберем новое независимое переменное x так, чтобы $dx = r dr$; $x = \frac{r^2}{2}$.

Тогда, обозначив $\psi r = z$, получим:

$$r^2 \frac{d^2 z}{dx^2} = -Qr$$

или

$$2x \frac{d^2 z}{dx^2} = -Qr. \quad (83b)$$

Дифференцируем обе части уравнения (79) по r . Учитывая, что $(\)' = r \frac{d(\)}{dx}$, получим:

$$r \frac{d}{dx} \left[2x \frac{d^2 z}{dx^2} \right] = (g - k_r y) r. \quad (83г)$$

Так как $\psi = \frac{E\delta^3}{12(1-\nu^2)} y' = B y'$, то деля уравнение (83г) на r и беря производную по r , получим:

$$r \frac{d^2}{dx^2} \left[2x \frac{d^2 z}{dx^2} \right] = g' r - \frac{k_r}{B} \psi,$$

а, умножая обе части на r , получаем:

$$2x \frac{d^2}{dx^2} \left[2x \frac{d^2 z}{dx^2} \right] = g' r - \frac{k_r}{B} z. \quad (83)$$

Если внешняя нагрузка равномерно распределена ($g' = 0$), то, деля на 4, получаем:

$$x \frac{d^2}{dx^2} \left[x \frac{d^2 z}{dx^2} \right] + \frac{k_r}{4B} z = 0. \quad (84а)$$

Это однородное линейное дифференциальное уравнение 4-го порядка распадается на два сопряженных 2-го порядка:

$$x \frac{d^2 z}{dx^2} \pm iz \sqrt{\frac{k_r}{4B}} = 0. \quad (84)$$

Уравнение (84) является уравнением Бесселя 1-го порядка при комплексном значении аргумента. Его частный интеграл (см. Карман и Био «Математические методы в инженерном деле», 1948, стр. 66):

$$z = x^{\frac{1}{2}} J_1 \left[\pm \frac{2x^{\frac{3}{2}}}{\lambda} (1 \pm i) \right] \quad (85)$$

или, так как $x^{\frac{1}{2}} = \frac{r}{\sqrt{2}}$, $z = \psi r$;

$$\psi = \frac{1}{\sqrt{2}} J_1 \left[\pm (1 \pm i) \varphi \right] = \frac{1}{\sqrt{2}} \text{ber}_1 \varphi,$$

где $\varphi = \frac{r\sqrt{2}}{\lambda}$;

$$\lambda = \sqrt[4]{\frac{4B}{k_r}} = \sqrt[4]{\frac{E\delta^3}{3k_r(1-\nu^2)}};$$

δ — толщина плиты;

k_r — коэффициент упругой податливости грунта (коэффициент постели).

Общий интеграл уравнения (84а) будет:

$$\psi = C'_1 \text{ker}_1 \varphi + C'_2 \text{kei}_1 \varphi + C'_3 \text{ber}_1 \varphi + C'_4 \text{bei}_1 \varphi. \quad (86а)$$

Пользуясь асимптотическим разложением цилиндрических функций (см. Р. О. Кузьмин «Бесселевы функции», 1935, стр. 75), общий интеграл уравнения (84а) запишем в виде:

$$\psi = \frac{\lambda r_0}{r} \{ C_1'' e^{-\varphi} \cos \varphi + C_2'' e^{-\varphi} \sin \varphi + C_3'' e^{\varphi} \cos \varphi + C_4'' e^{\varphi} \sin \varphi \}, \quad (86б)$$

где r_0 — краевое значение радиуса.

Мы сохраним только первый член разложения асимптотического ряда:

$$\alpha(\varphi) = \varphi + \frac{3}{16\varphi} - \frac{75}{192\varphi^3} + \dots$$

Ошибка при пренебрежении всеми членами разложения, кроме первого, не превысит 5%, если $\frac{3}{16\varphi^2} < 0,05$ или при $\varphi > \sqrt{\frac{60}{16}} = 1,93$.

Следовательно, решение (86б) (с погрешностью для φ менее 5%) годится уже на участках, где $r \gg 2\lambda$ (не близко к центру).

При $r > 4\lambda$ погрешность соответственно не превысит 1%. Например, для круглой пластинки без отверстий при $\nu = 0$

$$\left. \begin{aligned} \psi &= \frac{\lambda r_0}{r} \{C_1'' \eta_1 + C_2'' \eta_2\} \\ M_1 &= \frac{\lambda r_0}{r^2} \left\{ \left[C_1 \left(\frac{r\sqrt{2}}{\lambda} - 1 \right) - C_2 \frac{r\sqrt{2}}{\lambda} \right] \eta_1 + \right. \\ &\quad \left. + \left[C_2 \left(\frac{r\sqrt{2}}{\lambda} - 1 \right) + C_1 \frac{r\sqrt{2}}{\lambda} \right] \eta_2 \right\} \\ M_2 &= \frac{\lambda r_0}{r^2} \{C_1'' \eta_1 + C_2'' \eta_2\} \end{aligned} \right\} \quad (86)$$

Глава IV

СТАТИКА ЖЕЛЕЗОБЕТОННЫХ РЕЗЕРВУАРОВ

Резервуар представляет собой конструкцию, состоящую из плит (пластинок), опирающихся на систему балок и стоек или оболочку двоякой кривизны, чаще — оболочку вращения.

На резервуар действуют статические нагрузки, обычно симметричные относительно вертикальной плоскости или вертикальной оси. Это позволяет упростить расчеты конструктивных элементов резервуара.

Кроме того, для практических инженерных задач в большинстве случаев можно ограничиться приближенными решениями, основанными на пренебрежении факторами, мало влияющими на степень точности расчета резервуара, но усложняющими его. К числу таких факторов относятся, например, влияние поперечного расширения при сжатии. Наконец, большое облегчение в расчетах дают вспомогательные таблицы. Однако нужно знать теорию, положенную в основу расчетов интересующих нас конструкций, чтобы иметь возможность проверить правильность результата и уметь решить задачу в тех случаях, когда нельзя воспользоваться таблицами.

1. СИСТЕМЫ УРАВНЕНИЙ

При расчете резервуара решение краевой задачи сводится к симметричной системе алгебраических линейных уравнений, чаще всего к трехчленной.

Решение системы линейных алгебраических уравнений удобнее всего проводить в табличной форме — алгоритмом.

Так, если имеется система линейных уравнений

$$1) \delta_{11}x_1 + \delta_{12}x_2 + \dots + \delta_{1i}x_i + \delta_{1k}x_k + \dots + \delta_{1n}x_n + \Delta_{1p} = 0$$

$$2) \delta_{21}x_1 + \delta_{22}x_2 + \dots + \delta_{2i}x_i + \delta_{2k}x_k + \dots + \delta_{2n}x_n + \Delta_{2p} = 0$$

$$3) \delta_{31}x_1 + \delta_{32}x_2 + \dots + \delta_{3i}x_i + \delta_{3k}x_k + \dots + \delta_{3n}x_n + \Delta_{3p} = 0$$

$$\dots \dots \dots$$

$$i) \delta_{i1}x_1 + \delta_{i2}x_2 + \dots + \delta_{ii}x_i + \delta_{ik}x_k + \dots + \delta_{in}x_n + \Delta_{ip} = 0$$

$$k) \delta_{k1}x_1 + \delta_{k2}x_2 + \dots + \delta_{ki}x_i + \delta_{kk}x_k + \dots + \delta_{kn}x_n + \Delta_{kp} = 0$$

$$\dots \dots \dots$$

$$n) \delta_{n1}x_1 + \delta_{n2}x_2 + \dots + \delta_{ni}x_i + \delta_{nk}x_k + \dots + \delta_{nn}x_n + \Delta_{np} = 0$$

(здесь $i = k - 1$), то ее можно записать в табличной форме так (см. табл. 8).

В силу закона о взаимности виртуальных работ и закона о взаимности перемещений $\delta_{ik} = \delta_{ki}$ и матрица системы уравнений оказывается симметричной относительно главной диагонали (диагонали, соединяющей главные коэффициенты δ_{11} ; δ_{22} ; δ_{ii} ; δ_{kk} ; δ_{nn}).

Такую симметричную систему можно записать короче, условившись вместо коэффициентов, лежащих ниже главной диагонали, ставить жирную

Запись системы линейных алгебраических уравнений

| № уравнений | x_1 | x_2 | | x_i | x_k | | x_n | Грузовой член |
|-------------|---------------|---------------|-------|---------------|---------------|-------|---------------|---------------|
| 1 | δ_{11} | δ_{12} | | δ_{1i} | δ_{1k} | | δ_{1n} | Δ_{1p} |
| 2 | δ_{21} | δ_{22} | | δ_{2i} | δ_{2k} | | δ_{2n} | Δ_{2p} |
| | | | | | | | | |
| i | δ_{i1} | δ_{i2} | | δ_{ii} | δ_{ik} | | δ_{in} | Δ_{ip} |
| k | δ_{k1} | δ_{k2} | | δ_{ki} | δ_{kk} | | δ_{kn} | Δ_{kp} |
| | | | | | | | | |
| n | δ_{n1} | δ_{n2} | | δ_{ni} | δ_{nk} | | δ_{nn} | Δ_{np} |

точку, и ничего не писать, если коэффициент равен нулю. Это показано в таблице 9.

Таблица 9

Схема записи и чтения симметричной системы линейных уравнений

| № уравнений | x_1 | x_2 | | x_i | x_k | | x_n | Грузовой член |
|-------------|---------------|---------------|-------|---------------|---------------|-------|---------------|---------------|
| 1 | δ_{11} | δ_{12} | | δ_{1i} | δ_{1k} | | δ_{1n} | Δ_{1p} |
| 2 | • | δ_{22} | | δ_{2i} | δ_{2k} | | δ_{2n} | Δ_{2p} |
| | | | | | | | | |
| i | • | • | | δ_{ii} | δ_{ik} | | δ_{in} | Δ_{ip} |
| k | • | • | | • | δ_{kk} | | δ_{kn} | Δ_{kp} |
| | | | | | | | | |
| n | • | • | | • | • | | δ_{nn} | Δ_{np} |

Чтение уравнений в этом случае нужно вести так, как показано стрелками в таблице 9, т. е. читать первую строчку по горизонтали, а остальные — по ломаной линии.

Таким образом сокращается запись уравнений.

В практике одну и ту же статически неопределенную систему при различных загрузках приходится решать несколько раз. Этого можно избежать и, следовательно, значительно облегчить труд проектировщика, если решать такую систему с помощью сокращенного алгоритма Гаусса. При использовании алгоритма уравнения решаемой системы записывают в соответствующем образом заполняемую таблицу.

Если, например, ранее приведенную симметричную систему n уравнений надо решать для различных загрузок, от a до m , в которых Δ_{ip} принимают последовательно значения Δ_{ij} ; Δ_{iq} ; Δ_{im} и т. д., то запись ее ведется как показано в таблице 10.

При составлении уравнений нужно стремиться так выбрать основную систему, чтобы получить наиболее простую матрицу. Самой простой будет система, у которой все побочные коэффициенты (вне главной диагонали) равны нулю. Тогда получается n уравнений, каждое с одним неизвестным.

Для решения такой системы алгоритм не нужен.

Запись симметричной системы n линейных уравнений для m различных нагрузжений

| № уравнений | x_1 | x_2 | | x_i | x_k | | x_n | Свободные члены (от нагрузок) | | | | |
|-------------|---------------|---------------|-------|---------------|---------------|-------|---------------|-------------------------------|---------------|---------------|-------|---------------|
| | | | | | | | | a | b | c | | m |
| 1 | δ_{11} | δ_{12} | | δ_{1i} | δ_{1k} | | δ_{1n} | Δ_{1p} | Δ_{1q} | Δ_{1q} | | Δ_{1m} |
| 2 | • | δ_{22} | | δ_{2i} | δ_{2k} | | δ_{2n} | Δ_{2p} | Δ_{2q} | Δ_{2q} | | Δ_{2m} |
| | | | | | | | | | | | | |
| i | • | • | | δ_{ii} | δ_{ik} | | δ_{in} | Δ_{ip} | Δ_{iq} | Δ_{iq} | | Δ_{im} |
| k | • | • | | • | δ_{kk} | | δ_{kn} | Δ_{kp} | Δ_{kq} | Δ_{kq} | | Δ_{km} |
| | | | | | | | | | | | | |
| n | • | • | | • | • | | δ_{nn} | Δ_{np} | Δ_{nq} | Δ_{nq} | | Δ_{nm} |

Следующая простейшая система — трехчленная, т. е. такая, в которой отличны от нуля коэффициенты главной диагонали (δ_{ii} , δ_{kk}) и соседние с ними по обе стороны (δ_{ih} , δ_{hi}), все же остальные коэффициенты при неизвестных — нули.

Симметричная система n трехчленных уравнений запишется так (см. табл. 11).

78

Таблица 11

Запись системы трехчленных линейных алгебраических уравнений

| № уравнений | x_1 | x_2 | x_3 | | x_{i-1} | x_i | x_{i+1} | | Свободные члены | | | | |
|-------------|---------------|---------------|---------------|-------|---------------------|-------------------|---------------------|-------|-------------------|-------------------|-------------------|-------|-------------------|
| | | | | | | | | | a | b | c | | m |
| 1 | δ_{11} | δ_{12} | | | | | | | Δ_{1p} | Δ_{1q} | Δ_{1q} | | Δ_{1m} |
| 2 | • | δ_{22} | δ_{23} | | | | | | Δ_{2p} | Δ_{2q} | Δ_{2q} | | Δ_{2m} |
| 3 | | • | δ_{33} | | | | | | Δ_{3p} | Δ_{3q} | Δ_{3q} | | Δ_{3m} |
| | | | | | | | | | | | | | |
| $i-1$ | | | | | $\delta_{i-1; i-1}$ | $\delta_{i-1; i}$ | | | $\Delta_{i-1; p}$ | $\Delta_{i-1; q}$ | $\Delta_{i-1; q}$ | | $\Delta_{i-1; m}$ |
| i | | | | | • | δ_{ii} | $\delta_{i; i+1}$ | | Δ_{ip} | Δ_{iq} | Δ_{iq} | | Δ_{im} |
| $i+1$ | | | | | | • | $\delta_{i+1; i+1}$ | | $\Delta_{i+1; p}$ | $\Delta_{i+1; q}$ | $\Delta_{i+1; q}$ | | $\Delta_{i+1; m}$ |
| | | | | | | | | | | | | | |

Решение такой системы уравнений с помощью сокращенного алгоритма Гаусса приведено ниже.

2. РЕШЕНИЕ СИММЕТРИЧНОЙ СИСТЕМЫ ТРЕХЧЛЕННЫХ ЛИНЕЙНЫХ АЛГЕБРАИЧЕСКИХ УРАВНЕНИЙ

Решение трехчленных уравнений методом исключения состоит в последовательном уменьшении числа уравнений до одного и затем в подстановке полученных значений искомых величин в уравнения, имеющие только 2 неизвестных. При пользовании алгоритмом в таблицу целесообразно ввести контрольный столбец, позволяющий контролировать решение непрерывно; этот столбец нужно помещать в конце таблицы, чтобы контролировать все решение.

Для пояснения мы введем слева от таблицы столбец 1, в котором запишем производимое над уравнением действие (этот столбец может

и отсутствовать). В таблице справа помещается столбец 10 уравнительных коэффициентов. Для выявления картины достаточно решить четыре уравнения. В примере (см. табл. 12) коэффициенты уравнений взяты произвольно, однако подобраны так, чтобы результаты получались сравнительно простыми. В таблице 12 приведено решение для 4 трехчленных уравнений с коэффициентами при неизвестных $\delta_{11} = 2$; $\delta_{12} = \delta_{21} = 4$; $\delta_{22} = 3$; $\delta_{23} = \delta_{32} = 10$; $\delta_{33} = 4$; $\delta_{34} = \delta_{43} = -6$; $\delta_{44} = 3,5$ (остальные коэффициенты при неизвестных равны нулю). Решение сделано для трех различных загрузжений (т. е. решается система уравнений с одинаковыми матрицами 3 раза). Свободные члены в уравнениях таблицы 12 при обозначениях по таблице 11 можно записать так: $\Delta_{1p} = 8$; $\Delta_{2p} = -4$; $\Delta_{3p} = 4$; $\Delta_{4p} = 1$; $\Delta_{1q} = -2$; $\Delta_{2q} = 1$; $\Delta_{3q} = 2$; $\Delta_{4q} = 5$; $\Delta_{1r} = -3$; $\Delta_{2r} = 3$; $\Delta_{3r} = -2$; $\Delta_{4r} = -3$ и т. д.

Для исключения x_1 достаточно помножить строку 1 на отношение второго коэффициента в ней к первому, взятое с обратным знаком (т. е. на $k_{21} = -\frac{\delta_{12}}{\delta_{11}} = -2$). В результате получаем строку 5 таблицы,

обозначенную в таблице 12 римской цифрой I. Сложив строку I со строкой 2, получаем строку 6, обозначенную римской цифрой II. Теперь у нас остаются три уравнения: II, 3 и 4 с неизвестными x_2 , x_3 и x_4 , т. е. на одно уравнение меньше, чем было вначале.

Делая указанные вычисления, следует производить соответствующие действия и с графой Σ для контроля правильности произведенных вычислений. Например, если коэффициенты строки I сложить [под жирной точкой в строке I подразумевается $2 \times (-2) = -4$] $(-4) + (-8) + (-16) + 4 + 6 = -18$, то это должно равняться Σ первой строки (+9), умноженной на k_{21} (на -2). Если этого равенства не получилось, то нельзя делать дальнейших вычислений, так как очевидно, что мы где-то допустили ошибку.

После того как мы получили строку II, повторяем операцию с новыми строками (умножаем на k_{311} коэффициенты строки II и складываем с соответствующими коэффициентами строки 3). Это приводит к двум уравнениям (строки III и 4). Повторив подобную операцию над строками III и 4, приходим к одному уравнению IV с одним неизвестным x_4 . Последнее легко определить делением соответствующего свободного члена на коэффициент при x_4 , взятый с обратным знаком (это проделано в строке В). Этим кончается так называемый «прямой ход» вычислений.

Теперь, пользуясь таблицей, нужно определить значения неизвестных, начиная с x_3 до x_1 . Это удобно делать подстановкой в уравнения занумерованные римскими цифрами, так как в них отличны от нуля лишь два коэффициента при неизвестных. Эту операцию называют обычно «обратным ходом» вычислений. Строка В получается из строки IV делением на коэффициент при x_4 , взятый с обратным знаком, или, что то же, умножением на $k_{IV V} = -\frac{1}{2}$ (обратный коэффициенту при x_4). При вычислении в строке В

значения контрольной цифры Σ нужно помнить, что на месте x_4 следует подразумевать минус единицу (например, это уравнение для загрузки а должно быть записано так: $-x_4 + 4 = 0$).

Затем нужно коэффициенты строки В помножить на коэффициент при x_4 в строке III (не меняя знака, так как при x_4 в строке В есть минус единица) и полученную строку Г сложить со строкой III. Тогда получится строка Д — уравнение с одним неизвестным x_3 . Последнее легко определяется делением коэффициентов строки на коэффициент при x_3 в строке Д, взятый с обратным знаком (в нашем случае -24).

Дальнейший ход вычислений тот же самый.

Последнюю подстановку можно делать не только в строку 1, но и в строку I, так как в ней также лишь 2 неизвестных (в нашем примере сделана подстановка в строку 1).

Сокращенный алгоритм Гаусса

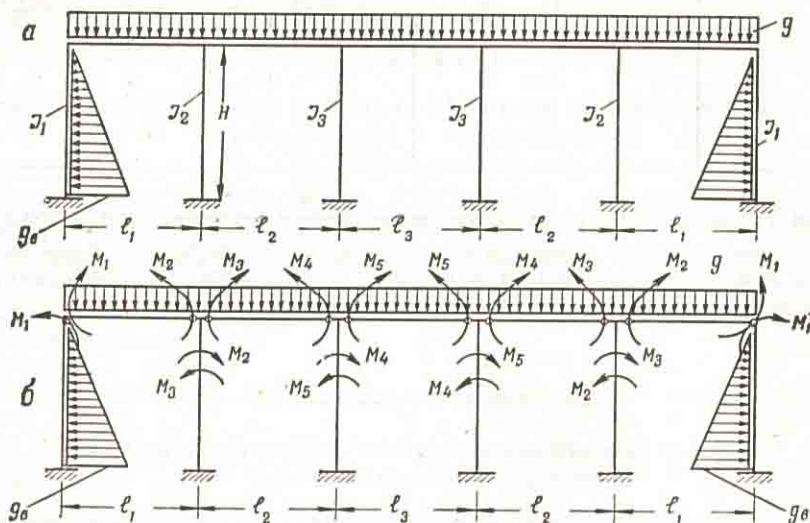
(Пример решения трехчленных линейных алгебраических уравнений)

| № строка | № уравнений и действия над ними | x_1 | x_2 | x_3 | x_4 | Свободные члены (от нагрузки) | | | Контр-роль Σ | Уравнительные коэффициенты |
|----------|---------------------------------|---------|---------|---------|---------|-------------------------------|------|------------------|---------------------|---|
| | | | | | | a | b | c | | |
| 0 | 1 | 2 | 3 | 4 | 5 | 6 | 7 | 8 | 9 | 10 |
| 1 | I | 2 | 4 | | | +8 | -2 | -3 | +9 | $\kappa_{21} = -\frac{4}{2} = -2$ |
| 2 | II | | 3 | 10 | | -4 | +1 | +3 | +17 | |
| 3 | III | | | 4 | -6 | +4 | +2 | -2 | +12 | |
| 4 | IV | | | | 3,5 | +1 | +5 | -3 | +0,5 | |
| 5 | I=I× κ_{21} | | -8 | | | -16 | -4 | +6 | -18 | |
| 6 | II=II+I | | -5 | 10 | | -20 | +5 | +9 | -1 | $\kappa_{31} = -\frac{10}{-5} = +2$ |
| 7 | A=II× κ_{31} | | | 20 | | -40 | +10 | +18 | -2 | |
| 8 | III=III+A | | | 24 | -6 | -36 | +12 | +16 | +10 | $\kappa_{411} = -\frac{-6}{24} = +\frac{1}{4}$ |
| 9 | B=III× κ_{411} | | | | -1,5 | -9 | +3 | +4 | +2,5 | |
| 10 | IV=IV+B | | | | 2 | -8 | +8 | +1 | +3 | $\kappa_{IV IV} = -\frac{1}{2}$ |
| 11 | V=IV× × $\kappa_{IV IV}$ | | | | $x_4 =$ | +4 | -4 | -0,5 | -1,5 | |
| 12 | Г=V× δ_{114} | | | | | -24 | +24 | +3 | +9 | |
| 13 | Д=III+Г | | | 24 | | -60 | +36 | +19 | +19 | $\kappa_{III III} = -\frac{1}{24}$ |
| 14 | E=Д× × $\kappa_{III III}$ | | | $x_3 =$ | | +2,5 | -1,5 | $-\frac{19}{24}$ | $-\frac{19}{24}$ | |
| 15 | Ж=E× δ_{113} | | | | | +25 | -15 | $-\frac{95}{12}$ | $-\frac{95}{12}$ | |
| 16 | З=II+Ж | | -5 | | | +5 | -10 | $+\frac{13}{12}$ | $-\frac{107}{12}$ | $\kappa_{II II} = -\frac{-1}{5} = +\frac{1}{5}$ |
| 17 | И=З× $\kappa_{II II}$ | | $x_2 =$ | | | +1 | -2 | $+\frac{13}{60}$ | $+\frac{107}{60}$ | |
| 18 | K=И× δ_{12} | | | | | +4 | -8 | $+\frac{13}{15}$ | $-\frac{107}{15}$ | |
| 19 | Л=I+K | 2 | | | | +12 | -10 | $-\frac{32}{15}$ | $+\frac{28}{15}$ | $\kappa_{11} = -\frac{1}{2}$ |
| 20 | M=Л× κ | $x_1 =$ | | | | -6 | +5 | $+\frac{16}{15}$ | $-\frac{14}{15}$ | |

3. О ВЫБОРЕ ОСНОВНОЙ СИСТЕМЫ

Расчет резервуаров характерен тем, что решение часто сводится к рассмотрению плоской рамы, имеющей ось симметрии. Кроме того, приходится, как правило, учитывать упругий поворот опор. При таких условиях метод сил оказывается более удобным и простым; надо только выбрать рациональную основную систему, которая может быть сама статически неопределимой, однако должна давать наиболее простые решения.

Наиболее простым получается решение, когда его удается свести к системе трехчленных уравнений.



Фиг. 257. Схема многопролетной рамы (к вопросу о выборе основной системы с целью получения трехчленных линейных алгебраических уравнений):

а—заданная система; б—основная система.

Рама резервуара, изображенная на фигуре 257, а, имеет ось симметрии и при симметричном нагружении решение ее сводится к системе трехчленных линейных алгебраических уравнений, если за неизвестные принять моменты в узлах рамы, т. е. если основную систему (фиг. 257, б) выбрать состоящей из однопролетных балок частью с двумя шарнирными опорами (ригель), частью с одной шарнирной другой зашечленной опорами (стойки и стенка резервуара). В табличной форме для нагружения по фигуре 257 уравнения запишутся так, как показано в таблице 13.

Таблица 13

Запись уравнений при решении рамы по фигуре 257

| № уравнений | M_1 | M_2 | M_3 | M_4 | M_5 | Грузовые коэффициенты |
|-------------|---------------------------------|----------------------------------|------------------|-------|-------|--|
| 1 | $\frac{H'}{4} + \frac{l_1'}{3}$ | $\frac{l_1'}{6}$ | | | | $-\frac{g_b H^2 H'}{120} + \frac{g l_1'^2 l_1'}{24}$ |
| 2 | • | $\frac{H''}{4} + \frac{l_1'}{3}$ | $-\frac{H''}{4}$ | | | $\frac{g l_1'^2 l_1'}{24}$ |

Продолжение

| № уравнений | M_1 | M_2 | M_3 | M_4 | M_5 | Грузовые коэффициенты |
|-------------|-------|-------|----------------------------------|-----------------------------------|-----------------------------------|---------------------------|
| 3 | | • | $\frac{H''}{4} + \frac{l_2'}{3}$ | $\frac{l_2''}{6}$ | | $\frac{gl_3^2 l_2''}{24}$ |
| 4 | | | • | $\frac{H'''}{4} + \frac{l_2'}{3}$ | $-\frac{H'''}{4}$ | $\frac{gl_3^2 l_2'}{24}$ |
| 5 | | | | • | $\frac{H'''}{4} + \frac{l_3'}{2}$ | $\frac{gl_3^3 l_3'}{24}$ |

Если симметричная рама нагружена несимметрично, то проще всего нагрузку разложить на прямо и косо симметричную и, решив две системы, получить искомые величины или решать смешанным методом, закрепляя ригель против горизонтального смещения.

О ВЫБОРЕ ОСНОВНЫХ ГЕОМЕТРИЧЕСКИХ РАЗМЕРОВ НАЗЕМНЫХ И ПОДЗЕМНЫХ РЕЗЕРВУАРОВ

При выборе оптимальных соотношений геометрических размеров резервуара будем исходить из условия обеспечения минимума расхода материалов на оболочку резервуара, с поправкой на относительную стоимость ее частей. Этот способ при достаточной простоте оправдывается данными многолетнего проектирования резервуаров и подтверждается рядом исследований [26].

1. НАЗЕМНЫЕ РЕЗЕРВУАРЫ

а) Открытые прямоугольные и квадратные в плане резервуары малой емкости

При малой емкости резервуара толщина оболочки делается постоянной и расход материалов будет пропорционален внутренней поверхности.

Прямоугольный в плане резервуар (фиг. 258)

с отношением сторон дна $x = \frac{b}{a}$ имеет площадь поверхности стен и дна

$$F = xa^2 + 2(1+x)ax\eta.$$

Объем воды в резервуаре и размер стороны дна могут быть выражены формулами

$$V_0 = xa^2x; \quad a = \sqrt{\frac{V_0}{zx}},$$

где x — глубина воды в резервуаре.

Подставив в формулу для F , получим:

$$F = \frac{V_0}{x} + 2\eta(1+x)\sqrt{\frac{V_0x}{z}}.$$

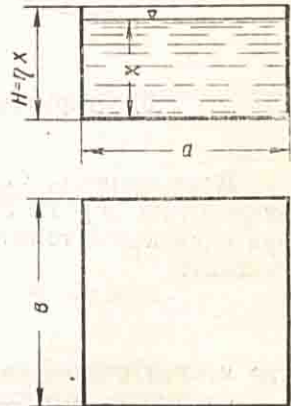
Здесь $\eta = \frac{V}{V_0}$; V — полный объем резервуара.

Для отыскания размеров резервуара, отвечающих F_{\min} , приравняем нулю первую производную от F по x :

$$\frac{dF}{dx} = -\frac{V_0}{x^2} + (1+x)\eta\sqrt{\frac{V_0}{zx}} = 0.$$

Откуда высота резервуара

$$H = \eta x = \frac{xa}{1+x} = \sqrt[3]{\frac{\eta x V_0}{(1+x)^2}} = \sqrt[3]{\frac{xV}{(1+x)^2}}, \quad (1a)$$



Фиг. 258. Схема открытого прямоугольного резервуара.

а размер стороны в плане

$$a = \sqrt[3]{\frac{(1+x)\eta V_0}{x^2}} = \sqrt[3]{\frac{(1+x)V}{x^2}}. \quad (16)$$

Если $x = 1$ (резервуар квадратный в плане), то площадь поверхности стен и днища выразится формулой:

$$F = a^2 + 4\eta ax.$$

Объем же воды в резервуаре:

$$V_0 = a^2x \text{ или } a = \sqrt{\frac{V_0}{x}} \text{ и,}$$

следовательно

$$F = \frac{V_0}{x} + 4\eta \sqrt{V_0 x}.$$

Соответственно:

$$\frac{dF}{dx} = -\frac{V_0}{x^2} + 2\eta \sqrt{\frac{V_0}{x}} = 0,$$

откуда

$$2\eta x^2 \sqrt{\frac{V_0}{x}} = V_0 \text{ и } x^3 = \frac{V_0}{4\eta^2}.$$

Так как $V_0 = a^2x$, то $x^2 = \frac{a^2}{4\eta^2}$ и $x = \frac{a}{2\eta}$.

Высота резервуара

$$H = \eta x = \sqrt[3]{\frac{\eta V_0}{4}} = \sqrt[3]{\frac{V}{4}}, \quad (1в)$$

где $V = \eta V_0$ — полная вместимость резервуара.

Соответственно размер резервуара в плане:

$$a = 2\eta x = \sqrt[3]{2\eta V_0} = \sqrt[3]{2V}. \quad (1г)$$

б) Открытый цилиндрический резервуар малой емкости с плоским днищем

Если принять, что стоимость единицы объема материала стенки резервуара будет дороже единицы объема материала в его днище в k_c раз, то при одинаковой толщине δ стенки и днища объем материалов (см. фиг. 259) составит

$$W \approx \pi \frac{x^2}{4} \delta + \pi x H \delta,$$

где x — внутренний диаметр резервуара.

Стоимость, отнесенная к стоимости единицы объема материала днища:

$$A = \frac{\pi x^2}{4} \delta + k_c \pi x H \delta.$$

Так как

$$V_0 = \frac{\pi x^2}{4} H_B = \frac{\pi x^2}{4\eta} H,$$

то

$$H = \frac{4V_0 \eta}{\pi x^2}.$$

Следовательно

$$A = \frac{\pi x^2}{4} \delta + \frac{4k_c \eta V_0}{x} \delta.$$

Определим $A_{\text{мин}}$:

$$\frac{dA}{dx} = \frac{\pi x}{2} \delta - \frac{4k_c \eta V_0}{x^2} \delta = 0.$$

После умножения на $\frac{2x^2}{\pi \delta}$ получим:

$$x^3 = \frac{8}{\pi} k_c \eta V_0$$

или

$$x = 2 \sqrt[3]{\frac{k_c \eta}{\pi} V_0} = 2 \sqrt[3]{\frac{k_c V}{\pi}}. \quad (2a)$$

Высота резервуара:

$$H = \frac{4\eta V_0}{\pi x^2} = \sqrt[3]{\frac{\eta V_0}{\pi k_c^2}} = \sqrt[3]{\frac{V}{\pi k_c^2}}. \quad (26)$$

Определим, до каких емкостей применимы формулы (2a) и (26). Например, если принять для железобетонных резервуаров

$$k_c = 1,10; \quad \eta = 1,20$$

и наибольший диаметр для днищ надземных резервуаров $x = 5,0$ м, то

$$V_0^{\text{макс}} = \frac{\pi}{8k_c \eta} x^3 = \frac{3,14 \cdot 125}{8 \cdot 1,1 \cdot 1,2} \approx 40 \text{ м}^3.$$

Для железобетонных резервуаров, стоящих на земле, эти формулы применимы при $x \leq 7$ м, т. е. для емкостей до

$$V_0^{\text{макс}} = \frac{3,14 \cdot 343}{8 \cdot 1,32} = 100 \text{ м}^3.$$

Приближенно получается (если считать $k_c = 1$, т. е. если не учитывать разницы в стоимости материала стен и днища) для любого материала:

$H \approx \frac{x}{2} = r$ (оптимальная высота резервуара примерно равна его радиусу).

в) Открытый цилиндрический резервуар малой емкости с коническим днищем

Для резервуара, схема которого показана на фигуре 260, имеем:

$$W = \frac{\pi x^2}{4 \cos \beta} \delta + \pi x H \delta;$$

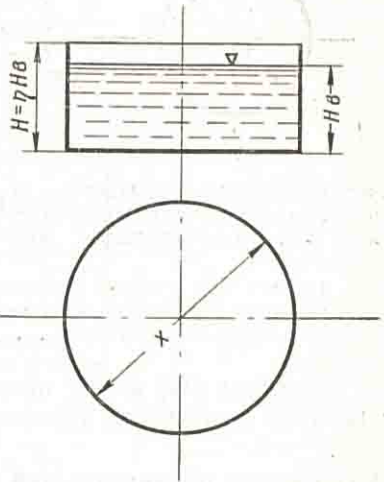
$$V_0 = \frac{\pi x^2}{4} \left(H_B + x \frac{\text{tg} \beta}{6} \right),$$

откуда

$$H = \frac{4V_0 \eta}{\pi x^2} - \eta \frac{x}{6} \text{tg} \beta$$

и

$$W = \frac{4V_0 \eta}{x} \delta + \frac{\pi x^2}{4 \cos \beta} \left(1 - \frac{2}{3} \eta \sin \beta \right) \delta.$$



Фиг. 259. Схема открытого цилиндрического резервуара с плоским днищем.

Если k_c — отношение стоимостей единицы объема материала стенки к тому же в днище, то относительная стоимость будет:

$$A = \frac{4k_c \eta V_0}{x} \delta + \frac{\pi x^2}{4 \cos \beta} \left(1 - \frac{2}{3} \eta k_c \sin \beta \right) \delta.$$

Приравнивая нулю первую производную от A по x , получим:

$$\frac{1}{\delta} \frac{dA}{dx} = \frac{\pi x}{2 \cos \beta} \left(1 - \frac{2}{3} k_c \eta \sin \beta \right) - \frac{4k_c \eta V_0}{x^2} = 0,$$

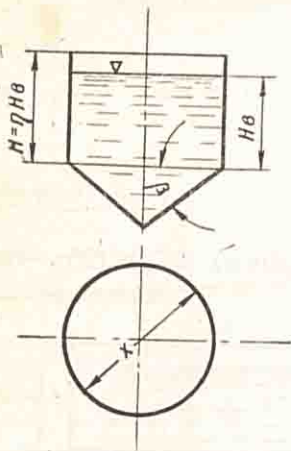
откуда:

$$x = 2 \sqrt[3]{\frac{k_c \eta V_0 \cos \beta}{\pi \left(1 - \frac{2}{3} k_c \eta \sin \beta \right)}}. \quad (2в)$$

При $\beta = 0$ формула (2в) совпадает с формулой (2а).

Для резервуаров с коническими днищами, в которых за полезный объем V_0 принимается объем цилиндрической части (например, железобетонные канализационные отстойники), получим:

$$x = 2 \sqrt[3]{\frac{k_c \eta V_0 \cos \beta}{\pi}}. \quad (2г)$$



Фиг. 260. Схема открытого цилиндрического резервуара с коническим днищем.

Значение коэффициентов k_c различны для разных материалов и местных условий, но ориентировочно можно принимать:

- при плоском всياчем днище в надземных резервуарах $k_c = 0,95 \div 1,00$;
- при плоском днище, лежащем на грунте $k_c = 1,05 \div 1,15$;
- при коническом днище $k_c = 1,0 \div 1,08$.

Формулы (2в) и (2г) пригодны и для выбора размеров стальных баков с всиячим коническим днищем.

г) Открытый цилиндрический железобетонный резервуар с плоским днищем

При емкости железобетонного резервуара более 100 м³ его конструкция делается различной в зависимости от того, на какой отметке находится грунтовая вода. При наличии грунтовой воды выше днища резервуара необходима проверка пустого резервуара на всплывание и соответствующее утолщение дна и стенок.

При сухих грунтах толщина днища назначается конструктивно, а под стенкой сооружается кольцевой фундамент.

Подсчитаем расход железобетона на резервуар в сухих грунтах (фиг. 261) по элементам.

Стенка в таких резервуарах может рассчитываться без учета растяжимости днища, так как последняя обычно невелика. Поэтому считается, что в месте примыкания к днищу цилиндр не испытывает кольцевых растягивающих усилий.

Толщина цилиндрической оболочки наполненного жидкостью незасыпанного резервуара при таких крайних условиях определяется исходя из наибольших растягивающих усилий в кольцевом направлении на глубине αH_b .

На фигуре 261, б нанесена примерная эпюра кольцевых усилий при рассматриваемых крайних условиях (сплошная линия) и эпюра тех же усилий при свободных краях (пунктирная линия).

В железобетонных конструкциях, работающих на растяжение при условии недопущения трещин (стенки резервуаров), толщина их определяется

из формулы:

$$\delta = \frac{N}{R_p} \left(k_T - \frac{200k}{\sigma_T} \right).$$

В нашем случае:

$$N = \gamma \alpha H_b r$$

и

$$\delta = \frac{\gamma \alpha H_b r}{R_p} \left(k_T - \frac{200k}{\sigma_T} \right), \quad (3a)$$

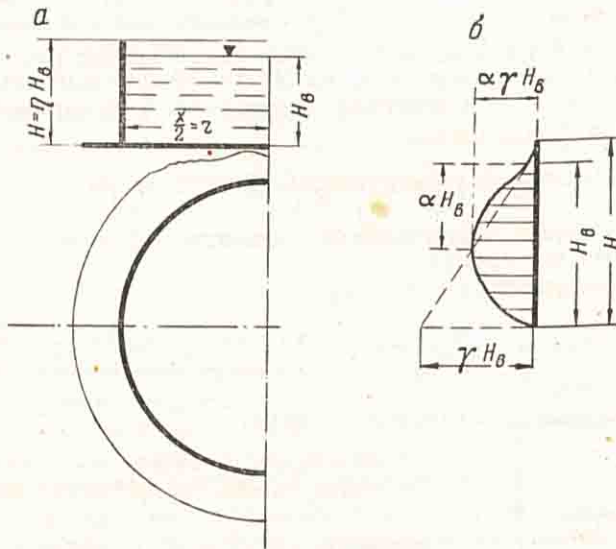
где R_p — предел прочности бетона на растяжение;

σ_T — предел текучести арматуры;

k_T — коэффициент запаса прочности против появления трещин;

k — коэффициент запаса прочности;

α — коэффициент, меньший единицы, учитывающий влияние заземления стенки внизу.



Фиг. 261. Открытый цилиндрический резервуар с плоским дном:
а — разрез и план; б — эпюры кольцевых усилий в стенке резервуара.

Для рассматриваемой конструкции

$$\alpha = 0,6 \div 0,8.$$

Если V_0 — объем жидкости в резервуаре, то:

$$H_b = \frac{4V_0}{\pi x^2}; \quad r = \frac{x}{2}$$

и

$$\delta = \frac{2\alpha\gamma V_0}{\pi x R_p} \left(k_T - \frac{200k}{\sigma_T} \right). \quad (3б)$$

При постоянной толщине стенки расход железобетона на нее определится из формулы:

$$\pi x F_c = \pi x \delta H = \frac{8\alpha\gamma\eta V_0^2}{\pi x^2 R_p} \left(k_T - \frac{200k}{\sigma_T} \right).$$

Если относительная стоимость единицы железобетона в стенке k_c , то вся ее относительная стоимость:

$$A_c = k_c \pi x F_c = \frac{8\alpha \gamma \gamma k_c V_0}{\pi x^2 R_p} \left(k_T - \frac{200k}{\sigma_T} \right) = \frac{B_c}{x^2}.$$

При линейно меняющейся толщине стенки и заданной толщине δ_2 вверху δ_2 толщина ее внизу δ_1 может быть определена из следующей формулы, которая легко выводится из подобия треугольников:

$$\delta_1 = \frac{\gamma H_{вr}}{R_p} \left(k_T - \frac{200k}{\sigma_T} \right) - \frac{1-\alpha}{\alpha} \delta_2. \quad (3в)$$

Если подставить в формулу (3в) $\delta_2 = \delta_1$, то получится формула (3б).

Для $\alpha > 0,5$ объем железобетона на стенку трапециoidalного сечения будет меньше, а при $\alpha < 0,5$ — больше, чем при постоянной толщине.

При определении оптимальных размеров, в целях упрощения вычислений можно пользоваться формулой (3б) и в случае устройства стенки трапециoidalного сечения. Разница с результатом, получающимся при использовании формулы (3в), будет тем меньше, чем α ближе к 0,5.

Кольцевой ленточный фундамент проектируется обычно такой ширины, чтобы давление воды на выступе фундамента уравновешивало изгибающий момент внизу стенки при жесткой заделке ее в фундамент. При таких условиях ширина фундамента:

$$b_\phi = \lambda \left[1 + \frac{\gamma_r}{\gamma} \operatorname{tg}^2 \left(45^\circ - \frac{\varphi}{2} \right) \right],$$

где γ_r — объемный вес грунта;
 γ — то же, жидкости;

$$\lambda = \frac{\sqrt{r\delta}}{\sqrt{3(1-\nu^2)}} \cong 0,76 \sqrt{\frac{\alpha \gamma V_0}{\pi R_p} \left(k_T - \frac{200k}{\sigma_T} \right)}.$$

Средняя толщина фундаментной ленты:

$$\delta_\phi = c_1 \delta = \frac{2c_1 \gamma \alpha V_0}{\pi x R_p} \left(k_T - \frac{200k}{\sigma_T} \right),$$

а расход железобетона на фундамент

$$\pi x \delta_\phi b_\phi = \frac{1,52 \alpha \gamma c_1 V_0}{R_p} \left(k_T - \frac{200k}{\sigma_T} \right) \sqrt{\frac{\alpha \gamma V_0}{\pi R_p} \left(k_T - \frac{200k}{\sigma_T} \right)} \left[1 + \frac{\gamma_r}{\gamma} \operatorname{tg}^2 \left(45^\circ - \frac{\varphi}{2} \right) \right].$$

Этот расход не зависит от изменения диаметра резервуара при данной емкости.

Относительная стоимость возведения фундаментной ленты:

$$A_\phi = \frac{1,52 c_1}{\sqrt{\pi}} \left[\frac{\alpha \gamma}{R_p} V_0 \left(k_T - \frac{200k}{\sigma_T} \right) \right]^{3/2} \left[1 + \frac{\gamma_r}{\gamma} \operatorname{tg}^2 \left(45^\circ - \frac{\varphi}{2} \right) \right] = B_\phi.$$

Днище примем толщиной δ_d . Тогда:

$$A_d \approx \frac{\pi x^2}{4} \delta_d = B_d x^2.$$

Общая относительная стоимость:

$$A = \frac{B_c}{x^2} + B_\phi + B_d x^2;$$

$$\frac{dA}{dx} = -\frac{2B_c}{x^3} + 2B_d x = 0.$$

Откуда получим оптимальный диаметр резервуара:

$$x = \sqrt[4]{\frac{B_c}{B_d}} = \sqrt[4]{\frac{32\alpha\gamma k_c \eta V_0^3}{\pi^2 \delta_d R_p} \left(k_T - \frac{200k}{\sigma_T} \right)} \quad (4a)$$

или

$$x = 2 \sqrt[4]{\frac{2\alpha\gamma k_c \eta V_0^3}{\pi^2 \delta_d R_p} \left(k_T - \frac{200k}{\sigma_T} \right)} \quad (4б)$$

Оптимальная высота стенки резервуара:

$$H = \sqrt{\frac{\eta \delta_d R_p}{2\alpha\gamma k_c \left(k_T - \frac{200k}{\sigma_T} \right)}} \quad (4в)$$

Из формулы (4в) видно, что экономически выгодная по стоимости возведения высота открытого цилиндрического резервуара с конструктивным дном не зависит от емкости резервуара.

Так как расход железобетона на кольцевой фундамент не влияет на соотношение размеров резервуара, то при определении размеров резервуаров для насыщенных водой грунтов можно пользоваться формулами (4б) и (4в), подставляя значение δ_d , определяемое из условий устойчивости против всплывания или из условий прочности.

2. ПОДЗЕМНЫЕ ЖЕЛЕЗОБЕТОННЫЕ РЕЗЕРВУАРЫ

а) Прямоугольный резервуар с безбалочными покрытием и дном

В качестве примера рассмотрим резервуар, представленный на фигуре 262.

Пусть n и n_1 — число (целое) колонн в одном ряду по соответствующей стороне x и x_1 резервуара в плане, причем x — большая сторона (на фиг. 262 $n=3$ и $n_1=2$), а l — большая длина панели.

Соотношения основных размеров резервуара в плане задаются, исходя из местных, технологических или иных условий (оптимальным по стоимости будет случай, когда $x=x_1$ и $l=l_1$).

Будем считать, что нам дано:

$$s = \frac{x_1}{x}; \quad s \leq 1; \quad \frac{l_1}{l} = s \frac{n+1}{n_1+1}.$$

Полный объем резервуара V принимают пропорциональным его полезной емкости V_0 :

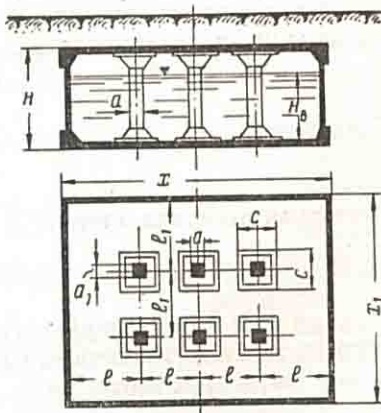
$$V = \eta V_0; \quad \eta = \frac{V}{V_0} > 1.$$

Размеры поперечного сечения колонны принимают пропорциональными длинам панелей, т. е.

$$a = \theta l; \quad a_1 = \theta l_1.$$

Так как площадь сечения колонны

$$F_k = aa_1 = \frac{qll_1}{\varphi_1 \frac{R_{np}}{k} (1 + \mu m_1)} = \theta^2 ll_1,$$



Фиг. 262. Подземный прямоугольный в плане резервуар с безбалочными покрытием и дном.

$$\theta = \sqrt{\frac{kq}{\varphi_1 R_{\text{пр}} (1 + \mu m_1)}},$$

где φ_1 — коэффициент продольного изгиба;
 q — нагрузка на единицу площади покрытия;
 $\mu = \frac{F_a}{F_k} = \frac{\sigma_T}{R_{\text{пр}}}$ — коэффициент армирования; $m_1 = \frac{\sigma_T}{R_{\text{пр}}}$;
 F_a — площадь сечения арматуры.

Размеры капители принимают также пропорциональными длинам панелей:

$$c = \rho l; \quad c_1 = \rho l_1.$$

Толщина плиты пропорциональна полезной высоте сечения:

$$h = \chi h_0; \quad \chi = \frac{h}{h_0} > 1.$$

Расчетные изгибающие моменты определяют ориентировочно, исходя из формулы:

$$M_0 = 0,125 q l^2 l_1 \left(1 - \frac{2}{3} \rho\right).$$

Стенка резервуара. Стенка резервуара работает на внецентренное сжатие. При высоте H не более $5 \div 5,5$ м стенка выполняется без контрфорсов. Расчетный изгибающий момент, воспринимаемый стенкой, можно выразить следующим образом:

$$M_{\text{макс}} = \alpha_c q_b H^2,$$

где

$$H = \frac{\eta V_0}{s x^2};$$

α_c — коэффициент защемления.

Нагрузку на стенку от давления воды принимают распределенной по закону треугольника:

$$q_b = \gamma H_b = \gamma \frac{H}{\eta}.$$

Следовательно

$$M_{\text{макс}} = \alpha_c \frac{\gamma}{\eta} H^3.$$

Расчетная толщина стенки:

$$\delta_c = \chi c_2 \sqrt{M_{\text{макс}}} = \chi c_2 H \sqrt{\alpha_c \frac{\gamma}{\eta} H}. \quad (5a)$$

Так как наибольший изгибающий момент имеет место вблизи середины высоты стенки, то площадь вертикального сечения стенки приближенно может быть определена так:

$$F_c = \delta_c H = \chi c_2 H^2 \sqrt{\alpha_c \frac{\gamma}{\eta} H}.$$

Подставив сюда значение H , выраженное через емкость резервуара, получим:

$$F_c = \chi c_2 \eta^2 x^{-5} \sqrt{\frac{\gamma \alpha_c V_0^3}{s^5}}.$$

Имея в виду, что протяженность стенок в плане

$$\sum l = 2(x + x_1) = 2x(1 + s),$$

выразим расход железобетона в функции основных размеров и емкости резервуара и, принимая за единицу стоимость 1 м^3 железобетона стенок,

получим относительную стоимость их:

$$A_c = 2\chi c_2 \eta^2 (1+s) x^{-4} \sqrt{\frac{\alpha_c \gamma V_0^5}{s^5}}$$

Плита покрытия. Для квадратных панелей безбалочного покрытия расчетный изгибающий момент:

$$M = \alpha_n M_0,$$

$$\text{где } M_0 = q \frac{l^2}{8} \left(1 - \frac{2}{3} \rho\right) = \frac{qx^2}{8(n+1)^2} \left(1 - \frac{2}{3} \rho\right); \quad \rho = \frac{c}{l};$$

α_n — коэффициент, учитывающий влияние неразрезности конструкции;
 c — размер капители.

Расчетная толщина плиты покрытия:

$$\delta_n = \chi c_2 \sqrt{M} = \chi c_2 \frac{x}{n+1} \sqrt{\frac{\alpha_n q}{8} \left(1 - \frac{2}{3} \rho\right)}. \quad (56)$$

Площадь покрытия в плане:

$$F_n = x x_1 = s x^2.$$

Относительная стоимость покрытия A_n при стоимости 1 м³ железобетона в нем, равной k_n :

$$A_n = k_n F_n \delta_n = k_n \chi c_2 s \frac{x^3}{n+1} \sqrt{\frac{\alpha_n q}{8} \left(1 - \frac{2}{3} \rho\right)}.$$

Расход железобетона на днище примем равным расходу на покрытие. Относительная стоимость днища составит:

$$A_d = k_d \chi \cdot c_2 s \frac{x^3}{n+1} \sqrt{\frac{\alpha_n q}{8} \left(1 - \frac{2}{3} \rho\right)}.$$

Колонны. Число колонн: $m = n n_1$.

Объем железобетона в одной колонне:

$$(1 + k_2) a a_1 H = (1 + k_2) \theta^2 l l_1 H = (1 + k_2) \theta^2 \frac{\eta \cdot V_0}{(n+1)(n_1+1)};$$

здесь k_2 — отношение объема капители к объему колонны.

Относительная стоимость колонн:

$$A_k = k_k (1 + k_2) \eta \theta^2 V_0 \frac{n n_1}{(n+1)(n_1+1)}.$$

Общая относительная стоимость резервуара:

$$A = \left[(k_n + k_d) \frac{c_2 \chi s}{n+1} \sqrt{\frac{\alpha_n q}{8} \left(1 - \frac{2}{3} \rho\right)} \right] x^3 + \left[2\chi c_2 \eta^2 (1+s) \sqrt{\frac{\gamma_c^2 V_0^5}{s^5}} \right] x^{-4} + \\ + (1 + k_2) k_k \eta \theta^2 V_0 \frac{n n_1}{(n+1)(n_1+1)}$$

или

$$A = c_1 x^3 + c_2 x^{-4} + c_3.$$

Приравняем нулю производную по x :

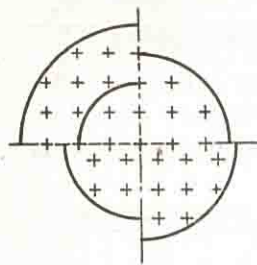
$$\frac{dA}{dx} = 3c_1 x^2 - 4c_2 x^{-5} = 0;$$

Отсюда находим:

$$x = \sqrt[7]{\frac{4c_2}{3c_1}} = \sqrt[7]{\frac{16\eta^2 (1+s)(n+1)V_0^2}{3(k_n + k_d)s^3} \cdot \sqrt{\frac{\gamma_c V_0}{\alpha_n q s \left(1 - \frac{2}{3} \rho\right)}}}. \quad (5b)$$

б) Цилиндрический резервуар с безбалочными покрытием и дном при расположении колонн по сторонам квадрата

При решении этой задачи, так же как и при определении размеров прямоугольного резервуара, мы не выявляем оптимальное расстояние между колоннами. Для резервуаров емкостью до 2—3 тыс. м³ можно сразу задаваться числом (целым) колонн, расположенных по диаметру резервуара (см. фиг. 263).



Фиг. 263. Схема расположения колонн (по сторонам квадрата) в цилиндрических резервуарах с безбалочными покрытиями и днами.

Примем $n > 1$ — число колонн в среднем ряду. Тогда длина панели будет: $l = \frac{x}{n+1}$, где x — диаметр резервуара.

Плита покрытия. Плиты покрытия при квадратной панели рассчитывают согласно «Инструкции по проектированию безбалочных перекрытий», поэтому для нее действительно сказанное о плите в прямоугольном резервуаре.

Расчетная толщина плиты:

$$\delta_n = \chi c_2 \sqrt{M} = \chi c_2 \frac{x}{n+1} \sqrt{\frac{\alpha_n q}{8} \left(1 - \frac{2}{3} \rho\right)}.$$

Так как площадь покрытия $F_n \approx \frac{\pi x^2}{4}$, то относительная стоимость его определится из выражения:

$$A = k_n \frac{\pi x^2}{4} \delta_n = \frac{\pi k_n c_2 \chi}{8(n+1)} x^3 \sqrt{\frac{\alpha_n q}{2} \left(1 - \frac{2}{3} \rho\right)}.$$

Для дна получим:

$$A_d = \frac{\pi k_d c_2 \chi}{8(n+1)} x^3 \sqrt{\frac{\alpha_n q}{2} \left(1 - \frac{2}{3} \rho\right)}.$$

Стенка резервуара. Положение наибольшей нормальной силы, возникающей в стенке N_{\max} , определяется коэффициентом α , который для резервуаров с безбалочными покрытиями рекомендуется принимать по таблице 14.

Таблица 14

| Емкость резервуара (в м ³) | До 400 | 400 ÷ 600 | 700 ÷ 1 000 | 1 100 ÷ 1 500 | 1 600 ÷ 2 200 | 2 300 ÷ 3 000 |
|--|-------------|-------------|-------------|---------------|---------------|---------------|
| α | 0,85 ÷ 0,75 | 0,75 ÷ 0,70 | 0,7 ÷ 0,65 | 0,65 ÷ 0,60 | 0,60 ÷ 0,55 | 0,55 |
| $\frac{1-\alpha}{\alpha}$ | 0,2 ÷ 0,3 | 0,3 ÷ 0,4 | 0,4 ÷ 0,5 | 0,5 ÷ 0,7 | 0,7 ÷ 0,8 | 0,8 |

При линейно меняющейся толщине стенки толщина ее сверху принимается $\delta_2 = \delta_n$, а толщина внизу определяется по формуле (3в), т. е.

$$\delta_1 = \frac{\gamma H_0 x}{2R_p} \left(k_T - \frac{200k}{\sigma_T}\right) - \frac{1-\alpha}{\alpha} \delta_2.$$

Площадь сечения стенки вертикальной диаметральной плоскостью:

$$F_c = H \frac{\delta_1 + \delta_2}{2} = \frac{4\gamma \gamma V_0^2}{\pi^2 R_p x^3} \left(k_T - \frac{200k}{\sigma_T}\right) + \frac{\delta_2}{\alpha} \frac{2\gamma V_0}{\pi x^2}$$

и так как

$$\delta_2 = \delta_n = \chi c_2 \frac{x}{n+1} \sqrt{\frac{\alpha_n}{8} q \left(1 - \frac{2}{3} \rho\right)},$$

то

$$F_c = \frac{4\gamma \gamma V_0^2}{\pi^2 R_p x^3} \left(k_T - \frac{200k}{\sigma_T}\right) + \frac{2\gamma \chi c_2 V_0}{\pi \alpha (n+1) x} \sqrt{\frac{\alpha_n}{8} q \left(1 - \frac{2}{3} \rho\right)}.$$

Относительная стоимость возведения стенки:

$$A_c = \pi F_c x = \frac{4\gamma\eta V_0^2}{\pi R_p x^2} + \frac{2\gamma\chi c_2 V_0}{a(n+1)} \sqrt{\frac{\alpha_n}{8} q \left(1 - \frac{2}{3}\rho\right)}.$$

Колонны. Из фигуры 263 видно, что при числе колонн, расположенных в среднем ряду, $n \leq 4$, общее число колонн $m = n^2$, а при $n = 5 \div 7$ — $m = n^2 - 4$.

Принимаем, как и в прямоугольном резервуаре:

$$F_k = (\theta l)^2 = \left(\frac{\theta}{n+1}\right)^2 x^2.$$

Относительная стоимость колонн:

$$A_k = \frac{4k_k m \eta V_0}{\pi} (1 + k_2) \left(\frac{\theta}{n+1}\right)^2.$$

Относительная стоимость резервуара:

$$A = B_1 x^3 + B_2 x^{-2} + B_3,$$

где

$$B_1 = \frac{\pi(k_d + k_n)\chi c_2}{8(n+1)} \sqrt{\frac{\alpha_n}{2} q \left(1 - \frac{2}{3}\rho\right)};$$

$$B_2 = \frac{4\gamma\eta V_0^2}{\pi R_p} \left(k_T - \frac{200k}{\sigma_T}\right);$$

$$B_3 = \frac{\eta\chi c_2 V_0}{a(n+1)} \sqrt{\frac{\alpha_n}{2} q \left(1 - \frac{2}{3}\rho\right)} + \frac{4k_k m \eta V_0}{\pi} (1 + k_2) \left(\frac{\theta}{n+1}\right)^2.$$

Приравниваем нулю первую производную от A по x :

$$\frac{dA}{dx} = 3B_1 x^2 - 2B_2 x^{-3} = 0.$$

Отсюда, диаметр резервуара:

$$x = \sqrt[5]{\frac{2B_2}{3B_1}} = 2 \sqrt[5]{\frac{2\gamma\eta V_0^2 (n+1) \left(k_T - \frac{200k}{\sigma_T}\right)}{3(k_d + k_n) \pi^2 \chi c_2 R_p \sqrt{\frac{\alpha_n}{2} q \left(1 - \frac{2}{3}\rho\right)}}}. \quad (6)$$

в) Цилиндрический резервуар с одной колонной в центре

Покрытие такого резервуара (фиг. 264) рассчитывают как круглую плиту, упруго зажатую по контуру и опертую в центре, поэтому для определения толщины плиты покрытия можно принять приближенно расчетный изгибающий момент, составляющий 80% от момента для круглой плиты с опорой в центре при жесткой заделке по периметру:

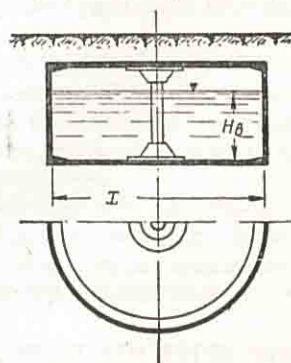
$$M_{\max} \approx q \frac{x^2}{80}.$$

Следовательно:

$$\delta_n = \chi c_2 \frac{x}{8} \sqrt{0,8q}.$$

Относительная стоимость покрытия и днища:

$$A_n + A_d = (k_n + k_d) \pi \chi c_2 \frac{x^3}{32} \sqrt{0,8q},$$



Фиг. 264. Схема цилиндрического резервуара с одной колонной в центре.

а общая относительная стоимость

$$A = B_1'x^3 + B_2'x^{-2} + B_3' + A_k.$$

Здесь A_k — относительная стоимость колонны (пропорциональна V_0).

Определим x из условия A_{\min} :

$$\frac{dA}{dx} = 3B_1'x^2 - 2B_2'x^{-3} = 0,$$

где

$$B_1' = \frac{A_n + A_d}{x^3}; \quad B_2' = \frac{4\gamma r^3 V_0^2}{\pi R_p} \left(k_r - \frac{200k}{\sigma_r} \right);$$

$$x = \sqrt[5]{\frac{2B_2'}{3B_1'}} \approx 2 \sqrt[5]{\frac{0,3\gamma r^3 V_0^2 \left(k_r - \frac{200k}{\sigma_r} \right)}{\gamma c_2 R_p (k_n + k_d) \sqrt{q}}}. \quad (7)$$

КРАТКИЕ СВЕДЕНИЯ О МЕТОДАХ ВОЗВЕДЕНИЯ И ИСПЫТАНИЯ РЕЗЕРВУАРОВ И ВОДОНАПОРНЫХ БАШЕН

1. О МЕТОДАХ ВОЗВЕДЕНИЯ РЕЗЕРВУАРОВ

Конструкцию резервуара нужно решать с учетом особенностей возведения сооружения.

Например, стальной резервуар одной и той же конструктивной схемы должен и кронтъся и конструироваться так или иначе, в зависимости от того, предполагается ли изготовить этот резервуар на заводе, а потом перевезти и смонтировать на месте, или резервуар будет изготавливаться полностью на месте его установки. Приемы кройки листов, их формовка, точность пригонки элементов в обоих случаях будут различными.

Сферическое днище стального резервуара водонапорной башни легко изготовить в мастерских, имеющих пресс и штампы; изготовление сферы вручную значительно труднее. Поэтому при ручном изготовлении предпочитают иногда переходить на другую форму днища, зонтообразную, т. е. сваренную из листов треугольной или трапециoidalной формы, выгнутых на круговой цилиндрической поверхности и сваренных наподобие зонтика (Трансводстрой Министерства путей сообщения СССР и др.), или составленную из нескольких усеченных конусов с разным углом раствора. Такими способами оболочка двойной кривизны заменяется частями, имеющими кривизну в одном направлении.

Такое изменение формы днища приводит к увеличению его толщины и усложняет примыкание днища к стенке.

В Министерстве путей сообщения СССР разработана серия башен-ускорителей (водонапорных башен небольшой высоты и емкости, применяемых для ускорения подачи воды в паровозы), которые, будучи изготовлены на заводе, перевозятся на 1—2 железнодорожных платформах и устанавливаются с помощью крана и талей в весьма короткий срок.

Как было уже указано, шаровые (сферические) резервуары при большом избыточном давлении выгоднее цилиндрических, однако распространение этих конструкций замедлено отсутствием достаточного количества штампов; ручное изготовление частей сферы требует большого искусства. Для выгиба по сферической поверхности вручную изготавливается на бетонном основании шаблон; листы кроятся начерно с запасом для обреза, кромки подрезаются после того, как ударами кувалды лист выгнут по шаблону.

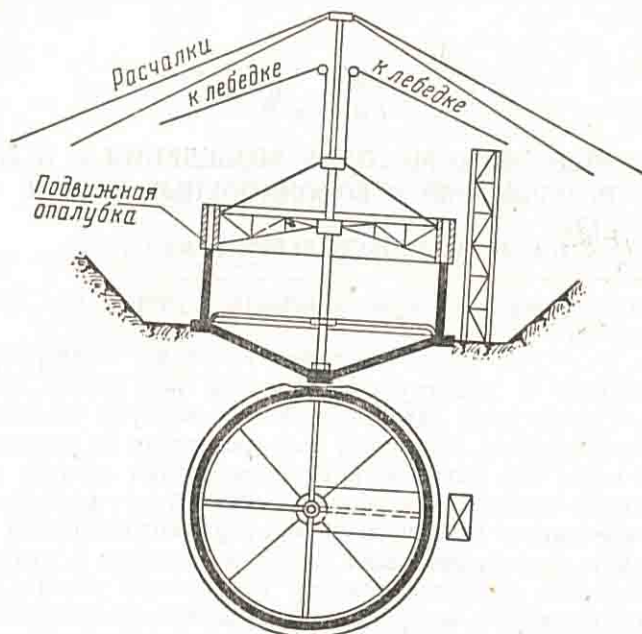
Особенно в сильной степени сказывается влияние методов производства работ на конструкциях железобетонных резервуаров и водонапорных башен.

При строительстве железобетонных круглых резервуаров подземного и наземного типа применяются следующие наиболее распространенные методы возведения.

а. В **деревянной стационарной опалубке**. Этот метод (несовершенный) позволяет в каждом отдельном случае выполнить резервуар любой намеченной в проекте формы. Если стенка резервуара имеет переменную толщину, то из условий организации подачи бетона и укладки арматуры лучше ту поверх-

ность стенки (внутреннюю или наружную), опалубка которой выполняется сразу на всю высоту, сделать цилиндрической.

б. В скользящих подвижных формах. При этом методе труднее осуществить переменную толщину стенки. Поэтому обычно стенка резервуара делается постоянной толщины (фиг. 265) или меняется по высоте скачкообразно (по фиг. 244).



Фиг. 265. Постройка цилиндрического наземного резервуара в подвижных формах.

Этот метод более совершенен, чем первый, требует меньше леса на опалубку. Опалубка обычно инвентаризуется и может применяться для постройки целого ряда сооружений.

в. Возведение резервуаров из сборных конструкций, изготовленных на заводе или на стройдворе [7].

г. Изготовление оболочки резервуара методом торкретирования по матерчатой опалубке. Роль внутренней опалубки в этом случае играет баллон, изготовленный из прорезиненной ткани так, что при надувании воздухом баллон принимает форму резервуара.

2. О МЕТОДАХ ВОЗВЕДЕНИЯ ВОДОНАПОРНЫХ БАШЕН

При сооружении железобетонных водонапорных башен также применяют различные методы их возведения. В связи с этим конструктивные решения водонапорных башен имеют различные варианты.

Часто применяют методы возведения, сходные с тремя первыми из перечисленных для подземных и наземных резервуаров. Однако конструкция скользящих форм (2-й метод) здесь иная.

Формы скользящей опалубки водонапорных башен поддерживаются с помощью стержней арматуры (обычно диаметром 25 мм), проходящих внутри стенки цилиндрического сплошного остова (фиг. 266) или в колоннах при сквозной конструкции остова.

Подвижная опалубка, конструктивная схема которой приведена на фигуре 266, вместе с рабочей площадкой покоится на опорных рамах из досок, число которых (обычно от 12 до 30) равно числу несущих опалубку стержней.

Число стержней и опорных рам назначают так, чтобы расстояние между ними было $1 \div 2$ м. Передвижение опалубки осуществляется специальным приспособлением.

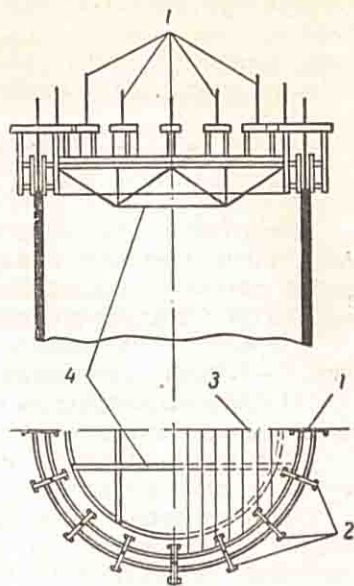
Кроме скользящих форм при сооружении остова башни применяют передвижную опалубку, переставляемую по ярусам (многократным использованием опалубки).

Требованиям этого метода отвечает конструкция водонапорной башни, изображенная на фигуре 214. Стойки, как и при скользящей опалубке, должны быть вертикальными, а ярусы (расстояние между кольцевыми связями) и сечения стоек и связей должны быть одинаковыми.

Для возведения башни при любом числе ярусов (на фиг. 214—четыре яруса в остове) достаточно иметь опалубку на два яруса.

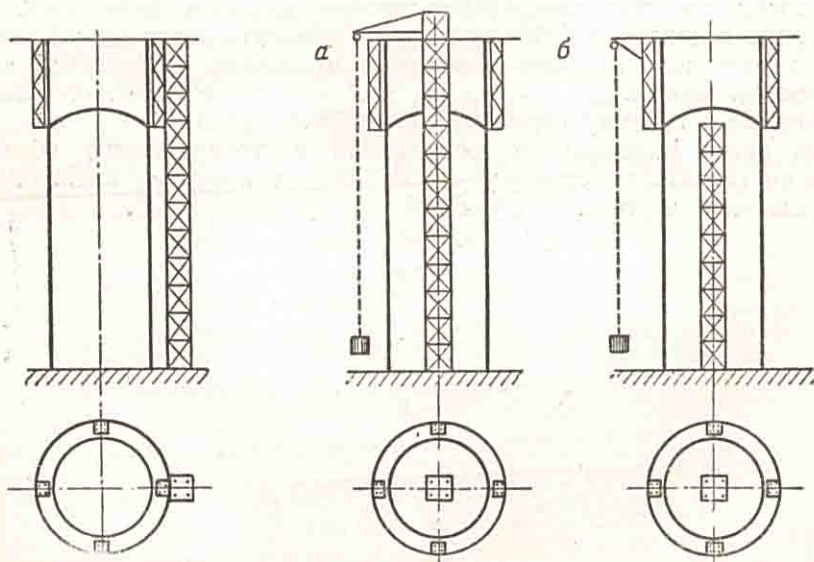
Кроме перечисленных методов возведения водонапорных башен существуют еще комбинированные методы, в которых могут применяться одновременно и сборные конструкции и передвижная и стационарная опалубка.

При конструировании водонапорных башен важно решить вопрос о месте расположения шахты-подъемника, по которой должны подаваться материалы на рабочую площадку. Например, при постройке цилиндрической железобетонной водонапорной башни оболочки расположение шахты-подъемника может быть осуществлено тремя способами (фиг. 267 и 268). С точки зрения производства строительных работ лучшим следует признать центральное расположение шахты-подъемника (фиг. 268, а и б).



Фиг. 266. Схема подвижных форм для возведения железобетонных цилиндрических водонапорных башен:

1—стержни, несущие подвижные формы; 2—опорные рамы опалубки; 3—рабочая площадка опалубки; 4—несущие фермы рабочей площадки.



Фиг. 267. Схема возведения цилиндрической водонапорной башни оболочки при боковом расположении шахты-подъемника.

Фиг. 268. Варианты способов возведения цилиндрической водонапорной башни оболочки: а—при центральном расположении шахты-подъемника на всю высоту; б—то же, при шахте-подъемника до дна резервуара.

Однако при осуществлении варианта по фигуре 268,а бетонировка днища бака не может производиться сразу; необходимо, кроме того, соответствующим образом конструировать и арматуру днища, чтобы она допускала пропуск стоек шахты-подъемника.

3. ИСПЫТАНИЕ РЕЗЕРВУАРОВ И ВОДОНАПОРНЫХ БАШЕН ПЕРЕД СДАЧЕЙ ИХ В ЭКСПЛУАТАЦИЮ

Испытание безнапорных и открытых резервуаров перед пуском их в эксплуатацию начинают с наружного осмотра, обмера и проверки качества работ специальными приборами или простым простукиванием, после чего производят наполнение их водой и наблюдение за утечкой в течение 24÷36 часов.

Деревянные резервуары из клепок перед испытанием замачивают в течение 2—3 дней постепенным наполнением резервуара водой.

Подземные резервуары должны испытываться водой в незасыпанном состоянии, чтобы обеспечить доступ к стенкам резервуара снаружи.

Резервуар считается выдержавшим испытание, если утечка в течение суток не превышает 1—1,5 см падения уровня воды.

Падение уровня замеряют по рейке с миллиметровой шкалой, устанавливаемой внутри резервуара и видимой через люк, или с помощью ясных пометок на стенке резервуара в доступном месте.

После гидравлического испытания подземный резервуар засыпают и производят осмотр изнутри.

Особенное внимание нужно обращать на места ввода труб и водопроводной и иной арматуры, проходящих через оболочку.

Напорные резервуары должны испытываться гидравлическим давлением, превышающим рабочее на 5 атм, а при рабочем давлении, меньшем 5 атм, на удвоенное против рабочего давления.

Качество бетонных работ можно проверять поцарапыванием перочинным стальным ножом. На хорошем бетоне нож не должен оставлять глубоких следов. При постукивании по звуку обнаруживают каверны и внутренние пустоты.

Окраску стальных резервуаров производят после испытания.

Корпус водонапорной башни и другие элементы перед сдачей в эксплуатацию также должны быть осмотрены и должно проверяться качество выполненных работ и соответствие их требованиям технических условий на производство и приемку строительных работ.

При сдаче выполненных сооружений в эксплуатацию обязательно должен составляться соответствующий акт, к которому прикладываются исполнительные чертежи сооружения.

ПРИМЕРЫ РАСЧЕТА РЕЗЕРВУАРОВ И БАШЕН

1. ВЫБОР ОСНОВНЫХ ГЕОМЕТРИЧЕСКИХ РАЗМЕРОВ И РАСЧЕТ ПРОЧНОСТИ ОТКРЫТОГО ЦИЛИНДРИЧЕСКОГО ЖЕЛЕЗОБЕТОННОГО РЕЗЕРВУАРА ДЛЯ СУХИХ ГРУНТОВ

Данные для расчета:

емкость резервуара (полезная) $V_0 = 400 \text{ м}^3$;
 бетон марки 170; арматура из стали марки Ст. 0;
 объемный вес грунта $\gamma_{гр} = 1,80 \text{ т/м}^3$;
 угол естественного откоса грунта $\varphi = 30^\circ$;
 допускаемое давление на грунт $[\sigma_{гр}] = 1,5 \text{ кг/см}^2$;
 коэффициент постели грунта $k_r = 4,0 \text{ кг/см}^2 = 4000 \text{ т/м}^2$.
 Расчетная схема резервуара приведена на фигуре 269.
 Сооружение по капитальности отнесено ко II классу.

а) Выбор основных геометрических размеров резервуара

Для определения высоты резервуара воспользуемся формулой (4в) главы V:

$$H = \sqrt{\frac{\eta \delta_d R_p}{2\alpha \gamma k_c \left(k_r - \frac{200k}{\sigma_r}\right)}}$$

Примем $\eta = \frac{V}{V_0} = 1,10$; $\delta_d = 0,10 \text{ м}$; $\alpha = 0,7$; $k_c = 1,10$.

Так как по нормам для заданных марок бетона и стали (см. табл. 1 и 7 приложения II):

$$R_p = 15,5 \text{ кг/см}^2 = 155 \text{ т/м}^2; k = 1,8;$$

$$\sigma_r = 2500 \text{ кг/см}^2; k_r = 1,3,$$

то

$$H = \sqrt{\frac{1,10 \cdot 0,10 \cdot 155}{2 \cdot 0,7 \cdot 1,0 \cdot 1,1 \left(1,3 - \frac{200 \cdot 1,8}{2500}\right)}} = \sqrt{9,58} = 3,11 \text{ м.}$$

Принято $H = 3,5 \text{ м}$; $H_b = 3,2 \text{ м}$.

$$D = \sqrt{\frac{4V_0}{\pi H_b}} = \sqrt{\frac{4 \cdot 400}{3,14 \cdot 3,2}} = 12,5 \text{ м.}$$

Принимаем $D = 12,6 \text{ м}$; $r = 6,3 \text{ м}$.

Необходимая толщина стенки по формуле (3а) главы V

$$\delta = \frac{\alpha \gamma H_b r}{R_p} \left(k_r - \frac{200k}{\sigma_r}\right) = \frac{0,8 \cdot 1,0 \cdot 3,2 \cdot 6,3}{155} \left(1,3 - \frac{200 \cdot 1,8}{2500}\right) = 0,120 \text{ м.}$$

Толщина стенки принята постоянной $\delta = 12 \text{ см}$.

Характеристика жесткости стенки по таблице 4 как для цилиндрической оболочки (коэффициент Пуассона принят $\nu = 0$):

$$\lambda_c = \frac{\sqrt{r\delta}}{\sqrt[4]{3}} \approx 0,76 \sqrt{r\delta} = 0,76 \sqrt{0,12 \cdot 6,3} = 0,66 \text{ м;}$$

$$\frac{H}{\lambda_c} = \frac{3,5}{0,66} = 5,3 > 3,$$

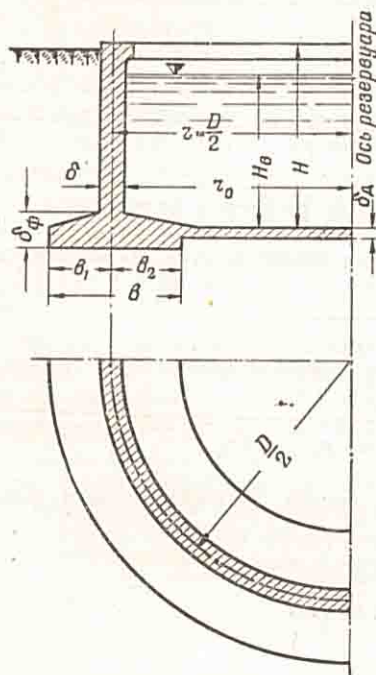
следовательно, оболочка длинная.

Примем толщину кольцевого фундамента $\delta_\phi = 15$ см. Учитывая небольшую высоту кольца, фундамент можно считать как балку на упругом основании. Задаем:

$$b_1 = 0,3 \text{ м; } b_2 = 0,4 \text{ м; } b = 0,7 \text{ м.}$$

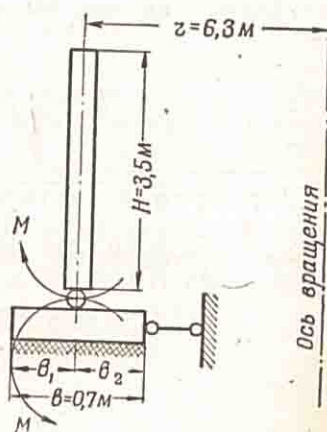
Характеристика жесткости фундаментного кольца по таблице 4:

$$\lambda_d = \sqrt[4]{\frac{4EI}{bk_r}} = \sqrt[4]{\frac{4 \cdot 2,6 \cdot 10^6 \cdot 1 \cdot 0,15^3}{1 \cdot 4 \cdot 000 \cdot 12}} = \sqrt[4]{0,73} = 0,92 \text{ м.}$$



Фиг. 269. Схема открытого цилиндрического резервуара (к примеру 1).

Учитывая небольшую толщину и ширину кольцевой ленты, будем рассчитывать ее как опору подпорной стенки, пренебрегая деформациями сечения ленты. Пренебрегаем также растяжимостью дна. Расчет ведем методом сил. Основная система схематично изображена на фигуре 270.



Фиг. 270. Схема работы опорного узла открытого цилиндрического резервуара (основная система).

Рассмотрим два случая загрузки резервуара.

1. Резервуар наполнен водой до верха и не засыпан землей.
2. Резервуар засыпан и не заполнен водой.

Уравнение совместности деформаций стенки и дна можно записать в виде:

$$M \Sigma a_{11} + \Sigma a_{1q} = 0 \quad \text{или} \quad M = - \frac{\Sigma a_{1q}}{\Sigma a_{11}}.$$

б) Определение меридиональных изгибающих моментов

Для первого случая загрузки из формул (17), (26) и (18) главы III (принимая $q_1 = \gamma H_b$; $l = H$; $q_2 = 0$):

$$M' = - \frac{-\gamma \frac{\lambda_c^4}{4} \left(\frac{H}{\lambda_c} - 1 \right) + \left[P e_0 - \gamma H_b \left(b_2 - \frac{\delta}{2} \right) e_1 \right] \frac{3\lambda_d^4}{b^3} \left(\frac{\delta}{\delta_\phi} \right)^3}{\frac{\lambda_c}{2} + 3 \left(\frac{\lambda_d}{b} \right)^3 \lambda_d \left(\frac{\delta}{\delta_\phi} \right)^3},$$

где P — вес стенки на 1 м длины окружности;

$$P = \gamma_0 H \delta = 2,5 \cdot 3,5 \cdot 0,12 = 1,05 \text{ т};$$

e_0 — эксцентриситет приложения силы P относительно середины подошвы;

e_1 — эксцентриситет равнодействующей давления воды на выступ кольцевого фундамента (центр тяжести подошвы принят посредине ленты, т. е. на расстоянии $\frac{b}{2}$ от ее края).

$$e_0 = 0,05 \text{ м}; \quad e_1 = \frac{b_1}{2} + \frac{\delta}{4} = 0,18 \text{ м};$$

$$\left(\frac{\delta}{\delta_\phi} \right)^3 = \left(\frac{12}{15} \right)^3 = \frac{64}{125} = 0,51;$$

$$\left(\frac{\lambda_d}{b} \right)^3 = \left(\frac{0,92}{0,7} \right)^3 = 1,31^3 = 2,28; \quad \lambda_c^4 = 0,66^4 = 0,19; \quad \lambda_d^4 = 0,72; \quad b^3 = 0,35.$$

$$M' = \frac{1 \cdot \frac{0,19}{4} (5,3 - 1) - [1,05 \cdot 0,05 - 1,3 \cdot 2 \cdot 0,18 (0,4 - 0,06)] \frac{3 \cdot 0,72}{0,35} 0,51}{\frac{0,66}{2} + 3 \cdot 2,28 \cdot 0,92 \cdot 0,51} =$$

$$= \frac{0,204 + 0,48}{0,33 + 3,21} = 0,192 \text{ тм} = 192 \text{ кгм}.$$

По второму случаю загрузки:

$$M'' = - \frac{\gamma_{гр} \frac{\lambda_c^4}{4} \left(\frac{H}{\lambda_c} - 1 \right) \operatorname{tg}^2 \left(45^\circ - \frac{\varphi}{2} \right) + \left[P e_0 + \gamma_{гр} H_b \left(b_1 - \frac{\delta}{2} \right) \left(\frac{b_1}{2} + \frac{\delta}{4} \right) \right] \frac{3\lambda_d^4}{b^3} \left(\frac{\delta}{\delta_\phi} \right)^3}{\frac{\lambda_c}{2} + 3\lambda_d \left(\frac{\lambda_d \delta}{b \delta_\phi} \right)^3} =$$

$$= - \frac{1,8 \cdot \frac{1}{3} \cdot \frac{0,19}{4} (5,3 - 1) + (1,05 \cdot 0,05 + 1,8 \cdot 3 \cdot 2 \cdot 0,24 \cdot 0,23) \frac{3 \cdot 0,72}{0,35} 0,51}{0,33 + 3,21} =$$

$$= - \frac{0,124 + 1,13}{3,54} = -0,326 \text{ тм} = -326 \text{ кгм}.$$

в) Расчет усилий в стенке и днище резервуара

Пользуясь формулами (19) главы III для текущих значений M_x , q_x и $T_2 = pr$, получим (приняв $\lambda = \lambda_c$):

в стенке — меридиональный изгибающий момент

$$M_x = M \eta_1 + q_1 \frac{\lambda_c^2}{2} \eta_2,$$

где q_1 — наибольшая ордината давления на стенку;

кольцевые усилия $T_2 = q_1 r \left(1 - \frac{x}{H} - \eta_1 \right) - \frac{2rM}{\lambda_c^2} \eta_2$;

в днище (фундаментной ленте) —

$$w = \frac{3}{b^3} \lambda_d^4 M_1,$$

$$\text{где } M_1 = M + Re; \quad M_1 = \frac{w}{r},$$

R — равнодействующая вертикальных сил, действующих на фундаментную ленту, а e — ее эксцентриситет по отношению к центру тяжести подошвы.

Давление на грунт:

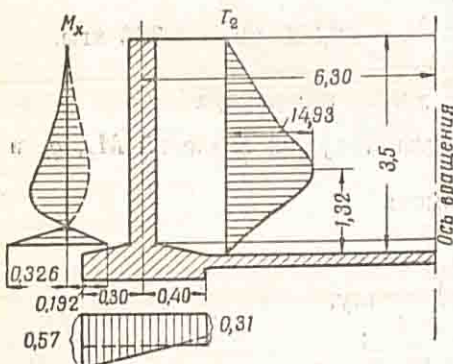
$$\sigma_{гр} = \frac{R}{b} \pm \frac{6M_1}{b^2}$$

Результаты вычислений сведены в таблицу 14а (при расчете стенки использованы коэффициенты η_1 и η_2 из табл. 3).

Таблица 14а

Расчетные усилия в стенке резервуара

| x м от низа | $\varphi = \frac{x}{\lambda c}$ | η_1 | η_2 | I-й случай загрузки (наполненный, но не засыпанный) | | | II случай (засыпанный, но пустой) | | |
|-------------|---------------------------------|----------|----------|--|---|---|---|--|--|
| | | | | $M_x = M\eta_1 + \frac{\gamma H \lambda^2 \eta_2}{2} = 0,192\eta_1 - 0,752\eta_2$ (в тм) | $q_{1r} \left(1 - \frac{x}{H} - \eta_1\right) = 22 \left(1 - \frac{x}{3,5} - \eta_1\right)$, где $q_1 = \gamma H$ | $T_2 = 22 \left(1 - \frac{x}{3,5} - \eta_1\right) - 3,64\eta_2$ | $M_x = M^*\eta_1 + \gamma_{гр} H \lg^2 \left(45^\circ - \frac{x}{2}\right) \eta_2 = -0,326\eta_1 + 0,451\eta_2$ | $q_{1r} \left(1 - \frac{x}{H} - \eta_1\right) = 13,2 \left(1 - \frac{x}{3,5} - \eta_1\right)$, где $q_1 = \gamma_{гр} H \lg^2 \left(45^\circ - \frac{x}{2}\right)$ | $T_2 = -13,2 \left(1 - \frac{x}{3,5} - \eta_1\right) + 6,20\eta_2$ |
| 0,00 | 0,00 | 1,00 | 0,00 | +0,192 | 0,0 | 0,0 | -0,326 | 0,0 | 0,0 |
| 0,07 | 0,10 | 0,90 | 0,09 | +0,104 | 1,76 | 1,44 | -0,285 | -1,05 | -0,50 |
| 0,13 | 0,20 | 0,80 | 0,16 | +0,034 | 3,52 | 2,94 | -0,154 | -2,11 | -1,13 |
| 0,26 | 0,40 | 0,62 | 0,26 | -0,077 | 6,71 | 5,76 | -0,08 | -4,03 | -2,40 |
| 0,40 | 0,60 | 0,45 | 0,31 | -0,41 | 9,59 | 8,46 | -0,006 | -5,73 | -3,8 |
| 0,66 | 1,0 | 0,20 | 0,31 | -0,20 | 13,46 | 12,33 | +0,08 | -8,10 | -6,17 |
| 0,99 | 1,5 | 0,02 | 0,22 | -0,16 | 15,36 | 14,56 | +0,10 | -9,25 | -7,88 |
| 1,32 | 2,0 | -0,06 | 0,12 | -0,10 | 15,00 | 14,93 | +0,07 | -9,00 | -8,26 |
| 1,65 | 2,5 | -0,07 | 0,05 | -0,05 | 13,16 | 13,23 | +0,05 | -7,90 | -7,60 |
| 1,98 | 3,0 | -0,04 | 0,01 | -0,01 | 10,40 | 10,37 | +0,01 | -6,24 | -6,17 |
| 2,64 | 4,0 | 0,00 | 0,00 | 0,00 | 5,3 | 5,3 | 0,00 | -3,18 | -3,18 |
| 3,50 | 5,3 | 0,00 | 0,00 | 0,00 | 0,00 | 0,00 | 0,00 | 0,00 | 0,00 |



Фиг. 271. Эпюры изгибающих моментов M_x , кольцевых сил T_2 и давления на грунт в открытом резервуаре.

Эпюры M_x и T_2 , построенные по данным таблицы 14а, приведены на фигуре 271.

Вычислим интенсивность давления на грунт под подошвой ленточного фундамента.

Первый случай (наполнен, не засыпан). Давление на внутренний выступ ленты от воды:

$$P_v = \gamma H_v \left(b_2 - \frac{\delta}{2}\right) = 1,3,2(0,4 - 0,06) = 1,09 \text{ т.}$$

$$\text{Эксцентриситет этой силы } e_1 = \frac{b_1}{2} + \frac{\delta}{4} = 0,18 \text{ м.}$$

Вес 1 пог. м (по длине окружности) стенки:

$$P = \gamma_с H \delta = 2,5 \cdot 3,5 \cdot 0,12 = 1,05 \text{ т;}$$

эксцентриситет $e_0 = 0,05$ м;

Вес подошвы $P_2 = \gamma_6 \delta_1 b = 1,0 \cdot 0,375 \cdot 0,7 = 0,265$ т, эксцентриситет $e_2 = 0$.

$$R = P + P_B + P_2 = 1,05 + 1,09 + 0,265 = 2,42 \text{ т.}$$

$$M_1 = P_B e_1 + P e_0 + M' = 1,09 \cdot 0,18 - 1,05 \cdot 0,05 - 0,192 = 0,20 - 0,24 = -0,04 \text{ тм.}$$

$$\text{На внутренней стороне } \sigma_{\text{макс}} = \frac{R}{b} + \frac{6M_1}{b^2} = \frac{2,42}{0,7} -$$

$$- \frac{6 \cdot 0,04}{0,49} = 3,60 - 0,5 = 3,1 \text{ т/м}^2 = 0,31 \text{ кг/см}^2 < [\sigma_{\text{гр}}] = 1,5 \text{ кг/см}^2.$$

На внешней стороне $\sigma_{\text{мин}} = 3,6 + 0,5 = 4,1 \text{ т/м}^2 = 0,41 \text{ кг/см}^2 < 1,5 \text{ кг/см}^2$.

Второй случай (не наполнен, засыпан). Давление на внешний выступ от грунта:

$$P_3 = \gamma_3 H \left(b_1 - \frac{\delta}{2} \right) = 1,8 \cdot 3,5 \cdot 0,24 = 1,51 \text{ т.}$$

$$\text{Эксцентриситет } e_2 = \frac{b_2}{2} + \frac{\delta}{4} = 0,28 \text{ м.}$$

$$R = P_3 + P + P_2 = 1,51 + 1,05 + 0,265 = 2,88 \text{ т.}$$

$$M_1 = P_3 e_2 + P e_0 + M'' = -1,51 \cdot 0,28 - 1,05 \cdot 0,05 + 0,326 = -0,42 - 0,05 + 0,326 = -0,14 \text{ тм.}$$

$$\text{На внутренней стороне } \sigma_{\text{мин}} = \frac{2,88}{0,7} - \frac{6 \cdot 0,14}{0,49} = 4,0 - 1,71 = 2,29 \text{ т/м}^2 = 0,23 \text{ кг/см}^2 < 1,5.$$

На внешней стороне $\sigma_{\text{макс}} = 4,0 + 1,71 = 5,71 \text{ т/м}^2 = 0,57 \text{ кг/см}^2 < 1,5$.

Эпюры давлений на грунт приведены на фигуре 271.

Кольцевой изгибающий момент в фундаментной ленте:

$$M_t = \frac{w'}{r - b_2} = \frac{3\lambda_d^4}{b^3 (r - b_2)} M_1.$$

$$\text{По второму случаю } M_t'' = \frac{3 \cdot 0,92^4}{0,7^3 (6,3 - 0,4)} 0,14 = 0,15 \text{ тм.}$$

Кольцевая растягивающая сила, действующая на ленту (от давления воды):

$$N' = Q_{\Phi} r = \left(q_1 \frac{\lambda_c^2}{2} - \frac{M}{\lambda_c} \right) r = \left(\frac{3,5 \cdot 0,66^2}{2} - \frac{0,192}{0,66} \right) 6,3 = (0,763 - 0,291) 6,3 = 2,98 \text{ т.}$$

Кольцевой момент в этом случае:

$$M_t' = - \frac{3 \cdot 0,92^4 \cdot 0,04}{0,7^3 (6,3 - 0,4)} = -0,042 \text{ тм.}$$

$$\text{Эксцентриситет силы } e_k = \frac{M_t'}{N'} = \frac{0,042}{2,98} = 0,02 \text{ м} = 2 \text{ см.}$$

Ввиду малости полученного эксцентриситета влиянием изгиба в кольцевом направлении на фундаментную ленту можно пренебречь.

Радиальный изгибающий момент в ленточном фундаменте по второму случаю загрузки, считая приближенно внутреннюю часть, как консоль, находящуюся под действием реактивного отпора грунта, распределенного по закону трапеции с ординатами:

$$q_2 = 2,3 \text{ т/м}^2; q_1 = \frac{(5,7 - 2,3) 0,4}{0,7} + 2,3 = 1,94 + 2,3 = 4,24 \text{ т/м}^2,$$

будет:

$$M_{\Phi} = q_1 \frac{b_2^2}{3} + q_2 \frac{b_2^2}{6} = \frac{0,4^2}{6} (2 \cdot 4,24 + 2,3) = 0,3 \text{ тм.}$$

Из таблицы 14а видно, что наиболее опасными для появления трещин в стенке являются кольцевые усилия, так как изгиб ничтожен. Проверим запас трещиностойчивости в точке максимума T_2 .

Необходимая кольцевая арматура

$$F_a = \frac{kT_2}{\sigma_T} = \frac{1,8 \cdot 14\,930}{2\,500} = 10,9 \text{ см}^2.$$

Примем $2 \times 12 \text{ } \varnothing 8$; $F_a = 12,06 \text{ см}^2$.

Запас трещиностойчивости:

$$k_T = \frac{100 R_p \delta + 200 F_a}{T_2} = \frac{100 \cdot 15,5 \cdot 12 + 200 \cdot 12,06}{14\,930} = 1,40 > 1,3.$$

г) Подбор сечений арматуры

Разбиваем стенку по высоте на три пояса: два верхние по 1,5 м, нижний — 0,5 м.

Результаты вычислений по подбору арматуры сведены в таблицу 15.

Таблица 15

Распределение арматуры по поясам

| № пояса | x (м) | T_2 (кг) | Кольцевая арматура на 1 м высоты пояса | | $M_{\text{макс}}$ (кгм) | Меридиональная наружная | | M (кгм) | Меридиональная внутренняя | |
|-------------|---------|------------|--|-------------------------------------|-------------------------|------------------------------|-------------------------------------|---------|------------------------------|-------------------------------------|
| | | | $F_a = \frac{kT_2}{\sigma_T}$ (расчетная) (см ²) | уложено (количество и диаметр в мм) | | расчетная (см ²) | уложено (количество и диаметр в мм) | | расчетная (см ²) | уложено (количество и диаметр в мм) |
| I) верхние | 3,5—2,0 | 10 370 | 7,48 | $2 \times 8 \varnothing 8$ | +10 | 0 | $5 \varnothing 8$ | -10 | 0 | $5 \varnothing 8$ |
| | 2,0—0,5 | 14 930 | 10,80 | $2 \times 12 \varnothing 8$ | +200 | 1,31 | $5 \varnothing 8$ | -100 | 0,70 | $5 \varnothing 8$ |
| III) нижний | 0,5—0 | 10 020 | 7,36 | $2 \times 8 \varnothing 8$ | +326 | 2,65 | $5 \varnothing 8$ | -192 | 1,30 | $5 \varnothing 8$ |

Радиальная арматура в фундаменте:

$$F_a = \mu b h_0 \approx \frac{kM_{\Phi}}{0,88 \sigma_T h_0} = \frac{1,8 \cdot 30\,000}{0,88 \cdot 2\,500 \cdot 12,0} = 2,06 \text{ см}^2.$$

Принимаем арматуру $5 \varnothing 8$ мм; $F_a = 2,51 \text{ см}^2$.

Кольцевая арматура в фундаменте:

$$F_a = \frac{kN}{\sigma_T} = \frac{1,8 \cdot 2\,980}{2\,500} = 2,15 \text{ см}^2.$$

Принимаем $5 \varnothing 8$ мм, $F_a = 2,51 \text{ см}^2$.

2. РАСЧЕТ ПОДЗЕМНОГО ЦИЛИНДРИЧЕСКОГО РЕЗЕРВУАРА ЕМКОСТЬЮ 100 м³

Данные для расчета (фиг. 272):

емкость резервуара (полезная) $V_0 = 100 \text{ м}^3$;

бетон марки 170, арматура из стали марки Ст. 3;

объемный вес грунта $\gamma_3 = 1,60 \text{ т/м}^3$;

угол естественного откоса грунта $\varphi = 30^\circ$;

допускаемое давление $[\sigma_{гр}] = 2,0 \text{ кг/см}^2$;

коэффициент постели грунта $k_r = 5,0 \text{ кг/см}^3 = 5\,000 \text{ т/м}^3$;

слой засыпки над резервуаром $h_3 = 0,5 \text{ м}$.

Сооружение II класса капитальности.

а) Выбор основных геометрических размеров резервуара

Приняв

$$V = \eta V_0 = 1,10 \cdot 100 = 110 \text{ м}^3 \text{ и } k_c = 1,05,$$

по формуле (2а) главы V получаем (с учетом наличия покрытия в резервуаре):

$$r_b = \sqrt[3]{\frac{k_c V}{2\pi}} = \sqrt[3]{\frac{1,05 \cdot 110}{6,28}} = 2,65 \text{ м};$$

$$H_b = \frac{V_0}{\pi r_b^2} = \frac{100}{3,14 \cdot 2,65^2} = 4,55 \text{ м}.$$

Принимаем:

$$H_b = 4,55 \text{ м}; \quad H = 5,0 \text{ м};$$

$$r_b = 2,65 \text{ м}; \quad r_0 = 2,75 \text{ м}.$$

Нагрузка на покрытие:

1. От земли

$$q_3 = \gamma_3 h_3 = 1,6 \cdot 0,5 = 0,8 \text{ т/м}^2 = 800 \text{ кг/м}^2.$$

2. От веса плиты при $\delta_n = 10 \text{ см}$

$$q_n = \gamma_6 \delta_n = 2,5 \cdot 0,1 = 0,25 \text{ т/м}^2 = 250 \text{ кг/м}^2.$$

3. Вес штукатурки $q_{ш} = \gamma_{ш} \delta_{ш} = 2,2 \cdot 0,02 = 0,044 \text{ т/м}^2 = 44 \text{ кг/м}^2.$

Общая нагрузка:

$$q = q_3 + q_n + q_{ш} = 800 + 250 + 44 = 1096 \text{ кг/м}^2 \approx 1100 \text{ кг/м}^2.$$

Толщину плиты покрытия назначаем по изгибающему моменту у опоры, определяемому с учетом упругого защемления края плиты:

$$M = \frac{q r_0^2}{11} = \frac{1100 \cdot 2,75^2}{11} = 756 \text{ кгм}.$$

Полезная высота сечения приближенно:

$$h_0 = 9 \sqrt{M} = 9 \sqrt{0,756} = 7,8 \text{ см};$$

$$\delta_n = h_0 + a = 7,8 + 3,0 = 10,8 \text{ см}.$$

Принимаем $\delta_n = 10 \text{ см}$.

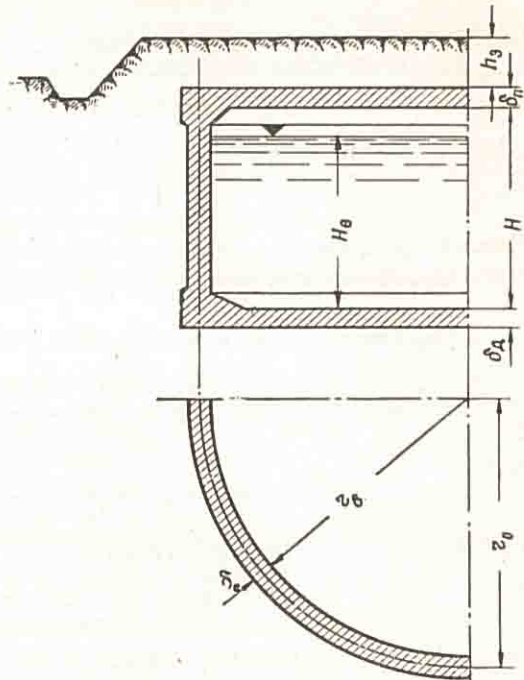
Толщину дна принимаем также $\delta_d = 10 \text{ см}$.

Толщина стенки резервуара может быть вычислена по формуле (3а) главы V

$$\delta_c = \frac{\alpha \gamma H_b r_0}{R_p} \left(k_T - \frac{200 \cdot k}{\sigma_T} \right).$$

Приняв $\alpha = 0,80$; $\gamma = 1,0$; $H_b = 4,55 \text{ м}$; $r_0 = 2,75 \text{ м}$; $R_p = 15,5 \text{ кг/см}^2 = 155 \text{ т/м}^2$; $k_T = 1,3$; $k = 1,8$ (по табл. 1 и 7 приложения II); $\sigma_T = 2500 \text{ кг/см}^2$, получим:

$$\delta_c = \frac{0,80 \cdot 1,0 \cdot 4,55 \cdot 2,75}{155} \left(1,3 - \frac{200 \cdot 1,8}{2500} \right) = 0,10 \text{ м}.$$



Фиг. 272. Схема подземного цилиндрического резервуара (к примеру 2).

Принимаем $\delta_c = 10$ см:

Характеристика жесткости стенки по таблице 4 при $\nu = 0$:

$$\lambda_c = \sqrt[4]{\frac{r_0 \delta_c}{3}} = 0,76 \sqrt[4]{2,75 \cdot 0,1} = 0,398 \approx 0,4 \text{ м};$$

$$\frac{H}{\lambda_c} = \frac{5,0}{0,4} = 12,5 > 3.$$

Следовательно, оболочка длинная.

Характеристика жесткости днища:

$$\lambda_d = \sqrt[4]{\frac{4EI_d}{bk_r}} = \sqrt[4]{\frac{4 \cdot 1,4 \cdot 10^9 \cdot 0,1^3 \cdot 1}{1 \cdot 5000 \cdot 12}} = \sqrt[4]{0,093} = 0,551 \approx 0,55 \text{ м};$$

$$\frac{r_0}{\lambda_d} = \frac{2,75}{0,55} = 5 > 3.$$

Можно приближенно считать в радиальном направлении круглую плиту на упругом основании, как простую балку на упругом основании.

б) Определение меридиональных изгибающих моментов в узлах

Основную систему выбираем по фигуре 273.

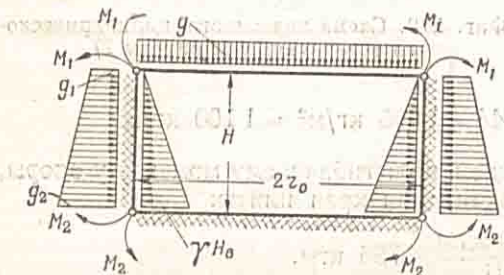
Уравнения совместности распадаются на два в силу того, что при $\frac{H}{\lambda_c} > 3$

$$a_{12} = a_{22} = 0$$

и, следовательно, можно написать:

$$M_1 = -\frac{\Sigma a_{1q}}{\Sigma a_{11}}; \quad M_2 = -\frac{\Sigma a_{2q}}{\Sigma a_{22}}$$

Эти уравнения приходится решать для трех возможных случаев загрузки:



Фиг. 273. Расчетная схема (основная система) подземного цилиндрического резервуара.

1) резервуар наполнен водой и не засыпан снаружи землей (при испытании);
2) резервуар засыпан снаружи и опорожнен от воды;
3) резервуар засыпан и наполнен водой.

Если пренебречь растяжимостью покрытия и днища (так как она мало влияет на расчет, если толщина днища или покрытия не очень мала по сравнению с толщиной стенки), то решения для различных загрузок можно получить, взяв значения коэффициентов из таблицы 7 по п. 1 для расчета покрытия и из таблицы 4 по п. 1 для расчета днища, а по п. 3 для расчета стенки резервуара.

Первый случай загрузки (резервуар наполнен, но не обсыпан).

а) Верхний узел. Из формул (17), (18), (80в), (80г) главы III (учитывая, что в нашем случае для верхнего узла $q_1 = 0$, $r = r_0$; $P_0 = 0$):

$$\Sigma a_{1q} = -\frac{\gamma H_b \lambda_c^4}{4H} + \frac{qr_0^3}{8} = -\frac{1 \cdot 4,55 \cdot 0,4^4}{4 \cdot 5} + \frac{0,3 \cdot 2,75^3}{8} = -0,006 + 0,79 = 0,78;$$

$$\Sigma a_{11} = \frac{\lambda_c}{2} + r_0 = 0,2 + 2,75 = 2,95;$$

$$M_1' = -\frac{0,78}{2,95} = -0,264 \text{ тм} = -264 \text{ кгм.}$$

б) Нижний узел. Из формул (10), (11), (17), (18) главы III (принимая для стенки $q_1 = 0$; для дна $P = q_1 \frac{r_0}{2}$; $q_1 = \gamma H_1$; $a_{2q}^n = Pa_{12} = P \frac{\lambda_c^2}{2}$):

$$\Sigma a_{2q} = \frac{qr_0 \lambda_d^2}{4} - \frac{\gamma H_b \lambda_c^4}{4H} \left(\frac{H}{\lambda_c} - 1 \right) = \frac{0,3 \cdot 2,75 \cdot 0,55^2}{4} - \frac{1 \cdot 4,55 \cdot 0,4^4}{4 \cdot 5} (12,5 - 1) =$$

$$= 0,066 - 0,069 = -0,003;$$

$$\Sigma a_{22} = \frac{\lambda_c}{2} + \lambda_d = 0,2 + 0,55 = 0,75;$$

$$M_2' = \frac{0,003}{0,75} = 0,004 \text{ тм} = 4 \text{ кгм.}$$

Второй случай загрузки (резервуар обсыпан и не наполнен). а) Верхний узел: $\Sigma a_{1q} = \frac{q_1 \lambda_c^4}{4H} \left(\frac{H}{\lambda_c} - 1 \right) + \frac{q_2 \lambda_c^4}{4H} + \frac{qr_0^3}{8}$; здесь $q_1 = \gamma_3 h_3 \text{tg}^2 \left(45^\circ - \frac{\varphi}{2} \right) = 0,533 \text{ т/м}^2$;

$$q_2 = \gamma_3 (H + h_3) \cdot \text{tg}^2 \left(45^\circ - \frac{\varphi}{2} \right) = 1,6 \cdot 6 \cdot 0,333 = 3,2 \text{ т/м}^2; q = 1,1 \text{ т/м}^2;$$

$$\Sigma a_{1q} = \frac{0,533 \cdot 0,4^4}{4 \cdot 5} (12,5 - 1) + \frac{3,2 \cdot 0,4^4}{4 \cdot 5} + \frac{1,1 \cdot 2,75^3}{8} = 0,02 + 0,010 + 2,75 = 2,78;$$

$$M_1'' = -\frac{2,78}{2,95} = -0,943 \text{ тм} = -943 \text{ кгм.}$$

б) Нижний узел:

$$\Sigma a_{2q} = \frac{q_2 \lambda_c^4}{4H} \left(\frac{H}{\lambda_c} - 1 \right) + \frac{q_1 \lambda_c^4}{4H} + \frac{qr_0 \lambda_d^2}{4} = \frac{3,2 \cdot 0,4^4}{4 \cdot 5} (12,5 - 1) + \frac{0,533 \cdot 0,4^4}{4 \cdot 5} +$$

$$+ \frac{1,1 \cdot 2,75 \cdot 0,55^2}{4} = 0,116 + 0,0017 + 0,23 = 0,348;$$

$$M_2'' = -\frac{0,348}{0,75} = -0,464 \text{ тм} = -464 \text{ кгм.}$$

Третий случай загрузки (резервуар наполнен и обсыпан). а) Верхний узел:

$$\Sigma a_{1q} = -0,006 + 2,78 = 2,774; \Sigma a_{11} = 2,95;$$

$$M_1''' = -0,94 \text{ тм} = -940 \text{ кгм.}$$

б) Нижний узел

$$\Sigma a_{2q} = 0,348 - 0,069 = 0,279; \Sigma a_{22} = 0,75;$$

$$M_2''' = -\frac{0,279}{0,75} = -0,373 \text{ тм} = -373 \text{ кгм.}$$

в) Расчет усилий в стенке и дне резервуара

Для расчета значений M_x и T_2 в стенке на основе формул (21) главы III и таблиц 4 и 3 (заменив соответственно η_l на η_b и η_n на η_m) получаем: первый случай:

$$M_x = M_1 \eta_1^b + M_2 \eta_1^m + \frac{\gamma H \lambda_c^2}{2} \eta_2^m = -0,264 \eta_1^b + 0,004 \eta_1^m + 0,4 \eta_2^m;$$

$$T_2 = \gamma H r_0 \left(\frac{x_b}{H} - \eta_1^m \right) - \frac{2r_0}{\lambda_c^2} [M_1 \eta_1^b + M_2 \eta_1^m] = 2,75 x_b - 13,75 \eta_1^b + 16,5 \eta_2^b - 2,5 \eta_2^m;$$

второй случай:

$$M_x = M_1 \eta_1^b + M_2 \eta_1^m + \frac{q_1 \lambda_c^2}{2} \eta_2^b + \frac{q_2 \lambda_c^2}{2} \eta_2^m = -0,943 \eta_1^b - 0,464 \eta_1^m - 0,04 \eta_2^b - 0,26 \eta_2^m;$$

$$T_2 = q_1 r_0 \left(1 - \frac{x_b}{H} - \eta_1^b \right) + q_2 r_0 \left(\frac{x_b}{H} - \eta_1^m \right) - \frac{2r_0}{\lambda_c^2} (M_1 \eta_1^b + M_2 \eta_1^m) = -0,294 x_b -$$

$$- 1,76 x_b + 1,47 \eta_1^b + 58,8 \eta_2^b + 8,8 \eta_1^m + 29,0 \eta_2^m;$$

третий случай

$$M_x = -0,94\eta_1^B - 0,373\eta_1^H - 0,04\eta_2^B + 0,144\eta_2^H;$$

$$T_2 = 0,294x_H - 4,99\eta_1^H + 23,3\eta_2^H + 0,998x_B - 1,47\eta_1^B + 58,7\eta_2^B.$$

Результаты вычислений значений M_x и T_2 в стенке приведены в таблице 16.

Таблица 16

Расчетные усилия в стенке резервуара

| x_H м от низа | $\frac{x_H}{\lambda_C}$ | η_1^H | η_2^H | x_B м от верха | $\frac{x_B}{\lambda_C}$ | η_1^B | η_2^B | Первый случай загрузки | | Второй случай загрузки | | Третий случай загрузки | |
|-----------------|-------------------------|------------|------------|------------------|-------------------------|------------|------------|------------------------|------------------|------------------------|------------------|------------------------|------------------|
| | | | | | | | | M_x (тм) | T_2 (т/пог. м) | M_x (тм) | T_2 (т/пог. м) | M_x (тм) | T_2 (т/пог. м) |
| 0,0 | 0,00 | 1,00 | 0,00 | 5,00 | 12,50 | 0,00 | 0,00 | 0,004 | 0,00 | -0,464 | 0,00 | -0,373 | 0,00 |
| 0,10 | 0,25 | 0,76 | 0,19 | 4,90 | 12,25 | 0,00 | 0,00 | 0,106 | 1,57 | -0,400 | 3,51 | -0,311 | 5,59 |
| 0,20 | 0,50 | 0,53 | 0,29 | 4,80 | 12,00 | 0,00 | 0,00 | 0,137 | 5,17 | -0,321 | 4,53 | -0,240 | 7,87 |
| 0,40 | 1,00 | 0,20 | 0,31 | 4,60 | 11,50 | 0,00 | 0,00 | 0,132 | 9,12 | -0,174 | 2,52 | -0,120 | 10,72 |
| 0,60 | 1,50 | 0,02 | 0,22 | 4,40 | 11,00 | 0,00 | 0,00 | 0,089 | 11,27 | -0,066 | -1,38 | -0,039 | 9,25 |
| 0,80 | 2,00 | -0,06 | 0,12 | 4,20 | 10,50 | 0,00 | 0,00 | 0,046 | 12,08 | -0,004 | -4,68 | 0,005 | 7,05 |
| 1,20 | 3,00 | -0,04 | 0,01 | 3,80 | 9,50 | 0,00 | 0,00 | 0,003 | 11,00 | 0,016 | -7,10 | 0,013 | 3,87 |
| 2,50 | 6,25 | 0,00 | 0,00 | 2,50 | 6,25 | 0,00 | 0,00 | 0,000 | 6,88 | 0,000 | -5,13 | 0,000 | 1,67 |
| 3,80 | 9,50 | 0,00 | 0,00 | 1,20 | 3,00 | -0,04 | 0,01 | 0,011 | 3,47 | 0,037 | -2,68 | 0,037 | 0,62 |
| 4,20 | 10,50 | 0,00 | 0,00 | 0,80 | 2,00 | -0,06 | 0,12 | 0,016 | 4,18 | 0,051 | 4,35 | 0,052 | 6,53 |
| 4,40 | 11,00 | 0,00 | 0,00 | 0,60 | 1,50 | 0,02 | 0,22 | -0,005 | 5,28 | -0,028 | 10,59 | -0,028 | 12,23 |
| 4,60 | 11,50 | 0,00 | 0,00 | 0,40 | 1,00 | 0,20 | 0,31 | -0,053 | 6,16 | -0,202 | 16,44 | -0,200 | 17,04 |
| 4,80 | 12,00 | 0,00 | 0,00 | 0,20 | 0,50 | 0,53 | 0,29 | -0,140 | 5,34 | -0,510 | 16,02 | -0,500 | 16,57 |
| 4,90 | 12,25 | 0,00 | 0,00 | 0,10 | 0,25 | 0,76 | 0,19 | -0,200 | 3,40 | -0,791 | 10,38 | -0,723 | 10,89 |
| 5,00 | 12,50 | 0,00 | 0,00 | 0,00 | 0,00 | 1,00 | 0,00 | -0,264 | 0,00 | -0,943 | 0,00 | -0,940 | 0,00 |

Соответственно для плиты дна, принимая распределение радиальных изгибающих моментов приближенно, как для балки постоянного сечения, а кольцевые моменты, исходя из зависимости:

$$M_t = \frac{EI\omega'}{r} = \frac{\omega'}{r},$$

где $r = r_0 - x$ — расстояние от центра плиты до рассматриваемой точки;

$\omega = EIy$ — увеличенный в EI раз прогиб балки на упругом основании;

$\frac{d\omega}{dr} = \omega' = EIy'$; ω' — EI -кратный угол поворота плиты в точке,

взятой на расстоянии r от центра.

Вычисление изгибающих моментов в плите дна при таких обозначениях ведется по формулам (9) главы III (приняв $M_0 = M_2$; $Q_0 = \frac{qr_0}{2}$):

$$M_r = M_2(\eta_1 + \eta_2) + q \frac{r_0}{2} \lambda_D \eta_2;$$

$$M_t = M_2 \frac{\lambda_D}{r} \eta_1 + q \frac{r_0 \lambda_D^2}{4r} (\eta_1 + \eta_2).$$

Давление на грунт (знак + означает сжатие):

$$\sigma_{гр} = q_0 + \frac{2M_2}{\lambda_D^2} (\eta_1 - \eta_2) + \frac{qr_0}{\lambda_D} \eta_1,$$

где q — нагрузка на 1 м² покрытия;

q_0 — давление жидкости на днище и собственный вес плиты дна.

После подстановки вычисленных ранее величин M_2 , q , λ_d , получаем расчетные формулы.

Первый случай:

$$M_r = 0,004 (\eta_1 + \eta_2) + 0,227\eta_2; \quad M_t = 0,002 \frac{\eta_1}{r} + 0,063 \frac{\eta_1 + \eta_2}{r};$$

$$\sigma_{гр} = 5,30 + 0,026 (\eta_1 - \eta_2) + 1,5\eta_1.$$

Второй случай:

$$M_r = -0,464 (\eta_1 + \eta_2) + 0,83 \eta_2; \quad M_t = -0,255 \frac{\eta_1}{r} + 0,23 \frac{\eta_1 + \eta_2}{r};$$

$$\sigma_{гр} = 0,3 - 3,06 (\eta_1 - \eta_2) + 5,5\eta_1.$$

Третий случай:

$$M_r = -0,373 (\eta_1 + \eta_2) + 0,83\eta_2; \quad M_t = -0,205 \frac{\eta_1}{r} + 0,23 \frac{\eta_1 + \eta_2}{r};$$

$$\sigma_{гр} = 5,30 - 2,46 (\eta_1 - \eta_2) + 5,5\eta_1.$$

Вычисленные по этим формулам значения усилий в днище и грунте сводим в таблицу 17.

Таблица 17

Расчетные усилия в днище резервуара и давление на грунт

| x-расстояние от стенки | $r=r_0-x$ | $\varphi = \frac{x}{\lambda_d}$ | η_1 | η_2 | Первый случай загрузки | | | Второй случай загрузки | | | Третий случай загрузки | | |
|------------------------|-----------|---------------------------------|----------|----------|------------------------|------------|-----------------------------------|------------------------|------------|-----------------------------------|------------------------|------------|-----------------------------------|
| | | | | | M_r (тм) | M_t (тм) | $\sigma_{гр}$ (т/м ²) | M_r (тм) | M_t (тм) | $\sigma_{гр}$ (т/м ²) | M_r (тм) | M_t (тм) | $\sigma_{гр}$ (т/м ²) |
| 0,00 | 2,75 | 0,00 | 1,00 | 0,00 | 0,004 | 0,023 | 6,82 | -0,464 | -0,009 | 2,74 | -0,373 | 0,009 | 8,34 |
| 0,14 | 2,61 | 0,25 | 0,76 | 0,19 | 0,047 | 0,023 | 6,46 | -0,280 | 0,009 | 2,74 | -0,198 | 0,024 | 8,08 |
| 0,28 | 2,47 | 0,50 | 0,53 | 0,29 | 0,069 | 0,021 | 5,81 | -0,140 | 0,022 | 2,48 | -0,066 | 0,032 | 7,63 |
| 0,55 | 2,20 | 1,00 | 0,20 | 0,31 | 0,073 | 0,016 | 5,60 | 0,021 | 0,030 | 1,74 | 0,067 | 0,035 | 6,67 |
| 0,83 | 1,92 | 1,50 | 0,20 | 0,22 | 0,051 | 0,008 | 5,33 | 0,071 | 0,026 | 1,04 | 0,092 | 0,026 | 5,90 |
| 1,10 | 1,65 | 2,00 | -0,06 | 0,12 | 0,027 | 0,002 | 5,20 | 0,065 | 0,018 | 0,52 | 0,078 | 0,026 | 5,42 |
| 1,65 | 1,10 | 3,00 | -0,04 | 0,01 | 0,002 | -0,001 | 5,24 | 0,022 | 0,003 | 0,23 | 0,019 | -0,001 | 5,37 |
| 2,75 | 0,00 | 5,00 | 0,00 | 0,00 | 0,000 | 0,000 | 5,30 | 0,000 | 0,000 | 0,30 | 0,000 | 0,000 | 5,30 |

Плита покрытия. По формулам (80в), (80г) главы III

$$M_r = \frac{3}{16} q r_0^2 \left[1 - \left(\frac{r}{r_0} \right)^2 \right] + M_1;$$

$$M_t = \frac{q r_0^2}{16} \left[3 - \left(\frac{r}{r_0} \right)^2 \right] + M_1.$$

Первый случай. В центре плиты $\left(\frac{r}{r_0} = 0 \right)$:

$$M_r = \frac{3}{16} 0,3 \cdot 2,75^2 - 0,264 = 0,422 - 0,264 = 0,158 \text{ тм};$$

$$M_t = \frac{3 \cdot 0,3 \cdot 2,75^2}{16} - 0,264 = 0,158 \text{ тм}.$$

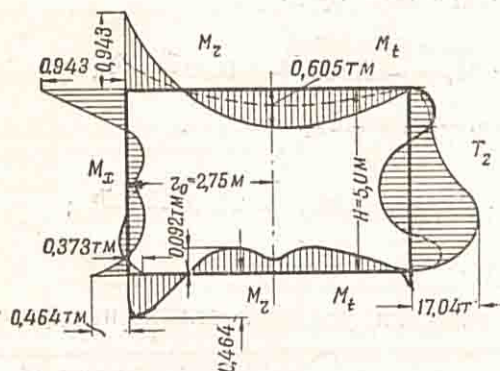
У стенки: $M_r = M_1 = 0,264 \text{ тм}.$

$$M_t = \frac{0,3 \cdot 2,75^2}{16} (3 - 1) + M_1 = 0,281 - 0,264 = 0,017 \text{ тм}.$$

Второй случай. В центре: $M_r = \frac{3}{16} 1,1 \cdot 2,75^2 - 0,943 = 1,545 - 0,943 = 0,602 \text{ тм} = M_t$.

У стенки: $M_r = M_1 = -0,943 \text{ тм}$;

$$M_t = \frac{1,1 \cdot 2,75^2 (3-1)}{16} - 0,943 = 1,033 - 0,943 = 0,09 \text{ тм}.$$



Фиг. 274. Расчетные эпюры изгибающих моментов и кольцевых сил в подземном цилиндрическом резервуаре.

Третий случай. В центре: $M_r = M_t = 0,605 \text{ тм}$.

У стенки: $M_r = -0,94$; $M_t = 0,093 \text{ тм}$.

Эпюры изгибающих моментов и кольцевых усилий представлены на фигуре 274.

3. РАСЧЕТ ПОДЗЕМНОГО ЖЕЛЕЗО-БЕТОННОГО РЕЗЕРВУАРА ЕМКОСТЬЮ 200 м³ С ОДНОЙ КОЛОННОЙ В ЦЕНТРЕ ПРИ ПЛОСКИХ ПОКРЫТИИ И ДНИЩЕ

Данные для расчета:

полезная емкость резервуара

$$V_0 = 200 \text{ м}^3;$$

сооружение II класса капитальности;

бетон марки 200, арматура периодического профиля, горячекатанная из стали марки Ст. 5; $\sigma_r = 3500 \text{ кг/см}^2$;

объемный вес грунта: засыпка (рухнувший грунт) $\gamma_3 = 1,6 \text{ т/м}^3$, уплотненный грунт $\gamma_{гр} = 1,9 \text{ т/м}^3$;

угол естественного откоса грунта $\varphi = 30^\circ$;

допускаемое давление на грунт $\sigma_{гр} = 2,5 \text{ кг/см}^2$;

коэффициент постели грунта $k_r = 5 \text{ кг/см}^3 = 5000 \text{ т/м}^3$;

высота слоя засыпки $h_3 = 1,0 \text{ м}$.

а) Выбор основных геометрических размеров резервуара

Диаметр резервуара в свету по формуле (7) главы V:

$$D_0 = 2 \sqrt[5]{\frac{0,3\gamma\eta^2 V_0^2}{\chi c_2 R_p (k_n + k_d) \sqrt{q}}} = 2 \sqrt[5]{\frac{0,3 \cdot 1 \cdot 1,33 \cdot 40000}{1,05 \cdot 0,08 \cdot 170 \cdot 1,4 \sqrt{2}}} = 2 \cdot 3,56 = 7,12 \text{ м}.$$

Значения величин, входящих в данную формулу, приняты:

$$\chi = 1,05; c_2 = 0,08; k_n + k_d = 1,4; q = 2 \text{ т/м}^2; \eta = 1,15; R_p = 170 \text{ т/м}^2.$$

Для расчета принимаем следующие размеры конструкции:

диаметр в свету $D_0 = 8,00 \text{ м}$,

диаметр в осях $D = 8,12 \text{ м}$,

высота в свету $H_1 = 4,50 \text{ м}$,

высота в осях $H = 4,62 \text{ м}$,

толщина стенки $\delta_c = 0,12 \text{ м}$,

толщина днища $\delta_d = 0,12 \text{ м}$,

толщина покрытия $\delta_n = 0,12 \text{ м}$.

Расчет производим для двух случаев загрузки:

1. Резервуар засыпан и опорожнен. В этом случае производится расчет следующих элементов:

а) верхний узел,

б) стенка,

- в) покрытие,
- г) нижний узел,
- д) днище.

2. Резервуар наполнен, но не обсыпан. В этом случае достаточно произвести расчет только двух элементов:

- а) нижний узел,
- б) стенка.

Покрытие рассчитываем, как круглую пластинку, упруго зажатую по краям и опертую в центре на колонну.

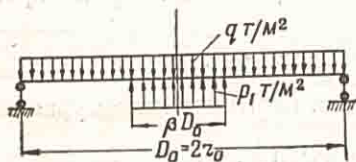
Днище рассчитываем как плиту, лежащую на упругом основании, упруго зажатую стенками резервуара.

Коэффициент Пуассона (поперечного расширения при сжатии) принимается $\nu = 0$.

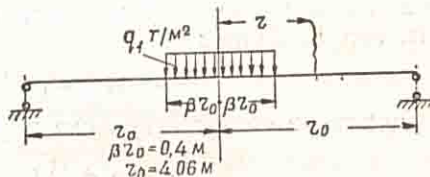
б) Первый случай загрузки (резервуар засыпан и опорожнен)

Расчет верхнего узла. В верхнем узле соединяются два элемента: плита покрытия и стенка.

Для определения упругих деформаций, возникающих в узле, рассмотрим отдельно деформации элементов, входящих в него.



Фиг. 275. Схема загрузки покрытия цилиндрического резервуара с колонной в центре (к примеру 3).



Фиг. 276. Частичное нагружение плиты покрытия резервуара равномерной нагрузкой.

Плита (фиг. 275).

Нагрузка на 1 м^2 перекрытия:

вес засыпки

$$q_3 = h_3 \gamma_3 = 1,0 \cdot 1,6 = 1,6 \text{ т/м}^2;$$

собственный вес плиты

$$q_n = 0,12 \cdot 2400 = 0,288 \text{ т/м}^2;$$

снеговой покров $q_c = 0,100 \text{ т/м}^2$;

полная нагрузка

$$q = q_3 + q_n + q_c = 1,6 + 0,288 + 0,1 = 1,988 \approx 2,0 \text{ т/м}^2.$$

Деформации для круглой плиты, нагруженной равномерной нагрузкой и опертой по внешнему контуру (увеличенные в EI раз): прогиб по формуле (80в) главы III

$$w = \frac{qr_0^4}{64} \left[5 - 6 \left(\frac{r}{r_0} \right)^2 + \left(\frac{r}{r_0} \right)^4 \right];$$

угол поворота

$$w' = -\frac{qr_0^3}{16} \left[\left(\frac{r}{r_0} \right)^3 - 3 \left(\frac{r}{r_0} \right) \right];$$

прогиб в центре плиты

$$w_{\text{макс}} = \frac{5}{64} qr_0^4.$$

Деформации для круглой плиты, нагруженной частично равномерной нагрузкой и опертой по внешнему контуру (фиг. 276):

$$\beta = \frac{D_k}{D} = \frac{0,8}{8,12} \approx 0,1.$$

Прогиб на участке от $r=0$ до $r=\beta r_0$, увеличенный в EI раз:

$$\omega_1 = q_1 \frac{r_0^4}{64} \left\{ (12 - 7\beta^2) \beta^2 - (8\beta^2 - 2\beta^4) \left(\frac{r}{r_0}\right)^2 + \left(\frac{r}{r_0}\right)^4 + 4\beta^2 \left[\beta^2 + 2 \left(\frac{r}{r_0}\right)^2 \right] \ln \beta \right\}.$$

Прогиб в центре плиты при $\frac{r}{r_0} = 0$:

$$\omega_0 = q_1 \frac{r_0^4}{64} \{ (12 - 7\beta^2) \beta^2 + 4\beta^4 \ln \beta \} = q_1 \frac{r_0^4}{64} (12\beta^2 - 7\beta^4 + 4\beta^4 \ln \beta).$$

Угол поворота $\omega^* = \frac{d\omega}{dr}$.

Прогиб на участке от $r = \frac{D_k}{2} = \beta r_0$ до $r = r_0$, увеличенный в EI раз:

$$\omega_1 = q_1 \frac{\beta^2 r_0^4}{32} \left\{ (6 - \beta^2) \left[1 - \left(\frac{r}{r_0}\right)^2 \right] + 2 \left[\beta^2 + 2 \left(\frac{r}{r_0}\right)^2 \right] \ln \frac{r}{r_0} \right\}.$$

Угол поворота на участке от $r = \beta r_0$ до $r = r_0$ (увеличенный в EI раз):

$$\omega^* = q_1 \frac{\beta^2 r_0^3}{32} \left\{ \left[2\beta^2 - 8 + 8 \ln \frac{r}{r_0} \right] \left(\frac{r}{r_0}\right) + 2\beta^2 \left(\frac{r_0}{r}\right) \right\}.$$

Определение нагрузки, передающейся на колонну. Нагрузка, передающаяся на колонну, определяется из условия равенства нулю прогиба плиты над колонной:

$$\omega = \omega_{\max} - \omega_0 = 0, \text{ откуда } \omega_{\max} = \omega_0.$$

Подставив соответствующие выражения для прогибов, имеем уравнение:

$$\frac{5}{64} q r_0^4 = q_1 \frac{r_0^4}{64} (12\beta^2 - 7\beta^4 + 4\beta^4 \ln \beta),$$

откуда

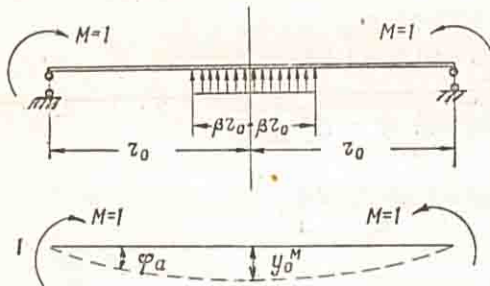
$$q_1 = \frac{5q}{12\beta^2 - 7\beta^4 + 4\beta^4 \ln \beta} \text{ Т/М}^2.$$

Подставив числовые значения для данного случая, имеем:

$$q_1 = \frac{5q}{[12 \cdot 0,01 - 7 \cdot 0,0001 + 4 \cdot 0,0001 (-2,3026)]} = 42,2q;$$

$$q_1 = 42,2 \cdot 2,0 = 84,4 \text{ Т/М}^2.$$

Площадь капители будет $\frac{3,14 \cdot 0,8^2}{4} = 0,5025 \text{ м}^2$.



Фиг. 277. Деформации плиты покрытия резервуара от моментов, распределенных по краям.

Давление на колонну $P_k = 0,5025 \times 84,4 = 42,4 \text{ т}$.

Определим деформации для круглой плиты, опертой по контуру и нагруженной по краям изгибающими моментами $M=1$, распределенными равномерно по периметру, и, кроме того, равномерной нагрузкой в центре плиты (фиг. 277), распределенной по площади капители.

Рассмотрим раздельно оба элементарных случая.

Прогиб от момента, приложенного на внешнем контуре, по формуле (80в) главы III:

$$\omega_M = M \frac{r_0^2}{2} \left[1 - \left(\frac{r}{r_0}\right)^2 \right].$$

Прогиб в центре:

$$\omega_M^0 = M \frac{r_0^2}{2}.$$

Угол поворота при $r=r_0$ будет $\omega_M^* = Mr_0$.
 Прогиб в центре плиты от нагрузки q_2 :

$$\omega_0 = q_2 \frac{r_0^4}{64} [12\beta^2 - 7\beta^4 + 4\beta^4 \ln \beta].$$

Угол поворота при $r=r_0$:

$$\omega_0^* = q_2 \frac{\beta^2 r_0^3}{32} (4\beta^2 - 8).$$

Определение давления на колонну от момента на краю. Нагрузка на колонну определяется из условия равенства нулю прогиба над колонной:

$$y = y_0^M - y_0^{q_2} = 0.$$

Отсюда $\omega_M^0 = \omega_0$

или

$$\frac{Mr_0^3}{2} = \frac{q_2 r_0^4}{64} (12\beta^2 - 7\beta^4 + 4\beta^4 \ln \beta);$$

$$q_2 = \frac{32M}{r_0^2 (12\beta^2 - 7\beta^4 + 4\beta^4 \ln \beta)} = \frac{32M}{0,1184r_0^2} = \frac{270M}{r_0^2}.$$

При $M=1$

$$q_2 = \frac{270 \cdot 1}{4,06^2} = 16,4 \text{ т/м}^2.$$

Уменьшение давления на колонну от влияния $M=1$, приложенного по наружному контуру плиты покрытия резервуара, составит:

$$P'_k = 16,4 \cdot 0,5025 = 8,24 \text{ т}.$$

Определение углов поворота плиты перекрытия на опоре при $r=r_0$.

1) Угол поворота плиты, нагруженной равномерной нагрузкой и моментом $M=1$ по краю [формулы (80в); (80г) главы III]:

$$\omega^* = \omega_M^* + \omega_0^*$$

или

$$\omega^* = Mr_0 - q_2 \frac{\beta^2 r_0^3}{32} (8 - 4\beta^2).$$

Подставив числовые значения, будем иметь:

$$\omega^* = 1 \cdot 4,06 + \frac{16,4 \cdot 4,06 \cdot 0,4^2}{32} (-8 + 4 \cdot 0,01) = 4,06 - 2,68 = +1,38.$$

2) Угол поворота края плиты от нагрузки q на основании вышеприведенных выводов:

$$\omega^* = \frac{qr_0^3}{8} + q_1 \frac{\beta^2 r_0^3}{32} (4\beta^2 - 8);$$

$$\omega^* = \frac{2,0 \cdot 4,06^3}{8} + \frac{84,4 \cdot 4,06 \cdot 0,4^2 \cdot (-8 + 4 \cdot 0,01)}{32} = 16,72 - 13,75 = +2,97.$$

Следовательно, имеем для края плиты перекрытия:

угол поворота от $M=1$ $a_{11}^M = 1,38$;

угол поворота от равномерной нагрузки $a_{1q}^M = +2,97$.

Стенка. Давление грунта вверху:

$$p_2 = \gamma_3 h_3 \operatorname{tg}^2 \left(45^\circ - \frac{\varphi}{2} \right) = 1,9 \cdot 1,12 \cdot 0,364 = 0,774 \text{ т/м}^2.$$

Давление грунта внизу:

$$p_1 = \gamma_3 (h_3 + H) \operatorname{tg}^2 \left(45^\circ - \frac{\varphi}{2} \right) = 1,9 \cdot 5,62 \cdot 0,364 = 3,88 \text{ т/м}^2.$$

Характеристика жесткости стенки:

$$\lambda_c = 0,76 \sqrt{\delta_c r_0} = 0,76 \sqrt{0,12 \cdot 4,06} = 0,53 \text{ м}.$$

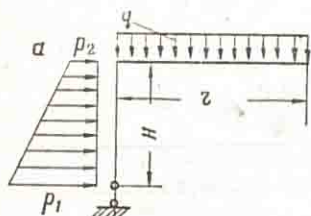
Деформации стенки, имеющей верхний край шарнирно закрепленным и свободный нижний край (фиг. 278, б): поворот верхнего края стенки от $M=1$ по формуле (17) главы III

$$a_{11}^c = \frac{\lambda_c}{2} = \frac{0,53}{2} = 0,265;$$

поворот стенки цилиндрического резервуара от нагрузки при свободных краях

$$a_{1q}^c = (p_1 - p_2) \frac{\lambda_c^4}{4H}.$$

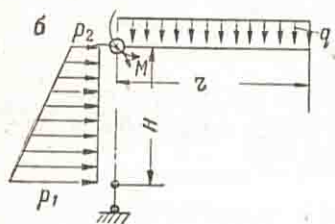
Для того чтобы получить поворот края стенки при шарнирном опирании наверху, надо к верхнему краю стенки приложить поперечную силу Q , которая препятствует смещению края:



$$Q = p_2 \frac{\lambda_c}{2}.$$

Поворот, соответствующий этой поперечной силе:

$$Qa_{12}^c = -\frac{p_2 \lambda_c}{2} \frac{\lambda_c^2}{2} = -\frac{p_2 \lambda_c^3}{4},$$



где a_{12}^c — поворот края стенки от поперечной силы $Q=1$.

Поворот верхнего края стенки при шарнирном его опирании от нагрузки будет:

$$\begin{aligned} a_{1q}^c &= Qa_{12}^c + a_{1q} = -\frac{p_2 \lambda_c^3}{4} + (p_2 - p_1) \frac{\lambda_c^4}{4H} \\ &= -\frac{0,774 \cdot 0,53^3}{4} + (0,774 - 3,88) \frac{0,53^4}{4 \cdot 4,62} = \end{aligned}$$

$$= -0,774 \cdot 0,0372 - 2,106 \cdot 0,00438 = -0,0381.$$

Фиг. 278. Схема работы верхнего узла резервуара (при первом случае загрузки): а — заданная система; б — основная система.

Определение момента в верхнем узле (фиг. 278). Так как в нашем случае узел горизонтальных смещений не имеет, то пишем

только одно уравнение равновесия узла:

$$M(a_{11}^n + a_{11}^c) = a_{1q}^n + a_{1q}^c;$$

$$M(1,38 + 0,265) = -0,0381 + 2,97;$$

$$1,645M = 2,93;$$

откуда момент в верхнем узле будет:

$$M = \frac{2,93}{1,645} = 1,78 \text{ тм.}$$

Определение изгибающих моментов в плите покрытия. Для определения внутренних усилий в плите покрытия разобьем схему действующих нагрузок (фиг. 279, а) на составные части (фиг. 279, б и в).

Радиальные моменты от нагрузки q (без учета колонны)

$$M_r = \frac{3qr_0^2}{16} \left[1 - \left(\frac{r}{r_0} \right)^2 \right].$$

В центре плиты, при $r=0$:

$$M_r = \frac{3qr_0^2}{16} = \frac{3 \cdot 2,0 \cdot 4,06^2}{16} = 6,18 \text{ тм.}$$

В сечении при $r = 2$ м:

$$M_r = \frac{3qr_0^2}{16} \left[1 - \left(\frac{r}{r_0} \right)^2 \right] = \frac{2,0 \cdot 4,06^2}{16} \cdot 3 \left[1 - \left(\frac{2}{4,06} \right)^2 \right] = 4,68 \text{ тм.}$$

Кольцевые изгибающие моменты по четвертой формуле (80в) главы III:

$$M_t = \frac{qr_0^2}{16} \left[3 - \left(\frac{r}{r_0} \right)^2 \right].$$

В центре плиты:

$$M_t = \frac{3qr_0^2}{16} = 6,18 \text{ тм.}$$

На расстоянии 2 м от центра (при $r = 2,0$):

$$M_t = \frac{2 \cdot 4,06^2}{16} [3 - (0,242)^2] = 5,68 \text{ тм.}$$

Сечение у опоры ($r = 4,06$ м):

$$M_t = \frac{2,0 \cdot 4,06^2}{8} = 4,12 \text{ тм.}$$

Давление на капитель p т/м² вычисляем по формулам, введенным для плиты, упруго заделанной по контуру, нагруженной равномерно распределенной нагрузкой q и изгибающим моментом в заделке M :

$$q = 2,0 \text{ т/м}^2; \quad M = 1,78 \text{ тм};$$

$$p = 42,2q - \frac{270}{r_0^2} M = 42,2 \cdot 2,0 - \frac{270}{4,06^2} \cdot 1,78 = 84,4 - 29,2 = 55,2 \text{ т/м}^2.$$

Давление на колонну:

$$P_k = pF_k = 55,2 \frac{3,14 \cdot 0,80^2}{4} = 55,2 \cdot 0,5025 = 28,0 \text{ т.}$$

Определение вертикального давления на стенку резервуара. Вся нагрузка на перекрытие:

$$\frac{3,14 \cdot 8,12^2}{4} 2,0 = 105,0 \text{ т.}$$

Нагрузка, передающаяся на стенку:

$$105,0 - 28,0 = 77 \text{ т.}$$

Нагрузка на 1 м длины стенки:

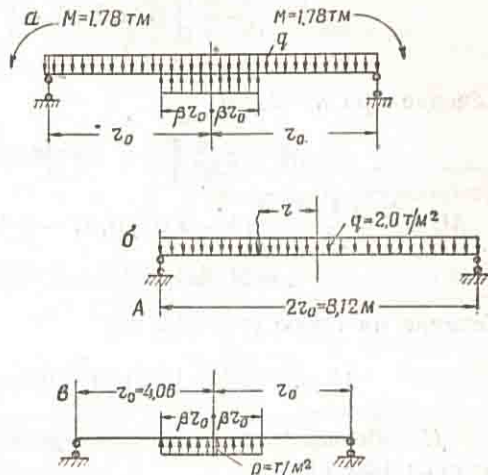
$$P_c = \frac{77}{3,14 \cdot 8,12} = 3,0 \text{ т/м.}$$

Радиальные моменты от давления на капитель. В центре при $r = 0$:

$$\begin{aligned} M_r &= p \frac{r_0^2}{16} \left[3\beta^4 - 3 \left(\frac{r}{r_0} \right)^2 - 4\beta^2 \ln \beta \right] = \\ &= \frac{55,2 \cdot 4,06^2}{16} [3 \cdot 0,0001 - 0 - 4 \cdot 0,01(-2,303)] = \\ &= 56,8 (0,0003 + 0,0922) = 56,8 \cdot 0,0925 = 5,28 \text{ тм.} \end{aligned}$$

Сечение при $r = 2,0$ м:

$$\begin{aligned} M_r &= p \frac{r_0^2}{16} \left[3\beta^4 - 3 \left(\frac{r}{r_0} \right)^2 - 4\beta^2 \ln \left(\frac{r}{r_0} \right) \right]. \\ M_r &= \frac{55,2 \cdot 4,06^2}{16} \left[3 \cdot 0,0001 - 3 \left(\frac{2,00}{4,06} \right)^2 - 0,04 \ln \left(\frac{2,0}{4,06} \right) \right] = 2,12 \text{ тм.} \end{aligned}$$



Фиг. 279. Схемы нагрузок на плиту покрытия резервуара с колонной в центре: а—суммарная; б—внешняя нагрузка; в—отпор капители колонны.

Сечение при $r = 4,06$ м (на опоре): $M_r = 0$.

Кольцевые моменты. Сечение при $r = 0$:

$$M_t = \frac{pr_0^3}{16} \left[3\beta^4 - \left(\frac{r}{r_0} \right)^2 - 4\beta^2 \ln \beta \right] = \\ = \frac{55,2 \cdot 4,06^3}{16} \left[3 \cdot 0,0001 - \left(\frac{0}{4,06} \right)^2 - 4 \cdot 0,01 \ln 0,1 \right] = \\ = 56,8 (0,0003 - 0 + 0,0922) = 5,28 \text{ тм.}$$

Сечение при $r = 2,0$ м:

$$M_t = p \frac{r_0^3}{16} \left\{ (4 - 3\beta^2) \beta^2 - 3\beta^4 \left(\frac{r_0}{r} \right)^2 - 4\beta^2 \ln \frac{r}{r_0} \right\}; \\ M_t = \frac{55,2 \cdot 4,06^3}{16} \left\{ (4 - 0,03) 0,01 - 3 \cdot 0,0001 \left(\frac{4,06}{2,00} \right)^2 - 4 \cdot 0,01 \ln 0,492 \right\} = \\ = 56,8 (0,0397 - 0,0012 + 0,0281) = 56,8 \cdot 0,0466 = 2,66 \text{ тм.}$$

Сечение на опоре ($r = 4,06$ м):

$$M_t = \frac{55,2 \cdot 4,06^3}{16} [0,01 (4 - 0,03)] = 56,8 \cdot 0,0397 = 2,26 \text{ тм.}$$

Изгибающие моменты суммарные. 1) Радиальные моменты сечение при $r = 0$

$$M_r = +6,18 - 5,28 - 1,78 = -0,88 \text{ тм;}$$

сечение при $r = 2,0$ м

$$M_r = +4,68 - 2,12 - 1,78 = +0,88 \text{ тм;}$$

сечение при $r = 4,06$ м

$$M_r = -1,78 \text{ тм.}$$

Кольцевые моменты. Сечение при $r = 0$ (в центре плиты):

$$M_t = +6,18 - 5,28 - 1,78 = -0,88 \text{ тм.}$$

Сечение при $r = 2,0$ м:

$$M_t = +4,68 - 2,66 - 1,78 = +0,14 \text{ тм.}$$

Сечение при $r = 4,06$ м (у опоры):

$$M_t = -1,78 + 4,12 - 2,26 = +0,1 \text{ тм.}$$

Выбор диаметра капители:

$$d_k = \frac{kP_k}{\pi R_{cp} z},$$

где P_k —сила, передающаяся на колонну;

$$R_{cp} \text{—предел прочности бетона на срез; } R_{cp} = 0,75 \sqrt{RR_p} = \\ = 0,75 \sqrt{200 \cdot 17} = 43,5 \text{ кг/см}^2;$$

z —плечо внутренней пары (приближенно можно принимать $z = 0,88h_j$);

$k = 4$ —коэффициент запаса прочности по таблице 4 приложения II).

Для капители:

$$d_k = \frac{4 \cdot 0,28 \cdot 000}{3,14 \cdot 43,5 \cdot 0,88 \cdot 16,5} = 58,2 \text{ см; принято } \zeta_k = 0,8 \text{ м.}$$

Для надкапительной плиты из условий работы ее на главные растягивающие напряжения ($k = 1,3$ по таблице 7 приложения II):

$$d = \frac{1,3 \cdot 28 \cdot 000}{3,14 \cdot 17,0 \cdot 0,88 \cdot 10,5} \cong 77,0 \text{ см; принято } d = 1,50 \text{ м.}$$

Расчет нижнего узла (фиг. 280). Сила, действующая по краю дна и приходящаяся на 1 м длины окружности:

$$P = \gamma_6 \delta_c H + P_c = 2,5 \cdot 0,12 \cdot 4,62 + 3 = 4,35 \text{ т/м.}$$

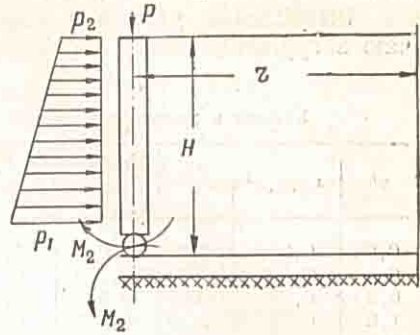
Характеристика жесткости дна:

$$\lambda_d = \sqrt[4]{\frac{4EI}{bk_r}} = \sqrt[4]{\frac{4 \cdot 210\,000 \cdot 14\,400}{100 \cdot 5}} = 70 \text{ см} = 0,7 \text{ м.}$$

Момент в нижнем узле по формулам (9); (17) и (18) главы III:

$$M_2 = - \frac{p_1 \frac{\lambda_c^4 \left(\frac{l}{\lambda_c} - 1 \right)}{4H} + p_2 \frac{\lambda_c^4}{4H} + P \frac{\lambda_d^2}{2}}{\frac{\lambda_c}{2} + \lambda_d} =$$

$$= - \frac{\frac{3,88 \cdot 0,53^4}{4 \cdot 4,5} \left(\frac{4,5}{0,53} - 1 \right) + \frac{0,774 \cdot 0,53^4}{4 \cdot 4,5} + \frac{4,35 \cdot 0,7^2}{2}}{\frac{0,53}{2} + 0,7} = -1,06 \text{ тм.}$$



Фиг. 280. Схема работы нижнего узла резервуара (основная система).

Изгибающие моменты в днице определяем, рассматривая его в радиальном направлении как балку, лежащую на упругом основании. Для определения кольцевых моментов воспользуемся основной зависимостью для круглых плит: $M_t = \frac{\omega^*}{r}$.

Следовательно, по формулам (9) главы III, принимая $Q_0 = P$:

$$M_r = M_2 \eta_1 + (M_2 + P\lambda_d) \eta_2;$$

$$M_t = \frac{\lambda_d}{2r} [2M_2 \eta_1 - P\lambda_d (\eta_1 + \eta_2)].$$

Вычисление моментов сведено в таблицу 18.

Таблица 18

Расчетные усилия в днице резервуара
(от давления стен)

| φ | $r_0 - r = \varphi \lambda_d$ | η_1 | η_2 | $M_2 \eta_1$ | $P \lambda_d \eta_1$ | $P \lambda_d \eta_2$ | M_r (тм) | M_t (тм) | $\frac{\lambda_d}{2r} = \frac{0,35}{r}$ |
|-----------|-------------------------------|----------|----------|--------------|----------------------|----------------------|------------|------------|---|
| 0,0 | 0,0 | 1,00 | 0,00 | -1,06 | 3,05 | 0 | -1,06 | -0,42 | 0,086 |
| 0,2 | 0,14 | 0,802 | 0,163 | -0,85 | 2,435 | 0,497 | -0,52 | -0,41 | 0,09 |
| 0,5 | 0,35 | 0,532 | 0,291 | -0,564 | 1,62 | 0,884 | +0,02 | -0,339 | 0,095 |
| 1,10 | 0,77 | 0,151 | 0,297 | -0,160 | 0,460 | 0,903 | +0,423 | -0,092 | 0,1065 |
| 1,50 | 1,05 | 0,015 | 0,223 | -0,016 | 0,046 | 0,681 | +0,431 | -0,078 | 0,116 |
| 3,0 | 2,10 | -0,05 | 0,007 | +0,053 | -0,015 | 0,021 | +0,06 | -0,000 | 0,179 |

Изгибающие моменты и кольцевые усилия в стенке определяются по формулам, аналогичным предыдущему:

$$M_x = M_1 (\eta_1^B + \eta_2^B) + M_2 (\eta_1^H + \eta_2^H) - p_1 \frac{\lambda_c^2}{2} \eta_1^H - p_2 \frac{\lambda_c^2}{2} \eta_2^B;$$

$$T_2 = p_1 r_0 \left(\frac{x_B}{H} - \eta_1^H \right) + p_2 r_0 \left(\frac{H - x_B}{H} - \eta_1^B \right) - \frac{2r_0}{\lambda_c^2} [M_1 \eta_2^B + M_2 \eta_1^H]$$

(положительными считаются моменты, вызывающие растяжение на внутренней поверхности оболочки резервуара; давления p_1 и p_2 и усилия T_2 приняты положительными, если они вызывают растяжение).

Вычисления усилий и моментов в стенке резервуара по первому случаю загрузки даны в таблице 19.

Таблица 19

| Усилия и моменты в стенке резервуара по первому случаю загрузки | | | | | | | | | |
|---|-----------------------|-----------------|---------------------|------------|------------|------------|------------|------------|------------------|
| φ^B | $x_B = \lambda_c z^B$ | $\frac{x_B}{H}$ | $\frac{H - x_B}{H}$ | τ_1^B | τ_2^B | τ_1^H | τ_2^H | M_x (тм) | T_2 (т/пог. м) |
| 0,00 | 0,00 | 0,00 | 1,0 | 1,00 | 0,00 | 0,00 | 0,00 | -1,78 | 0,00 |
| 0,2 | 0,106 | 0,024 | 0,976 | 0,802 | 0,163 | 0,00 | 0,00 | -1,74 | 2,5 |
| 0,5 | 0,265 | 0,059 | 0,941 | 0,532 | 0,291 | 0,00 | 0,00 | -1,62 | 6,30 |
| 1,0 | 0,53 | 0,118 | 0,882 | 0,199 | 0,310 | 0,00 | 0,00 | -0,90 | 9,80 |
| 2,0 | 1,06 | 0,236 | 0,764 | -0,056 | 0,123 | 0,001 | 0,00 | -0,13 | -0,30 |
| 3,0 | 1,59 | 0,354 | 0,646 | -0,049 | 0,007 | 0,003 | -0,003 | +0,08 | -6,50 |
| 4,0 | 2,12 | 0,472 | 0,528 | -0,012 | -0,014 | -0,002 | -0,011 | +0,06 | -8,65 |
| 5,0 | 2,65 | 0,585 | 0,415 | 0,002 | -0,006 | -0,028 | -0,011 | +0,04 | -10,20 |
| 6,0 | 3,19 | 0,710 | 0,290 | 0,002 | 0,00 | -0,066 | 0,049 | 0,00 | -13,05 |
| 7,0 | 3,72 | 0,826 | 0,174 | 0,00 | 0,00 | 0,016 | 0,223 | -0,25 | -5,06 |
| 8,0 | 4,25 | 0,941 | 0,059 | 0,00 | 0,00 | 0,532 | 0,291 | -0,99 | +3,30 |
| 8,3 | 4,40 | 0,976 | 0,024 | 0,00 | 0,00 | 0,802 | 0,163 | -1,08 | +2,23 |
| 8,5 | 4,50 | 1,00 | 0,00 | 0,00 | 0,00 | 1,00 | 0,00 | -1,06 | 0,00 |

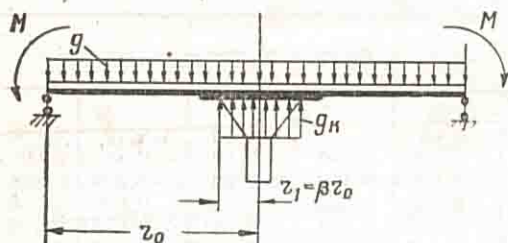
в) Второй случай загрузки (резервуар наполнен водой, не засыпан)

Вычисление усилий в стенке резервуара в этом случае производится аналогично тому, как это сделано для первого случая загрузки. Меняются лишь значения нагрузок и крайних моментов. Таким образом:

$$M_1 = -\frac{qr_0^2}{8} \frac{\gamma \lambda_c^4}{4} = -\frac{0,268 \cdot 4,06^2}{8} \frac{1,0 \cdot 0,53^4}{4} = -0,552 \text{ тм},$$

$$r_0 + \frac{\lambda_c}{2}$$

$$M_2 = -\frac{-\gamma \frac{\lambda_c^4}{4} \left(\frac{H}{\lambda_c} - 1 \right) + P \frac{\lambda_d^2}{2}}{\frac{\lambda_c}{2} + \lambda_d} = -\frac{-0,15 + 0,23}{0,265 + 0,5} = -0,083 \text{ тм},$$



Фиг. 281. Схема загрузки плиты с учетом опорных закреплений.

где $P = 1,35 + \frac{(4,06 - 2,2) 0,288}{2,0} = 1,62 \text{ т},$

$p_2 = 0;$

$p_1 = \gamma H = 4,06 \text{ т/м}^2.$

Вычисления усилий и моментов в стенке резервуара сведены в таблицу 20.

Верхний узел стенки. Плита перекрытия (фиг. 281).

Определение давления на колонну от плиты, нагруженной равномерной нагрузкой, равной собственному весу плиты:

$$g = 0,12 \cdot 2,4 = 0,288 \text{ т/м}^2.$$

Давление на 1 м^2 капители находим по формулам, выведенным в первом случае загрузки:

$$g_1 = 42,2g = 42,2 \cdot 0,288 = 12,14 \text{ т/м}^2.$$

Усилия и моменты в стенке резервуара по второму случаю загрузки

| φ_B | $x_B = \lambda_c \varphi_B$ | $\frac{x_B}{H}$ | $\frac{H-x_B}{H}$ | τ_1^B | τ_2^B | τ_1^H | τ_2^H | M_x (тм) | T_2 (т/пог. м) |
|-------------|-----------------------------|-----------------|-------------------|------------|------------|------------|------------|------------|------------------|
| 0,00 | 0,00 | 0,00 | 1,00 | 1,00 | 0,00 | 0,00 | 0,00 | -0,552 | 0,00 |
| 0,20 | 0,106 | 0,024 | 0,976 | 0,802 | 0,163 | 0,00 | 0,00 | -0,53 | 3,01 |
| 0,50 | 0,265 | 0,059 | 0,941 | 0,532 | 0,291 | 0,00 | 0,00 | -0,45 | 4,96 |
| 1,0 | 0,530 | 0,118 | 0,882 | 0,199 | 0,310 | 0,00 | 0,00 | -0,28 | 6,75 |
| 2,0 | 1,06 | 0,236 | 0,764 | -0,056 | 0,123 | 0,001 | 0,00 | -0,04 | 5,84 |
| 3,0 | 1,59 | 0,354 | 0,646 | -0,049 | 0,007 | 0,003 | -0,003 | +0,02 | 5,93 |
| 4,0 | 2,12 | 0,472 | 0,528 | -0,012 | -0,014 | -0,002 | -0,011 | +0,01 | 7,40 |
| 5,0 | 2,65 | 0,585 | 0,415 | 0,002 | -0,006 | -0,028 | -0,011 | +0,01 | 10,00 |
| 6,0 | 3,19 | 0,710 | 0,290 | 0,002 | 0,00 | -0,066 | 0,049 | +0,03 | 12,71 |
| 7,0 | 3,72 | 0,826 | 0,174 | 0,00 | 0,00 | 0,016 | 0,223 | +0,10 | 13,42 |
| 8,0 | 4,25 | 0,941 | 0,059 | 0,00 | 0,00 | 0,532 | 0,291 | +0,10 | 6,72 |
| 8,3 | 4,40 | 0,976 | 0,024 | 0,00 | 0,00 | 0,802 | 0,163 | +0,01 | 2,88 |
| 8,5 | 4,50 | 1,00 | 0,00 | 0,00 | 0,00 | 1,00 | 0,00 | -0,083 | 0,00 |

Давление на колонну от плиты, опертой по контуру и нагруженной равномерно распределенными моментами $M=1$ по тому же контуру:

$$g_2 = \frac{270}{r_0^3} M = \frac{270}{4,06^3} 1 = 16,4 \text{ т/м}^2.$$

Определение углов поворота плиты покрытия на опоре при $r=r_0$. Угол поворота плиты, нагруженной моментами $M=1$ по периметру:

$$w = w_M + w_D.$$

На основании выводов, приведенных в первом случае загрузки, имеем:

$$w_M = Mr_0 + \frac{g_2 r_0^3}{32} (-8 + 4\beta^2); \quad \beta = \frac{0,4}{4,06} = 0,1$$

Подставив числовые значения, получим:

$$w_M = 4,06 + \frac{16,4 \cdot 0,1^2 \cdot 4,06^3}{32} (-8 + 4 \cdot 0,01) = +1,38.$$

Угол поворота плиты от нагрузки:

$$w_g = \frac{g r_0^3}{8} + \frac{g_1 \beta^2 r_0^3}{32} (-8 + 4\beta^2) = \frac{0,288 \cdot 4,06^3}{8} + \frac{12,14 \cdot 4,06^3 \cdot 0,1^2}{32} (-8 + 4 \cdot 0,01) = 2,415 - 1,97 = +0,445.$$

Следовательно, угол поворота края плиты от $M=1$

$$a_{11} = 1,38,$$

а от собственного веса плиты

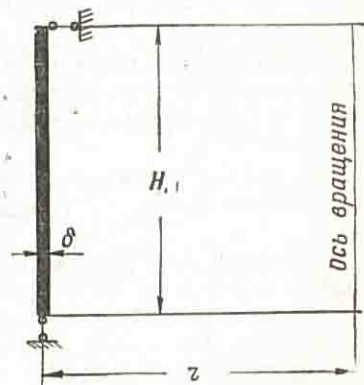
$$a_{1g} = 0,445.$$

Стенка. Деформации стенки, имеющей верхний край шарнирно закрепленным и нижний край свободным (фиг. 282): поворот верхнего края стенки от $M=1$

$$a_{11}^c = \frac{\lambda_c}{2} = \frac{0,53}{2} = 0,265;$$

поворот от нагрузки при свободных краях стенки

$$a_{1g}^c = (p_1 - p_2) \frac{\lambda_c^4}{4H} = \gamma H \frac{\lambda_c^4}{4H} = \frac{\gamma \lambda_c^4}{4}.$$



Фиг. 282 Схема опирания цилиндрической стенки в основной системе.

Для того чтобы получить поворот при верхнем шарнирно опертом крае стенки надо к верхнему краю стенки приложить поперечную силу Q , которая препятствует смещению этого края.

Поворот от нагрузки будет (имея в виду, что $p_2 = 0$):

$$a_{1g}^c = + p_1 \frac{\lambda^4}{4H} = 4,0 \frac{0,53^4}{4 \cdot 4,62} = + 0,0175.$$

Уравнение равновесия узла:

$$M_1 (1,38 + 0,265) = 0,0175 + 0,445;$$

$$1,645 M_1 = 0,463;$$

откуда $M_1 = \frac{0,463}{1,645} = 0,282$ тм.

Момент в верхнем узле при наполненном и незасыпанном резервуаре будет $M = 0,282$ тм.

Определение давления, передающегося на колонну. Давление на 1 м² капители:

$$p = 42,2 g + \frac{270}{r_0^2} M_1 = 42,2 \cdot 0,288 - \frac{270}{4,06^2} 0,282 = 12,14 - 4,62 = 7,52 \text{ т/м}^2.$$

Площадь $F_k = 0,5025$ м².

Нагрузка на колонну $P_k = p F_k = 7,52 \cdot 0,5025 = 3,78$ т. Полный вес плиты $P_n = 14,9$ т.

На 1 пог. м стенки передается:

$$P = \frac{P_n - P_k}{2\pi r_0} = \frac{14,90 - 3,78}{2 \cdot 3,14 \cdot 4,06} = 0,436 \text{ т/пог. м.}$$

Как видно, давления на колонну и на стенку получились меньше, чем по первому случаю загрузки. Поэтому расчеты колонны и стенки по второму случаю можно не производить.

4. РАСЧЕТ ЦИЛИНДРИЧЕСКОЙ ЖЕЛЕЗОБЕТОННОЙ ВОДОНАПОРНОЙ БАШНИ С РЕЗЕРВУАРОМ ЕМКОСТЬЮ 400 м³

Данные для расчета (основные геометрические размеры водонапорной башни приведены на фигуре 283):

полезная емкость резервуара $V_0 = 400$ м³,

бетон марки 200, арматура из круглой стали марки Ст. 0,

допускаемое давление на грунт $\sigma_{гр} = 2,5$ кг/см²,

объемный вес утеплителя кровли шатра башни $\gamma_y = 0,95$ т/м³ = 950 кг/м³,

снеговая нагрузка по второму району,

сооружение II класса капитальности.

а) Шатер башни

На фигуре 283 указаны геометрические расчетные размеры башни. Диаметр шатра (средний) $D_{ш} = 11,47$ м, $r_{ш} = 5,735$ м. Стрела подъема кровли $f_{ш} = 1,20$ м. Уклон кровли шатра по образующей $i = \operatorname{tg} \alpha = 1,2 : 5,735 = 0,21$, следовательно, угол уклона кровли $\alpha = 12^\circ$; $\sin \alpha = 0,207$, $\cos \alpha = 0,978$.

Кровля шатра. Расчетная нагрузка на 1 м² кровли шатра.

1. Постоянная нагрузка:

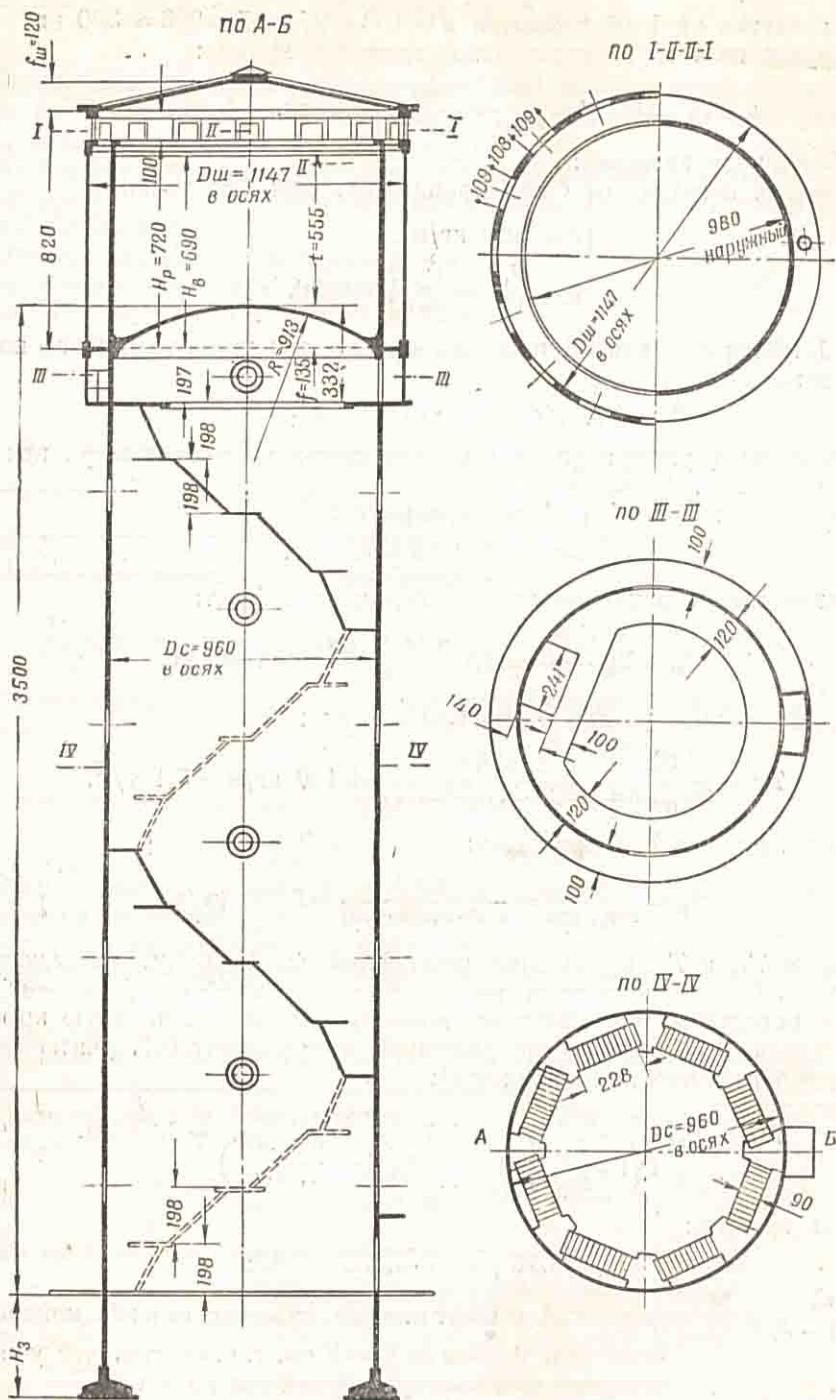
от собственного веса, принимая среднюю толщину покрытия $\delta_c = 7$ см (на опоре $\delta_1 = 8$ см, в вершине $\delta_2 = 6$ см) $g_1 = \gamma_6 \delta_c = 2400 \cdot 0,07 = 168$ кг/м², где γ_6 — объемный вес железобетона;

от утепления

$$g_2 = \gamma_y \delta_y = 950 \cdot 0,10 = 95 \text{ кг/м}^2,$$

где δ_y — высота слоя утепления;

γ_y — объемный вес утепления;



Фиг. 283. Схема цилиндрической водонапорной башни с резервуаром емкостью 400 м³ (к примеру 4).

от кровли

$$g_3 = 35 \text{ кг/м}^2.$$

Полная нагрузка на 1 м² покрытия $g = 168 + 95 + 35 = 298 \approx 300$ кг.

Нагрузка на 1 м² горизонтальной проекции кровли:

$$g' = \frac{g}{\cos \alpha} = \frac{300}{0,978} = 307 \text{ кг.}$$

2. Временная нагрузка:

временная нагрузка от снега принимается для 2-го района

$$s = 70,0 \text{ кг/м}^2;$$

$$c = \frac{D_{ш}}{10f} = \frac{11,47}{10 \cdot 1,2} = 0,90.$$

На 1 м² горизонтальной проекции кровли для цилиндрического покрытия имеем:

$$g_c = cs = 0,9 \cdot 70 = 63 \text{ кг.}$$

За малостью угла наклона α кровли шатра давлением ветра при расчете пренебрегаем.

Суммарная нагрузка на 1 м² перекрытия:

$$\Sigma g = 307 + 63 = 370 \text{ кг.}$$

Полная нагрузка на всю кровлю перекрытия будет:

$$Q_{ш} = \Sigma g \frac{\pi D_{ш}^2}{4} = 370 \frac{3,14 \cdot 11,47^2}{4} \approx 38\,000 \text{ кг.}$$

Меридиональное усилие в опорном сечении:

$$T_{10} = \frac{Q_{ш}}{2\pi r_{ш} \sin \alpha} = \frac{38\,000}{6,28 \cdot 5,735 \cdot 0,207} = 5\,100 \text{ кг/м} = 5,1 \text{ т/м.}$$

Горизонтальная составляющая:

$$H_{ш} = \frac{Q_{ш}}{2\pi r_{ш} \operatorname{tg} \alpha} = \frac{3\,800}{6,28 \cdot 5,735 \cdot 0,21} = 5\,020 \text{ кг/м.}$$

Усилия T_{10} и T_{20} в оболочке перекрытия шатра будут сжимающими. Кроме того, будет действовать меридиональный изгибающий момент. Его величину определим, рассматривая покрытие шатра как плоскую круглую плиту, вводя приближенно поправочный коэффициент 0,7, учитывающий влияние вспарушенности (конусности):

$$M_{ш} \approx 0,7 \frac{gr_{ш}^2}{8 \left(1 + \frac{\lambda_{ш}}{2r_{ш}} \frac{I_{п}}{I_{с}}\right)} \approx 0,7 \frac{0,37 \cdot 5,735^2}{8 \left(1 + \frac{0,48 \cdot 8^3}{11,47 \cdot 7^3}\right)} = 0,84 \text{ тм.}$$

Здесь принято:

$$\lambda_{ш} = 0,76 \sqrt{0,07 \cdot 5,735} = 0,48;$$

$I_{п} = \frac{\delta_{п}^3}{12(1-\nu^2)} = \frac{8^3}{12}$ — расчетный момент инерции краевого сечения конической оболочки, исходя из $\delta_{п} = 8$ см, т. е. считая, что у опоры толщина оболочки увеличивается до 8 см;

$I_{с} = \frac{\delta_{с}^3}{12(1-\nu^2)} = \frac{7^3}{12}$ — момент инерции сечения цилиндрической стенки шатра.

Эксцентриситет нормальной силы $N = T_{10}$ относительно растянутой арматуры при $h_0 = 8 - 1,5 = 6,5$ см:

$$e = \frac{M_{ш}}{N} + \frac{h_0 - a}{2} = \frac{0,84}{5,1} + \frac{1}{2} (6,5 - 1,5) = 0,167 + 0,028 = 0,195 \text{ м} = 19,5 \text{ см.}$$

Потребная симметричная арматура:

$$F_a = F'_a = \frac{kN \left(e - \frac{h_0}{2} \right)}{\sigma_T (h_0 - a')} = \frac{1,8 \cdot 5,1 (19,5 - 3,2)}{2,5 \cdot 5} = 11,7 \text{ см}^2.$$

Принимаем у опорного кольца (фиг. 284) на расстоянии от последнего (вверх по образующей кровли), равном $\frac{1}{4}$ длины образующей, количество меридиональной арматуры $F_a = F'_a = 10 \text{ } \varnothing 12 \text{ мм}$.

Кольцевая арматура укладывается конструктивно $\varnothing 6 \text{ мм}$ через 20 см, а у опоры $10 \text{ } \varnothing 8 \text{ мм}$, учитывая возможность появления растягивающих усилий вблизи кольца.

Опорное кольцо. Растягивающее усилие в кольце вычисляем приближенно, считая, что на кольцо передается 80% всего распора [19]:

$$N_k = 0,8 H_{ш} r_{ш} = 0,8 \cdot 5 \cdot 0,20 \cdot 5,735 = 23 \text{ 000 кг.}$$

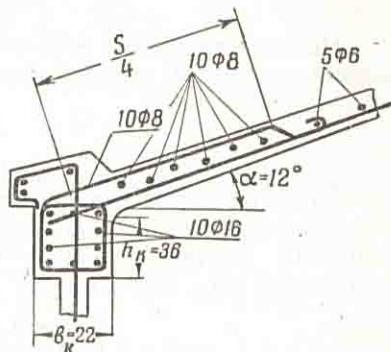
Потребное количество арматуры:

$$F_a = \frac{kN_k}{\sigma_T} = \frac{1,8 \cdot 23 \text{ 000}}{2 \text{ 500}} = 18,6 \text{ см}^2.$$

Принято $F_a = 10 \text{ } \varnothing 16 \text{ мм}$ (фиг. 284).

Принимаем размеры сечения опорного кольца:

$$h_k = 36 \text{ см; } b_k = 22 \text{ см.}$$



Фиг. 284. Схема армирования опорного узла кровли шатра водонапорной башни.

Стенка шатра. Толщина δ_c стенки шатра принята равной 7 см.

| | |
|--------------------------|---------------------------|
| Наружный диаметр шатра | $D_n = 11,54 \text{ м}$ |
| Средний диаметр шатра | $D_{ш} = 11,47 \text{ »}$ |
| Внутренний диаметр шатра | $D_b = 11,40 \text{ »}$ |
| Высота шатра | $H_1 = 8,20 \text{ »}$ |

Ввиду незначительности усилий, воспринимаемых стенкой шатра (только от ветра и нагрузок кровли), расчета стенки можно не производить, назначив количество арматуры конструктивно.

Вертикальную арматуру принимаем такую же, как в куполе около опорного кольца $10 \text{ } \varnothing 12 \text{ мм}$ на 1 м (с внешней стороны), а кольцевую $5 \text{ } \varnothing 8 \text{ мм}$ на 1 м.

Ширину простенка между двумя соседними окнами принимаем равной 108 см, таких же размеров, как оконный проем.

Нагрузка на 1 м длины стенки:

от кровли

$$\frac{Q}{\pi D_{ш}} = \frac{38 \text{ 000}}{3,14 \cdot 11,47} = 1 \text{ 050 кг/м,}$$

от веса опорного кольца кровли

$$0,25 \cdot 0,32 \cdot 2 \text{ 400} = 190 \text{ кг/м,}$$

собственный вес железобетонной стенки (при средней толщине $0,07 \text{ м} = 7 \text{ см}$)

$$0,07 \cdot 2 \text{ 400} \cdot 8,20 = 1 \text{ 380 кг/м,}$$

вес утепляющих фибролитовых плит толщиной 7 см,

$$0,07 \cdot 450 \cdot 8,20 = 246 \text{ кг/м,}$$

вес штукатурки толщиной 1 см

$$0,01 \cdot 2 \text{ 000} \cdot 8,20 = 164 \text{ кг/м,}$$

Всего нагрузка на 1 м внешнего контура консольной площадки резервуара:

$$P_{ш} = 1\,050 + 190 + 1\,380 + 246 + 164 = 3\,030 \text{ кг.}$$

Проверим напряжения в простенках между окнами.

На 1 м простенка (см. фиг. 283) передается нагрузка от 2,17 пог. м верхнего кольца, т. е. $1\,050 + 190 \cdot 2,17 = 2\,690 \text{ кг.}$

Напряжения в бетоне:

$$\sigma_6 = \frac{2\,690}{108,7} = 3,6 \text{ кг/см}^2.$$

Незначительность напряжений, возникающих в простенках между окнами, позволяет арматуру в них взять такую же, как и в стенках шатра.

б) Резервуар

Толщина стенки резервуара сверху принята конструктивно $\delta_2 = 10 \text{ см.}$
Предварительно толщина стенки резервуара внизу определяется по наибольшему растягивающему усилию, которое принимается действующим на глубине αH_p . По формуле (3 в) главы V:

$$\delta_1 = \frac{\gamma_b H_b r}{R_p} \left(k_r - \frac{200k}{\sigma_r} \right) - \frac{1-\alpha}{\alpha} \delta_2.$$

Здесь: γ_b — объемный вес жидкости (в данном случае — воды), наполняющей резервуар (в т/м^3);

$H_b = 6,90$ — расчетная глубина воды в резервуаре (в м);

$r = \frac{D_c}{2} = 4,8$ — расчетный радиус резервуара в осях (в м);

$k_r = 1,3$ — коэффициент безопасности против появления трещин;

$k = 1,8$ — коэффициент запаса прочности;

$\sigma_r = 2\,500 \text{ кг/см}^2$ — предел текучести арматуры; для марки бетона 200

$$R_p = 17 \text{ кг/см}^2 = 170 \text{ т/м}^2.$$

Примем предварительно $\alpha = 0,8$, тогда:

$$\delta_1 = \frac{1,0 \cdot 6,90 \cdot 4,80}{170} 1,14 - 0,025 = 0,193 \text{ м} = 19,3 \text{ см.}$$

Учитывая нагрузку на консоль, увеличивающую растягивающие усилия в стенке резервуара, принимаем $\delta_1 = 20 \text{ см.}$

Характеристика нижнего края стенки (при $\nu = 0$):

$$\lambda_1 = \frac{\sqrt{\delta_1 r}}{\sqrt[4]{3}} = \frac{\sqrt{0,20 \cdot 4,8}}{1,31} = 0,75 \text{ м.}$$

Основной расчетный узел (фиг. 285) содержит три элемента:

а) стенка резервуара,

б) днище резервуара,

в) консольная площадка шатра, служащая одновременно опорным кольцом, воспринимающим распор от купола днища резервуара.

Оболочку ствола башни в расчет резервуара не вводим, так как она разорвана дверными и оконными проемами.

Рассмотрим решение методом деформаций, так как в данном случае он позволяет сократить число неизвестных вдвое против метода сил.

Стенка резервуара представляет собой цилиндр линейно меняющейся толщины (фиг. 286).

Нетрудно убедиться, что стенка резервуара — длинная цилиндрическая оболочка. Например, для нижнего более толстого края (при $\nu = 0$):

$$\lambda_1 = \frac{\sqrt{\delta_1 r}}{\sqrt[3]{3(1-\nu^2)}} = 0,76 \sqrt{0,20 \cdot 4,80} = 0,745 \text{ м} \approx 75 \text{ см};$$

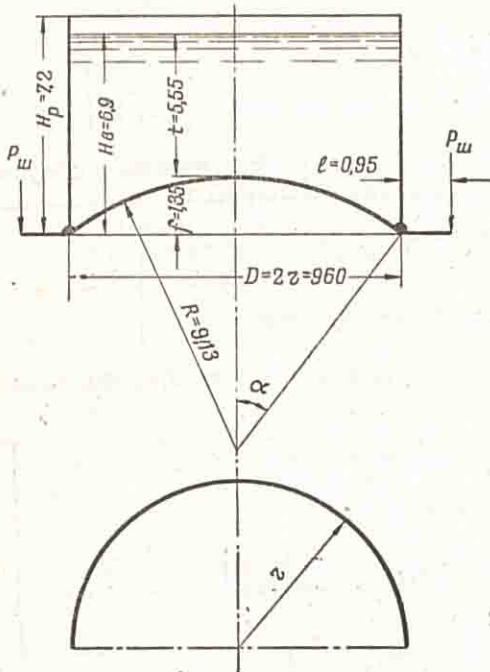
$$\frac{H_p}{\lambda_1} = \frac{720}{75} = 9,6 > 3.$$

Для расчета можно воспользоваться уравнениями (71а) главы III, так как выполняется условие (71б) той же главы:

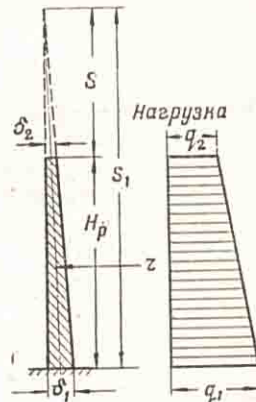
$$H_p + s_0 = \frac{\delta_1}{\delta_1 - \delta_2} H_p = \frac{20}{10} 7,2 = 14,40 > \frac{r \lambda_1}{\delta_1 \sqrt{2}} \sqrt{\frac{r^3}{2\delta_1 \sqrt{3(1-\nu^2)}}} =$$

$$= \frac{4,80 \cdot 0,75}{0,20 \cdot 1,413} = 12,70.$$

Значения произвольных постоянных в уравнениях



Фиг. 285. Схема резервуара водонапорной башни.



Фиг. 286. Схема загрузки стенки резервуара.

(71 а) главы III для этого случая легко определить, имея в виду, что при $\nu = 0$

$$T_{20} = \gamma z r = -\gamma \left(\frac{s_0}{2} - s \right) r; \quad T_{10} = 0;$$

$$p_0 r = -\gamma \left(\frac{s_0}{2} - s \right) r - \gamma s r = -\frac{\gamma s_0 r}{2} = \text{const.}$$

Из 3-й строки (71а) главы III при $\varphi = 0$ $M_0 = -\gamma \frac{\delta_1^2 r}{6\delta_0} + C_1 \sqrt{2\delta_1 \lambda_1^3}$.

Первый член $-\frac{\gamma \delta_1^2 r}{6\delta_0}$ мал и им можно пренебречь; тогда

$$C_1 \approx \frac{M_0}{\sqrt{2\delta_1 \lambda_1^3}}$$

Подобным же образом из 4-й строки тех же уравнений при $\varphi = 0$ получаем:

$$C_2 - C_1 \approx \frac{Q}{\sqrt{\delta_1 \lambda_1}}; \quad C_2 = \frac{M_0 + Q_0 \lambda_1 \sqrt{2}}{\sqrt{2\delta_1 \lambda_1}}.$$

Упругие перемещения толстого края стенки резервуара от единичных усилий на этом же крае:

угол поворота от $M_0 = 1$ (EI_c -кратный) по формуле (10) главы III

$$a_{11}^c = \lambda_1.$$

Соответственно по формулам (11), (14) той же главы:

$$\left. \begin{aligned} a_{12}^c &= a_{21}^c = \frac{\lambda_1^2}{2}; & a_{22}^c &= \frac{\lambda_1^3}{2} \\ a_{1p}^c &= \gamma_b \frac{\lambda_1^4}{4} \left(\frac{\delta_1}{\delta_2} \right); & a_{2p}^c &= \gamma_b \frac{H\lambda_1^4}{4} \end{aligned} \right\} \quad (1)$$

Для зажатого нижнего края стенки соответствующие реакции опор при повороте или смещении края на величину $\frac{1}{EI_c}$, а также от загрузения жидкостью при зажатом крае:

$$\left. \begin{aligned} r_{11}^c &= \frac{2}{\lambda_1}; & r_{12}^c &= -\frac{2}{\lambda_1^2}; & r_{22}^c &= \frac{4}{\lambda_1^3} \\ r_{1p}^c &= \gamma_b \frac{\lambda_1^2}{2} \left(H - \frac{\delta_1}{\delta_2} \lambda_1 \right); & r_{2p}^c &= \gamma_b \frac{\lambda_1}{2} \left(2H - \frac{\delta_1}{\delta_2} \lambda_1 \right) \end{aligned} \right\} \quad (2)$$

Соответственно перемещения края замкнутой в вершине сферической оболочки постоянной толщины по формулам таблицы 6:

$$\left. \begin{aligned} a_{11}^d &= \lambda_d; & a_{12}^d &= a_{21}^d = \frac{\lambda_d^2}{2} \sin \alpha_0; & a_{22}^d &= \frac{\lambda_d^3}{2} \sin^2 \alpha_0; \\ a_{1g}^d &= \gamma_b \frac{H\lambda_d^4}{8R} \sin^2 \alpha_0; & a_{2g}^d &= \gamma_b \frac{H\lambda_d^4}{8} \sin \alpha_0 \end{aligned} \right\} \quad (3)$$

Для зажатого края замкнутой в вершине сферической оболочки соответственно:

$$r_{11}^d = \frac{2}{\lambda_d}; \quad r_{12}^d = -\frac{2}{\lambda_d^2 \sin \alpha_0}; \quad r_{22}^d = \frac{4}{\lambda_d^3 \sin^2 \alpha_0}$$

Грузовые члены от давления жидкости:

$$r_{1p}^d = -\gamma_b \frac{\lambda_d^2}{4} \left[t + \frac{f(3R-f)}{3(2R-f)} \right]; \quad r_{2p}^d = \gamma_b \frac{\lambda_d}{2 \sin \alpha_0} \left[t + \frac{f(3R-f)}{3(2R-f)} \right] \quad (4)$$

От собственного веса днища:

$$\begin{aligned} r_{1g}^d &= \gamma_b \frac{\delta_d \lambda_d^2}{2} \left[\frac{1 - \cos \alpha_0 - \cos^2 \alpha_0}{1 + \cos \alpha_0} + \frac{2\lambda_d}{R} \sin \alpha_0 \right] \\ r_{2g}^d &= -\gamma_b \frac{\delta_d \lambda_d}{\sin \alpha_0} \left[\frac{1 - \cos \alpha_0 - \cos^2 \alpha_0}{1 + \cos \alpha_0} + \frac{\lambda_d}{r} \sin \alpha_0 \right] \end{aligned}$$

Здесь и выше:

$$\lambda_d = \frac{\sqrt{\delta_d R}}{\sqrt[4]{3(1-\nu^2)}}; \quad \lambda_1 = \frac{\sqrt{\delta_1 r}}{\sqrt[4]{3(1-\nu^2)}}.$$

В нашем случае, принимая $\delta_d = \delta_1 = 0,20$ м,

$$\lambda_d = \frac{\sqrt{0,20 \cdot 9,13}}{\sqrt[4]{3}} = 0,76 \sqrt{1,826} = 1,03 \text{ м.}$$

Имея в виду, что опорное кольцо резервуара одновременно служит опорой шатра, расчет его ведем как широкого кольца (толщина консоли невелика, ее влиянием при повороте вообще можно пренебречь). Для широкого кольца имеем:

$$r_{11}^k = \sum_{i=1}^{i=n} \frac{I_i}{I_0 r_i^2}; \quad r_{22}^k = \sum_{i=1}^{i=n} \frac{F_i}{I_0 r_i^2} \quad (5)$$

и за малостью углов поворота $r_{12}^k \approx 0$.

Достаточно разбить кольцо на три части, как это показано на фигуре 287 пунктирными линиями, так как ширина сечения любого из элементарных колец не превышает $\frac{1}{8}$:

$$\frac{b_i}{r_i} = \frac{0,40}{5,15} = \frac{1}{12,84} < \frac{1}{8}$$

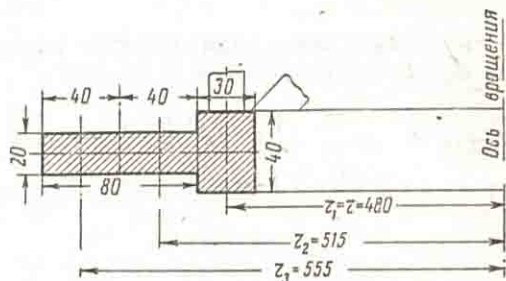
(толщина консольной части взята 20 см, из условия работы на изгиб от веса шатра).

Общее сечение опорного кольца ($\Sigma F_i = 0,28 \text{ м}^2$) достаточно, чтобы не допустить образования трещин от распора

$$T = \frac{Q}{2\pi} \operatorname{tg} \alpha_0 = 38,6 \text{ т,}$$

так как потребное сечение

$$\begin{aligned} \Sigma F_i &= \frac{T}{R_p} \left(k_T - \frac{200 k}{\sigma_T} \right) = \\ &= \frac{38,6}{170} 1,15 = 0,227 \text{ м}^2. \end{aligned}$$



Фиг. 287. Радиальное сечение опорного кольца резервуара.

в) Расчет опорного узла резервуара

Расчет усилий, возникающих в элементах опорного узла резервуара, целесообразнее в данном случае вести методом деформаций, так как число лишних неизвестных равно 2 (поворот ψ и радиальное смещение w), вдвое меньше, чем по методу сил (2 момента и 2 радиальных силы).

Условия равновесия можно записать так:

$$\left. \begin{aligned} \Sigma M &= \psi \Sigma r_{11} + w \Sigma r_{12} + \Sigma r_{1g} = 0 \\ \Sigma H &= \psi \Sigma r_{21} + w \Sigma r_{22} + \Sigma r_{2g} = 0 \end{aligned} \right\} \quad (6)$$

Эти уравнения нужно решать для трех загружений:

1) резервуар наполнен водой, нагрузка от шатра отсутствует (при испытании построенной башни до возведения шатра);

2) резервуар наполнен водой при наличии нагрузки от шатра (нормальные условия эксплуатации башни);

3) резервуар опорожнен, нагрузка от шатра действует (во время ремонта резервуара или в период по окончании постройки до введения башни в эксплуатацию).

Для первого случая загрузки можно принимать уменьшенные коэффициенты безопасности, учитывая кратковременность такого нагружения и редкую повторяемость.

Вычислим коэффициенты уравнений (6), пренебрегая влиянием ствола башни:

$$\Sigma r_{11} = r_{11}^c + r_{11}^d + r_{11}^k = \frac{2}{\lambda_1} + \frac{2}{\lambda_d} + \sum_{i=1}^{i=3} \frac{I_i}{I_c r_i^2} = \frac{2}{0,75} + \frac{2}{1,03} +$$

$$+ \frac{0,4 \cdot 0,2^3}{0,2^3 \cdot 5,55^2} + \frac{0,4 \cdot 0,2^3}{0,2^3 \cdot 5,15^2} + \frac{0,3 \cdot 0,4^3}{0,2^3 \cdot 4,8^2} = 2,67 + 1,95 + 0,012 +$$

$$+ 0,015 + 0,103 = 4,75;$$

$$\Sigma r_{12} = \Sigma r_{21} = -\frac{2}{\lambda_1^2} - \frac{2}{\lambda_d^2 \sin \alpha_0} = -\frac{2}{0,75^2} - \frac{2}{1,03^2 \cdot 0,522} = -3,56 - 3,60 = -7,16.$$

Учитывая, что

$$\cos \alpha_0 = \frac{R-f}{R} = \frac{9,13-1,35}{9,13} = 0,852; \alpha_0 = 31^\circ 26'; \sin \alpha_0 = 0,522;$$

$$\begin{aligned} \Sigma r_{22} &= \frac{4}{\lambda_1^2} + \frac{4}{\lambda_d^2 \sin^2 \alpha_0} + \sum_{i=1}^{i=3} \frac{F_i}{I_c r_i^2} = \frac{4}{0,75^2} + \frac{4}{1,03^2 \cdot 0,522^2} + \\ &+ \frac{12 \cdot 0,2 \cdot 0,4}{0,2^2 \cdot 5,55^2} + \frac{12 \cdot 0,2 \cdot 0,4}{0,2^2 \cdot 5,15^2} + \frac{12 \cdot 0,3 \cdot 0,4}{0,2^2 \cdot 4,8^2} = 9,49 + \\ &+ 13,59 + 3,94 + 4,53 + 7,82 = 39,37. \end{aligned}$$

Грузовые члены для первого случая загрузки (пренебрегая моментом от собственного веса консоли):

$$\begin{aligned} \Sigma r'_{1g} &= -\gamma_b \frac{\lambda_d^2}{4} + \left[t + \frac{f(3R-f)}{3(2R-f)} \right] + \gamma_b \frac{\lambda_1^2}{2} \left[H - \frac{\delta_1}{\delta_2} \lambda_1 \right] + \\ &+ \gamma_6 \frac{\lambda_d^2 \delta_d}{2} \left[\frac{1 - \cos \alpha_0 - \cos^2 \alpha_0}{1 + \cos \alpha_0} + \frac{2\lambda_\pi}{R} \sin \alpha_0 \right] = -1 \frac{1,03^2}{4} \left[5,55 + \right. \\ &+ \left. \frac{1,35(3 \cdot 9,13 - 1,35)}{3(2 \cdot 9,13 - 1,35)} \right] + 1 \frac{0,75^2}{2} [6,9 - 2 \cdot 0,75] + \\ &+ \frac{2,6 \cdot 0,2 \cdot 1,03^2}{2} [-0,318 + 0,118] = -2,05 + 1,51 - 0,06 = -0,59; \end{aligned}$$

$$\begin{aligned} \Sigma r'_{2g} &= -\gamma_b \frac{\lambda_1}{2} \left[2H - \frac{\delta_1}{\delta_2} \lambda_1 \right] + \gamma_b \frac{\lambda_\pi}{2 \sin \alpha_0} \left[t + \frac{f(3R-f)}{3(2R-f)} - \right. \\ &- \left. \lambda_d \sin \alpha_0 \right] - \gamma_6 \frac{\delta_d \lambda_\pi}{\sin \alpha_0} \left[\frac{1 - \cos \alpha_0 - \cos^2 \alpha_0}{1 + \cos \alpha_0} + \frac{2\lambda_\pi}{R \sin \alpha_0} \right] - \gamma_6 \frac{\delta_d R}{1 + \cos \alpha_0} \cos \alpha_0 - \\ &- T_{10}^a \cos \alpha_0 = -1 \frac{0,75}{2} \left[2 \cdot 6,9 - \frac{0,2}{0,1} 0,75 \right] + 1 \frac{1,03}{2 \cdot 0,522} \left[5,55 + \right. \\ &+ \left. \frac{1,35(27,39 - 1,35)}{3(18,26 - 1,35)} - 1,03 \cdot 0,522 \right] - 2,6 \frac{0,2 \cdot 1,03}{0,522} \left[\frac{1,00 - 0,852 - 0,852^2}{1,00 + 0,852} + \right. \\ &+ \left. \frac{2 \cdot 1,03}{9,13 \cdot 0,522} \right] - \frac{2,6 \cdot 0,2 \cdot 9,13}{1,852} 0,852 - \frac{400 \cdot 0,852}{2 \cdot 3,14 \cdot 4,8 \cdot 0,522} = -21,17. \end{aligned}$$

Грузовые члены для второго случая загрузки:

$$\Sigma r''_{1g} = \Sigma r'_{1g} + M_k = 0,59 + 3,03 \cdot 0,90 = 2,13;$$

$$\Sigma r''_{2g} = \Sigma r'_{2g} = -21,17.$$

Здесь

$$M_k = P_{ш} \frac{D_{ш} - D_c}{2}.$$

Соответственно для третьего случая:

$$\Sigma r'''_{1g} = -0,06 + 2,73 = 2,67;$$

$$\Sigma r'''_{2g} = 0,266 - 2,21 = -1,94.$$

Решение уравнений (6) ведем в табличной форме, соответствующей таблице 12, но для системы двух уравнений.

Вычислим значения усилий в элементах.

Первый случай загрузки.

Стенка:

$$M'_c = r'_{1d} + \psi r'_{11} + \omega r'_{12} = 1,51 + 1,29 \cdot 2,67 - 0,77 \cdot 3,56 = 2,19 \text{ тм};$$

$$Q'_c = r'_{2d} + \psi r'_{21} + \omega r'_{22} = -4,62 - 1,29 \cdot 3,56 + 0,77 \cdot 9,49 = -1,95 \text{ т/м}.$$

Днище:

$$M'_d = r''_{1g} + \psi r''_{11} + \omega r''_{12} = -2,11 + 1,29 \cdot 1,95 - 0,77 \cdot 3,6 = -2,32 \text{ тм};$$

$$Q'_d = r''_{2g} + \psi r''_{21} + \omega r''_{22} = -7,22 - 1,29 \cdot 3,60 + 0,77 \cdot 13,59 = 12,88 \text{ т/м}.$$

Решение уравнений (6)

| № уравнений | M | H | Грузовые члены для случаев | | | Контроль Σ | Уравнивающие коэффициенты |
|-------------|------|----------|----------------------------|--------|--------|-------------------|--|
| | | | 1 | 2 | 3 | | |
| I | 4,75 | -7,16 | -0,595 | 2,13 | 2,67 | 1,795 | $K_{21} = -\frac{-7,16}{4,75} = +1,51$ |
| 2 | . | 39,37 | -21,17 | -21,17 | -1,94 | -12,07 | |
| I | | -10,80 | -0,90 | -3,22 | 4,03 | 2,70 | |
| II | | 28,57 | -22,07 | -17,95 | 2,09 | -9,37 | |
| A | | $w =$ | 0,77 | 0,628 | -0,073 | 0,328 | |
| Б | | | -5,52 | -4,50 | 0,52 | -2,35 | |
| В | 4,75 | | -6,12 | -2,37 | 3,19 | -0,55 | |
| Г | | $\psi =$ | 1,29 | 0,50 | -0,67 | | |

Кольцо:

$$M'_K = \psi r_{11}^K = 1,29 \cdot 0,13 = 0,16 \text{ тм};$$

$$Q'_K = w r_{22}^K = 0,77 \cdot 16,29 = 12,48 \text{ т/м}.$$

Контроль:

$$\Sigma M' = 2,19 - 2,32 + 0,16 = +0,03 \approx 0.$$

$$\Sigma Q' = -1,95 + 12,88 + 12,48 = 23,41 \approx T_{10} \cos \alpha = 21,8.$$

Второй случай загрузки.

Стенка:

$$M''_c = 1,51 + 0,50 \cdot 2,67 - 0,628 \cdot 3,56 = 0,61;$$

$$Q''_c = -4,62 - 0,5 \cdot 3,56 + 0,628 \cdot 9,49 = -1,56.$$

Днище:

$$M''_d = -2,11 + 0,5 \cdot 1,95 - 0,628 \cdot 3,6 = -3,39;$$

$$Q''_d = 7,22 - 0,5 \cdot 3,60 + 0,628 \cdot 13,59 = 13,96.$$

Кольцо:

$$M''_K = 0,5 \cdot 0,13 = 0,07;$$

$$Q''_K = 0,628 \cdot 16,29 = 10,20.$$

Контроль:

$$\Sigma M'' = 0,61 - 3,39 + 0,07 = -2,71 \approx M_K = -2,73;$$

$$\Sigma Q'' = -1,56 + 13,96 + 10,20 = 22,60 \approx T_{10} \cos \alpha = 21,80.$$

Третий случай загрузки.

Стенка:

$$M'''_c = 0 - 0,67 \cdot 2,67 + 0,073 \cdot 3,56 = -1,52;$$

$$Q'''_c = 0 + 0,67 \cdot 3,56 - 0,073 \cdot 9,49 = 1,68.$$

Расчетные усилия в стенке резервуара

$$M_x' = 2,19 \tau_1 + (2,19 - 1,95 \lambda) \tau_2;$$

$$M'' = 0,61 \tau_1 + (0,61 - 1,56 \lambda) \tau_2;$$

$$M_x''' = -1,52 \tau_1 + (1,68 \lambda - 1,52) \tau_2;$$

$$T_2' = T_{20}' + \frac{3,45}{6} [(2,19 - 1,95 \lambda) \tau_1 - 2,19 \tau_2];$$

$$T_2'' = T_{20}'' + \frac{3,45}{6} [0,61 - 1,56 \lambda) \tau_1 - 0,61 \tau_2];$$

$$T_2''' = \frac{3,45}{6} [(1,68 \lambda - 1,52) \tau_1 + 1,52 \tau_2]$$

| φ | x = λ (м) | Первый случай загрузки | | | Второй случай загрузки | | | Третий случай загрузки | | |
|------|-----------|------------------------|-----------------------|----------------------|------------------------|-----------------------|----------------------|------------------------|-----------------------|----------------------|
| | | M _x (т/м) | T ₂₀ (т/м) | T ₂ (т/м) | M _x (т/м) | T ₂₀ (т/м) | T ₂ (т/м) | M _x (т/м) | T ₂₀ (т/м) | T ₂ (т/м) |
| 0,0 | 0,0 | 2,19 | 34,5 | 47,78 | 0,61 | 34,5 | 24,60 | -1,52 | 0 | -4,60 |
| 0,2 | 0,15 | 1,86 | 33,8 | 37,88 | 0,39 | 33,8 | 23,23 | -1,25 | 0 | 0,90 |
| 0,4 | 0,30 | 1,54 | 33,1 | 31,20 | 0,23 | 33,1 | 23,50 | -1,06 | 0 | 4,70 |
| 0,8 | 0,59 | 0,83 | 31,7 | 23,10 | 0,01 | 31,7 | 24,90 | -0,54 | 0 | 7,54 |
| 1,20 | 0,88 | 0,109 | 30,3 | 20,20 | -0,10 | 30,3 | 25,79 | -0,24 | 0 | 7,28 |
| 1,60 | 1,15 | 0,010 | 29,0 | 21,20 | -0,11 | 29,0 | 26,75 | -0,07 | 0 | 5,50 |
| 2,0 | 1,51 | -0,056 | 27,3 | 21,65 | -0,17 | 27,3 | 26,37 | 0,06 | 0 | 3,26 |
| 4,0 | 2,66 | -0,012 | 21,7 | 21,30 | 0,00 | 21,7 | 22,05 | 0,02 | 0 | -0,39 |
| 7,0 | 4,30 | 0,001 | 13,9 | 13,69 | 0,00 | 13,9 | 13,90 | 0,00 | 0 | -0,03 |

Расчетные усилия в днище резервуара

$$M_x = \frac{\sin \alpha_0}{\sin \alpha} \sqrt{\frac{\alpha}{\sigma_0}} \{M_x' \tau_1 + (M_x' + Q_x' \lambda \sin \alpha) \tau_2\};$$

$$T_2 = T_{20} + \frac{3,45 \sin \alpha_0}{6 \sin \alpha} \sqrt{\frac{\alpha}{\sigma_0}} \{(M_x' + Q_x' \lambda \sin \alpha) \tau_1 - M_x' \tau_2\}.$$

| φ | α | cos α | x = λ _д (м) | τ ₁ | τ ₂ | Первый случай загрузки | | | Второй случай загрузки | | | Третий случай загрузки | | |
|------|-------|-------|------------------------|----------------|----------------|------------------------|-----------------------|----------------------|------------------------|-----------------------|----------------------|------------------------|-----------------------|----------------------|
| | | | | | | M _x (т/м) | T ₂₀ (т/м) | T ₂ (т/м) | M _x (т/м) | T ₂₀ (т/м) | T ₂ (т/м) | M _x (т/м) | T ₂₀ (т/м) | T ₂ (т/м) |
| 0,0 | 0,549 | 0,832 | 0,0 | 1,00 | 0,00 | -2,32 | -37,88 | 40,0 | -3,39 | -37,88 | 33,52 | -1,10 | -1,48 | -5,38 |
| 0,2 | 0,527 | 0,866 | 0,21 | 0,802 | 0,163 | -1,17 | -36,87 | 33,42 | -0,91 | -36,87 | 26,03 | -0,92 | -1,57 | -1,97 |
| 0,4 | 0,505 | 0,882 | 0,41 | 0,617 | 0,261 | -0,46 | -35,96 | 24,0 | - | -35,96 | 20,04 | -0,78 | -1,66 | 2,04 |
| 0,8 | 0,460 | 0,895 | 0,82 | 0,313 | 0,322 | 0,54 | -35,37 | 0,60 | 0,70 | -35,37 | 1,93 | -0,49 | -1,76 | 6,84 |
| 1,20 | 0,413 | 0,915 | 1,24 | 0,109 | 0,281 | 0,66 | -34,16 | -14,66 | 0,84 | -34,16 | -11,46 | -0,31 | -1,86 | 4,20 |
| 1,50 | 0,380 | 0,930 | 1,55 | 0,016 | 0,223 | 0,67 | -33,36 | -23,96 | 0,74 | -33,36 | -12,06 | -0,17 | -1,96 | 1,4 |
| 2,0 | 0,323 | 0,950 | 2,06 | -0,056 | 0,123 | 0,38 | -32,06 | -31,41 | 0,50 | -32,06 | -25,16 | -0,01 | -2,06 | 1,00 |
| 4,0 | 0,010 | 0,996 | 4,12 | -0,066 | 0,049 | 0,14 | -29,57 | -34,06 | 0,10 | -29,57 | -33,96 | 0,03 | -2,37 | -0,17 |

Днище:

$$M_d''' = -0,055 - 0,67 \cdot 1,95 + 0,073 \cdot 3,60 = -1,10;$$

$$Q_d''' = 0,266 + 0,67 \cdot 3,60 - 0,073 \cdot 13,59 = 1,68.$$

Кольцо:

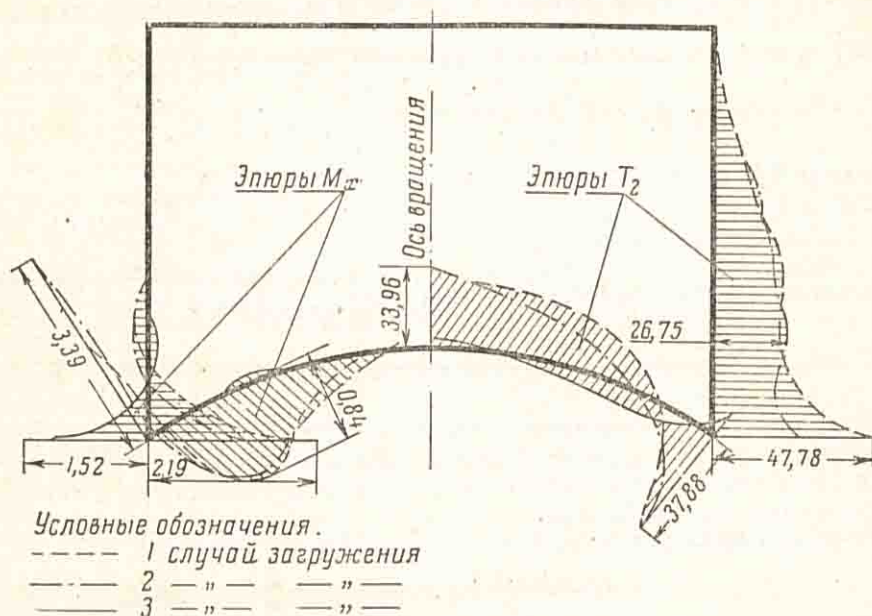
$$M_k''' = -0,67 \cdot 0,13 = -0,09;$$

$$Q_k''' = -0,073 \cdot 16,29 = -1,19.$$

Контроль:

$$\Sigma M''' = -1,52 - 1,10 - 0,09 = -2,71 \approx -2,73;$$

$$\Sigma Q''' = 1,68 + 1,68 - 1,19 = 2,17 \approx 2,21.$$



Фиг. 288. Расчетные эпюры M_x и T_2 в резервуаре башни.

Пользуясь эпюрами от единичных нагрузок (фиг. 226) и таблицей 4, производим подсчеты M_x и T_2 .

Результаты вычислений сводим в таблицы 22а и 22б.

На основании данных таблиц 22а и 22б строим эпюры моментов M_x и кольцевых сил T_2 (фиг. 288).

г) Подбор сечений арматуры в стенке резервуара

1. Вертикальная арматура. Около узла на стенку в меридиональном направлении действует нормальная сила, равная весу стенки:

$$N = \gamma_0 H \frac{\delta_1 + \delta_2}{2} = 2,6 \cdot 7,20 \cdot 0,15 = 2,81 \text{ т,}$$

и изгибающий момент $M = 2,19$ тм (по первому случаю загрузки).

При толщине $\delta_c = 20$ см, потребная сжатая арматура:

$$e_0 = \frac{2,19}{2,81} = 0,78 \text{ м; } e = e_0 + \frac{h_0 - a}{2} = 78 + \frac{18 - 2}{2} = 86 \text{ см}$$

(защитный слой принят $a = 2$ см, учитывая, что резервуар изнутри будет торкретироваться);

$$F_a' = \frac{kNe - 0,375 R_n b h^2}{\sigma_T (a_0 - a')} = \frac{2,2 \cdot 9 \cdot 810 \cdot 86 - 0,375 \cdot 175 \cdot 100 \cdot 18^2}{2500 \cdot 16} < 0.$$

Сжатая арматура по расчету не нужна.

Сечение растянутой арматуры (принимая $z = 0,90h_0 = 16,2$ см):

$$F_a = \frac{kN_e}{\sigma_{Tz}} - \frac{kN}{\sigma_T} = \frac{kN}{\sigma_T} \left(\frac{e}{z} - 1 \right) = \frac{2,2 \cdot 2810}{2500} \left(\frac{86}{16,2} - 1 \right) = 2,46 \cdot 4,3 = 10,56 \text{ см}^2.$$

Укладывается с внутренней стороны $14 \text{ } \varnothing \text{ } 10$ мм,

$$F_a = 10,92 \text{ см}^2.$$

Соответственно по третьему случаю загрузки около узла

$$M = -1,52 \text{ тм.}$$

Сжатая арматура не нужна, а растянутая должна иметь по расчету сечение ($e_0 = \frac{1,52}{2,81} = 0,542 \text{ м} = 54,2 \text{ см}$; $e = 54,2 + 8 = 62,2 \text{ см}$):

$$F_a = 2,46 \left(\frac{62,2}{16,2} - 1 \right) = 2,46 \cdot 2,87 = 7,05 \text{ см}^2.$$

Принимаем $9 \text{ } \varnothing \text{ } 10$ мм, $F_a = 7,07 \text{ см}^2$ (с наружной стороны).

2. Кольцевая арматура. Кольцевую арматуру подбираем по огибающей эпюре растягивающих усилий (фиг. 288).

У центра опорного кольца (по первому случаю загрузки, приняв коэффициент запаса $k = 1,4$, учитывая кратковременность такого нагружения):

$$F_a = \frac{kT_2''}{\sigma_T} = \frac{1,4 \cdot 47180}{2500} = 26,4 \text{ см}^2.$$

Часть арматуры попадает в обвязку и ее надо располагать в кольце на длине 0,20 м, т. е. нужно добавить в кольцо $0,2 \cdot 26,4 = 5,28 \text{ см}^2$.

На расстоянии 0,3 м от центра узла (у края стенки) растягивающая сила составляет $T_2 = 31,20 \text{ т/м}$.

Потребная арматура:

$$F_a = \frac{1,4 \cdot 31200}{2500} = 17,5 \text{ см}^2.$$

Запас прочности по второму случаю:

$$k = \frac{17,5 \cdot 2500}{23,5} = 1,86 > 1,80.$$

Укладывается $2 \times 11 \text{ } \varnothing \text{ } 10$ мм, т. е. 11 стержней с каждой стороны (двойная); $F_a = 17,27 \text{ см}^2$.

На расстоянии 1,15 м от центра узла по второму случаю загрузки $T_2'' = 26,75 \text{ т}$, арматура должна быть:

$$F_a = \frac{1,8 \cdot 26750}{2500} = 19,2 \text{ см}^2.$$

Достаточно положить $12 \text{ } \varnothing \text{ } 10$ мм с каждой стороны: $F_a = 24 \cdot 0,786 = 18,9 \text{ см}^2$.

На расстоянии 2,66 м от центра узла (на глубине 4,50 м от верха) $T_2 = 22,05 \text{ т}$;

$$F_a = \frac{1,8 \cdot 22050}{2500} = 15,85 \text{ см}^2,$$

т. е. $2 \times 10 \text{ } \varnothing \text{ } 10$ мм.

Пояс на глубине от 3 до 4 м от верха потребует

$$F_a = \frac{1,8 \cdot 13900}{2500} = 10,01 \text{ см}^2,$$

т. е. $2 \times 6 \text{ } \varnothing \text{ } 10$ мм двойная или $12 \text{ } \varnothing \text{ } 10$ мм одиночная.

3. Проверка запаса на появление трещин. В нормальных условиях эксплуатации резервуара (второй и третий случаи загрузки) наибольшие растягивающие усилия $T_2 = 26,75$ т имеют место на расстоянии $x = 1,15$ м от центра опорного кольца (см. строку 6 таблицы 22а). Запас против раскрытия трещин:

$$k_T = \frac{\delta R_p + 200 F_a}{T_2} = \frac{0,185 \cdot 175 + 200 \cdot 24,1 \cdot 10^{-3}}{26,75} = \frac{32,4 + 4,8}{26,75} = 1,39 > 1,3.$$

На расстоянии $x = 0,20$ м от центра кольца кольцевое усилие по первому случаю загрузки $T_2 = 37,88 - \frac{6,68}{3} = 35,65$ т (интерполируем по прямой), толщина стенки $\delta = \delta_1 \left(\frac{2H-x}{2H} \right) = 0,2 \cdot 0,99 = 0,198$ м.

Запас против появления трещин:

$$k_T = \frac{175 \cdot 0,198 + 0,2 \cdot 17,27}{35,65} = \frac{34,65 + 3,45}{35,65} = \frac{38,10}{35,65} = 1,07.$$

Из этой проверки видно, что лучше не испытывать резервуар наполнением до верха до того как будет построен шатер, а если такое испытание необходимо, то следует наполнять бак при этом не более чем на 6 м, считая от центра обвязочного кольца.

д) Подбор сечений арматуры в днище

1. Меридиональная арматура. Наибольший изгибающий момент у опорного кольца по второму случаю загрузки $M = -3,39$ тм, а нормальная сила при этом $N = T_{10} = 25,51$ т. Эксцентриситет:

$$e_0 = \frac{M}{N} = \frac{3,39}{25,51} = 0,133 \text{ м} = 13,3 \text{ см},$$

$$e = e_0 + \frac{h_0 - a}{2} = 13,3 + \frac{18 - 2}{2} = 21,3 \text{ см (большой)}.$$

Расчетная арматура сжатая:

$$F_a' = \frac{kNe - 0,375 R_n b h_0^2}{\sigma_T (h_0 - a')} = \frac{1,8 \cdot 25 \cdot 510 \cdot 21,3 - 0,375 \cdot 175 \cdot 100 \cdot 18^2}{2500(18 - 2)} = \frac{114 - 213}{4} < 0.$$

Сжатая арматура не нужна.

Необходимая растянутая арматура:

$$F_a = \frac{kN}{\sigma_T} \left(\frac{e}{0,9h_0} - 1 \right) = \frac{52,12}{2,5} \left(\frac{21,3}{0,9 \cdot 18} - 1 \right) = 20,85 \cdot 0,372 = 7,92 \text{ см}^2.$$

Достаточно положить поверху 10 \varnothing 10 мм; $F_a = 7,86 \text{ см}^2$.

Другое опасное сечение по меридиональным напряжениям в месте наибольшего положительного момента $M = 0,84$ тм (второй случай, сечение на расстоянии 1,24 м от центра кольца):

$$N = T_{10} = 31,8 \text{ т};$$

$$e_0 = \frac{0,84}{31,8} = 0,026 \text{ м} = 2,6 \text{ см};$$

$$e = 2,6 + 9 = 11,6 \text{ см}; F_a' = \frac{kNe - 0,375 R_n b h_0^2}{\sigma_T (h_0 - a')} = \frac{1,8 \cdot 31 \cdot 810 \cdot 11,6 - 2,13 \cdot 10^6}{4 \cdot 10^4} = \frac{72,8 - 213}{4} < 0;$$

$$F_a = \frac{kNe' - 0,375 R_n b h_0^2}{\sigma_T (h_0 - a')} = \frac{2 \cdot 31 \cdot 810 \cdot 5,4 - 2,27 \cdot 10^6}{4 \cdot 10^4} < 0,$$

где

$$e' = -e_0 + \frac{h_0 - a'}{2} = 8 - 2,6 = 5,4 \text{ см}.$$

Арматура по расчету не нужна; укладывается конструктивно. Проверяем третий случай загрузки $M = -1,10$ тм;

$$N = T_{10} = 2,6 \text{ т};$$

$$e_0 = \frac{1,10}{2,60} = 0,42 \text{ м} = 42 \text{ см}; e = 51 \text{ см};$$

$$F'_a = \frac{kNe - 0,375 R_n b h_0^2}{\sigma_T (h_0 - a')} = \frac{2 \cdot 2600 \cdot 51 - 227 \cdot 10^4}{16 \cdot 10^3} < 0;$$

$$F_a = \frac{2 \cdot 2600}{2500} \left(\frac{51}{0,16} - 1 \right) = 4,53 \text{ см}^2 < 7,86 \text{ см}^2,$$

уложенных по второму случаю у опорного кольца.

2. Кольцевая арматура. У центра опорного кольца по первому случаю загрузки $T_2 = 40,0$ т; у края ($x = 0,25$ м) $T'_2 = 33,42 - 0,25(33,42 - 25,5) = 31,54$ т.

Дополнительная кольцевая сила от днища:

$$\Delta T_2 = \frac{40 + 31,54}{2} 0,25 = 8,92 \text{ т}.$$

В кольцо нужно добавить арматуры:

$$F_a = \frac{1,4 \cdot 8920}{2500} = 5,0 \text{ см}^2.$$

По второму случаю загрузки соответственно

$$T_2 = \frac{33,52 + 24,8}{2} 0,25 = 7,3 \text{ т}.$$

Нужно кольцевой арматуры $F_a = \frac{1,8 \cdot 7300}{2500} = 5,24 \text{ см}^2$.

У края кольца $T_2 = 31,54$ т, кольцевой арматуры нужно по первому случаю:

$$F_a = \frac{1,4 \cdot 31540}{2500} = 17,65 \text{ см}^2.$$

Соответственно по второму случаю загрузки $T_2 = 24,8$ т;

$$F_a = \frac{1,8 \cdot 24800}{2500} = 17,8 \text{ см}^2.$$

Принимаем $2 \times 11 \text{ } \varnothing 10$ мм (с двух сторон); $F_a = 17,3 \text{ см}^2$ на 1 м.

Кольцевая арматура нужна лишь на длине около 1 м, так как на расстоянии 1,20 м от центра кольца даже по третьему случаю $T_2 = 4,2$ т и напряжения растяжения в бетоне без арматуры

$$\sigma_{б.р} = \frac{4200}{20 \cdot 100} = 2,1 \text{ кг/см}^2 < \frac{R_p}{k^p} = \frac{17,0}{3,0} = 5,66 \text{ кг/см}^2.$$

е) Подбор сечений арматуры в опорном кольце

Наибольший изгибающий момент в кольце (по первому случаю) $M_{\text{макс}} = M'_k r = 0,16 \cdot 4,80 = 0,77$ тм — невелик, поэтому кольцо можно считать на осевое растяжение. Растягивающая сила по первому случаю:

$$N'_k = Q'_k r = 12,48 \cdot 4,80 = 59,91 \text{ т}.$$

Арматура необходима сечением:

$$F_a = \frac{1,4 \cdot 59910}{2500} = 33,5 \text{ см}^2.$$

Соответственно по второму случаю:

$$N_k'' = Q_k'' r = 10,2 \cdot 4,80 = 48,96 \text{ т;}$$

$$F_a = \frac{1,8 \cdot 48\,960}{2\,500} = 35,1 \text{ см}^2.$$

Часть арматуры, располагаемая в консоли (пропорционально соответствующим r_{22}):

$$F_{ак} = 35,1 \frac{3,94 + 4,53}{16,29} = 18,2 \text{ см}^2.$$

Добавляем арматуру от усилий в стенке и днище, передающихся на длине кольца. Собственно в кольцо нужно уложить:

$$F_a = 35,1 - 18,2 + 5,28 + 5,24 = 27,42 \text{ см}^2.$$

Принято собственно в кольцо $8 \text{ } \varnothing \text{ } 20 \text{ мм}$, $F_a = 25,2 \text{ см}^2$ и в консоли $2 \times 11 \text{ } \varnothing \text{ } 10 \text{ мм}$, $F_{ак} = 17,32 \text{ см}^2$.

ж) Корпус башни

Нагрузки вертикальные. 1. Шатер и кровля без снеговой нагрузки:

$$Q_1 = 3\,030 \cdot 3,14 \cdot 11,47 - 6\,200 = 109\,000 - 6\,200 = 102\,800 \text{ кг.}$$

2. Снеговая нагрузка на кровлю:

$$Q_2 = 63 \cdot 3,14 \cdot 11,47^2 = 6\,200 \text{ кг.}$$

3. Консоль под шатром:

$$Q_3 = 2\,400 \cdot 0,95 \frac{0,24 + 0,12}{2} 3,14 (11,47 - 0,95) = 13\,600 \text{ кг.}$$

4. Вес стенок резервуара:

$$Q_4 = \frac{0,20 + 0,10}{2} \cdot 7,20 \cdot 3,14 \cdot 9,60 \cdot 2\,400 = 84\,800 \text{ кг.}$$

5. Днище резервуара (собственный вес):

$$Q_5 = 2 \cdot 3,14 \cdot 9,13 \cdot 1,35 \frac{(0,20 + 0,10) 2\,400}{2} = 30\,200 \text{ кг.}$$

6. Вода в резервуаре (с учетом переполнения на 10%):

$$Q_6 = 440\,000 \text{ кг.}$$

7. Собственный вес железобетонного перекрытия под резервуаром:

$$Q_7 = 3,14 (5,88^2 - 3,52^2) 0,10 \cdot 2\,400 = 16\,400 \text{ кг.}$$

8. Временная нагрузка на перекрытие (консольная кольцевая плита: наружный радиус $r_0 = 5,84 \text{ м}$, внутренний $r_1 = 3,52 \text{ м}$):

$$Q_8 = 3,14 (5,84^2 - 3,52^2) 400 = 27\,200 \text{ кг.}$$

9. Вес лестничных площадок при толщине плиты 12 см (число площадок $n = 15$):

$$Q_9 = 0,12 \frac{1,20 + 0,35}{2} 1,05 \cdot 2\,400 \cdot 15 = 3\,400 \text{ кг.}$$

10. Вес лестницы при числе маршей 16:

$$Q_{10} = 420 \cdot 16 = 6\,700 \text{ кг.}$$

11. Вес механического оборудования башни принимается ориентировочно:

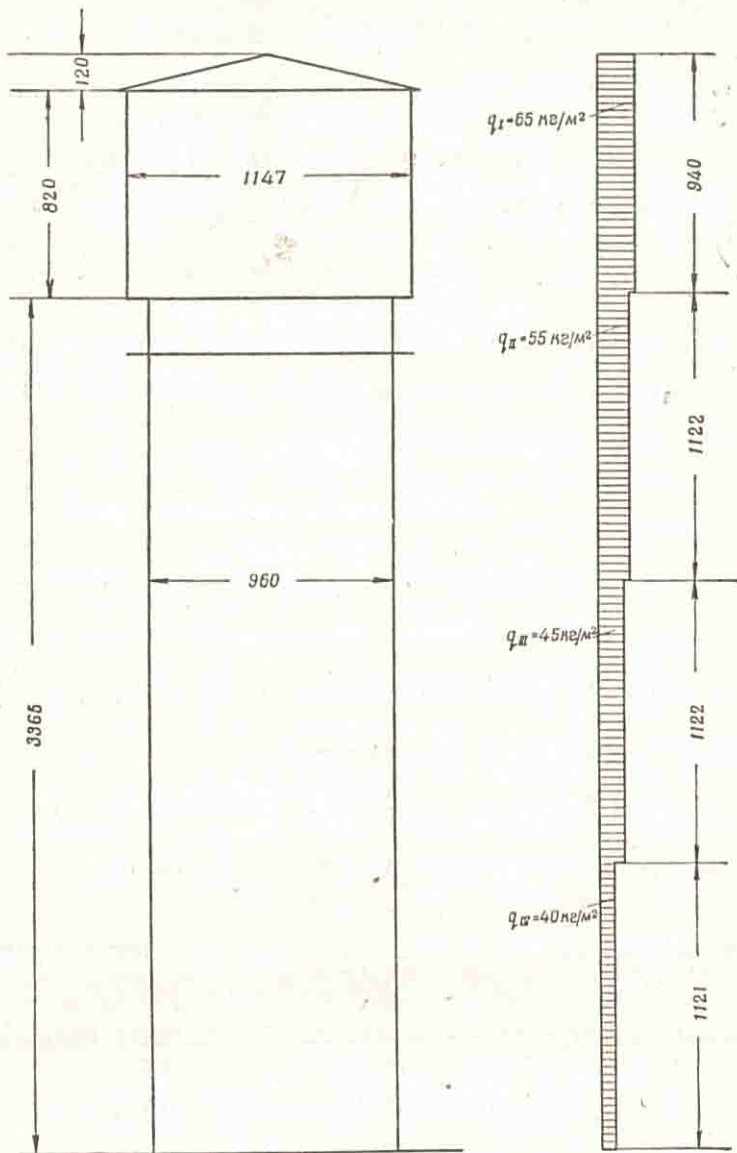
$$Q_{11} = 4\,000 \text{ кг.}$$

12. Вес надземной части стенок ствола башни при толщине их 12 см:

$$Q_{12} = 3,14 \cdot 9,56 \cdot 0,12 (35 - 1,35) \cdot 2400 = 291\,000 \text{ кг.}$$

13. То же, подземной части, считая от поверхности земли до верха ленточного железобетонного фундамента $H'_3 = 3,0$ м:

$$Q_{13} = 3,14 \cdot 9,56 \cdot 0,12 \cdot 3,0 \cdot 2400 = 26\,000 \text{ кг.}$$



Фиг. 289. Схема ветровых нагрузок на башню.

Нагрузки горизонтальные (давление ветра). Для расчета на давление ветра надземная часть башни по высоте разбивается на четыре зоны. При нумерации зон по порядку, считая сверху, имеем (фиг. 289):

высота I зоны $H_I = 9,40$ м (высота шатра)

» II » $H_{II} = 11,22$ »

» III » $H_{III} = 11,22$ »

» IV » $H_{IV} = 11,21$ »

Ветровая нагрузка на единицу площади вертикального сечения башни определяется согласно ОСТ 90058—40:

$$P = k_b \cdot q,$$

где k_b — коэффициент обтекания поверхности (в нашем случае $k_b = 0,6$);
 q — скоростной напор ветра.

Значение скоростного напора определяется по формуле:

$$q = 0,25 q_0 \sqrt{H_0 + \frac{2}{3} H_i},$$

где H_0 — высота от поверхности земли до низа рассматриваемой зоны;

H_i — высота рассматриваемой зоны;

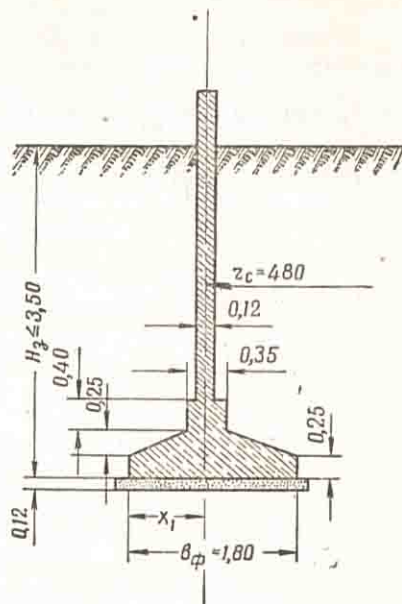
q_0 — скоростной напор у поверхности земли.

Для определения момента, опрокидывающего башню, необходимо подсчитать величины и плечи действующих на каждую зону сил. Расстояние от поверхности земли до точки приложения силы давления ветра в данной зоне определяют по формуле:

$$H = H_0 + \frac{2}{3} \cdot H_i.$$

Плечо относительно верхнего обреза фундамента соответственно на 3,0 м больше (фиг. 290).

Расчет давления ветра по зонам и соответствующие им опрокидывающие моменты относительно поверхности земли и верхнего обреза фундамента приведены в таблице 23.



Фиг. 290. Радиальное сечение фундамента башни.

Таблица 23

Определение моментов, опрокидывающих башню

| № зон | Высота зоны H_i | Высота до низа зоны H_0 | Скоростные напоры (кг/м ²) | Давление ветра на единицу площади | Площадь сечения (м ²) | Полное давление на зону (кг) | У поверхности земли | | У верхнего обреза фундамента | |
|-------------|-------------------|---------------------------|--|-----------------------------------|-----------------------------------|------------------------------|---------------------|-----------------------------|------------------------------|-----------------------------|
| | | | | | | | плечо H (м) | опрокидывающий момент (кгм) | плечо H (м) | опрокидывающий момент (кгм) |
| I | 9,40 | 33,65 | 65 | 39 | 108,5 | 4 240 | 39,92 | 169 000 | 42,92 | 182 000 |
| II | 11,22 | 22,43 | 55 | 33 | 109,0 | 3 600 | 29,91 | 107 800 | 32,91 | 118 500 |
| III | 11,22 | 11,21 | 44 | 27 | 109,0 | 2 940 | 18,69 | 54 900 | 21,69 | 63 800 |
| IV | 11,21 | — | 40 | 24 | 109,0 | 2 620 | 7,48 | 19 600 | 10,48 | 27 400 |
| Итого . . . | | | | | | 13 400 | | 351 300 | | 391 700 |

Проверка напряжений в корпусе башни. Проверку производим для сечения на уровне земли с учетом ослабления дверными проемами. Кроме того, для варианта с железобетонным фундаментом необходимо произвести проверку сечения на уровне верхнего обреза фундамента.

Проверку ведем на два случая загрузки.

1. Резервуар наполнен водой и все временные нагрузки действуют.
2. Опорожненный резервуар при одновременном отсутствии всех вертикальных временных нагрузок и при полном давлении ветра.

1. Сечение на уровне земли. Толщина стенки ствола $\delta = 12$ см. Сечение ослаблено одним дверным проемом шириной $b = 0,85$ м.

Площадь сечения:

$$F_{\text{н}} = \frac{3,14}{4} (9,72^2 - 9,48^2) - 0,85 \cdot 0,12 = 3,49 - 0,10 = 3,39 \text{ м}^2.$$

Момент инерции определяем, пренебрегая смещением центра тяжести сечения:

$$I_{\text{н}} = (1 - k) \frac{\pi (D^4 - d^4)}{64} = \left(1 - \frac{0,10}{3,39}\right) 0,049 (9,72^4 - 9,48^4) = 40,5 \text{ м}^4.$$

Момент сопротивления:

$$W_{\text{н}} = \frac{2I_{\text{н}}}{D} = \frac{2 \cdot 40,5}{9,72} = 8,37 \text{ м}^3.$$

Первый случай загрузки. Вертикальная сила:

$$\sum Q_i = 1025,6 \text{ т}; \quad F_{\text{н}} = 3,39 \text{ м}^2;$$

$$\sum M_i = 351,3 \text{ тм}; \quad W_{\text{н}} = 8,37 \text{ м}^3.$$

Напряжение в бетоне без учета работы арматуры:

$$\sigma_{\sigma} = \frac{\sum Q_i}{F_{\text{н}}} \pm \frac{\sum M_i}{W_{\text{н}}} = \frac{1025,6}{3,39} \pm \frac{351,3}{8,37} = 303 \pm 42,0;$$

$$\sigma_{\sigma}^{\text{макс}} = 303 + 42,0 = 345 \text{ т/м}^2 = 34,5 \text{ кг/см}^2 < \frac{170}{3,0} = 56,6 \text{ кг/см}^2;$$

$$\sigma_{\sigma}^{\text{мин}} = 303 - 42 = 261,0 \text{ т/м}^2 = 26,1 \text{ кг/см}^2 < 56,6 \text{ кг/см}^2.$$

Второй случай загрузки:

$$\sum Q_i = 565,0 \text{ т};$$

$$\sum M_i = 351,3 \text{ тм};$$

$$\sigma_{\sigma} = \frac{565,0}{3,39} \pm \frac{351,3}{8,37} = 166,6 \pm 42,0;$$

$$\sigma_{\sigma}^{\text{макс}} = 165,6 + 42 = 208,6 \text{ т/м}^2 = 20,36 \text{ кг/см}^2 < 56,6 \text{ кг/см}^2;$$

$$\sigma_{\sigma}^{\text{мин}} = 165,6 - 42 = 124,6 \text{ т/м}^2 = 12,46 \text{ кг/см}^2 < 56,6 \text{ кг/см}^2.$$

Растягивающие напряжения не возникают.

2. Сечение у верхнего обреза фундамента.

Площадь поперечного сечения ствола $F = 3,49$ м².

Момент инерции бетонного сечения $I = 42,1$ м⁴.

Момент сопротивления $W = \frac{42,1}{4,86} = 8,70$ м³.

Первый случай загрузки:

$$\sum Q_i = 1025,6 + 26,0 = 1051,6 \text{ т};$$

$$\sum M_i = 391,7 \text{ тм}.$$

Напряжение в бетоне без учета работы арматуры:

$$\sigma_{\sigma} = \frac{1051,6}{3,49} \pm \frac{391,7}{8,70} = 298,0 \pm 45,0.$$

$$\sigma_{\sigma}^{\text{макс}} = 298 + 45 = 343 \text{ т/м}^2 = 34,3 \text{ кг/см}^2 < 56,6 \text{ кг/см}^2;$$

$$\sigma_{\sigma}^{\text{мин}} = 298 - 45 = 253 \text{ т/м}^2 = 25,3 \text{ кг/см}^2 < 56,6 \text{ кг/см}^2.$$

Второй случай загрузки:

$$\sum Q_i = 565,0 + 26 = 591,0 \text{ т};$$

$$\sum M_i = 391,7 \text{ тм};$$

$$\sigma_6 = \frac{591}{3,53} \pm \frac{391,7}{8,70} = 167,5 \pm 45;$$

$$\sigma_6^{\text{макс}} = 167,5 + 45 = 212,5 \text{ т/м}^2 = 21,25 \text{ кг/см}^2 < 56,6 \text{ кг/см}^2;$$

$$\sigma_6^{\text{мин}} = 167,5 - 45 = 122,5 \text{ т/м}^2 = 12,25 \text{ кг/см}^2 < 56,6 \text{ кг/см}^2.$$

Арматура ствола. Ствол предполагается армировать 16 стержнями $\varnothing 25$ мм для поддержки передвижной опалубки и вертикальной монтажной арматурой $\varnothing 8$ мм с расстоянием между стержнями

$$a = \frac{3,14 \cdot 9,60}{5 \cdot 16} = 37,5 \text{ см}$$

(из расчета четыре монтажных на один стержень $\varnothing 25$ мм).

Сечение арматуры:

$$F_a = 16 \cdot 4,91 + 4 \cdot 16 \cdot 0,51 = 78,54 + 32,16 = 110,7 \text{ см}^2.$$

Насыщение арматурой:

$$\mu = \frac{F_a}{F_6} = \frac{110,7}{35300} = 0,0031 (0,31\%).$$

з) Фундамент башни

Фундамент проектируем для грунтов средней плотности с допускаемым давлением $[\sigma_{гр}] = 2,5 \text{ кг/см}^2$. Фундамент принимаем железобетонным с шириной подошвы по низу (фиг. 290) $b_{\phi} = 1,80$ м. Располагаем фундамент таким образом по отношению к стволу башни, чтобы последний приходился над центром тяжести поперечного сечения подошвы фундамента.

Тогда расстояние от внешней грани фундамента до оси ствола определится из следующего соотношения:

$$x_1 = \left(\frac{r_1 + 2}{\frac{r_1}{r_2} + 1} \right) \frac{b_{\phi}}{3},$$

т. е.

$$x_1 = \frac{b_{\phi} - r_c}{2} + \sqrt{\frac{r_c^2}{4} - \frac{b_{\phi}^2}{12}},$$

так как

$$r_1 = r_c + x_1 \text{ и } r_2 = r_c + x_1 - b_{\phi},$$

где r_1 — радиус внешней окружности фундамента;

r_2 — то же, внутренней;

r_c — средний диаметр ствола башни (см. фиг. 290).

Знак (+) перед корнем берется потому, что x_1 должно быть действительным положительным числом. В нашем случае

$$b_{\phi} = 1,80 \text{ м}; r_c = 4,80 \text{ м}.$$

Следовательно:

$$x_1 = \frac{b_{\phi} - r_c}{2} + \sqrt{\frac{r_c^2}{4} - \frac{b_{\phi}^2}{12}} = \frac{1,80 - 4,80}{2} + \sqrt{\frac{4,80^2}{4} - \frac{1,8^2}{12}} = -1,50 + 2,32 = 0,82 \text{ м}.$$

Таким образом

$$r_1 = r_c + x_1 = 4,80 + 0,82 = 5,62 \text{ м};$$

$$r_2 = r_1 - b_{\phi} = 5,62 - 1,80 = 3,82 \text{ м}.$$

При таких размерах

$$F_{\phi} = \pi (r_1^2 - r_2^2) = 3,14 (5,62^2 - 3,82^2) = 53,40 \text{ м}^2;$$

$$W_{\phi} = \frac{\pi}{2} \frac{r_1^4 - r_2^4}{2r_1} = 1,57 \frac{5,62^4 - 3,82^4}{2 \cdot 5,62} = 109,60 \text{ м}^3.$$

Давление на грунт определится, если будет известен вес плиты фундамента.

Примем среднюю толщину подушки $\delta_{\phi} = 0,30 \text{ м}$.
Тогда:

$$Q_{\phi} = \pi \delta_{\phi} (r_1^2 - r_2^2) = 53,4 \cdot 0,3 \cdot 2400 = 38000 \text{ кг}.$$

Полное давление на подушку по первому случаю загрузки:

$$\sum Q = 1064,6 \text{ т}.$$

$$\sum M = 391,7 + 13,4 \cdot 0,5 = 398,4 \text{ тм}.$$

Давление на грунт:

$$\sigma_{\text{гр}} = \frac{\sum Q}{F_{\phi}} \pm \frac{\sum M}{W_{\phi}} = \frac{1064,6}{53,4} \pm \frac{398,4}{109,6} = 19,9 \pm 3,70;$$

$$\sigma_{\text{гр}}^{\text{макс}} = 19,9 + 3,70 = 23,60 \text{ т/м}^2 = 2,36 \text{ кг/см}^2 < 2,5 \text{ кг/см}^2;$$

$$\sigma_{\text{гр}}^{\text{мин}} = 19,9 - 3,70 = 16,2 \text{ т/м}^2 = 1,62 \text{ кг/см}^2 < 2,5 \text{ кг/см}^2.$$

Второй случай загрузки:

$$\sum Q = 603,0 \text{ т}; \quad \sum M = 398,4 \text{ тм};$$

$$\sigma_{\text{гр}} = \frac{603}{53,4} \pm \frac{398,4}{109,6} = 11,3 \pm 3,70;$$

$$\sigma_{\text{гр}}^{\text{макс}} = 15,0 \text{ т/м}^2 = 1,50 \text{ кг/см}^2 < 2,5 \text{ кг/см}^2;$$

$$\sigma_{\text{гр}}^{\text{мин}} = 7,6 \text{ т/м}^2 = 0,76 \text{ кг/см}^2 < 2,5 \text{ кг/см}^2.$$

5. СТАТИЧЕСКИЙ РАСЧЕТ ПОДЗЕМНОГО ЖЕЛЕЗОБЕТОННОГО РЕЗЕРВУАРА ЕМКОСТЬЮ 300 м³ ДЛЯ РАЙОНА, ПОДВЕРЖЕННОГО СЕЙСМИЧЕСКИМ КОЛЕБАНИЯМ

а) Условия работы резервуара

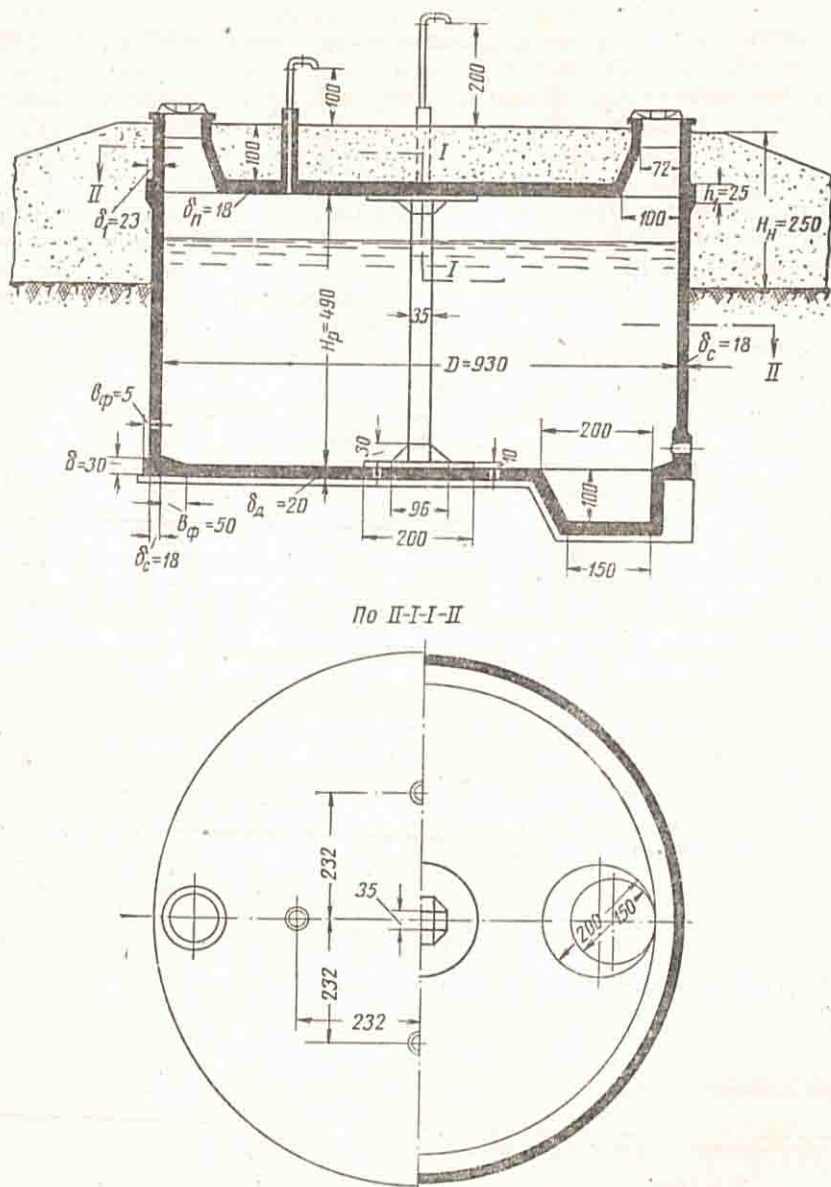
Резервуар (фиг. 291) предназначен для содержания в нем чистой воды. Район расположения резервуара относится к числу основных сейсмических пунктов СССР, с расчетной балльностью IX по шкале ОСТ ВКС 4537 (см. «Инструкцию по проектированию гражданских и промышленных зданий и сооружений, возводимых в сейсмических районах», Стройиздат НКСтроя, 1940, стр. 27).

Грунт в месте расположения резервуара (по данным изысканий) на глубине 3 м представляет собой глину серовато-бурого цвета, плотную, грубую, мало пластичную, слабо влажную, по физическим свойствам близкую к тяжелым суглинкам. Указания на лессовидность отсутствуют. Грунтовые воды (верховодка) залегают выше подошвы фундамента на 1,40 м.

В связи с близостью воды допустимое давление на грунт принято равным 2 кг/см².

Перед началом строительных работ по возведению резервуара необходимо произвести бурение или шурфование на глубину не менее 4 м ниже

подшвы фундамента резервуара, чтобы убедиться в соответствии принятых грунтовых условий действительным, а также в наличии достаточно мощного подстилающего пласта.



Фиг. 291. Конструктивная схема железобетонного резервуара для сейсмического района (к примеру 5).

б) Выбор материала конструкции и обоснование конструктивной схемы

Условия работы сооружения (IX — балльная сейсмичность) заставляют подходить к выбору материала конструкции и конструктивной схемы сооружения со специальными требованиями (см. гл. I, § 6).

Проектируемый резервуар имеет сравнительно небольшие размеры, при которых железобетонная цилиндрическая оболочка способна воспринять возможные горизонтальные силы инерции. Сейсмические волны вертикального направления могут быть при данных размерах переданы на безребер-

ную плиту. Опыт изучения крупных землетрясений показал, что чаще всего от толчков вертикального и косо направлений страдают железобетонные колонны, которые не в состоянии оказать достаточных сопротивлений сдвигу, а иногда и внецентренному сжатию.

Поэтому, с одной стороны, в целях уменьшения влияния сейсмического толчка на колонны, на них нужно передать как можно меньшую часть нагрузки от перекрытия. С другой стороны, в сооружениях небольших размеров, как это имеет место в данном случае, желательно уменьшить число колонн с тем, чтобы почти все срезающие усилия воспринимались цилиндрической оболочкой.

Эти соображения позволяют признать удовлетворительной схему цилиндрического резервуара с плоскими безреберными покрытием и дном при одной колонне в центре (на колонну в этом случае передается меньше $\frac{1}{3}$ всей нагрузки). При соответствующем развитии капители и устройстве утолщений около стен резервуара можно добиться хорошей работы плиты на продавливание и на главные растягивающие напряжения при изгибе.

Следует выбирать поперечное сечение колонны достаточно большим, чтобы не опасаться потери устойчивости ее от продольного изгиба. Все сдвигающие усилия, передаваемые покрытием при сейсмическом толчке горизонтального направления, считаются передаваемыми на оболочку, которая и проектируется соответствующей жесткости.

При возведении резервуара необходимо избегать устройства рабочих швов в местах примыкания стен и колонн к перекрытию и дну, а также у низа капители. Эти швы следует делать не доходя до капители колонны или верха стенки на 40—50 см. Не следует также делать рабочих швов по контуру капители и надкапитальной плиты при бетонировании плит покрытия и дна резервуара.

в) Основные данные для расчета

Материалы:

Бетон М-200, вибрированный; $\gamma_6 = 2,6 \text{ т/м}^3$;
арматура из стали марки Ст. 3, холодносплюснутая, периодического профиля; $\sigma_T = 3500 \text{ кг/см}^2$.

Грунт:
объемный вес

$$\gamma_r = 1,8 \text{ т/м}^3;$$

без учета сейсмичности угол естественного откоса

$$\varphi = 35^\circ; \quad \text{tg}^2 \left(45^\circ - \frac{\varphi}{2} \right) = 0,27;$$

с учетом сейсмичности

$$\varphi_c = 29^\circ; \quad \text{tg}^2 \left(45^\circ - \frac{\varphi_c}{2} \right) = 0,35;$$

коэффициент постели

$$k_r = 5 \text{ кг/см}^3 = 5000 \text{ т/м}^3.$$

Материал засыпки (взрыхленный грунт):

$$\gamma_1 = 1,6 \text{ т/м}^3;$$

без учета сейсмичности

$$\varphi_1 = 30^\circ; \quad \text{tg}^2 \left(45^\circ - \frac{\varphi_1}{2} \right) = 0,33;$$

с учетом сейсмичности

$$\varphi_2 = 24^\circ; \quad \text{tg}^2 \left(45^\circ - \frac{\varphi_2}{2} \right) = 0,44.$$

Снеговая нагрузка:

$$g_c = 70 \text{ кг/м}^2.$$

Коэффициенты запаса прочности и сейсмические силы. 1) Коэффициенты запаса в периоды между землетрясениями (по табл. 7 приложения II).

Стенки и колонны на внецентренное и центральное сжатие $k_c = 2,0$.

Плиты покрытия и днища:

изгиб $k_n = 1,8$; главные растягивающие напряжения без учета работы отгибов $k'' = 3,0$;

осевое растяжение $k_r = 1,30$.

2) В момент землетрясения (с учетом сейсмических сил): $k_c = 1,6$; $k_n = 1,6$; $k'' = 2,4$; $k_r = 1,20$.

Коэффициент устойчивости против скольжения во время землетрясения $k_{ск} = 1,15$.

Горизонтальные сейсмические силы инерции приняты согласно п. 7в «Инструкции по проектированию промышленных зданий и сооружений, возводимых в сейсмических районах».

$$P_c = 0,1P,$$

где P — вертикальная суммарная нагрузка на соответствующий элемент сооружения;

P_c — расчетная горизонтальная составляющая сил инерции, прикладываемая к центру тяжести нагрузок на соответствующий элемент сооружения.

Основные предпосылки к расчету резервуара. Определение внутренних усилий разбивается на два самостоятельных этапа.

1. Определение расчетных M , N , Q в элементах сооружения, возникающих в периоды между землетрясениями.

2. Учет усилий, вызываемых землетрясением.

Подбор сечений элементов резервуара производится по наибольшему из возможных усилий.

В первом случае получается полярно-симметричное нагружение.

Характеристика жесткости стенки:

$$\lambda_c = \frac{\sqrt{r\delta_c}}{\sqrt[4]{3(1-\nu^2)}}.$$

Характеристика жесткости днища:

$$\lambda_d = \sqrt[4]{\frac{4EI_d}{bk_r(1-\nu^2)}} = \sqrt[4]{\frac{E\delta_d^3}{3bk_r(1-\nu^2)}}.$$

Здесь: E — модуль упругости бетона,

δ_c — толщина стенки,

δ_d — толщина днища.

Заданная и общая основная системы резервуара показаны на фигуре 292, при $\nu = 0$.

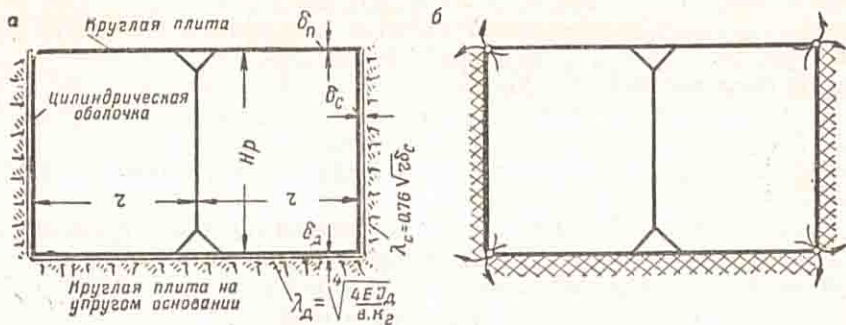
Расчетную схему днища можно расчленить на две при условии, что

$$\frac{r}{\lambda_d} > 3.$$

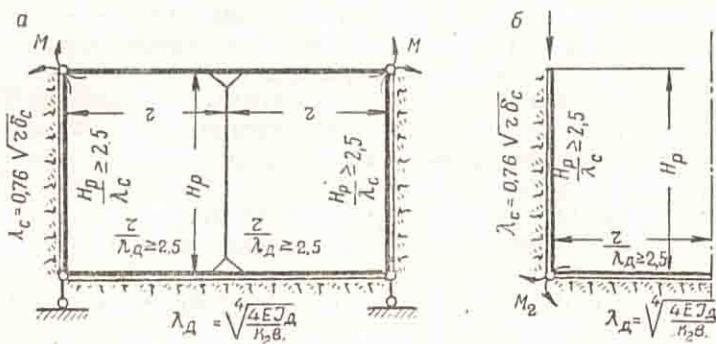
Тогда общая основная система резервуара распадается на две, каждая с одним неизвестным. Основные системы — расчлененные — показаны на фигуре 293.

Влияние сил инерции масс скажется, с одной стороны, в возникновении значительных сдвигающих сил, а с другой — в появлении дополнительных кольцевых изгибающих моментов. Эти моменты будут возникать главным образом от нагрузки силами инерции масс, распределенных по высоте стенки, в то время как от нагрузки на покрытие резервуара в стенках будут преобладать лишь сдвигающие силы. Последние целиком можно передать на стенки резервуара, учитывая, что цилиндрическая жесткость оболочки значительно превышает жесткость колонны.

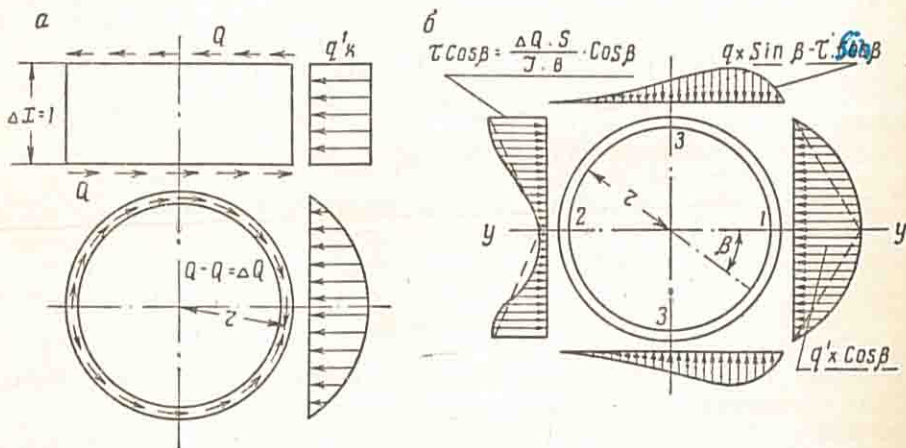
Кольцевые изгибающие моменты с достаточной для практики степенью точности могут быть определены из условий равновесия между приращением нагрузки на длине $\Delta x = 1$ и приращением сдвигающих сил, действующих



Фиг. 292. Расчетная схема резервуара: а—заданная система; б—основная система.



Фиг. 293. Расчлененные основные системы: а—основная система I для расчета верхнего узла резервуара; б—основная система II для расчета нижнего узла резервуара.



Фиг. 294. Схема распределения сдвигающих усилий в оболочке резервуара от сил инерции при землетрясении: а—схема внешних воздействий на элементарное кольцо; б—расчетные сдвигающие усилия.

щих на элемент цилиндрической оболочки на том же участке $\Delta x = 1$ (фиг. 294).

Если пренебречь в запас прочности нагрузкой, возникающей в направлении y , ввиду ее незначительности, а оставшуюся нагрузку распре-

делить по закону ломаной линии (это приведет также к дополнительному увеличению запаса прочности конструкции), то для наибольших значений изгибающего кольцевого момента получим простые выражения:

$$\begin{aligned} \text{в точке } 1 \quad M_1 &= -0,155q_x r^2 \\ \text{» } \text{» } 2 \quad M_2 &= -0,094q_x r^2 \\ \text{» } \text{» } 3 \quad M_3 &= +0,115q_x r^2 \\ N &= 0,043q_x r \end{aligned}$$

(Пуассоново отношение принято $\nu = 0$).

г) Подсчет нагрузок и предварительный подбор сечений элементов резервуара

Покрытие резервуара. Приблизленно наибольший изгибающий момент в круглой плите, опертой по контуру и в центре, может быть принят:

$$\text{в центре } M_0 \approx \frac{g_n r^2}{8};$$

$$\text{в пролете } M_{\text{макс}} \approx \frac{g_n r^2}{15}.$$

Вес земляной засыпки при заданной толщине слоя засыпки в 1 м (учитывая увеличение за счет сил инерции во время землетрясения коэффициентом $k_3 = 1,10$)

$$g_3 = \gamma_1 h_3 k_3 = 1,60 \cdot 1,0 \cdot 1,10 = 1,76 \text{ т/м}^2.$$

Собственный вес плиты толщиной $\delta_n = \frac{r}{30}$:

$$g_{\text{с.в}} = \gamma_6 \frac{r}{30} k_3 = 2,6 \frac{4,70}{30} 1,10 = 0,45 \text{ т/м}^2.$$

Общая нагрузка, учитывая 0,04 т/м² на штукатурку и 0,07 т/м² от снега, будет:

$$g_n = 1,76 + 0,45 + 0,11 = 2,32 \text{ т/м}^2.$$

Следовательно:

$$M_0 = \frac{2,32 \cdot 4,7^2}{8} = 6,41 \text{ тм};$$

$$M_{\text{макс}} = \frac{2,32 \cdot 4,7^2}{15} = 3,42 \text{ тм}.$$

Необходимую толщину плиты определяем по пролетному моменту, учитывая наличие надкапитальной плиты:

$$\delta_n = h_0 + a = 0,09 \sqrt{M_{\text{макс}}} + 0,02 = 0,09 \sqrt{3,42} + 0,02 \cong 0,166 + 0,02 \cong 0,18 \text{ м}.$$

Принимаем толщину плиты покрытия:

$$\delta_n = 0,18 \text{ м} = 18 \text{ см}.$$

Толщина надкапитальной плиты $\delta' = \frac{\delta_n}{2} = 9 \text{ см}.$

Колонна. Принимаем приближенно, что на колонну передается 40% всей нагрузки:

$$P_k = \frac{g_n \pi r^2}{2,5} = 0,4 \cdot 2,32 \cdot 3,14 \cdot 4,70^2 = 64,4 \text{ т}.$$

Необходимая площадь сечения колонны при $\mu = 0,5\%$ и марке бетона 200 (см. Сахновский, «Железобетонные конструкции», 1952, стр. 235, табл. 26, строка 1):

$$F_0 = 12,7 \cdot P_k = 12,7 \cdot 64,4 = 820 \text{ см}^2.$$

Размеры сторон при квадратном сечении колонны

$$d_k = \sqrt{F_6} = \sqrt{320} = 28,8 \text{ см.}$$

Принимаем $d_k = 35 \text{ см.}$

$$\lambda = \frac{l_0}{d_k} = \frac{0,7 \cdot H_p}{d_k} = \frac{0,7 \cdot 4,90}{0,35} = 9,8 < 14.$$

Размер стороны восьмигранной капители из условий продавливания:

$$a_k = \frac{P_k k''}{8R_{cp}(\delta_n + \delta')} = \frac{64400 \cdot 2,4}{8 \cdot 43,5 \cdot 27} \approx 18,0 \text{ см.}$$

Учитывая опасность появления растяжения по косым площадкам, принимаем $a_k = 40 \text{ см.}$

Стенка резервуара. Принимаем увеличение толщины оболочки, из-за возможности появления кольцевых изгибающих моментов, на 25% против обычной, определяемой из условий осевого растяжения кольца:

$$\delta_c = \frac{\alpha H_p r}{R_p} \left(k_T - \frac{200k}{\sigma_T} \right) = \frac{0,9 \cdot 4,7 \cdot 4,74}{170} 1,12 = 0,134 \text{ м.}$$

Принимаем $\delta_c = 0,18 \text{ м} = 18 \text{ см.}$

Днище резервуара. Учитывая необходимость увеличения толщины защитного слоя, принимаем толщину дна на 2 см больше толщины покрытия, т. е.

$$\delta_d = 20 \text{ см.}$$

д) Статический расчет резервуара на симметричную нагрузку в период между землетрясениями

Подсчет нагрузок. Покрытие резервуара. Вес земляной засыпки:

$$g_3 = \gamma_3 h_3 = 1,6 \cdot 1,0 = 1,6 \text{ т/м}^2.$$

Собственный вес плиты покрытия:

$$g_{c.п} = \gamma_c \delta_n = 2,6 \cdot 0,18 = 0,468 \approx 0,47 \text{ т/м}^2.$$

Штукатурка и затирка общей толщиной 3 см:

$$g_{ш} = \gamma_{ц} \delta_{ш} = 2,2 \cdot 0,03 = 0,066 \text{ т/м}^2.$$

Снеговая нагрузка $g_c = 0,07 \text{ т/м}^2.$

Суммарная нагрузка:

$$g_n = 1,60 + 0,468 + 0,066 + 0,07 = 2,204 \approx 2,20 \text{ т/м}^2.$$

Стенка резервуара. Давление воды внизу стенки, в случае возможного переполнения, считая полезную глубину воды $H_b = 4,70 \text{ м:}$

$$g_b = \gamma_b H_b = 4,70 \text{ т/м}^2.$$

Давление земли при пустом резервуаре:

1) в верхней точке (по осевой поверхности покрытия) от засыпки

$$g_2 = \gamma_3 h_3 \operatorname{tg}^2 \left(45^\circ - \frac{\varphi_1}{2} \right) = 1,6 \cdot 1,09 \cdot 0,33 = 0,576 = 0,60 \text{ т/м}^2;$$

2) в нижней точке, считая по осевой плоскости дна

$$H = h_3 + \delta_n + H_p + \frac{\delta_n}{2} = 1,0 + 0,18 + 4,90 + 0,1 = 6,18 \text{ м;}$$

Высота подсыпки над материком

$$H_n = 2,5 \text{ м, приведенная ее высота } H_{np} = 2,5 \frac{1,6}{1,8} = 2,22 \text{ м;}$$

глубина погружения резервуара в материк

$$H - H_n = 6,18 - 2,50 = 3,68 \text{ м;}$$

приведенная глубина

$$H_1 = 3,68 + 2,22 = 5,90 \text{ м;}$$

давление в нижней точке

$$g_1 = \gamma_s H_1 t g^2 \left(45^\circ - \frac{\varphi}{2} \right) = 1,8 \cdot 5,90 \cdot 0,27 = 2,67 \approx 3,0 \text{ т/м}^2.$$

Расчет верхнего узла. Учитывая, что:

$$\lambda_c \approx 0,76 \sqrt{r \delta_c} = 0,76 \sqrt{4,74 \cdot 0,18} = 0,70 \text{ м;}$$

$$\frac{H_p}{\lambda_c} = \frac{4,90}{0,70} = 7,0 > 3,0;$$

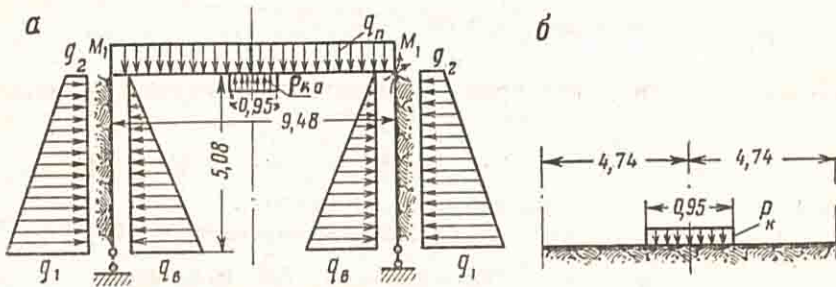
$$\lambda_d = \sqrt[4]{\frac{E \delta_n^3}{3k_r}} = \sqrt[4]{\frac{18 \cdot 10^5 \cdot 0,2^3}{3 \cdot 1 \cdot 5 \cdot 10^3}} = \sqrt[4]{0,931};$$

$$\lambda_d \approx 0,965 \text{ м;}$$

$$\frac{r}{\lambda_d} = \frac{4,74}{0,965} = 4,91 > 3,0,$$

можно считать верхний узел отдельно от нижнего.

Нетрудно видеть, что, пренебрегая разностью просадок стенки и колонны, можно считать, вследствие симметрии загрузки, колонну цен-



Фиг. 295. Расчетные схемы для верхнего узла резервуара:
а—основная система Ia; б—основная система Ib.

трально сжатой, и основную систему I (верхнего узла) разложить на две упрощенные системы Ia и Ib (фиг. 295), которые можно также считать раздельно.

Отпор колонны в основной системе Ia вычисляется из условия отсутствия просадки плиты покрытия у края капители:

$$P_{к.о} = \frac{g_n}{2\beta^2} \cdot \frac{5 - 6\beta^2 + \beta^4}{6 - 7\beta^2 + \beta^4 + 6\beta^2 \ln \beta}.$$

Здесь $\beta = \frac{b}{2r} = \frac{0,95}{9,48} \approx 0,1;$
 $\beta^2 = 0,01;$
 $\beta^4 = 0,0001.$

Влияние момента $M_1 = 1$ увеличивает отпор на:

$$P_1 = \frac{16(1 - \beta^2)}{r^2 \beta^2 (6 - 7\beta^2 + \beta^4 + 6\beta^2 \ln \beta)}.$$

Момент в узле определится из соотношения:

$$M_1 = \frac{\sum a_{10}}{\sum a_{11}} = - \frac{a_{10}^n + a_{10}^{co}}{a_{11}^n + a_{11}^{co}}.$$

Расчет ведем на три возможных случая загрузки:

- 1) резервуар наполнен не засыпанным;
- 2) засыпанный резервуар опорожнен от воды;
- 3) резервуар наполнен в засыпанном состоянии.

Первый случай загрузки. Имеем (перемещения взяты EI_{II} -кратными) для основной системы Ia (фиг. 295):

$$a_{10}^n = \frac{g_{св} r^3}{8} \left(\frac{1 + 1,53^2 - 23^4 + 0,53^6 + 6\beta^2 \ln \beta}{6 - 7\beta^2 + \beta^4 + 6\beta^2 \ln \beta} \right).$$

Здесь:

$$a_{10}^n = + \frac{0,55 \cdot 4,74^3}{8} \left(\frac{g_{св} = 0,55 \text{ т/м}^2;}{1 + 0,015 - 0,0002 + 0,0000005 - 6 \cdot 0,01 \cdot 2,303} \right) =$$

$$= \frac{0,55 \cdot 104,6 \cdot 0,877}{8 \cdot 5,79} = 1,09;$$

$$a_{10}^{сo} = - \frac{g_{в} \lambda_c^4}{4H_p} \frac{I_{II}}{I_c} = \frac{4,70 \cdot 0,7^4}{4 \cdot 5,08} \cdot 1 = -0,055 \approx -0,06.$$

Соответственно:

$$a_{11}^n = r \left(\frac{2 - \beta^2 + 6\beta^2 \ln \beta - \beta^4}{6 - 7\beta^2 + \beta^4 + 6\beta^2 \ln \beta} \right) = 1,517 \approx 1,52;$$

$$a_{11}^{сo} = \frac{\lambda_c}{2} \frac{I_c}{I_{II}} = \frac{0,70}{2} \cdot 1 = 0,35.$$

Следовательно:

$$M_1' = - \frac{1,09 - 0,06}{1,52 + 0,35} = - \frac{1,03}{1,87} = -0,551 \text{ тм} \approx -0,55 \text{ тм}.$$

Сдвигающая сила у верхнего края цилиндрической стенки:

$$Q_{II}' = - \frac{M_1'}{\lambda_c} = + \frac{0,55}{0,7} = +0,79 \text{ т}$$

(положительным принято направление Q от центра).

Реактивная нагрузка на 1 м² площади капители колонны:

$$p_k' = p_{к.о}' + p_1' = \frac{g_{св}}{2\beta^2} \left(\frac{5 - 6\beta^2 + \beta^4}{6 - 7\beta^2 + \beta^4 + 6\beta^2 \ln \beta} \right) + \frac{16(1 - \beta^2) M_1'}{r^2 \beta^2 (6 - 7\beta^2 + \beta^4 + 6\beta^2 \ln \beta)} =$$

$$= \frac{0,55(5 - 0,06 + 0,0001)}{2 \cdot 0,01(6 - 0,07 + 0,0001 - 0,138)} - \frac{16 \cdot 0,99 \cdot 0,55}{22,46 \cdot 0,01 \cdot 5,79} = 23,4 - 6,8 = 16,6 \text{ т/м}^2.$$

Нагрузка на колонну:

$$P_k' = p_k' \frac{\pi a_{II}^2}{4} = 16,6 \cdot 0,785 \cdot 0,95^2 = 11,8 \text{ т}.$$

Изгибающий радиальный момент в плите покрытия:

$$M_r = \frac{3g_{II} r^2}{16} \left[1 - \left(\frac{r}{r_0} \right)^2 \right] - \frac{p_k' r^2}{16} \left\{ \beta^4 \left[1 - \left(\frac{r_0}{r} \right)^2 \right] + 4\beta^2 \ln \frac{r}{r_0} \right\} + M_1.$$

Изгибающий момент кольцевого направления:

$$M_t = \frac{g_{II} r^2}{16} \left[3 - \left(\frac{r}{r_0} \right)^2 \right] - \frac{p_k' r^2}{16} \left\{ \beta^2 (1 - \nu^2) \left[1 + \left(\frac{r_0}{r} \right)^2 \right] - 4\beta^2 \ln \frac{r}{r_0} \right\} + M_1.$$

Для стенки резервуара имеем:

$$M_c' = M_1' \eta_{11} + (M_1' + Q_{II}' \lambda_c) \eta_{12};$$

$$T_2 = T_{20} - \frac{2r}{\lambda_c^2} [M_1' \eta_{12} - (M_1' + Q_{II}' \lambda_c) \eta_{11}].$$

Эпюры моментов в покрытии и стенке приведены на фигуре 296.

Решение основной системы 16 (фиг. 295).

Если считать нагрузку на днище, передаваемую от колонны, распределенной по кругу диаметром, равным размеру капители $a_k = 0,95$ м, то момент радиального направления может быть определен из условия ~~у края~~ ^{отсутствия} поворота реального сечения у края капители, учитывая, что, ввиду жесткости участка длиной a , последний не будет изгибаться.

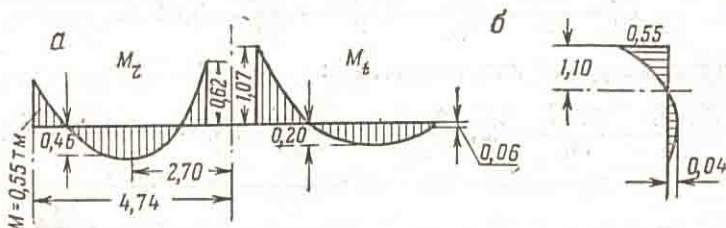
Для этого достаточно решить два уравнения:

$$M'a_{11}^{\lambda} + Q'a_{12}^{\lambda} = 0;$$

$$M'a_{21}^{\lambda} + Q' \left(a_{22}^{\lambda} + \frac{4EI_d}{k_r a_k} \right) + \frac{P_k EI_d}{k_r} = 0.$$

Из 1-го уравнения

$$Q' = -\frac{a_{11}^{\lambda}}{a_{12}^{\lambda}} M'.$$



Фиг. 296. Эпюры изгибающих моментов в покрытии и стенке резервуара по первому случаю нагружения:
а—эпюры моментов в плите покрытия; б—эпюра моментов в стенке.

Подставив это значение во второе уравнение, получим:

$$M'a_{12}^{\lambda} - M' \frac{a_{11}^{\lambda}}{a_{12}^{\lambda}} \left(a_{22}^{\lambda} + \frac{4EI_d}{k_r a_k} \right) + \frac{P_k EI_d}{k_r} = 0.$$

В нашем случае:

$$a_{11}^{\lambda} = \lambda_d = 0,965; \quad a_{12}^{\lambda} = \frac{\lambda_d^2}{2} = 0,465; \quad a_{22}^{\lambda} = \frac{\lambda_d^3}{2} = 0,45;$$

$$k_r = 5000 \text{ т/м}^2; \quad \frac{EI_d}{k_r} = \frac{\lambda_d^4}{4} = 0,216.$$

После подстановки этих значений в уравнение, получим:

$$M' \left[0,465 - \frac{0,965}{0,465} \left(0,45 + \frac{0,216 \cdot 4}{0,965} \right) \right] + P_k \cdot 0,216 = 0.$$

Отсюда

$$M' = 0,092 P_k.$$

Для первого случая нагружения:

$$P_k = 16,6 + \frac{2,4 \cdot 4,9 \cdot 0,016}{3,14 \cdot 0,95^2} = 17,3 \text{ т/м}^2;$$

$$M' = 0,092 \cdot 17,3 = 1,54 \text{ тм};$$

$$Q' = \frac{2M'}{\lambda_d} = 3,21 \text{ т}.$$

Давление на грунт под колонной:

$$\sigma'_{гр} = p_k - \frac{4Q'}{g} + g_b + g_{св} = 16,6 - 13,5 + 4,7 + 0,52 = 8,32 \text{ т/м}^2 = 0,83 \text{ кг/см}^2.$$

Второй случай загрузки.
Для основной системы Ia:

$$g_{\Pi} = 2,20 \text{ т/м}^2; \quad g_1 = 3,0 \text{ т/м}^2; \quad g_2 = 0,60 \text{ т/м}^2;$$

$$b_{10}^{\Pi} = \frac{a_{10}^{\Pi} g_{\Pi}}{g_{\text{св}}} = \frac{1,09 \cdot 2,20}{0,55} = 4,36; \quad b_{11}^{\Pi} = a_{11}^{\Pi} = 1,52;$$

$$b_{10}^{\text{св}} = -\frac{g_2 \lambda_c^4}{4H_B} \left(1 - \frac{H_B}{\lambda_c}\right) + \frac{g_1 \lambda_c^4}{4H_B} = -\frac{0,5 \cdot 0,24}{4 \cdot 5,08} \cdot \left(1 - \frac{5,08}{0,7}\right) + \frac{3,0 \cdot 0,24}{4 \cdot 5,08} =$$

$$= -0,007(1 - 7,25) + 0,0355 = 0,080;$$

$$b_{11}^{\text{св}} = a_{11}^{\text{св}} = 0,35;$$

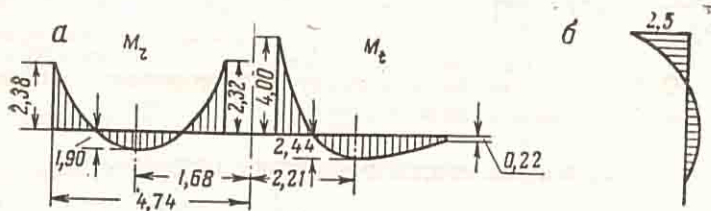
$$M_1^r = -\frac{4,36 + 0,08}{1,52 + 0,35} = -2,38 \text{ тм.}$$

Сдвигающая радиальная сила у верха цилиндрической стенки:

$$Q_1^r = \frac{g_2 \lambda_c}{2} - \frac{M_1^r}{\lambda_c} = \frac{0,6 \cdot 0,7}{2} + \frac{2,38}{0,70} = 3,61 \text{ т.}$$

Реактивная нагрузка над капителью:

$$p_k = \frac{p'_{\text{к.о}} g_{\Pi}}{g_{\text{св}}} + \frac{p'_1 M_1^r}{M_1^r} = 23,4 \frac{2,20}{0,55} - 6,8 \frac{2,38}{0,55} = 93,6 - 29,5 = 64,0 \text{ т/м}^2.$$



Фиг. 297. Эпюры изгибающих моментов в покрытии и стенке резервуара по второму случаю загрузки:
а—эпюры моментов в плите покрытия; б—эпюра моментов в стенке.

Нагрузка на колонну:

$$P_k = \frac{\pi a_k^2}{4} p_k = 0,706 \cdot 64,0 = 45 \text{ т.}$$

Эпюры изгибающих моментов в покрытии и стенке по второму случаю загрузки приведены на фигуре 297.

Для дна резервуара под колонной получаем:

$$M'' = \frac{P_k}{\frac{2}{\lambda_d^2} + \frac{8}{a_k \lambda_d}} = 0,092 p_k = +5,9 \text{ тм;}$$

$$Q'' = \frac{2M''}{\lambda_d} = \frac{p_k}{\frac{1}{\lambda_d} + \frac{4}{a_k}} = +0,191 p_k = 12,2 \text{ т.}$$

Давление на грунт под колонной:

$$\sigma_{\text{гр}}'' = p_k - \frac{4Q''}{a_k} + g_{\text{св}} = 64,1 - 61,5 + 0,52 = 13,72 \text{ т/м}^2 = 1,37 \text{ кг/см}^2.$$

Радиальный момент в плите дна распределится по закону [приближенно по формуле (9) главы III]:

$$M_r'' = M'' \eta_1 + (M'' + Q'' \lambda_d) \eta_2,$$

$$\text{где } \eta_1 = e^{-\varphi} \cos \varphi;$$

$$\eta_2 = e^{-\varphi} \sin \varphi$$

$$\varphi = \frac{x}{\lambda_d};$$

x — расстояние по радиусу до рассматриваемой точки от края капители.
Для кольцевого момента получаем:

$$M'_i = \frac{W'}{r} = \frac{\lambda_d}{2r} [M'' \eta_4 + (M'' - Q'' \lambda_d) \eta_3];$$

здесь

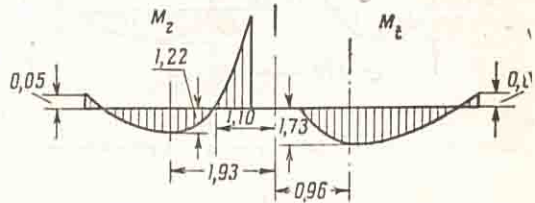
$$\eta_3 = \eta_1 + \eta_2;$$

$$\eta_4 = \eta_1 - \eta_2;$$

r — расстояние от центра плиты до рассматриваемой точки.

Эпюры M'_r и M'_i см. фигуру 298.

Давление на грунт в любой точке плиты:



Фиг. 298. Эпюры изгибающих моментов в днище по второму случаю загрузки.

$$\sigma_{гр} = g_{св} + \frac{2}{\lambda_d^2} [M'' \eta_1 - (M'' - Q'' \lambda_d) \eta_1].$$

Третий случай загрузки. Из основной системы Ia имеем:

$$c_{10}^{\text{II}} = b_{10}^{\text{II}} = 4,36; \quad c_{11}^{\text{II}} = a_{11}^{\text{II}} = 1,52;$$

$$c_{10}^{\text{CO}} = b_{10}^{\text{CO}} + a_{10}^{\text{CO}} = 0,08 - 0,06 = 0,02; \quad c_{11}^{\text{CO}} = a_{11}^{\text{CO}} = 0,35;$$

$$M_1''' = \frac{-(c_{10}^{\text{II}} + c_{10}^{\text{CO}})}{c_{11}^{\text{II}} + c_{11}^{\text{CO}}} = \frac{-(4,36 + 0,02)}{1,52 + 0,35} = \frac{-4,38}{1,87} = -2,34 \text{ тм};$$

$$Q_1''' = \frac{g_2 \lambda_c}{2} - \frac{M_1'''}{\lambda_c} = 0,21 + 3,34 = 3,55 \text{ т.}$$

Нагрузка на капитель колонны:

$$p_k''' = p_{k0}''' + \frac{p_1^2 M_1'''}{M_1'} = 93,6 - 28,9 = 64,7 \text{ т/м}^2.$$

Нагрузка на колонну: $P_k = 0,706 \cdot 64,7 = 45,7 \text{ т.}$

Значение радиального изгибающего момента в плите:

$$M_r''' = \frac{3 \cdot 2 \cdot 22,46}{16} \left[1 - \left(\frac{r}{4,74} \right)^2 \right] - \frac{64,7 \cdot 22,46}{16} \times \\ \times 0,0001 \left[1 - \left(\frac{4,74}{r} \right)^2 - 0,04 \ln \frac{r}{4,74} - 2,34. \right]$$

Изгибающий кольцевой момент в плите:

$$M_i''' = \frac{2 \cdot 2 \cdot 22,46}{16} \left[3 - \left(\frac{r}{4,74} \right)^2 \right] - \frac{64,7 \cdot 22,46}{16} \times \\ \times \left\{ \left[0,01 (4 - 0,01) + \left(\frac{4,74}{r} \right)^2 \right] - 0,04 \ln \frac{r}{4,74} \right\} - 2,34.$$

Эпюры изгибающих моментов в плите покрытия по третьему случаю загрузки приведены на фигуру 299.

Для днища резервуара под капителью колонны получим:

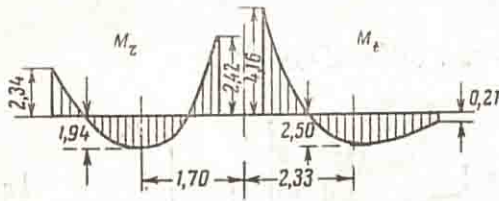
$$M = 0,092 p_k = 0,092 (64,7 + 0,7) = 6,0 \text{ тм};$$

$$Q = 0,191 p_k = 12,4 \text{ т.}$$

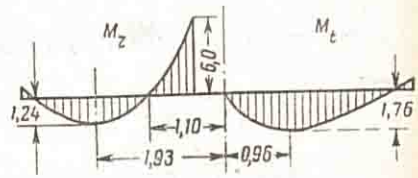
Давление на грунт под колонной:

$$\sigma_{гр}''' = p_k - \frac{4Q}{a_k} + g_b + g_{св} = 65,4 - 52,6 + 4,70 + 0,52 = 18,02 \text{ т/м}^2 = 1,8 \text{ кг/см}^2.$$

Эпюры моментов в днище по третьему случаю загрузки см. фигуру 300.



Фиг. 299. Эпюры изгибающих моментов в покрытии по третьему случаю загрузки.



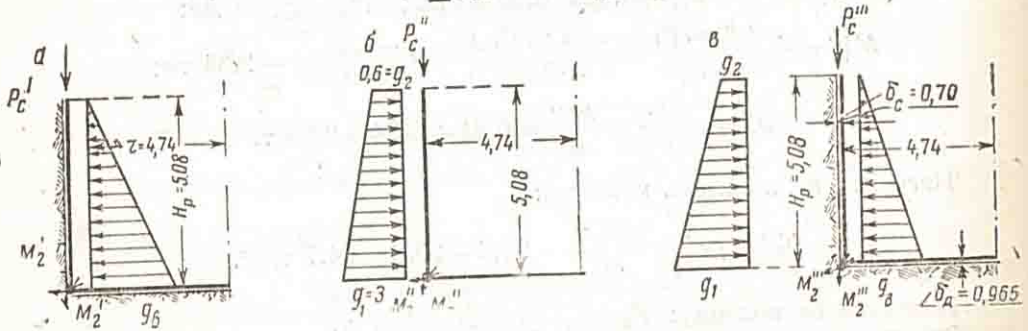
Фиг. 300. Эпюры изгибающих моментов в днище по третьему случаю загрузки.

Нижний узел резервуара (основная система II, фиг. 301). Из решения системы Ia получаем значение P_c :

$$P_c = \frac{g_{II} \pi r^2 - P_k}{2\pi r} - P_{св}.$$

Для изгибающего момента M_2 из условий неизменяемости угла между стенкой и днищем:

$$M_2 = - \frac{\sum a_{20}}{\sum a_{22}} = - \frac{a_{20}^{CO} + a_{20}^n}{a_{22}^{CO} + a_{22}^n}.$$



Фиг. 301. Расчетные схемы для нижнего узла резервуара: а—по первому случаю загрузки; б—по второму случаю загрузки; в—по третьему случаю загрузки.

Распределение изгибающих моментов и давления на грунт определяем как в балке на упругом основании.

Плита днища:
радиальный изгибающий момент

$$M_r^A = M_2 \eta_1 + (M_2 + P_c \lambda_d) \eta_2,$$

кольцевой изгибающий момент

$$M_t^A = \frac{\lambda_d}{2(r_0 - r)} [M_2 \eta_4 + (M_2 + P_c \lambda_d) \eta_3],$$

давление на грунт

$$\sigma_{гр} = \frac{2}{\lambda_d^2} [M_2 \eta_2 - (M_2 + P_c \lambda_d) \eta_1] + \sigma_0$$

(знак плюс — сжатие).

Здесь σ_0 — давление на грунт от собственного веса.

Стенка резервуара. Меридиональный изгибающий момент:

$$M = M_2 \eta_1 + (M_2 + Q_2 \lambda_c) \eta_2;$$

кольцевые усилия

$$T_2 = T_{20} - \frac{2r}{\lambda_c^2} [M_2 \eta_2 - (M_2 + Q_2 \lambda_c) \eta_1]$$

(знак плюс — растяжение).

Здесь T_{20} — кольцевое статически определимое усилие;

$$T_{20} = g_x r,$$

где g_x — давление на стенку в рассматриваемой точке;

$Q_2 = -\frac{M}{\lambda_c} + Q_{20}$, где Q_2 — перерезывающая сила в нижней точке стенки;

Q_{20} — то же, при шарнирном опирании края;

x — расстояние от низа стенки до рассматриваемой точки;

$$\varphi = \frac{x}{\lambda_c}.$$

Рассмотрим последовательно три случая загрузки.

Первый случай загрузки (фиг. 301, б).

$$P'_c = \frac{0,55 \cdot 3,14 \cdot 4,74^2 - 11,8}{2 \cdot 3,14 \cdot 4,74} + 0,18 \cdot 5,08 \cdot 2,6 = \frac{38,7 - 11,8}{29,8} + 2,33 = 3,28 \text{ т.}$$

По формулам (9), (17) и (18) главы III:

$$a_{20}^{co} = \frac{g_n \lambda_c^4}{4} \left(1 - \frac{H}{\lambda_c}\right) = \frac{4,70 \cdot 0,7^4}{4} \left(1 - \frac{5,08}{0,7}\right) = -1,76;$$

$$a_{22}^{co} = \frac{\lambda_c}{2} = 0,35;$$

$$a_{20}^d = P'_c \frac{\lambda_d^2 I_c}{2 I_d} = 3,28 \frac{0,965^2 \cdot 0,18^3}{2 \cdot 0,20^3} = 1,12;$$

$$a_{22}^d = \lambda_d \frac{I_c}{I_d} = 0,965 \frac{0,18^3}{0,20^3} = 0,7;$$

$$M'_2 = -\frac{-1,76 + 1,12}{0,35 + 0,7} = +0,61 \text{ тм.}$$

Распределение изгибающих моментов в днище и давления на грунт:

$$M_r^d = 0,61 \eta_1 + (0,61 + 3,28 \cdot 0,965) \eta_2 = 0,61 \eta_1 + 3,77 \eta_2;$$

$$M_t^d = \frac{0,48}{r_0 - r} [0,61 \eta_4 + (0,61 + 3,28 \cdot 0,965) \eta_3] = \frac{1}{r_0 - r} (0,292 \eta_4 + 1,81 \eta_3);$$

$$\sigma_{гр} = -\frac{2}{0,962^2} [0,61 \eta_2 - (0,61 + 3,16) \eta_1] + 0,52 =$$

$$= -1,31 \eta_2 + 8,1 \eta_1 + 0,52 \text{ (знак плюс — сжатие).}$$

Распределение усилий в стенке резервуара (учитывая, что $Q_2 = \frac{0,61}{0,7} + \frac{4,7 \cdot 0,7}{2} = 2,53 \text{ т}$):

$$M' = 0,61 \eta_1 + (0,61 - 2,53 \cdot 0,7) \eta_2 = 0,61 \eta_1 - 1,16 \eta_2;$$

$$T'_2 = g_1 \left(1 - \frac{x}{4,7}\right) r - \frac{2r}{\lambda_c^2} [0,61 \eta_2 + 1,16 \eta_1] =$$

$$= (4,7 - x) 4,74 - 19,35 [0,61 \eta_2 + 1,16 \eta_1] =$$

$$= 22,26 - 4,74x - 11,80 \eta_2 - 22,26 \eta_1.$$

Эпюры моментов, кольцевых сил и давления на грунт от первого нагружения приведены на фигуре 302.

Второй случай загрузки.

$$P_c'' = \frac{2,20 \cdot 3,14 \cdot 22,46 - 45}{6,28 \cdot 4,74} + 2,38 = \frac{110}{29,8} + 2,38 = 6,07 \text{ т};$$

$$b_{20}^{c0} = \frac{g_1 \lambda_c^4}{4H_p} \left(\frac{H_p}{\lambda_c} - 1 \right) + \frac{g_2 \lambda_c^4}{4H_p} =$$

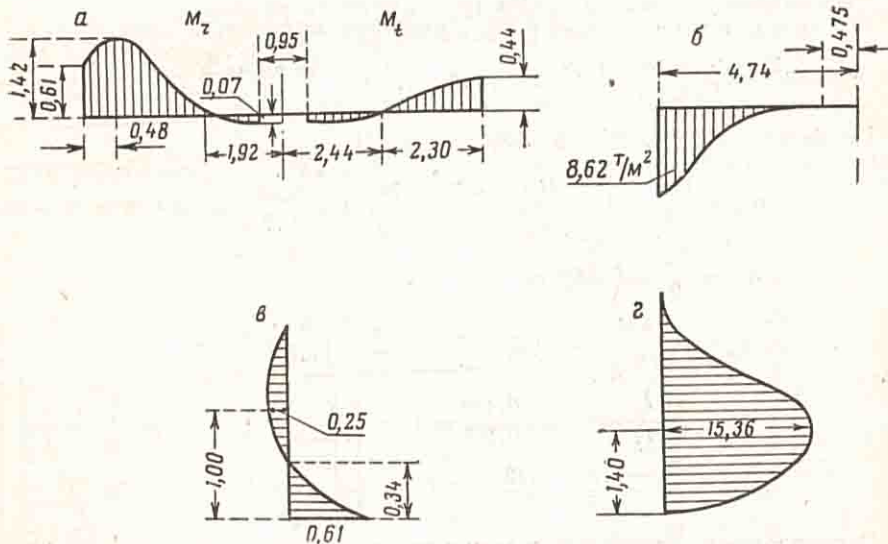
$$= \frac{3,0 \cdot 0,241}{4 \cdot 5,08} \left(\frac{5,08}{0,7} - 1 \right) + \frac{0,6 \cdot 0,241}{4 \cdot 5,08} = 2,21 + 0,07 = 2,28;$$

$$b_{22}^{\pi} = 0,35;$$

$$b_{20}^{\pi} = P_c'' \frac{\lambda_{\pi}^2 I_c}{2I_{\pi}} = 2,06; \quad b_{22}^{\pi} = \lambda_{\pi} \frac{I_c}{I_{\pi}} = 0,7;$$

$$M_2'' = \frac{2,28 + 2,06}{0,35 + 0,7} = -\frac{4,34}{1,05} = -4,13 \text{ тм};$$

$$Q_2'' = +\frac{4,13}{0,7} + \frac{3,0 \cdot 0,7}{2} = 5,9 + 1,05 = 6,95 \text{ т}.$$



Фиг. 302. Эпюры изгибающих моментов в днище и в стенке, кольцевых сил в стенке и давления на грунт по первому случаю загрузки: а—эпюры изгибающих моментов в днище; б—эпюры давления на грунт; в—эпюры меридиональных изгибающих моментов в стенке; з—эпюры кольцевых сил в стенке.

Для днища получим:

$$M_r^{\pi} = -4,13\eta_1 + (-4,13 + 6,07 \cdot 0,965)\eta_2 = -4,13\eta_1 + 1,73\eta_2;$$

$$M_r^{\pi} = \frac{-0,48}{r_0 - r} [-4,13\eta_1 + (-4,13 + 6,07 \cdot 0,965)\eta_2] =$$

$$= -\frac{1}{r_0 - r} (-2,00\eta_1 + 0,83\eta_2);$$

$$\sigma_{rp}'' = -\frac{2}{0,965^2} (-4,13\eta_2 - (-4,13 + 5,86)\eta_1 +$$

$$+ 0,52 + 4,7 = 5,22 + 8,90\eta_2 + 3,74\eta_1.$$

Соответственно для стенки:

$$M'' = -4,13\eta_1 + (-4,13 + 6,95 \cdot 0,7)\eta_2 = -4,13\eta_1 + 0,73\eta_2;$$

$$T_2'' = -\left(3 - \frac{2,4x}{5,08} \right) 4,74 - \frac{2 \cdot 4,74}{0,7^2} [-4,13\eta_2 - 0,73\eta_1] =$$

$$= -14,22 + 2,24x + 80\eta_2 + 14,22\eta_1.$$

Эпюры изгибающих моментов, кольцевых сил и давления на грунт по второму случаю загрузки даны на фигуре 303.

Третий случай загрузки.

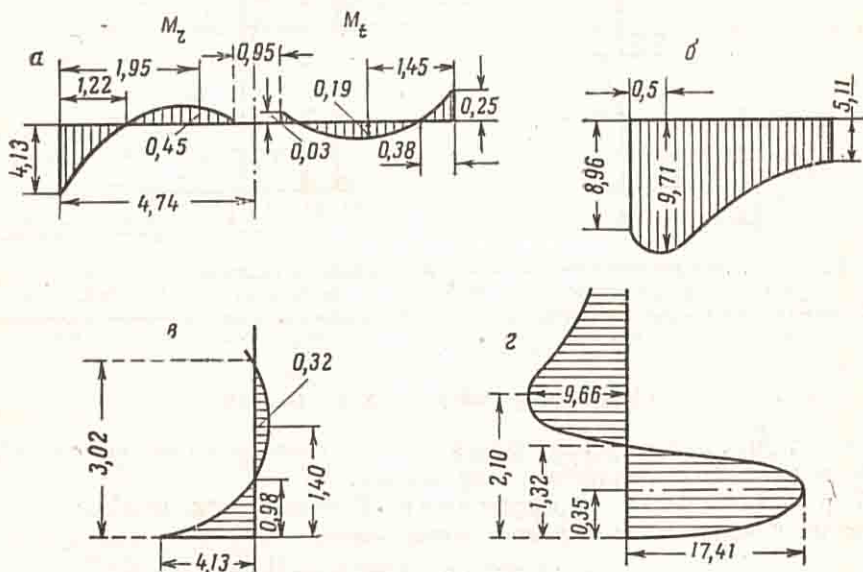
$$P_c''' = \frac{1,55 - 45,7}{29,8} + 2,38 = 3,68 + 2,38 = 6,06 \text{ т};$$

$$c_{20}^{c_0} = b_{20}^{c_0} = 2,28 - 1,76 = +0,52; \quad c_{22}^{c_0} = 0,35;$$

$$c_{20}^d = 6,06 \frac{0,965^2}{2} \cdot \frac{0,18^3}{0,20^3} = 2,05; \quad c_{22}^d = 0,70;$$

$$M_2''' = -\frac{2,05 + 0,52}{1,05} = -2,45 \text{ тм};$$

$$Q_2''' = +\frac{2,45}{0,7} + \frac{3 \cdot 0,7}{2} - \frac{4,7 \cdot 0,7}{2} = 2,90 \text{ т}.$$



Фиг. 303. Эпюры изгибающих моментов в днище и в стенке, кольцевых сил в стенке и давления на грунт по второму случаю загрузки:

а—эпюра изгибающих моментов в днище; б—эпюра давления на грунт; в—эпюра меридиональных изгибающих моментов в стенке; г—эпюра кольцевых сил в стенке.

Усилия в днище:

$$M_r^d = -2,45\eta_1 + (-2,45 + 6,06 \cdot 0,965)\eta_2 = -2,45\eta_1 + 3,40\eta_2;$$

$$M_t^d = \frac{0,48}{r_0 - r} (-2,45\eta_1 + 3,40\eta_2) = \frac{1}{r_0 - r} (-1,18\eta_1 + 1,64\eta_2);$$

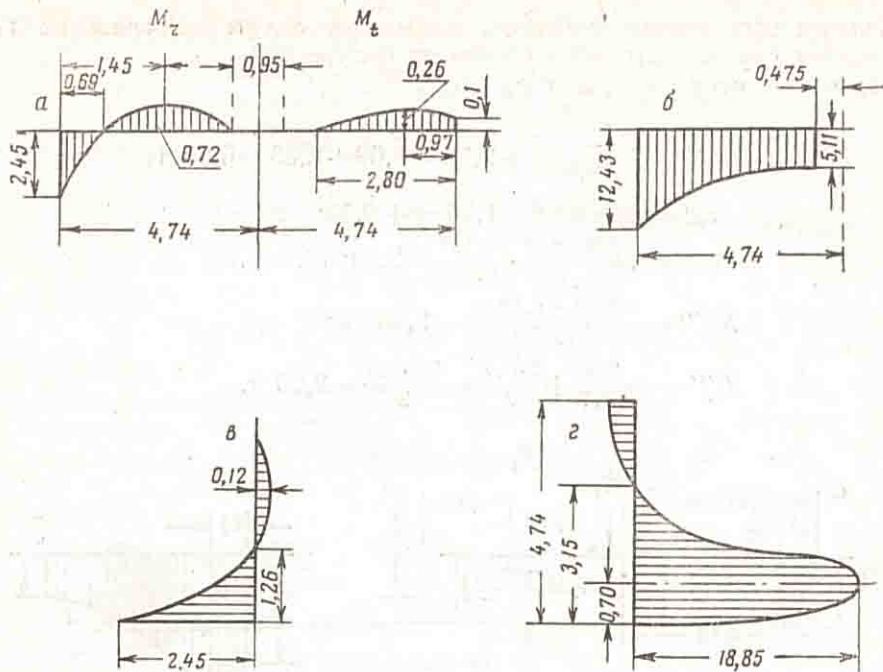
$$\sigma_{rp}''' = -\frac{1}{0,465} [-2,45\eta_2 - (-2,45 + 5,85)\eta_1] + 0,52 + 4,70 = 5,22 + 5,27\eta_2 + 7,21\eta_1.$$

Усилия в стенке:

$$M_2''' = -2,45\eta_1 + (-2,45 + 2,90 \cdot 0,7)\eta_2 = -2,45\eta_1 - 0,42\eta_2;$$

$$T_2 = 8,04 - 2,5x + 47,4\eta_2 - 8,04\eta_1.$$

Эпюры изгибающих моментов, кольцевых сил и давления на грунт приведены на фигуре 304.



Фиг. 304. Эпюры изгибающих моментов в днище и в стенке, кольцевых сил в стенке и давления на грунт по третьему случаю загрузки:
 а—эпюра изгибающих моментов в днище; б—эпюра давления на грунт; в—эпюра меридиональных изгибающих моментов в стенке; г—эпюра кольцевых сил в стенке.

е) Влияние сейсмического толчка

Рассмотрим, какие усилия возникают в стенке резервуара при сейсмическом толчке горизонтального направления.

Первый случай загрузки. Возьмем как наиболее опасное сечение на глубине $0,8H_p$. В этой точке имеем:

$$g = 4,70 \cdot 0,8 = 3,76 \text{ т/м}^2.$$

Кольцевой изгибающий момент в этом сечении:

$$M_T = +0,1 \cdot 0,155 \cdot gr^2 = +0,1 \cdot 0,155 \cdot 3,76 \cdot 4,74^2 = +1,31 \text{ тм.}$$

В других сечениях кольцевой изгибающий момент принимается пропорциональным давлению воды.

Нормальная растягивающая сила от сил инерции: $N_T = 0,1 \cdot gr = 0,376 \cdot 4,74 = 1,78 \text{ т}$ (в сечении под углом 90° к сечению с M_T , т. е. в радиальном направлении).

В этой точке $M_3 = 0,1 \cdot 0,115 \cdot gr^2 = 0,115 \cdot 0,376 \cdot 22,46 = 0,97 \text{ тм.}$

Таким образом, наибольшее суммарное растягивающее усилие в сечении стенки по первому случаю загрузки:

$$N_{\text{макс}} = 18,85 + 1,78 = 20,63 \text{ т.}$$

Момент в этом сечении $M_3 = -0,97 \text{ тм.}$

Второй случай загрузки. В сечении с наибольшим кольцевым изгибающим моментом имеет место давление земли:

$$g_3 = 2,52 \text{ т/м}^2.$$

Кольцевой изгибающий момент в стенке:

$$M_T = -0,1 \cdot 2,52 \cdot 0,155 \cdot 22,46 = -0,88 \text{ тм.}$$

Кольцевая сжимающая сила — максимум сейсмических усилий:

$$N_T = -0,252 \cdot 4,74 = -1,20 \text{ т};$$

$$M_3 = 0,115 \cdot 0,252 \cdot 22,46 = 0,65 \text{ тм}.$$

Третий случай загрузки. Наибольший кольцевой изгибающий момент:

$$M_T = 0,1 \cdot 3,76 \cdot 0,155 \cdot 22,46 - 0,1 \cdot 2,52 \cdot 0,094 \cdot 22,46 = 0,78 \text{ тм}.$$

Наибольшее растягивающее усилие во время землетрясения по третьему случаю загрузки:

$$N_{\text{макс}} = 18,85 + 1,20 = 20,05 \text{ т}.$$

Влияние вертикального сейсмического толчка. Первый случай загрузки. Увеличение момента и давления на колонну в верхнем узле основной системы I:

$$\Delta g_{\text{п}} = 0,1 g_{\text{п}} = 0,055 \text{ т/м}^2;$$

$$\Delta M' = \frac{-0,1 a_{10}^{\text{п}}}{a_{11}^{\text{п}} + a_{11}^{\text{с}0}} = \frac{-0,109}{1,87} = -0,06 \text{ тм};$$

$$\Delta p'_k = 2,34 - 12 \cdot 2 \cdot 0,06 = -2,34 - 0,73 = 1,61 \text{ т/м}^2;$$

$$\Delta P'_k = 0,785 \cdot 0,95^2 \cdot 1,61 = 1,14 \text{ т}.$$

Соответственно в основной системе Ib:

$$\Delta M'_1 = 0,092 \cdot p'_k = 0,148 \text{ тм};$$

$$\Delta Q'_1 = \frac{2 \cdot 0,148}{0,965} = 0,31 \text{ т}.$$

Увеличение давления на грунт под колонной:

$$\Delta \sigma'_{\text{гр}} = \Delta p'_k - \frac{4 \Delta Q}{a_k} = 1,61 - 1,30 = 0,31 \text{ т/м}.$$

В основной системе II получим $\Delta P'_c = 0,09 \text{ т/м}^2$.

$$\Delta M'_2 = -\frac{\Delta a_{20}^{\text{п}}}{a_{22}^{\text{п}} + a_{22}^{\text{с}0}} = -\frac{0,09 \cdot 0,352}{1,05} = -0,03 \text{ тм};$$

$$\Delta Q'_2 = -\frac{\Delta M'_2}{\lambda_c} = +\frac{0,03}{0,7} = 0,04 \text{ т}.$$

Второй случай загрузки. В основной системе Ia $\Delta g''_{\text{п}} = 0,22 \text{ т/м}^2$;

$$\Delta M''_1 = -\frac{0,1 \cdot b_{10}^{\text{п}}}{b_{11}^{\text{п}} + b_{11}^{\text{с}0}} = -\frac{0,436}{1,87} = -0,233 \text{ тм};$$

$$\Delta Q''_1 = -\frac{\Delta M''_1}{\lambda_c} = \frac{0,233}{0,7} = 0,33 \text{ т};$$

$$\Delta p''_k = 9,36 - 2,92 = 6,44 \text{ т/м}^2.$$

Дополнительная нагрузка на колонну:

$$\Delta P''_k = 0,785 \cdot 0,95^2 \cdot 6,44 = 4,53 \text{ т}.$$

В основной системе Ib усилия увеличатся на:

$$\Delta M''_1 = 0,092 \cdot \Delta P''_k = 0,59 \text{ тм};$$

$$\Delta Q''_1 = 0,191 \cdot \Delta p''_k = 1,23 \text{ т};$$

$$\Delta \sigma'' = \Delta p''_k - \frac{4 \Delta Q''}{a_k} = 6,44 - 5,28 = 1,16 \text{ т/м}^2.$$

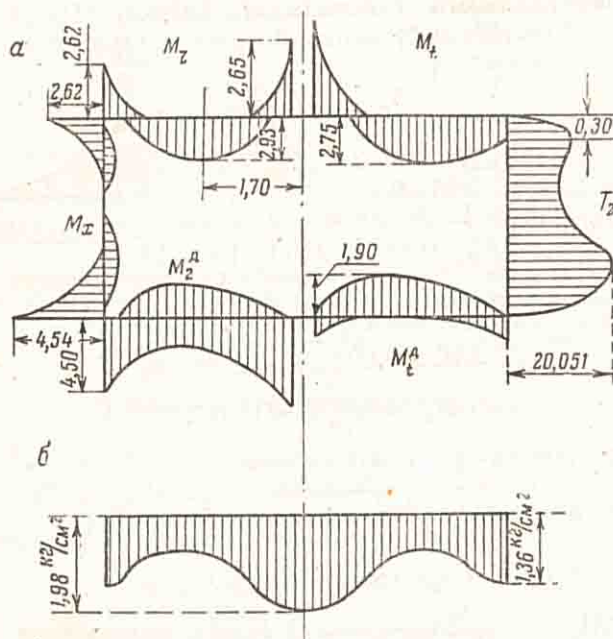
$$\Delta P_c'' = 0,37 \text{ т/м}; \Delta b_{10}'' = \Delta p_c'' \frac{\lambda_{II}^2 I_c}{2I_d} = 0,206;$$

$$\Delta M_2'' = \frac{0,206}{1,05} = 0,196 \text{ тм};$$

$$\Delta Q_2'' = \frac{0,196}{0,7} = 0,266 \text{ т.}$$

По третьему случаю загрузки будут такие же увеличения усилий.

Полученные значения позволяют построить огибающие эпюры усилий (см. фиг. 305).



Фиг. 305. Расчетные усилия в резервуаре:
а—огибающие эпюры усилий в покрытии, в днище и в стенке резервуара; б—огибающая эпюра давления на грунт.

6. РАСЧЕТ ПОДЗЕМНОГО РЕЗЕРВУАРА С КАМЕННОЙ СТЕНКОЙ, УСИЛЕННОЙ БЕЗОПАЛУБОЧНЫМ ЖЕЛЕЗОБЕТОНОМ

а) Конструкция и материал резервуара

Резервуар проектируем круглым в плане. Конструкция стен представляет собой кирпичную кладку, в которую забетонировано несколько железобетонных колец, обеспечивающих прочность стенок при заполненном, но не засыпанном резервуаре. Такая конструкция дает возможность применить стенку толщиной $2 - 2\frac{1}{2}$ кирпича. Возведение кирпичной усиленной стенки значительно проще, чем железобетонной, так как не требует опалубки. Чтобы резервуар был пригодным для грунтов, содержащих грунтовые воды, днище и перекрытие проектируем железобетонными безбалочного типа. Стенку и колонны принимаем из кирпича марки 100 на цементном растворе марки 50, железобетонные кольца в стенке, днище и перекрытие из бетона марки 140, арматуру из стали марки Ст. 3 холодноплющенную периодического профиля. Внутренние поверхности стенки и днища, а также колонны штукатурятся цементным раствором состава 1 : 2 с добавкой церезита (около

5% от веса цемента) с последующим железнением. Оштукатуривание может быть заменено торкретированием. Наружная поверхность стенки до уровня грунтовых вод штукатурится таким же раствором с последующим железнением, а выше этого уровня покрывается гудроном. Стенка может выполняться также из любого местного постелистого камня, который по строительным свойствам должен быть не хуже кирпича. Нижняя поверхность перекрытия покрывается цементной штукатуркой состава 1:2. Верхняя поверхность перекрытия и лаза покрываются гудроном. Расчет резервуара производим на вес слоя грунта над резервуаром толщиной 1 м. При уменьшении высоты засыпки над резервуаром должно соблюдаться условие, чтобы гидростатическое давление грунтовых вод на единицу площади дна не превышало веса дна, подготовки, колонны, перекрытия и засыпки на перекрытии (на единицу площади основания резервуара). Заглубление резервуара определяется из условия, чтобы объем выемки равнялся объему насыпи. Резервуар имеет приямок, в сторону которого дну дается уклон $i = 1\%$. Вентиляция резервуара осуществляется с помощью трех труб, устанавливаемых на перекрытие. Спуск в резервуар производится через лаз по металлической стремянке. Проектируемый резервуар предназначен для воды, но может также применяться и для темных нефтепродуктов; в последнем случае должно быть произведено соответствующее изменение в оборудовании.

б) Геометрические размеры резервуара

Заданная емкость резервуара $V = 600 \text{ м}^3$. Принятые геометрические размеры резервуара следующие (фиг. 306).

$$\begin{aligned} D_1 &= 13,00 \text{ м} & H_1 &= 4,43 \text{ м} & h_6 &= 0,07 \text{ м} \\ D_2 &= 12,10 \text{ м} & H_2 &= 4,80 \text{ м} & h_7 &= 0,22 \text{ м} \\ c &= 1,03 \text{ м} & H_3 &= 4,29 \text{ м} & & \\ b &= 0,64 \text{ м} & H_B &= 4,58 \text{ м} & & \\ a &= 1,50 \text{ м} & h_4 &= 0,22 \text{ м} & & \\ & & h_5 &= 0,15 \text{ м} & & \end{aligned}$$

В соответствии с принятыми размерами проверяем емкость резервуара:

$$\begin{aligned} V &= \frac{\pi D_1^2}{4} H_1 + \frac{\pi h_5}{12} (D_1^2 + D_2^2 + D_1 D_2) - 4c^2 h_6 - 4 \frac{h_7}{3} (a^2 + b^2 + \sqrt{a^2 + b^2}) - \\ &- 4b^2 H_3 = \frac{3,14 \cdot 13,0^2}{4} \cdot 4,43 + \frac{3,14 \cdot 0,15}{12} (13,0^2 + 12,10^2 + 13,0 \cdot 12,10) - \\ &- 4 \cdot 1,5^2 \cdot 0,07 - 4 \frac{0,22}{3} (1,03^2 + 0,64^2 + \sqrt{1,5^2 + 1,03^2}) - 4 \cdot 0,64^2 \cdot 4,29 = 599,76 \text{ м}^3, \end{aligned}$$

или округленно $V = 600 \text{ м}^3$.

в) Характеристика принятых грунтов, действующие силы и нагрузки

Объемный вес грунта $\gamma_r = 1600 \text{ кг/м}^3$.

Угол естественного откоса $\varphi = 30^\circ$.

Допускаемое давление на грунт $[\sigma_{гр}] = 1,5 \text{ кг/см}^2$.

Коэффициент постели грунта $k_r = 5 \text{ кг/см}^3$.

Уровень грунтовых вод находится на высоте 2,6 м от низа подготовки.

При расчете перекрытия в качестве действующих нагрузок принимаем:

1) вес конструкции перекрытия,

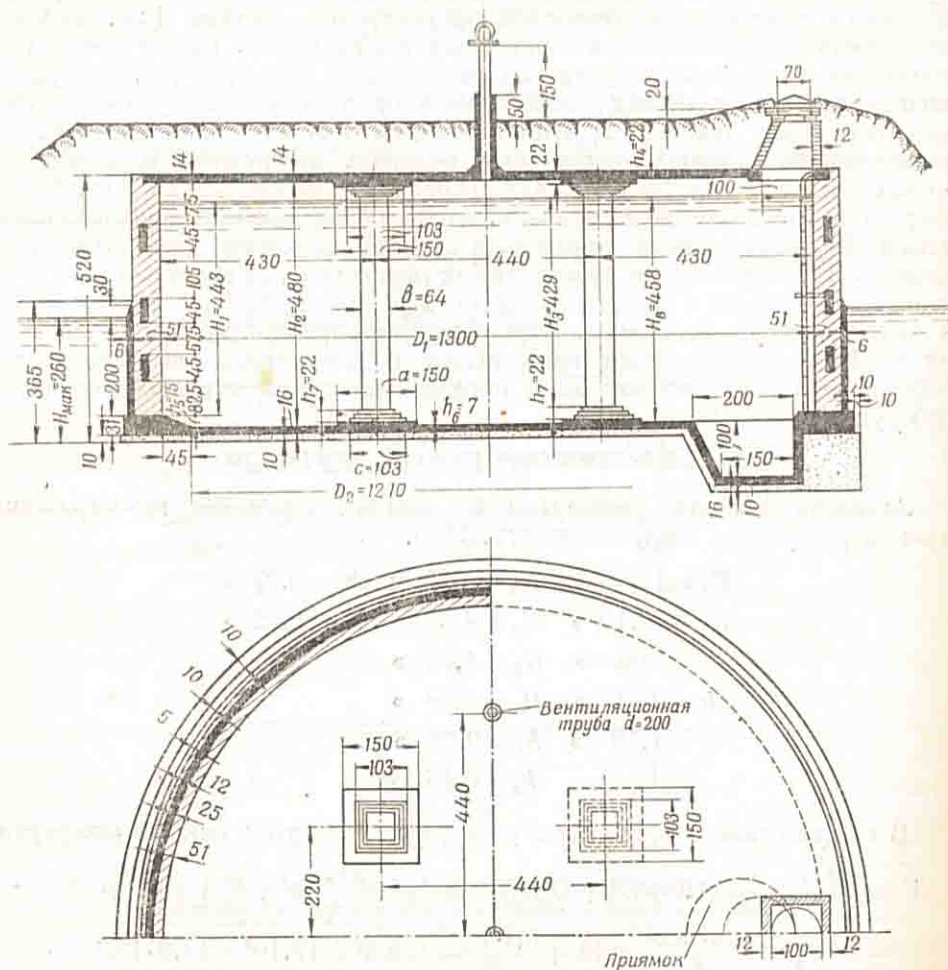
2) вес утепляющего грунта слоем 1 м,

3) вес снегового покрова $0,1 \text{ т/м}^2$ (в соответствии с ОСТ 90058 — 40 § 4 для 3-го климатического района). Проезд какого-либо транспорта по резервуару не допускается.

При расчете стенки нагрузки на нее являются: давление воды (изнутри), давление грунта (снаружи) и давление от перекрытия. Нагрузками для дна являются давление грунтовых вод и реактивное давление грунта.

Нагрузка на покрытие. Вес засыпки:

$$g_3 = \gamma_r h_2 = 1,6 \cdot 1,0 = 1,6 \text{ т/м}^2.$$



Фиг. 306. Конструктивная схема резервуара с каменной стенкой, усиленной безопалубочным железобетоном. Объем резервуара 600 м³ (к примеру 6).

Собственный вес плиты:

$$g_n = \delta_n \gamma_6 = 0,13 \cdot 2,4 = 0,336 \text{ т/м}^2.$$

Полная нагрузка

$$g = g_3 + g_n + p_c = 1,6 + 0,336 + 0,1 = 2,036 \approx 2 \text{ т/м}^2.$$

г) Расчет покрытия

Покрытие резервуара плоское, безбалочного типа. Расчет производим в соответствии с инструкцией ЦНИПС по расчету и проектированию безбалочных перекрытий. Схемы и размеры конструкций покрытия показаны на общей схеме резервуара (фиг. 306). При принятом количестве колонн (4 колонны) получается перекрытие с квадратными панелями пролетом 4,33 м. Капители и колонны кирпичные. Размеры капители и надкапительной плиты см. на фигуре 307.

Определение изгибающих моментов в плите. Сопряжение покрытия и колонны проектируем таким образом, чтобы момент на колонну не передавался; для этого между капителью и колонной прокладывается толстая прокладка.

Расчетные пролеты плиты (см. фиг. 306 и 307).

Крайние пролеты:

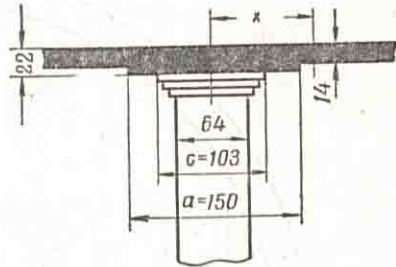
$$l_1 = l_0 - \frac{c}{3} + \frac{0,24}{3} = 4,30 - \frac{1,03}{3} + 0,08 = 4,05 \text{ м.}$$

Средние пролеты:

$$l_2 = l - \frac{2}{3} c = 4,40 - \frac{2}{3} 1,03 \approx 3,70 \text{ м.}$$

Разностью осадок стен и колонн пренебрегаем. Для расчета вырезаем полосу шириной, равной расстоянию между осями пролетов, т. е. 4,35 м.

Ввиду того что пролеты незначительно отличаются по величине и момент на колонны не передается, покрытие рассчитываем как неразрезную балку с равными пролетами $l_p = 4,05$ м.



Фиг. 307. Схема капители колонны резервуара.

$$p = g \frac{l_c + l_0}{2} = 2 \cdot 4,35 = 8,70 \text{ т/пог. м.}$$

Изгибающие моменты определяем по таблицам.

Пролетные моменты:

крайние пролеты

$$M_k = 0,08 p l_p^2 = 0,08 \cdot 8,70 \cdot 4,05^2 = 11,32 \text{ тм;}$$

средний пролет

$$M_c = 0,025 p l_p^2 = 0,025 \cdot 8,70 \cdot 4,05^2 = 3,55 \text{ тм.}$$

Опорные моменты:

$$M_o = -0,10 p l_p^2 = -0,10 \cdot 8,70 \cdot 4,05^2 = -14,2 \text{ тм.}$$

Полученные величины моментов распределяем на пролетную и надколонную полосы (см. фиг. 308) согласно инструкции ЦНИГ.С.

1) Средние панели.

Опорные моменты:

надколонная полоса

$$M_1 = -14,2 \cdot 0,75 = -10,65 \text{ тм;}$$

пролетная полоса

$$M_2 = -14,2 \cdot 0,25 = -3,55 \text{ тм.}$$

Моменты в средних пролетах:

надколонная полоса

$$M_3 = 3,55 \cdot 0,55 = 1,96 \text{ тм;}$$

пролетная полоса

$$M_4 = 3,55 \cdot 0,45 = 1,59 \text{ тм.}$$

Моменты в крайних пролетах:

надколонная полоса

$$M_5 = 11,32 \cdot 0,5 = 5,66 \text{ тм;}$$

пролетная полоса

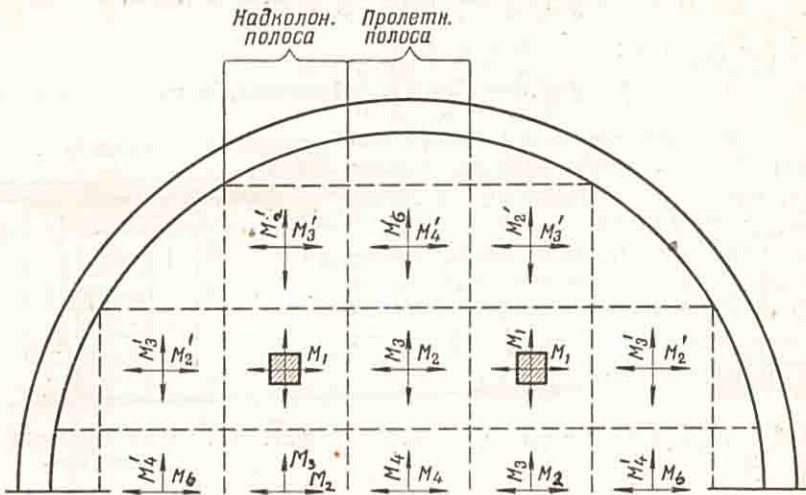
$$M_6 = 11,32 \cdot 0,5 = 5,66 \text{ тм.}$$

2) Моменты в пристенных панелях:

$$M'_2 = 0,8M_2 = -0,8 \cdot 3,55 = -2,84 \text{ тм};$$

$$M'_4 = 0,8M_4 = 0,8 \cdot 1,59 = 1,27 \text{ тм}.$$

При подборе сечения арматуры вышеуказанная инструкция ЦНИПС рекомендует уменьшать вычисленные значения изгибающих моментов на 30%.



Фиг. 308. Схема распределения изгибающих моментов в безбалочном покрытии резервуара.

Наибольший момент в пролете на 1 м ширины плиты:

$$M_6 = \frac{5,66 \cdot 2}{4,4} = 2,58 \text{ тм}.$$

Толщину плиты подбираем по таблице 16 из И-123-49* МСПТИ при $\mu = 0,8\%$:

$$h_0 = 0,202 \sqrt{\frac{0,7kM_6}{b}} = 0,202 \sqrt{\frac{0,7 \cdot 1,8 \cdot 2580}{1,0}} = 11,5 \text{ см}.$$

Так как арматура перекрестная, то мы защитный слой для одного направления принимаем 2 см, а для другого 3 см (до осей арматур). Толщина плиты в пролете $h_n = 11,5 + 2,5 = 14$ см. На опоре: $h_n = 22$ см; $h_0 = 19,5$ см. Определение сечения арматуры сведено в таблицу 24.

д) Проверка плиты покрытия на продавливание

Напряжение на скалывание определяем по формуле:

$$\tau = \frac{q(l^2 - 4x^2)}{8x \cdot 0,9h_0},$$

где x — расстояние от центра колонны до рассматриваемого сечения. Сечение при $x = 0,75$ м: $h_n = 0,14$ м; $h_0 = 0,115$ м;

$$\tau = \frac{2,0(4,4^2 - 4 \cdot 0,75^2)}{8 \cdot 0,75 \cdot 0,9 \cdot 0,115} = 27,5 \text{ т/м}^2 = 2,75 \text{ кг/см}^2 < 5,3 \text{ кг/см}^2.$$

* Инструкция по расчету сечений элементов железобетонных конструкций И-123-49 МСПТИ. Государственное издательство по строительству и архитектуре, 1953.

Таблица подбора сечений безбалочного покрытия

| Панели | Сечение | Моменты на расчетную полосу (кгм) | | Моменты на 1 м полосы (кгм) | | Толщина плиты (см) | | $A = \frac{0,7 \kappa M}{bh^2}$ | %, | Расчетная площадь арматуры (см ²) | Принято арматуры (см ²) |
|--------------|-----------------|-----------------------------------|------------------|-----------------------------|------------------|--------------------|-------|---------------------------------|------|---|-------------------------------------|
| | | надколонная полоса | пролетная полоса | надколонная полоса | пролетная полоса | h_n | h_0 | | | | |
| Средние | Опоры . . . | $M_1 = -10650$ | $M_2 = -3550$ | $M_1 = -4850$ | $M_2 = -1610$ | 22 | 19,5 | 16,40 | 0,50 | 9,75 | 12 \varnothing' , * 10=9,38 |
| | Средние пролеты | $M_3 = 1960$ | $M_4 = 1590$ | $M_3 = 890$ | $M_4 = 724$ | 14 | 11,5 | 15,30 | 0,47 | 5,41 | 7 \varnothing' , * 10=5,48 |
| | Крайние пролеты | $M_5 = 5660$ | $M_6 = 5660$ | $M_5 = 2580$ | $M_6 = 2580$ | 14 | 11,5 | 8,48 | 0,25 | 2,88 | 8 \varnothing' , * 7=3,08 |
| Прислоненные | Опора . . . | | $M'_2 = -2840$ | | $M'_2 = -1290$ | 14 | 11,5 | 24,5 | 0,77 | 8,85 | 11 \varnothing' , * 10=8,61 |
| | Средний пролет | | $M'_4 = 1270$ | | $M'_4 = 578$ | 14 | 11,5 | 24,5 | 0,77 | 8,85 | 11 \varnothing' , * 10=8,61 |
| | | | | | | | | 12,3 | 0,37 | 4,28 | 12 \varnothing' , * 7=4,62 |
| | | | | | | | | 5,5 | 0,16 | 1,84 | 6 \varnothing' , * 7=2,30 |

* Здесь и в дальнейшем тексте диаметр арматуры периодического профиля условно обозначен знаком \varnothing' .

Сечение при $x = 0,5$ м: $h_n = 0,22$ м; $h_0 = 0,195$ м;

$$\tau = \frac{2,0(4,4^2 - 4 \cdot 0,5^2)}{8 \cdot 0,5 \cdot 0,9 \cdot 0,195} = 52,4 \text{ т/м}^2 = 5,24 \text{ кг/см}^2 < 5,3 \text{ кг/см}^2.$$

Проверяем сечение при $x = 0,32$ м (без учета работы кирпичной кладки).

1) Без учета капители:

$$h = 0,22 \text{ м}; h_0 = 0,195 \text{ м};$$
$$\tau = \frac{2(4,4^2 - 4 \cdot 0,32^2)}{8 \cdot 0,32 \cdot 0,9 \cdot 0,195} = 85 \text{ т/м}^2 = 8,5 \text{ кг/см}^2.$$

2) Если учесть работу капители: $h = 0,42$ м;

$$\tau = \frac{2(4,4^2 - 4 \cdot 0,32^2)}{8 \cdot 0,32 \cdot 0,9 \cdot 0,395 \cdot 10} = 4,18 \text{ кг/см}^2,$$

е) Расчет колонны

Колонна рассчитывается на одновременное нагружение примыкающих панелей.

Высота колонны $H_k = 4,80 - 2 \cdot 0,2 = 4,40$ м.

Сечение колонны $F_k = 0,64^2 = 0,41$ м².

Нагрузка на колонну

$$P = gl^2 + F_k H_k \gamma_k = 2,0 \cdot 4,05^2 + 0,41 \cdot 4,4 \cdot 1,8 = 42,8 \text{ т.}$$

Коэффициент защемления колонны принимаем $\epsilon = 1$:

$$\frac{H_k}{b_k} = \frac{4,40}{0,64} = 6,88.$$

Упругая характеристика кладки $\alpha = 1000$; $\varphi = 0,95$.

Напряжение в колонне

$$\sigma_k = \frac{P}{\varphi F_k} = \frac{42800}{0,95 \cdot 4100} = 11 \text{ кг/см}^2.$$

ж) Расчет стенки

Расчет стенки производим для двух случаев нагружения:

1) резервуар заполнен, но не засыпан;

2) резервуар засыпан, но опорожнен.

Конструкция стенки. Внизу стенка жестко связана с дном, вверху на стенку свободно опирается перекрытие (фиг. 309).

Предварительно толщину стенки определяем по формуле:

$$\delta_c = \left(\frac{0,65 \gamma H_B r}{R_{кр}} \right) \left(\frac{k_T - \frac{200k}{\sigma_T}}{1 - \rho + \rho m} \right) = \left(\frac{0,65 \cdot 1,0 \cdot 4,58 \cdot 6,76}{40} \right) \times$$
$$\times \left(\frac{1,4 - \frac{200 \cdot 1,8}{3500}}{1 - 0,1 + 0,1 \cdot 3,38} \right) = 0,516 \text{ м.}$$

Здесь $\gamma = 1,0$ — объемный вес воды;

$H_B = 4,58$ м — высота слоя воды в резервуаре,

$r = 6,76$ — радиус резервуара до оси стенки,

$k_T = 1,4$ — коэффициент запаса против появления трещин;

200 кг/см^2 — напряжение в арматуре в момент появления трещин;

$k = 1,8$ — коэффициент запаса прочности в арматуре;

$\sigma_{\tau} = 3500 \text{ кг/см}^2$ — предел текучести арматуры;

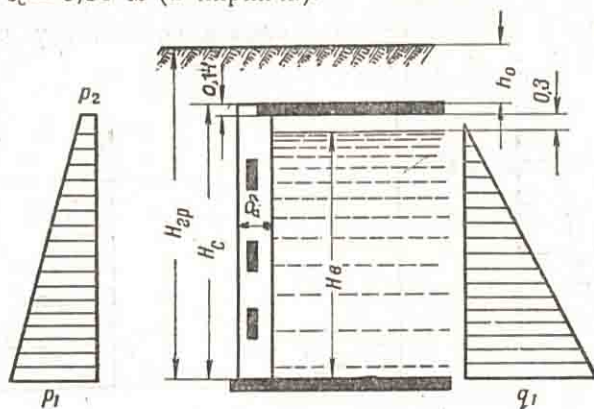
$\rho = \frac{F_{\text{б}}}{F_{\text{к}}}$ — содержание железобетона в кирпичной кладке;

$$m = \frac{R_{\text{б}}}{R_{\text{к}}};$$

$R_{\text{бр}} = 13,5 \text{ кг/см}^2$ — предел прочности бетона на растяжение;

$R_{\text{кр}} = 4,0 \text{ кг/см}^2$ — предел прочности на растяжение кирпичной кладки.

Принимаем $\delta_{\text{с}} = 0,51 \text{ м}$ (2 кирпича).



Фиг. 309. Схема нагрузок на стенку резервуара.

Давление воды в основании стенки $q = 4,58 \text{ т/м}^2$. Давление грунта у нижнего края стенки:

$$p_1 = \gamma_{\text{г}} H_{\text{гр}} \operatorname{tg}^2 \left(45^\circ - \frac{\varphi}{2} \right) = 1,6 \cdot 5,94 \operatorname{tg}^2 30^\circ = 3,16 \text{ т/м}^2.$$

$H_{\text{гр}}$ — высота от низа стенки до поверхности земли (фиг. 309).

Давление грунта у верхнего края стенки:

$$p_2 = \gamma_{\text{г}} h_{\text{з}} \operatorname{tg}^2 \left(45^\circ - \frac{\varphi}{2} \right) = 1,6 \cdot 1,0 \cdot 0,333 = 0,53 \text{ т/м}^2.$$

Характеристика жесткости стенки:

$$\lambda_{\text{с}} = 0,76 \sqrt{\delta_{\text{с}} r} \sqrt{\frac{1}{1 - \rho + \rho m}} = 0,76 \sqrt{0,51 \cdot 6,76} \sqrt{\frac{1}{1 - 0,1 + 0,1 \cdot 3,38}} =$$

$$= 0,76 \cdot 1,86 \cdot 0,95 = 1,34 \text{ м}; \quad \frac{H_{\text{с}}}{\lambda_{\text{с}}} = \frac{4,94}{1,34} = 3,74 > 3.$$

Следовательно, стенку следует рассчитать как длинную балку на упругом основании.

Определение нижних краевых усилий в стенке. Расчет нижнего узла производим при отсутствии грунтовых вод для указанных выше случаев загрузки.

Днище считаем нерастяжимым и, следовательно, деформациями узла будут поворот и смещение по вертикали (расчетную схему см. фиг. 310).

Деформации шарнирно опертого нижнего края стенки:

$$\text{поворот от } M = 1 \quad a_{11}^{\text{св}} = \frac{\lambda_{\text{с}}}{2} = \frac{1,34}{2} = 0,67;$$

поворот от давления грунта (фиг. 227,б):

$$a_{1\text{р}}^{\text{св}} = \frac{\lambda_{\text{с}}^4}{4H_{\text{с}}} (p_2 - p_1) + p_1 \frac{\lambda_{\text{с}}^3}{4 \cdot 4,94} = \frac{1,34^4}{4 \cdot 4,94} (0,53 - 3,16) + 3,16 \frac{1,34^3}{4} = 1,42;$$

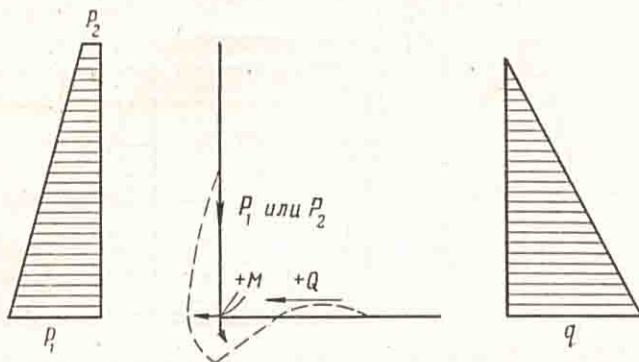
поворот от давления воды:

$$a_{1q}^{co} = q \frac{\lambda_c^4}{4H_c} \left(1 - \frac{H_c}{\lambda_c} \right) = -1,98.$$

Вертикальная сила, передающаяся через стенку на узел:
в первом случае загрузки — вес стенки и соответствующей части
перекрытия без нагрузки

$$P_1 = 0,51 \cdot 4,94 \cdot 1,80 + 0,14 \cdot 2,40 \frac{4,30}{2} = 4,55 + 0,75 = 5,30 \text{ т};$$

во втором случае загрузки — вес стенки и соответствующей части пере-



Фиг. 310. Основная система нижнего узла стенки.

крытия с нагрузкой

$$P_2 = 0,51 \cdot 4,94 \cdot 1,80 + 2,0 \frac{4,30}{2} + 1,0 \cdot 0,51 \cdot 1,60 = 4,55 + 4,35 + 0,82 = 9,67 \text{ т}.$$

Момент инерции сечения стенки:

$$I_c = \frac{b\delta_c^3}{12} = \frac{1,0 \cdot 0,51^3}{12} = 0,011 = 11 \cdot 10^{-3} \text{ м}^4.$$

Модуль упругости кирпичной кладки стенки

$$E_k = 0,8\alpha R_k = 0,8 \cdot 1\,000 \cdot 36 = 28\,800 \text{ кг/см}^2,$$

где $\alpha = 1\,000$ — упругая характеристика кладки;

$R_k = 36 \text{ кг/см}^2$ — предел прочности кладки на сжатие.

Днище рассматриваем как балку на упругом основании, нагруженную
на конце сосредоточенной силой P .

Момент инерции сечения днища:

$$I_d = \frac{b\delta_d^3}{12} = \frac{1,0 \cdot 0,16^3}{12} = 0,34 \cdot 10^{-3} \text{ м}^4.$$

Характеристика жесткости днища:

$$\lambda_d = \sqrt[4]{\frac{4E_\sigma I_d}{bk_r}} = \sqrt[4]{\frac{4 \cdot 14 \cdot 10^5 \cdot 34 \cdot 10^{-5}}{1,0 \cdot 5\,000}} = \sqrt[4]{\frac{1900}{5\,000}} = 0,785 \text{ м},$$

где $E_\sigma = 14 \cdot 10^5 \text{ т/м}^2$ — модуль упругости бетона;

$k_r = 5\,000 \text{ т/м}^3$ — коэффициент постели грунта.

Отношение жесткостей стенки и днища

$$\xi = \frac{E_k I_c}{E_\sigma I_d} = \frac{288 \cdot 10^3 \cdot 11 \cdot 10^{-3}}{14 \cdot 10^5 \cdot 34 \cdot 10^{-5}} = 6,7;$$

$$\frac{l_d}{\lambda_d} = \frac{3,55}{0,785} = 4,53 > 3,0 \text{ (фиг. 311)}.$$

Днище можно рассматривать как длинную балку на упругом основании. Деформации свободного края днища:

$$\text{поворот от } M = 1 \quad a_{11}^{\pi} = \lambda_{\pi} = 0,785;$$

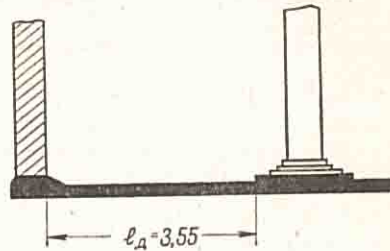
$$\text{поворот от } P = 1 \quad a_{1p}^{\pi} = \frac{\lambda_{\pi}^2}{2} = \frac{0,785^2}{2} = 0,31.$$

Момент и поперечная сила в основании стенки определяются из уравнений:

в первом случае загрузки

$$M_I = - \frac{a_{1q}^{c0} + P_1 a_{1p}^{\pi} \xi}{a_{11}^{c0} + a_{11}^{\pi} \xi} = - \frac{-1,98 + 5,3 \cdot 0,31 \cdot 6,7}{0,67 + 0,785 \cdot 6,7} = -1,52 \text{ тм};$$

$$Q_I = \frac{q \lambda_c}{2} - \frac{M_I}{\lambda_c} = \frac{4,5 \cdot 1,34}{2} + \frac{1,52}{1,34} = 1,87 \text{ т};$$



Фиг. 311. Расчетный крайний пролет днища резервуара.

во втором случае загрузки

$$M_{II} = - \frac{a_{1p}^{c0} + P_2 a_{1p}^{\pi} \xi}{a_{11}^{c0} + a_{11}^{\pi} \xi} = - \frac{1,42 + 9,67 \cdot 0,31 \cdot 6,7}{0,67 + 0,785 \cdot 6,7} = -3,60 \text{ тм};$$

$$Q_{II} = \frac{p_1 \lambda_c}{2} - \frac{M_{II}}{\lambda_c} = \frac{3,16 \cdot 1,34}{2} + \frac{3,6}{1,34} = 2,12 + 2,68 = 4,80 \text{ т}.$$

Для сравнения определяем моменты при жесткой заделке стенки: первый случай загрузки

$$M_3 = \frac{\lambda_c^2}{2} \left(\frac{\lambda_c}{H_c} - 1 \right) q = \frac{1,34^2}{2} \left(\frac{1,34}{4,94} - 1 \right) 4,5 = -2,94 \text{ тм};$$

второй случай загрузки

$$M_3 = \frac{\lambda_c^2}{2} \left[\frac{\lambda_c}{H_c} (p_1 - p_2) - p_1 \right] = 2,2 \text{ тм}.$$

Краевые значения M и Q для днища: в первом случае загрузки

$$M_d = M_I + P_1 \frac{\delta_c}{2} = -1,52 + 5,3 \frac{0,51}{2} = -0,17 \text{ тм};$$

$$Q_d = P_1 = 5,3 \text{ т};$$

во втором случае загрузки

$$M_d = M_{II} + P_2 \frac{\delta_c}{2} = -3,6 + 9,67 \frac{0,51}{2} = -1,16 \text{ тм};$$

$$Q_d = P_2 = 9,67 \text{ т}.$$

Определение моментов и кольцевых усилий] в стенке. Уравнение меридиональных моментов:

$$M_x = M \eta_1 + (M + Q \lambda_c) \eta_2.$$

Уравнение кольцевых усилий:

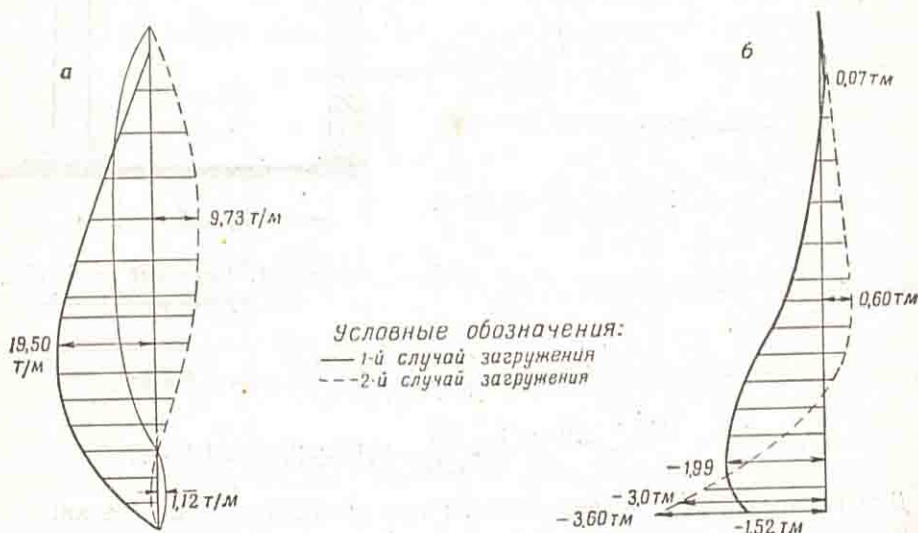
$$T_{2x} = T_{20} - \frac{2r}{\lambda_c^2} [M \eta_2 - (M + Q \lambda_c) \eta_1].$$

В этих уравнениях:

M_x — момент в сечении x ,

T_{2x} — кольцевое усилие в сечении x ,

T_{20} — статически определяемое кольцевое усилие в сечении x от давления воды или грунта;
 M и Q — краевые усилия (определены выше);
 $\eta_1 = e^{-\varphi} \cos \varphi$;
 $\eta_2 = e^{-\varphi} \sin \varphi$;
 $\varphi = \frac{x}{\lambda_c}$ — отношение текущей ординаты к характеристике жесткости.
 Знаки в уравнениях приняты согласно фигуре 310.
 Нижние краевые усилия имеют значения:



Фиг. 312. Расчетные эпюры в стенке резервуара:
 а — эпюра кольцевых усилий T_2 ; б — эпюра меридиональных изгибающих моментов M_x

в первом случае загрузки

$$M = -1,52 \text{ тм}; Q = 1,87 \text{ т};$$

во втором случае загрузки

$$M = -3,6 \text{ тм}; Q = 4,80 \text{ т}.$$

После подстановки краевых значений уравнения меридиональных моментов и кольцевых усилий примут вид:
 в первом случае загрузки

$$M_x = -1,52\eta_1 + (-1,52 - 1,87 \cdot 1,34)\eta_2 = -1,52\eta_1 - 4,02\eta_2;$$

$$T_{2x} = T_{20} - \frac{2 \cdot 6,76}{1,34^2} [-1,52\eta_2 - (-1,52 - 1,87 \cdot 1,34)\eta_1] = T_{20} + 11,4\eta_2 - 30,2\eta_1;$$

$$T_{20} = (H_B - x)r = (4,5 - x)6,76;$$

во втором случае загрузки

$$M_x = -3,6\eta_1 + (-3,6 + 4,80 \cdot 1,34)\eta_2 = -3,6\eta_1 + 2,85\eta_2;$$

$$T_{2x} = T_{20} - \frac{2 \cdot 6,76}{1,34^2} [-3,6\eta_2 - (-3,6 + 4,8 \cdot 1,34)\eta_1] = T_{20} + 27,1\eta_2 + 21,4\eta_1;$$

$$T_{20} = -(H_{ГР} - x) \operatorname{tg}^2 \left(45^\circ - \frac{\varphi}{2} \right) \gamma r = -(5,94 - x)3,6.$$

Вычисленные M и T_{2x} сведены в таблицы 25 и 26. Эпюры кольцевых усилий и меридиональных моментов в стенке показаны на фигуре 312.

Кольцевые усилия и моменты в стенке
(первый случай загрузки: резервуар наполнен, но не засыпан)

$$T_{2x} = T_{20} - 30,2 \eta_1 + 11,4 \eta_2;$$

$$T_{20} = (4,5 - x) 6,76; M_x = -1,52 \eta_1 - 4,02 \eta_2$$

| r | $x = \varphi \lambda_c = 1,34 \varphi$ | η_1 | η_2 | Кольцевые усилия | | | | | Моменты | | |
|-----|--|----------|----------|------------------|-----------------------|-------------------|---------------|-----------------|-------------------|-------------------|-------|
| | | | | 4,5-x | $(4,5-x) \times 6,76$ | -30,2 η_1 | 11,4 η_2 | T_{2x} | -1,52 η_1 | -4,02 η_2 | M_x |
| 1 | 2 | 3 | 4 | 5 | 6 | 7 | 8 | 9 | 10 | 11 | 12 |
| 0 | 0 | 1,0 | 0 | 4,50 | 30,4 | 30,2 | 0 | 0,2 \approx 0 | -1,52 | 0 | 1,52 |
| 0,2 | 0,27 | 0,802 | 0,163 | 4,23 | 28,6 | -24,2 | 1,86 | 6,26 | -1,22 | -0,65 | -1,87 |
| 0,4 | 0,54 | 0,517 | 0,261 | 3,96 | 26,8 | -18,6 | 2,98 | 11,18 | -0,94 | -1,05 | -1,99 |
| 0,6 | 0,80 | 0,453 | 0,310 | 3,70 | 25,0 | -13,6 | 3,54 | 14,94 | -0,69 | -1,25 | -1,94 |
| 0,8 | 1,07 | 0,313 | 0,322 | 3,43 | 23,20 | -9,45 | 3,58 | 17,43 | -0,48 | -1,30 | -1,78 |
| 1,0 | 1,34 | 0,199 | 0,310 | 3,16 | 21,40 | -6,00 | 3,54 | 18,94 | -0,30 | -1,25 | -1,55 |
| 1,2 | 1,61 | 0,109 | 0,281 | 2,89 | 19,50 | -3,30 | 3,20 | 19,40 | 0,18 | -1,13 | -1,31 |
| 1,4 | 1,88 | 0,042 | 0,243 | 2,62 | 17,17 | -1,27 | 2,77 | 19,50 | 0,06 | -0,98 | -1,04 |
| 1,6 | 2,14 | -0,006 | 0,202 | 2,36 | 16,00 | 0,18 | 2,30 | 18,48 | 0,010 | -0,81 | -0,80 |
| 1,8 | 2,32 | -0,038 | 0,161 | 2,18 | 14,70 | 1,15 | 1,83 | 17,68 | 0,06 | -0,55 | -0,59 |
| 2,0 | 2,68 | -0,056 | 0,123 | 1,82 | 12,30 | 1,69 | 1,40 | 15,39 | 0,09 | -0,49 | -0,40 |
| 2,3 | 3,08 | -0,067 | 0,075 | 1,42 | 9,60 | 2,02 | 0,85 | 12,47 | 0,10 | -0,30 | -0,20 |
| 2,6 | 3,48 | -0,054 | 0,038 | 1,02 | 6,80 | 1,93 | 0,43 | 9,16 | 0,010 | -0,15 | -0,14 |
| 2,9 | 3,88 | -0,053 | 0,013 | 0,62 | 4,18 | 1,6 | 0,15 | 5,93 | 0,08 | -0,05 | 0,03 |
| 3,2 | 4,28 | -0,041 | -0,0024 | 0,22 | 1,49 | 1,24 | -0,03 | 2,66 | 0,06 | 0,01 | 0,07 |
| 3,7 | 4,94 | -0,021 | -0,0013 | — | — | 0,60 | -0,15 | -0,09 | 0,03 | 0,04 | 0,07 |

Таблица 26

Кольцевые усилия и моменты в стенке (второй случай загрузки: резервуар засыпан, но опорожнен)

$$T_{2x} = T_{20} + 21,4 \eta_1 + 27,1 \eta_2; T_{20} = -(5,94 - x) 3,6;$$

$$M_x = -3,6 \eta_1 + 2,85 \eta_2$$

| r | $x = \varphi \lambda_c = 1,34 \varphi$ | η_1 | η_2 | Кольцевые усилия | | | | | Моменты | | |
|-----|--|----------|----------|------------------|------------------------|---------------|---------------|----------|---------------|---------------|-------|
| | | | | 5,94-x | $-(5,94-x) \times 3,6$ | 21,4 η_1 | 27,1 η_2 | T_{2x} | -3,6 η_1 | 2,85 η_2 | M_x |
| 0 | 0 | 1,0 | 0 | 5,94 | -21,40 | 21,4 | 0 | 0 | -3,6 | 0 | -3,6 |
| 0,2 | 0,27 | 0,802 | 0,163 | 5,67 | -20,40 | 17,10 | 4,42 | 1,12 | -2,89 | 0,46 | -2,43 |
| 0,4 | 0,54 | 0,617 | 0,2161 | 5,40 | -19,40 | 13,20 | 7,10 | 0,9 | -2,22 | 0,74 | -1,48 |
| 0,6 | 0,80 | 0,453 | 0,310 | 5,14 | -18,50 | 9,70 | 8,40 | -0,40 | -1,53 | 0,88 | -0,75 |
| 0,8 | 1,07 | 0,313 | 0,322 | 4,87 | -17,50 | 6,70 | 8,70 | -2,10 | -1,12 | 0,92 | -0,20 |
| 1,0 | 1,34 | 0,199 | 0,310 | 4,60 | -15,50 | 4,26 | 8,40 | -3,84 | -0,71 | 0,88 | 0,17 |
| 1,2 | 1,51 | 0,109 | 0,281 | 4,33 | -15,60 | 2,34 | 7,60 | -5,66 | -0,39 | 0,80 | 0,51 |
| 1,4 | 1,88 | 0,042 | 0,243 | 4,06 | -14,60 | 0,90 | 5,60 | -7,10 | -0,15 | 0,70 | 0,55 |
| 1,6 | 2,14 | -0,006 | 0,202 | 3,80 | -13,70 | 0,12 | 5,50 | -8,08 | 0,02 | 0,58 | 0,60 |
| 1,8 | 2,32 | -0,038 | 0,161 | 3,62 | -13,00 | -0,81 | 4,38 | -9,43 | 0,14 | 0,46 | 0,60 |
| 2,0 | 2,68 | -0,056 | 0,123 | 3,26 | -11,70 | -1,20 | 3,32 | -9,58 | 0,20 | 0,35 | 0,55 |
| 2,3 | 3,08 | -0,067 | 0,075 | 2,86 | -10,30 | -1,43 | 2,03 | -9,73 | 0,24 | 0,21 | 0,45 |
| 2,6 | 3,48 | -0,064 | 0,038 | 2,46 | -8,90 | -1,38 | 1,03 | -9,25 | 0,23 | 0,11 | 0,34 |
| 2,9 | 3,88 | -0,053 | 0,013 | 2,06 | -7,45 | -1,13 | 0,35 | -8,23 | 0,19 | 0,04 | 0,23 |
| 3,2 | 4,28 | -0,041 | -0,0024 | 1,56 | -6,00 | -0,88 | -0,05 | -5,94 | 0,15 | -0,007 | 0,14 |
| 3,7 | 4,94 | -0,021 | -0,013 | — | — | — | — | — | 0,07 | -0,04 | 0,03 |

з) Подбор сечений стенки и арматуры

Подбор сечений стенки в кольцевом направлении. Конструкция стенки резервуара принимается согласно фигуре 313. Кладка стенки резервуара выполняется из кирпича М-100 на цементном растворе М-50.

Коэффициент запаса против появления трещин определится по формуле:

$$k_T = \frac{\delta_c h_n R_{кр} [1 - \rho + \rho m]}{N} + \frac{200k}{\sigma_T},$$

где $\delta_c = 0,51$ м — толщина стены;

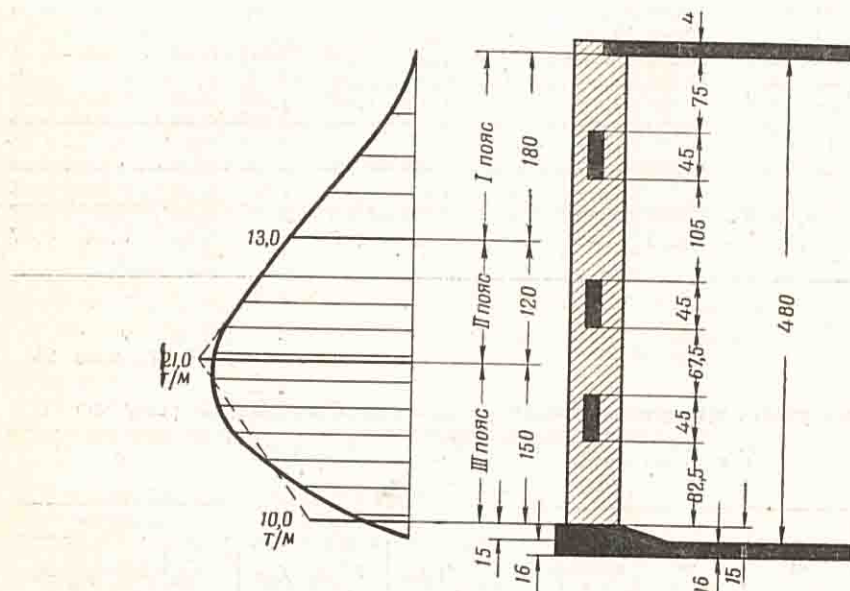
$R_{кр} = 40$ т/м² — предел прочности на растяжение кирпичной кладки;

$\rho = \frac{F_6}{F_k}$ $F_6 = 0,14 \cdot 0,45 = 0,063$ м² — площадь сечения кольца;

$F_k = h_n \delta_c - F_6$ — площадь сечения кладки пояса;

h_n — высота пояса;

$m = \frac{R_{бр}}{R_{кр}} = \frac{13,5}{4,0} = 3,38$ — отношение пределов прочности на растяжение бетона и кирпичной кладки.



Фиг. 313. Разбивка стенки на пояса и расчетная эпюра кольцевых усилений T_2 .

Принятый коэффициент запаса на трещины $k_T = 1,40$.

Первый пояс:

$$\rho = \frac{0,063}{1,85 \cdot 0,51 - 0,063} = 0,072; \quad m = 3,38;$$

$$(1 - \rho + \rho m) = (1 - 0,072 + 0,072 \cdot 3,38) = 1,17; \quad h_n = 1,85 \text{ м};$$

$$k_T = \frac{0,51 \cdot 1,85 \cdot 40 \cdot 1,17}{12,0} + \frac{200 \cdot 1,8}{3500} = 3,25 > 1,40.$$

Второй пояс:

$$m = 3,38; \quad \rho = \frac{0,063}{1,20 \cdot 0,51 - 0,063} = 0,114;$$

$$h_n = 1,2 \text{ м};$$

$$(1 - \rho + \rho m) = (1 - 0,114 + 0,114 \cdot 3,38) = 1,27;$$

$$k_T = \frac{0,51 \cdot 1,20 \cdot 40 \cdot 1,27}{20,40} + \frac{200 \cdot 1,8}{3500} = 1,66 > 1,40.$$

Третий пояс:

$$m = 3,38; \quad h_n = 1,50 \text{ м}; \quad \delta_c = 0,51 \text{ м};$$

$$\rho = \frac{0,063}{1,60 \cdot 0,51 - 0,063} = 0,083;$$

$$(1 - \rho + \rho m) = (1 - 0,083 + 0,083 \cdot 3,38) = 1,2;$$

$$k_T = \frac{0,51 \cdot 1,60 \cdot 40 \cdot 1,2}{24,8} + \frac{200 \cdot 1,8}{3500} = 1,66 > 1,40.$$

Подбор сечения кольцевой арматуры. Количество кольцевой арматуры в каждом поясе определяется так, чтобы она могла воспринять все кольцевые усилия; следовательно, требуемое сечение арматуры:

$$F_a = \frac{kN}{\sigma_T},$$

где $k = 1,8$ — коэффициент запаса;

$\sigma_T = 3500 \text{ кг/см}^2$ — предел текучести арматуры;

N — кольцевое усилие пояса.

Таблица определения требуемой площади сечения кольцевой арматуры для стенки по поясам

| № пояса | Высота пояса | Усилие в поясе | | N на весь пояс | Количество арматуры | |
|---------|--------------|----------------|-------------|---------------------|------------------------------------|-----------------------------|
| | | вверху пояса | внизу пояса | | F_a расчетная (см ²) | принято (см ²) |
| (в т) | | | | | | |
| I | 1,85 | 0 | 13,0 | 12,00 | 6,18 | 7 \varnothing' 11 = 6,63 |
| II | 1,20 | 13,00 | 20,0 | 20,40 | 10,50 | 10 \varnothing' 11 = 9,60 |
| III | 1,60 | 21,00 | 10,0 | 24,80 | 12,70 | 12 \varnothing' 11 = 12,4 |

Подбор сечения вертикальной арматуры. Ввиду больших меридиональных моментов, из днища по стенке выпускается арматура (делается железобетонная рубашка на высоту 2,0 м; фиг. 314).

Вертикальную арматуру в основании стенки определяем по второму случаю загрузки по щековому моменту (т. е. на высоте 0,15 м):

$$M = 3,00 \text{ тм}; \quad N = 0,51 \cdot 4,79 \cdot 1,8 - 0,51 \cdot 1,0 - 1,5 + 2 \frac{4,3}{2} = 9,50 \text{ т.}$$

Сечение арматуры определяем по формулам для расчета армокаменных конструкций:

$$F_a = k_T \left[\frac{M - N(z - h_0 + d)}{\sigma_a z} \right] = 1,40 \left[\frac{300000 - 9500(48 - 52 + 28)}{200 \cdot 48} \right] = 11,0 \text{ см}^2,$$

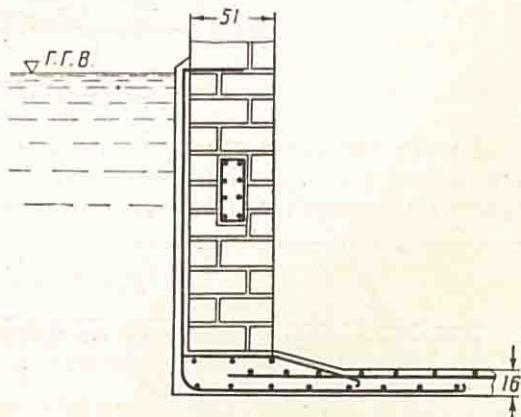
где $k_T = 1,40$ — коэффициент запаса против появления трещин;

$h_0 = 52 \text{ см}$ — рабочая высота сечений;

$d = 28 \text{ см}$ — расстояние от центра тяжести сечения до сжатого края;

$\sigma_a = 200 \text{ кг/см}^2$ — напряжение в арматуре, при котором в кладке или штукатурке возникают трещины.

$$z = \left(1 - \frac{10\mu}{R_k} - \frac{0,4N}{F_k R_k} \right) h_0 = \left(1 - \frac{10 \cdot 0,2}{36} - \frac{0,4 \cdot 9500}{5600 \cdot 36} \right) 51 = 48,0 \text{ см},$$



где z — плечо пары внутренних сил;

$\mu = 0,2$ — процент армирования;

$R_k = 36 \text{ кг/см}^2$ — временное сопротивление кладки сжатию,

$F_k = 5600 \text{ см}^2$ — площадь сечения.

Напряжение сжатия без учета арматуры:

$$\sigma_k = \frac{N}{F_k} + \frac{6M}{\delta_c^2} = \frac{9,500}{0,56} + \frac{6 \cdot 3,0}{0,50^2} = 17 + 57 = 74 \text{ т/м}^2 = 7,4 \text{ кг/см}^2.$$

Арматура на высоте 0,54 м:

Арматуру в этом сечении определяем по первому случаю загрузки

$$M = 1,99 \text{ тм}; N = 0,51(4,94 - 0,54)1,8 + 0,14 \cdot 2,4 \frac{4,3}{2} = 4,72 \text{ т};$$

$$z = \left[1 - \frac{10 \cdot 0,2}{36} - \frac{0,4 \cdot 4,74}{5600 \cdot 36} \right] 51 = 48,0 \text{ см};$$

$$F_a = 1,40 \frac{(199000 - 4740(48,0 - 52 + 28))}{200 \cdot 48,0} = 12,8 \text{ см}^2.$$

Напряжение в сечении окончания рубашки, т. е. на высоте 2,00 м (проверяем по первому случаю загрузки):

$$M = 0,93 \text{ тм}; N = 0,51(4,94 - 2,00)1,8 = 2,70 \text{ т};$$

$$\sigma_k = \frac{N}{F_k} - \frac{6M}{\delta_k^2} = \frac{2,7}{0,51} - \frac{6 \cdot 0,93}{0,51^2} = 5,3 - 21,4 = -16,1 \text{ т/м}^2 = 1,61 \text{ кг/см}^2.$$

$$\text{Коэффициент запаса } k = \frac{R_k^p}{\sigma_k} = \frac{4}{1,61} = 2,50.$$

Ввиду наличия в этом месте кольца такой коэффициент запаса может быть допущен.

Проверка на скалывание в основании стенки:

$$\tau = \frac{Q}{\delta z} = \frac{4800}{100 \cdot 48} = 1 \text{ кг/см}^2.$$

и) Расчет днища

Расчет днища производим на давление грунтовых вод при втором случае загрузки (т. е. когда резервуар засыпан и опорожнен). Наивысший горизонт грунтовых вод определяем из условия, чтобы расчетная нагрузка на днище равнялась нагрузке на перекрытие, т. е.

$$g_d = g_n = 2 \text{ т/м}^2.$$

Это будет иметь место при $H_n = 2,6$ м от низа подготовки. Действительно, нагрузкой на днище является гидростатическое давление за вычетом веса днища и подготовки

$$g_d = 2,5 - 0,16 \cdot 2,4 - 0,10 \cdot 2,2 = 2 \text{ т/м}^2.$$

Днище резервуара плоское, безбалочного типа. Расчет днища производится в соответствии с инструкцией ЦНИПС по расчету и проектированию безбалочных перекрытий. Конструкция днища указана на чертеже резервуара (фиг. 317).

Определение изгибающих моментов в днище. (фиг. 315). Ввиду большой жесткости стенок и жесткого соединения стенок с днищем последнее рассматриваем как заделанное по периметру и величину моментов в крайних пролетах принимаем такой же, как в средних. Моменты определяем по формулам «Инструкции по расчету безбалочных перекрытий» ЦНИПС.

Сумма абсолютных величин моментов:

$$M_0 = 0,125gl^3 \left(1 - \frac{2}{3} \frac{c}{l}\right)^2 = 0,125 \cdot 2,0 \cdot 4,4^3 \times \left(1 - \frac{2 \cdot 1,03}{3 \cdot 4,4}\right) = 12,8 \text{ тм.}$$

Средние и крайние панели. Надколонная полоса:
опорный момент

$$M_1 = 0,5M_0 = -0,5 \cdot 12,8 = -6,4 \text{ тм;}$$

пролетный момент

$$M_2 = 0,2 \cdot M_0 = 0,2 \cdot 12,8 = 2,56 \text{ тм.}$$

Пролетная полоса:

опорный момент

$$M_3 = -0,15M_0 = -0,15 \cdot 12,8 = -1,92 \text{ тм;}$$

пролетные моменты

$$M_4 = 0,15 \cdot M_0 = 0,15 \cdot 12,8 = 1,92 \text{ тм.}$$

Пристенные панели

$$M'_3 = 0,8M_3 = -0,8 \cdot 1,92 = -1,53 \text{ тм;}$$

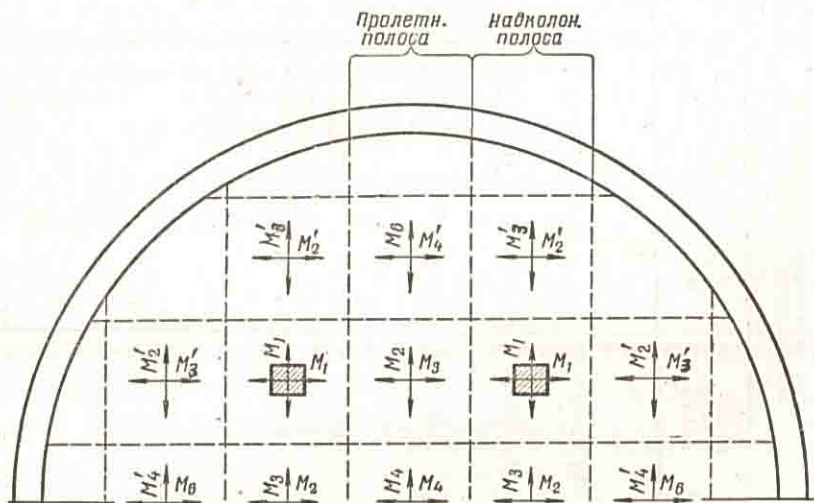
$$M'_1 = 0,8M_4 = 0,8 \cdot 1,92 = 1,53 \text{ тм.}$$

Радиальный момент в заделке плиты: .

$$M_r = -\frac{gl_p^2}{12} = -\frac{2 \cdot 4,3^2}{12} = -3,06 \text{ тм,}$$

так как $l_p = 1,05l - \frac{c}{3} = 4,4 \cdot 1,05 - \frac{1,03}{3} = 4,3 \text{ м.}$

Подбор сечений. При подборе сечений мы уменьшаем моменты на 30%.
Защитный слой (до оси арматуры): для одного направления 3 см; для дру-



Фиг. 315. Схема изгибающих моментов в днище.

того направления 4 см. При подборе арматуры расчетный защитный слой принимается средний, т. е. $a = \frac{3+4}{2} = 3,5 \text{ см.}$ Учитывая наличие грунтовых вод, толщину днища принимаем $\delta_d = 16 \text{ см;}$ $h_0 = \delta_d - a = 16 - 3,5 = 12,5 \text{ см.}$ При подборе сечений принят коэффициент запаса $k = 1,8.$ Расчеты по подбору сечений сведены в таблицу 27.

Подбор сечений арматуры днища

| Панели | Сечение | Момент на расчетную площадь (кгм) | | Момент на 1 м ширины $\frac{M}{2,15}$ (кгм) | | Толщина плиты (см) | | $A = \frac{0,7kM}{akt^2}$ | р. % | Расчетная площадь арматуры (см ²) | Принято арматуры (см ²) |
|-------------|------------|-----------------------------------|-------------------|---|-------------------|--------------------|----------------|---------------------------|------|---|-------------------------------------|
| | | надко-лонная полоса | продольная полоса | надко-лонная полоса | продольная полоса | h | h ₀ | | | | |
| Средние | Опора . . | $M_1 = -6400$ | | $M_1 = -2980$ | | 24 | 20,5 | 8,93 | 0,27 | 5,53 | 10 \varnothing '9 = 6,38 |
| | Пролет . . | $M_2 = 2560$ | | $M_2 = 1190$ | | 16 | 12,5 | 9,65 | 0,28 | 3,54 | 10 \varnothing '7 = 3,85 |
| | Опора . . | | $M_3 = -1920$ | | $M_3 = -893$ | 16 | 12,5 | 7,23 | 0,21 | 2,62 | 8 \varnothing '7 = 3,09 |
| | Пролет . . | | $M_4 = 1920$ | | $M_4 = 893$ | 16 | 12,5 | 7,23 | 0,21 | 2,62 | 8 \varnothing '7 = 3,09 |
| Пристен-ные | Опора . . | | $M'_3 = -1530$ | | $M'_3 = -710$ | 16 | 12,5 | 5,75 | 0,17 | 2,12 | 5 \varnothing '7 = 1,96 |
| | Пролет . . | | $M'_4 = 1530$ | | $M'_4 = 710$ | 16 | 12,5 | 5,75 | 0,17 | 2,12 | 5 \varnothing '7 = 1,96 |

Радиальная арматура в месте присоединения днища к стенке:

$$M_2 = 2950 \text{ кгм}, \quad h = 31 \text{ см}, \quad h_0 = 28 \text{ см},$$

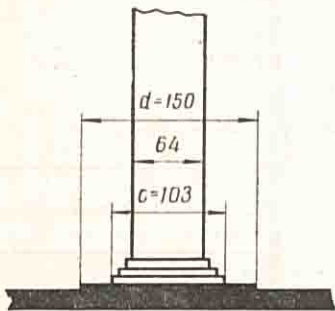
$$A = \frac{1,8 \cdot 295000}{100 \cdot 28^2} = 6,8, \quad \mu = 0,20\%,$$

$$F_a = 0,20 \cdot 28 = 5,60 \text{ см}^2.$$

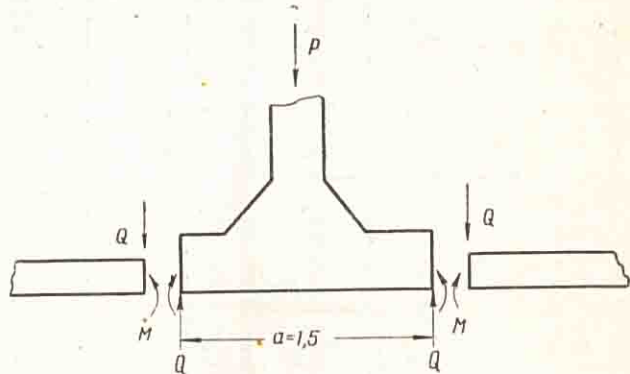
Принято $10 \varnothing'9 = 6,38 \text{ см}^2$.

к) Проверка давления на грунт

Давление на грунт проверяем для засыпанного и наполненного резервуара. Грунтовые воды отсутствуют. Для определения напряжения на грунт вырезаем полосу днища шириной 1 м и рассматриваем ее как балку



Фиг. 316. Конструкция основания колонны.



Фиг. 316а. Расчетная схема нижнего узла колонны (основная система).

на упругом основании, нагруженную на конце моментом и сосредоточенной силой. Проверку давления производим в сечении под стенкой и в сечении обреза надкапитальной плиты.

Уравнение прогиба для балки на упругом основании:

$$w = EI_d y = \frac{\lambda_d^3}{2} [(M + P\lambda_d) \eta_1 + M\eta_2] + w_0.$$

Здесь $EI_d = 476$; $\lambda_d = 0,785 \text{ м}$ (определены при расчете упругого сопряжения стенки и днища);

w_0 — просадка от воды в резервуаре;

$$w_0 = \frac{EI_d}{k_r};$$

x — расстояние до рассматривания сечения.

а) Сечение под стенкой: $M = 3,5 \text{ тм}$; $P = 9,67 \text{ т}$. При $x = 0$ — уравнение примет вид:

$$w = \frac{\lambda_d^3}{2} (M + P\lambda_d) + w_0.$$

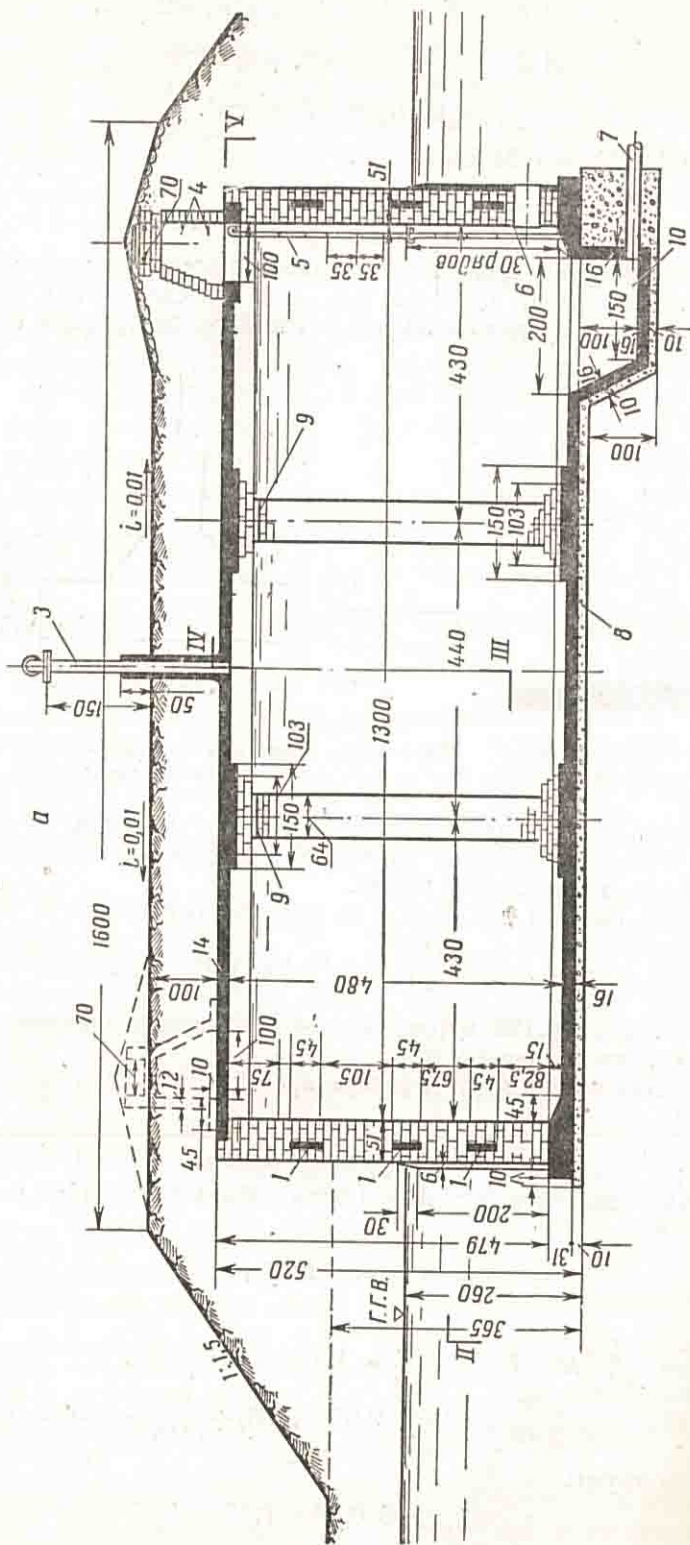
Просадка

$$\begin{aligned} y = \frac{w}{EI_d} &= \frac{\lambda_d^3}{2EI_d} (M + P\lambda_d) + \frac{w_0}{EI_d} = \\ &= \frac{0,785^3}{2 \cdot 476} (-3,5 + 9,67 \cdot 0,785) + \frac{4,5}{5000} = 0,0035 \text{ м} = 0,35 \text{ см}. \end{aligned}$$

Давление на грунт:

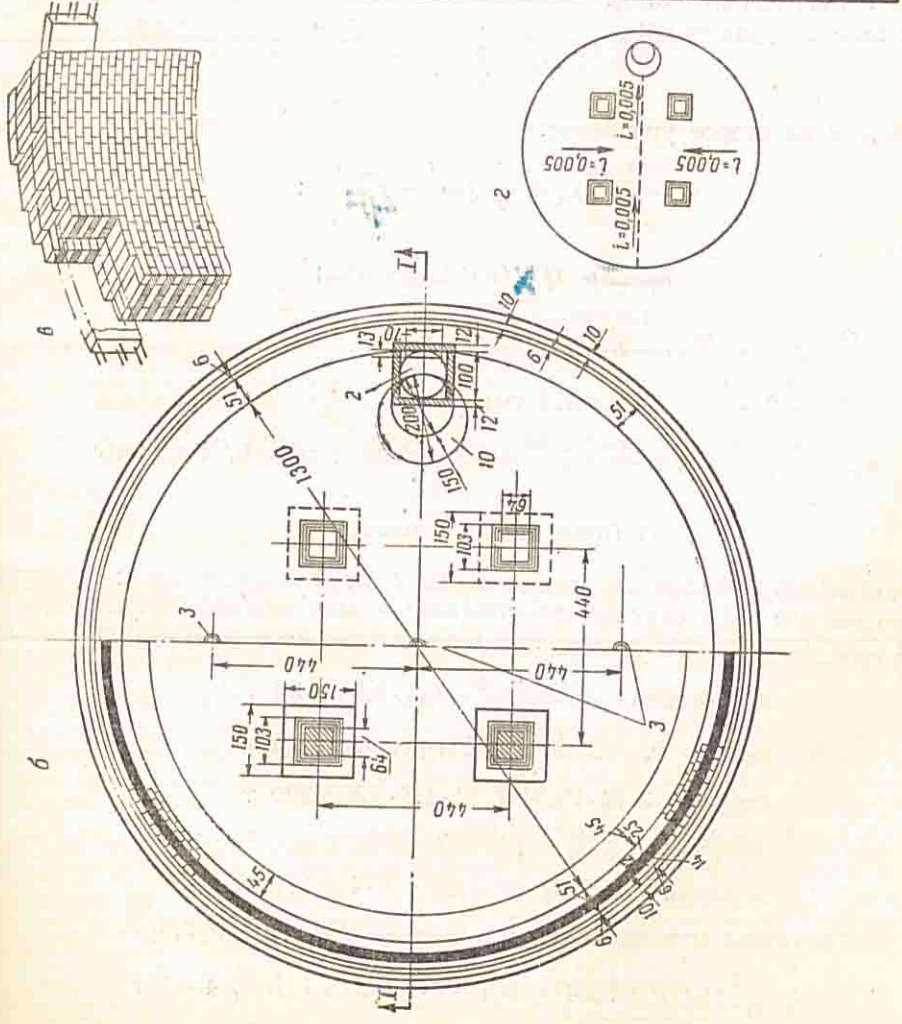
$$\sigma_{гр} = k_r y = 5 \cdot 0,35 = 1,75 \text{ кг/см}^2.$$

Давление на грунт под колонной (фиг. 316). Для определения давления на грунт под колонной определяем внутренние усилия в сечениях



Выборка материалов

| Наименование материалов | Количество | |
|--|----------------------|----------------|
| | М ² | М ³ |
| Кирпичная кладка | | 103.84 |
| Бетон М-140 | | 62.76 |
| Бетон состав. 1:5:10 | | 20.79 |
| Арматурная сталь | | 4795.73 |
| Штукатурка цемент. раст. состав. 1:2:3 черепицовой железн. | | 9.73 |
| Затирка цементным раствором составом 1:3 | 136.84 | |
| Покраска грунтовым | 247.40 | |
| Таль | 32.14 | |
| Люк | 1 треста ВТКО ФТИИМ | |
| Крышка | 1 треста ВТКО ФТИИМ | |
| Трубы чугунных водопроводных $\varnothing=2,05$ м (древянная) $\varnothing=200$ мм | | |
| Колен чугунных водопроводных $\varnothing=200$ мм | | |
| Скобы | Ф18 2 | |
| Металлическая лестница | 1 чертеж | |
| Экономические показатели сооружения | | |
| Бетона М-140 | 0,146 м ³ | |
| Арматурной стали 8,0 кг | | |
| Кирпичной кладки 0,173 м ³ | | |



Фиг. 317. Конструктивный чертеж резервуара с технико-экономическими показателями:
 а—разрез по I-I; б—план по II-II I-V-V; а—деталь кирпичной кладки; 2—схема уклонов для отвода воды; 1—желобобетонное кольцо сечением 14×45 см; 2—крышка и люк диаметром 71 см; 3—вентиляционная труба диаметром 200 мм; 4—скобы из круглой стали диаметром 18 мм; 5—лестница для спуска в резервуар; 6—сальник для пропуска труб через стенку; 7—грязевая труба диаметром 150 мм; 8—бетонная подготовка состав 1:5:10; 9—прокладка 2 слоя толя; 10—прижим.

примыкания днища к надкапитальной плите; для определения этих усилий вырезаем по диаметру полоску днища шириной 1 м и рассчитываем ее как балку на упругом основании. Участок надкапитальной плиты на длине 1,5 м (фиг. 31б) рассматриваем как жесткий, а прочие участки рассматриваем как «длинную» балку на упругом основании. Нагрузку от колонны считаем сосредоточенной силой, принимая, что на надколонную полосу передается 75% от этой силы:

$$P = \frac{(2,4 \cdot 4^2 + 0,54^2 \cdot 18 \cdot 4,8)}{22} \cdot 0,75 = 14 \text{ т};$$

Уравнения деформации в рассматриваемом сечении:

$$a_{11}M + a_{12}Q = 0;$$

$$a_{21}M + a_{22}Q + \frac{(2Q - P)EI}{k_r F} = 0; \quad \lambda_d = \sqrt[4]{\frac{4EI}{bk_r}};$$

$$k_r = \frac{4EI}{b\lambda_d^4}; \quad F = 1,5 \text{ м}^2; \quad a_{11} = \lambda_d; \quad a_{12} = a_{21} = -\frac{\lambda_d^2}{2};$$

$$a_{22} = \frac{\lambda_d^3}{2};$$

$\lambda_d = 0,785$ (определено ранее).

Из первого уравнения:

$$M = \frac{Q}{2} \lambda_d.$$

Подставляем во второе уравнение:

$$-\frac{\lambda_d^2}{2} \frac{Q}{2} \lambda_d + \frac{\lambda_d^3}{2} Q = \frac{(P - 2Q)\lambda_d^4}{4F};$$

или при

$$k_r = 4; \quad Q \cdot (F + 2\lambda_d) = P\lambda_d;$$

$$Q = \frac{P\lambda_d}{F + 2\lambda_d} = \frac{14 \cdot 0,785}{1,5 - 2 \cdot 0,785} = 3,85 \text{ т};$$

$$M = \frac{Q\lambda_d}{2} = \frac{3,58 \cdot 0,785}{2} = 1,4 \text{ тм};$$

$$\sigma_{гр} = \frac{P - 2Q}{F} + \sigma_b = \frac{14 - 2 \cdot 3,85}{1,5} + 4,5 = 9,06 \text{ т/м}^2 \approx 0,91 \text{ кг/см}^2.$$

л) Проверка на всплывание

Наивысший горизонт грунтовых вод 2,6 м от низа подготовки; проверку производим для двух случаев: засыпанного и незасыпанного резервуара.

1) Для засыпанного резервуара. Определение веса резервуара:

$$\text{подготовка} \quad \frac{3,14 \cdot 14,02^2}{4} \cdot 0,1 \cdot 2,2 = 34 \text{ т}$$

$$\text{днище} \quad \frac{3,14 \cdot 14,02^2}{4} \cdot 0,16 \cdot 2,4 = 59 \text{ т}$$

$$\text{стенка} \quad 3,14 \cdot 13,51 \cdot 0,51 \cdot 1,8 \cdot 5,8 = 226 \text{ т}$$

$$\text{покрытие} \quad \frac{3,14 \cdot 14,02^2}{4} \cdot 2 = 310 \text{ т}$$

$$\text{колонна} \quad 0,64^2 \cdot 4,29 \cdot 1,8 \cdot 4 = 13 \text{ т}$$

$$\text{капители и подколонники} \quad \left\{ [1,50^2 (0,08 + 0,07) \times 2,4] + \frac{0,22}{3} (1,03^2 + 0,64^2 + \sqrt{1,03^2 \cdot 0,64^2}) \times 1,8 \cdot 2 \right\} 4 = 5 \text{ т}$$

$$\text{итого} \quad \sum P = 647 \text{ т}$$

Гидростатическое давление:

$$P_v = \frac{3,14 \cdot 14,02^2}{4} \cdot 2,6 = 400 \text{ т.}$$

Коэффициент запаса на всплытие для засыпанного резервуара (без учета трения стенки о грунт):

$$k_v = \frac{647}{400} = 1,64 > 1,15.$$

2) Для незасыпанного резервуара. В этом случае определяем допускаемый горизонт грунтовых вод из условия, чтобы давление воды на днище равнялось весу подготовки, днища, колонны и покрытия:

| | |
|-------------------------|---|
| подготовка | $0,10 \cdot 2,2 = 0,22 \text{ т/м}^2$ |
| днище | $0,16 \cdot 2,4 = 0,38 \text{ т/м}^2$ |
| колонна | $\frac{0,64^2 \cdot 4,8 \cdot 1,8}{4,4^2} = 0,18 \text{ т/м}^2$ |
| капители и подколонники | $0,05 \text{ т/м}^2$ |
| покрытие | $0,14 \cdot 2,4 = 0,34 \text{ т/м}^2$ |
| итого | $1,17 \text{ т/м}^2$ |

Следовательно, допустим горизонт грунтовых вод при пустом незасыпанном резервуаре на глубине $h_{гр} = 1,17 \approx 1,2 \text{ м.}$

ОГЛАВЛЕНИЕ

| | |
|--|-----|
| Предисловие | 3 |
| Часть I | |
| ПЛОСКИЕ ЗАТВОРЫ ГИДРОТЕХНИЧЕСКИХ СООРУЖЕНИЙ | |
| Глава I. Разновидности затворов. Материалы. Отверстия | 5 |
| Глава II. Общие конструктивные указания | 19 |
| Глава III. Силы и нагрузки, действующие на затворы | 25 |
| 1. Общие сведения | 25 |
| 2. Собственный вес затвора | 25 |
| 3. Давление воды | 30 |
| а) Гидростатическое давление | 30 |
| б) Гидродинамическое давление | 35 |
| в) Давление волн | 36 |
| 4. Давление наносов | 36 |
| 5. Давление ветра | 37 |
| 6. Давление льда | 37 |
| 7. Сейсмические силы | 37 |
| 8. Силы, препятствующие подъему (опусканию) затвора | 37 |
| Глава IV. Допускаемые напряжения, прогибы и гибкости | 38 |
| Глава V. Элементы плоского затвора | 47 |
| Глава VI. Типы плоских затворов и области применения их | 52 |
| 1. Безригельные затворы | 52 |
| 2. Многоригельные затворы | 55 |
| 3. Двухригельные затворы | 56 |
| 4. Затворы с клапаном, сдвоенные и секционные | 56 |
| 5. Характеристика и области применения плоских затворов | 62 |
| Глава VII. Обшивка и балочная клетка | 65 |
| Глава VIII. Стойки и поперечные связи | 79 |
| Глава IX. Ригели | 82 |
| 1. Общие сведения | 82 |
| 2. Ригели из прокатных профилей | 86 |
| 3. Ригели из составных балок | 89 |
| 4. Ригели из ферм | 97 |
| Глава X. Продольные связевые фермы | 109 |
| Глава XI. Опорно-концевые стойки | 111 |
| Глава XII. Опорно-ходовые части | 114 |
| 1. Общие сведения | 114 |
| 2. Конструирование и расчет скользящих опор | 117 |
| 3. Конструирование и расчет колесных опорно-ходовых частей | 121 |
| Глава XIII. Направляющие устройства | 133 |
| 1. Обратные колеса | 133 |
| 2. Боковые направляющие устройства | 138 |
| Глава XIV. Уплотнения | 142 |
| Глава XV. Закладные части | 156 |

| | |
|--|------------|
| 1. Общие сведения | 156 |
| 2. Ходовые закладные части | 158 |
| 3. Закладные части под уплотнения | 160 |
| 4. Обогрев затворов | 161 |
| Глава XVI. Подъемные устройства | 163 |
| 1. Подъемные механизмы | 163 |
| 2. Тяги и подвесы | 164 |
| 3. Подхваты | 169 |
| 4. Подъемное и опускное усилия | 172 |
| Глава XVII. Пример проектирования плоского поверхностного затвора со сквозными ригелями | 173 |
| 1. Основные данные, выбор схемы затвора и назначение основных геометрических размеров его | 173 |
| 2. Обшивка и вспомогательные балки | 174 |
| 3. Фермы поперечных связей | 177 |
| 4. Опорные давления и узловые нагрузки ферм ригелей | 181 |
| 5. Усилия в стержнях фермы ригеля | 182 |
| 6. Подбор сечений стержней фермы ригеля | 183 |
| 7. Крепления в узлах | 187 |
| 8. Ферма продольных связей | 193 |
| 9. Опорно-концевая стойка | 195 |
| 10. Опорно-ходовые устройства | 196 |
| 11. Подъем и опускание затвора | 199 |
| Глава XVIII. Пример проектирования плоского глубинного затвора с прокатными ригелями | 200 |
| 1. Основные данные | 200 |
| 2. Описание конструкции | 200 |
| 3. Применяемые материалы и нормативные данные | 200 |
| 4. Нагрузки | 201 |
| 5. Обшивка | 203 |
| 6. Вспомогательные балки | 203 |
| 7. Ригели | 204 |
| 8. Опорно-концевые стойки | 206 |
| 9. Подъемная ферма | 208 |
| 10. Колеса | 208 |
| 11. Подвес и штанги | 209 |
| 12. Подъем и опускание затвора | 210 |
| 13. Закладные ходовые части | 211 |
| 14. Подхват | 211 |

Часть II

РЕЗЕРВУАРЫ И ВОДОНАПОРНЫЕ БАШНИ

| | |
|--|------------|
| Глава I. Резервуары | 214 |
| 1. Разновидности резервуаров | 214 |
| 2. Стальные резервуары | 216 |
| 3. Деревянные резервуары | 217 |
| 4. Железобетонные резервуары | 218 |
| 5. Каменные резервуары | 223 |
| 6. Особенности конструкций резервуаров, возводимых на лессовидных просадочных грунтах и в сейсмических районах | 224 |
| Глава II. Водонапорные башни и колонны | 229 |
| 1. Водонапорные башни | 229 |
| 2. Водонапорные колонны | 235 |
| Глава III. Особенности расчета резервуаров | 237 |
| 1. Принципы расчета оболочки резервуара | 237 |
| 2. Уравнение изогнутой оси балки | 238 |
| 3. Изгиб балки на упругом основании | 243 |
| а) Длинная балка постоянного сечения на однородном упругом основании (или длинный замкнутый круговой цилиндр постоянной толщины) | 248 |
| б) Жесткая балка на упругом основании | 261 |
| 4. Плиты, опертые по контуру | 263 |
| 5. Основы безмоментной теории осесимметричных оболочек | 264 |
| а) Общие уравнения безмоментной теории | 264 |
| б) Цилиндрическая оболочка | 267 |
| в) Коническая оболочка | 267 |
| г) Сферическая оболочка | 271 |

| | |
|---|-----|
| 6. Основы теории изгиба осесимметричных оболочек | 272 |
| а) Общее дифференциальное уравнение осесимметричных оболочек | 273 |
| б) Оболочки постоянной толщины | 278 |
| в) Цилиндрическая оболочка постоянной толщины | 279 |
| г) Круговое кольцо | 281 |
| д) Цилиндрическая оболочка линейно меняющейся толщины | 286 |
| е) Коническая оболочка постоянной толщины | 291 |
| ж) Сферическая оболочка постоянной толщины | 295 |
| з) Пологие оболочки | 299 |
| и) Круглая плита (пластинка) как частный случай оболочки | 299 |
| к) Круглая плита постоянной толщины | 300 |
| л) Круглая плита (пластинка) линейно меняющейся толщины по закону $\rho = \frac{r}{b} \text{const}$ | 301 |
| м) Круглая плита постоянной толщины на упругом основании | 313 |
| Глава IV. Статика железобетонных резервуаров | 316 |
| 1. Системы уравнений | 316 |
| 2. Решение симметричной системы трехчленных линейных алгебраических уравнений | 318 |
| 3. О выборе основной системы | 321 |
| Глава V. О выборе основных геометрических размеров наземных и подземных резервуаров | 323 |
| 1. Наземные резервуары | 323 |
| а) Открытые прямоугольные и квадратные в плане резервуары малой емкости | 323 |
| б) Открытый цилиндрический резервуар малой емкости с плоским дном | 324 |
| в) Открытый цилиндрический резервуар малой емкости с коническим дном | 325 |
| г) Открытый цилиндрический железобетонный резервуар с плоским дном | 326 |
| 2. Подземные железобетонные резервуары | 329 |
| а) Прямоугольный резервуар с безбалочными покрытием и дном | 329 |
| б) Цилиндрический резервуар с безбалочными покрытием и дном при расположении колонн по сторонам квадрата | 332 |
| в) Цилиндрический резервуар с одной колонной в центре | 333 |
| Глава VI. Краткие сведения о методах возведения и испытания резервуаров и водонапорных башен | 335 |
| 1. О методах возведения резервуаров | 335 |
| 2. О методах возведения водонапорных башен | 336 |
| 3. Испытание резервуаров и водонапорных башен перед сдачей их в эксплуатацию | 338 |
| Глава VII. Примеры расчета резервуаров и башен | 339 |
| 1. Выбор основных геометрических размеров и расчет прочности открытого цилиндрического железобетонного резервуара для сухих грунтов | 339 |
| а) Выбор основных геометрических размеров резервуара | 339 |
| б) Определение меридиональных изгибающих моментов | 341 |
| в) Расчет усилий в стенке и дне резервуара | 341 |
| г) Подбор сечений арматуры | 344 |
| 2. Расчет подземного цилиндрического резервуара емкостью 100 м ³ | 344 |
| а) Выбор основных геометрических размеров резервуара | 345 |
| б) Определение меридиональных изгибающих моментов в узлах | 346 |
| в) Расчет усилий в стенке и дне резервуара | 347 |
| 3. Расчет подземного железобетонного резервуара емкостью 200 м ³ с одной колонной в центре при плоских покрытии и дне | 350 |
| а) Выбор основных геометрических размеров резервуара | 350 |
| б) Первый случай загрузки (резервуар засыпан и опорожнен) | 351 |
| в) Второй случай загрузки (резервуар наполнен водой, не засыпан) | 358 |
| 4. Расчет цилиндрической железобетонной водонапорной башни с резервуаром емкостью 400 м ³ | 360 |
| а) Шатер башни | 360 |
| б) Резервуар | 364 |
| в) Расчет опорного узла резервуара | 367 |
| г) Подбор сечений арматуры в стенке резервуара | 371 |
| д) Подбор сечений арматуры в дне | 373 |
| е) Подбор сечений арматуры в опорном кольце | 374 |
| ж) Корпус башни | 375 |
| з) Фундамент башни | 379 |
| 5. Статический расчет подземного железобетонного резервуара емкостью 300 м ³ для района, подверженного сейсмическим колебаниям | 380 |
| а) Условия работы резервуара | 380 |
| б) Выбор материала конструкций и обоснование конструктивной схемы | 381 |

| | |
|--|-----|
| в) Основные данные для расчета | 382 |
| г) Подсчет нагрузок и предварительный подбор сечений элементов резервуара | 385 |
| д) Статический расчет резервуара на симметричную нагрузку в период между землетрясениями | 386 |
| е) Влияние сейсмического толчка | 396 |
| 6. Расчет подземного резервуара с каменной стенкой, усиленной безопалубочным железобетоном | 398 |
| а) Конструкция и материал резервуара | 398 |
| б) Геометрические размеры резервуара | 399 |
| в) Характеристика принятых грунтов, действующие силы и нагрузки | 399 |
| г) Расчет покрытия | 400 |
| д) Проверка плиты покрытия на продавливание | 402 |
| е) Расчет колонны | 404 |
| ж) Расчет стенки | 404 |
| з) Подбор сечений стенки и арматуры | 409 |
| и) Расчет днища | 412 |
| к) Проверка давления на грунт | 415 |
| л) Проверка на всплывание | 418 |

Часть III

ПОДПОРНЫЕ СТЕНКИ

| | |
|--|-----|
| Глава I. Конструкция подпорных стенок | 420 |
| 1. Общие сведения | 420 |
| 2. Материалы для подпорных стенок | 424 |
| 3. Типы подпорных стенок | 425 |
| а) Каменные подпорные стенки из сухой бутовой кладки | 425 |
| б) Подпорные стенки бетонные и из каменной кладки на растворе | 426 |
| в) Железобетонные подпорные стенки | 429 |
| Глава II. Определение сил, действующих на подпорную стенку | 439 |
| 1. Общие сведения | 439 |
| 2. Практические способы определения давления грунта на подпорные стенки | 440 |
| а) Основные положения теории предельного равновесия сыпучих тел | 440 |
| б) Графическое определение давления земли на стенку | 441 |
| в) Аналитическое определение величины силы давления земли на стенку и плеча ее приложения | 442 |
| г) Определение величины силы давления грунта на стенку и плеча ее приложения при помощи таблиц | 447 |
| д) Диаграмма полных давлений и диаграмма интенсивности давления | 464 |
| е) Применение графического способа определения давления земли при наличии на призме обрушения равномерно распределенной временной нагрузки | 465 |
| ж) Применение графического способа определения давления земли при ломаной поверхности стенки | 465 |
| з) Пассивное давление (отпор) сыпучего тела | 465 |
| и) Влияние воды на величину давления грунта | 468 |
| 3. Особенности расчета подпорных стенок в сейсмических районах | 470 |
| Глава III. Расчет подпорных стенок | 472 |
| 1. Проверка подпорной стенки на устойчивость | 472 |
| а) Проверка на устойчивость против опрокидывания | 472 |
| б) Проверка на устойчивость против скольжения | 472 |
| 2. Проверка давления на грунт под подошвой фундамента | 473 |
| 3. Расчет стенок на прочность | 474 |
| 4. Аналитическое определение размеров фундаментов подпорных стенок | 479 |
| Глава IV. Шпунтовые стенки | 483 |
| 1. Общие сведения | 483 |
| 2. Конструкция шпунтовых стенок | 483 |
| а) Деревянные шпунтовые стенки | 483 |
| б) Стальные шпунтовые стенки | 485 |
| в) Железобетонные шпунтовые стенки | 486 |
| 3. Расчет шпунтовых стенок | 487 |
| а) Устойчивость и прочность свободной шпунтовой стенки при действии сосредоточенной горизонтальной силы | 487 |
| б) Устойчивость и прочность свободной шпунтовой стенки при действии на нее давления земли | 488 |
| в) Расчет анкерных шпунтовых стенок | 492 |

| | |
|---|-----|
| Глава V. Примеры расчета и конструирования подпорных стенок | 497 |
| 1. Бетонная подпорная стенка | 497 |
| 2. Железобетонная уголкообразная подпорная стенка без ребер | 501 |
| 3. Железобетонная уголкообразная подпорная стенка с ребрами | 508 |
| 4. Рязевая подпорная стенка | 525 |
| 5. Свободная стальная шпунтовая стенка | 529 |
| 6. Незащеленная анкерная шпунтовая стенка | 530 |
| 7. Защищенная анкерная шпунтовая стенка | 534 |
| Приложение I. Графики для подбора сечений сжатых элементов, составленных из двух равнобедренных уголков, по гибкости относительно оси $x-x$ | 538 |
| Приложение II. Основные сведения, необходимые при проектировании бетонных и железобетонных конструкций гидротехнических сооружений | 540 |
| I. Материалы | 540 |
| II. Бетонные конструкции | 542 |
| III. Железобетонные конструкции | 543 |
| IV. Малоармированные конструкции | 544 |
| V. Указания по конструированию | 544 |
| Литература к I части | 546 |
| Литература ко II части | 546 |
| Литература к III части | 547 |

Стрешко Анатолий Иванович и др. Инженерные конструкции в гидромелиоративном строительстве.

Спец. редактор В. М. Алексеев. Редактор Л. М. Кобыляков. Художник М. Э. Шлосберг. Художественный редактор Н. М. Хохрина.

Технические редакторы Э. Д. Пересыпкина и А. И. Баллод. Корректор А. В. Гришина

* * *

Сдано в набор 11/VIII 1955 г. Подписано к печати 22 XI 1955 г. Т10005. Бумага 70×1081/16.
Печ. л. 34,5 (47,26) + 3 вкл. Уч.-изд. л. 41,43. Тираж 10 000 экз. Заказ № 1138.
Цена 12 руб.

* * *

Сельхозгиз, Москва, Б-66, 1-й Гасманский пер., д. 3.

16-я типография Главполиграфпрома Министерства культуры СССР, Москва, Трехпрудный пер., 9.

ОПЕЧАТКИ

| Страница | Строка | Напечатано | Должно быть |
|----------|-------------------------|---|---|
| 27 | 9 снизу | $N_{ц} l^2 < 30$ | $N_{ц} l_0^2 < 30$ |
| 225 | Подпись под фиг. 210 | z — шлак 1,2 м | z — шлак 0,1—0,2 м |
| 384 | фиг. 294 | $q_x \sin \beta - \tau \cos \beta$ | $q_x \sin \beta - \tau \sin \beta$ |
| 389 | 4 и 5 сверху | из условия угла поворота реального сечения | из условия отсутствия поворота радиального сечения |
| | | $= \frac{(P-2Q)\lambda_d^4}{k_r F}$ | $= \frac{(P-2Q)\lambda_d^4}{4F}$ |
| 418 | 18 сверху | $k_r = 4; Q = (F + 2\lambda_d) = P\lambda_d$ | $Q \cdot (F + 2\lambda_d) = P\lambda_d$ |
| 418 | 20 сверху | $\sigma_n = \frac{(bmh^2 - 2P)^2}{b[bmh^3 - 6P(H+h)]} - mh$ | $\sigma_n = \frac{(bmh^2 - 2P)^2}{b[bmh^3 - 6P(H+h)]} - mh$ |
| 487 | 7 снизу | таблице 18 | таблице 21 |
| 527 | 5 снизу | | |